

Fig. 272-10-6

UNIVERSIDAD DE GRANADA
FACULTAD DE FILOSOFIA Y LETRAS
15 ENE. 1999
Entrada N.º 48

TABLAS

BIBLIOTECA UNIVERSITARIA
GRANADA
Nº Documento 6187 25442
Nº Copia 20356067

UNIVERSIDAD DE GRANADA
12 ENE. 1999
COMISION DE DOCTORADO

- Tabla 1. Correlación entre los periodos culturales de las diferentes campañas de excavación del yacimiento de Los Castillejos de Las Peñas de Los Gitanos (Montefrío, Granada)
- Tabla 2. Correlación estratigráfica entre los diferentes sondeos realizados en Los Castillejos de Las Peñas de Los Gitanos (Montefrío, Granada)
- Tabla 3. Fase estratigráfica 1. Total de la industria: dos agrupaciones
- Tabla 4. Fase estratigráfica 1. Total de la industria: cuatro agrupaciones
- Tabla 5. Fase estratigráfica 1. Total de la industria: seis agrupaciones
- Tabla 6. Fase estratigráfica 1. Resumen estadístico. Total de la industria
Conjuntos
- Tabla 7. Fase estratigráfica 1. Producción laminar: dos agrupaciones
- Tabla 8. Fase estratigráfica 1. Producción laminar: seis agrupaciones
- Tabla 9. Fase estratigráfica 1. Resumen estadístico. Producción laminar
Conjuntos
- Tabla 10. Fase estratigráfica 1. Producción lascar: dos agrupaciones
- Tabla 11. Fase estratigráfica 1. Producción lascar: cuatro agrupaciones
- Tabla 12. Fase estratigráfica 1. Producción lascar: seis agrupaciones
- Tabla 13. Fase estratigráfica 1. Resumen estadístico. Producción lascar
Conjuntos
- Tabla 14. Fase estratigráfica 2. Total de la industria: dos agrupaciones
- Tabla 15. Fase estratigráfica 2. Total de la industria: tres agrupaciones
- Tabla 16. Fase estratigráfica 2. Resumen estadístico. Total de la industria
- Tabla 17. Fase estratigráfica 2. Conjuntos. Total industria
- Tabla 18. Fase estratigráfica 2. Producción laminar: dos agrupaciones
- Tabla 19. Fase estratigráfica 2. Producción laminar: cuatro agrupaciones
- Tabla 20. Fase estratigráfica 2. Resumen estadístico. Producción laminar
- Tabla 21. Fase estratigráfica 2. Conjuntos. Producción laminar
- Tabla 22. Fase estratigráfica 2. Producción lascar: dos agrupaciones
- Tabla 23. Fase estratigráfica 2. Producción lascar: cuatro agrupaciones
- Tabla 24. Fase estratigráfica 2. Resumen estadístico. Producción lascar
- Tabla 25. Fase estratigráfica 2. Conjuntos. Producción lascar
- Tabla 26. Fase estratigráfica 3. Total de la industria: dos agrupaciones
- Tabla 27. Fase estratigráfica 3. Total de la industria: cinco agrupaciones
- Tabla 28. Fase estratigráfica 3. Total de la industria: seis agrupaciones
- Tabla 29. Fase estratigráfica 3. Resumen estadístico. Total de la industria
- Tabla 30. Fase estratigráfica 3. Conjuntos. Total industria
- Tabla 31. Fase estratigráfica 3. Producción laminar: dos agrupaciones
- Tabla 32. Fase estratigráfica 3. Producción laminar: cinco agrupaciones
- Tabla 33. Fase estratigráfica 2. Resumen estadístico. Producción laminar
- Tabla 34. Fase estratigráfica 2. Conjuntos. Producción laminar
- Tabla 35. Fase estratigráfica 3. Producción lascar: tres agrupaciones
- Tabla 36. Fase estratigráfica 3. Producción lascar: cinco agrupaciones
- Tabla 37. Fase estratigráfica 3. Resumen estadístico. Total de la industria
- Tabla 38. Fase estratigráfica 3. Conjuntos. Total industria
- Tabla 39. Fase estratigráfica 4a. Total de la industria: dos agrupaciones
- Tabla 40. Fase estratigráfica 4a. Total de la industria: tres agrupaciones
- Tabla 41. Fase estratigráfica 4a. Total de la industria: cuatro agrupaciones
- Tabla 42. Fase estratigráfica 4a. Resumen estadístico. Total de la industria

Tabla 43. Fase estratigráfica 4a. Conjuntos. Total industria
Tabla 44. Fase estratigráfica 4a. Producción laminar: dos agrupaciones
Tabla 45. Fase estratigráfica 4a. Producción laminar: seis agrupaciones
Tabla 46. Fase estratigráfica 4a. Resumen estadístico. Producción laminar
Tabla 47. Fase estratigráfica 4a. Conjuntos. Producción laminar
Tabla 48. Fase estratigráfica 4a. Producción lascar: dos agrupaciones
Tabla 49. Fase estratigráfica 4a. Producción lascar: cinco agrupaciones
Tabla 50. Fase estratigráfica 4a. Resumen estadístico. Producción lascar
Tabla 51. Fase estratigráfica 4a. Conjuntos. Producción lascar
Tabla 52. Fase estratigráfica 4b. Total de la industria: dos agrupaciones
Tabla 53. Fase estratigráfica 4b. Total de la industria: cuatro agrupaciones
Tabla 54. Fase estratigráfica 4b. Resumen estadístico. Total de la industria
Tabla 55. Fase estratigráfica 4b. Conjuntos. Total industria
Tabla 56. Fase estratigráfica 4b. Producción laminar: dos agrupaciones
Tabla 57. Fase estratigráfica 4b. Producción laminar: cuatro agrupaciones
Tabla 58. Fase estratigráfica 4b. Resumen estadístico. Producción laminar
Tabla 59. Fase estratigráfica 4b. Conjuntos. Producción laminar
Tabla 60. Fase estratigráfica 4b. Producción lascar: dos agrupaciones
Tabla 61. Fase estratigráfica 4b. Producción lascar: cuatro agrupaciones
Tabla 62. Fase estratigráfica 4b. Resumen estadístico. Producción lascar
Tabla 63. Fase estratigráfica 4b. Conjuntos. Producción lascar
Tabla 64. Fase estratigráfica 5. Total de la industria: dos agrupaciones
Tabla 65. Fase estratigráfica 5. Total de la industria: tres agrupaciones
Tabla 66. Fase estratigráfica 5. Resumen estadístico. Total de la industria
Tabla 67. Fase estratigráfica 5. Conjuntos. Total industria
Tabla 68. Fase estratigráfica 5. Producción laminar: dos agrupaciones
Tabla 69. Fase estratigráfica 5. Producción laminar: tres agrupaciones
Tabla 70. Fase estratigráfica 5. Resumen estadístico. Producción laminar
Tabla 71. Fase estratigráfica 5. Conjuntos. Producción laminar
Tabla 72. Fase estratigráfica 5. Producción lascar: dos agrupaciones
Tabla 73. Fase estratigráfica 5. Producción lascar: tres agrupaciones
Tabla 74. Fase estratigráfica 5. Resumen estadístico. Producción lascar
Tabla 75. Fase estratigráfica 5. Conjuntos. Producción lascar
Tabla 76. Fase estratigráfica 7. Total de la industria: tres agrupaciones
Tabla 77. Fase estratigráfica 7. Total de la industria: cinco agrupaciones
Tabla 78. Fase estratigráfica 7. Resumen estadístico. Total de la industria
Tabla 79. Fase estratigráfica 7. Conjuntos. Total industria
Tabla 80. Fase estratigráfica 7. Producción laminar: tres agrupaciones
Tabla 81. Fase estratigráfica 7. Producción laminar: cuatro agrupaciones
Tabla 82. Fase estratigráfica 7. Resumen estadístico. Producción laminar
Tabla 83. Fase estratigráfica 7. Conjuntos. Producción laminar
Tabla 84. Fase estratigráfica 7. Producción lascar: tres agrupaciones
Tabla 85. Fase estratigráfica 7. Producción lascar: cuatro agrupaciones
Tabla 86. Fase estratigráfica 7. Resumen estadístico. Producción lascar
Tabla 87. Fase estratigráfica 7. Conjuntos. Producción lascar
Tabla 88. Fase estratigráfica 8. Total de la industria: tres agrupaciones
Tabla 89. Fase estratigráfica 8. Total de la industria: seis agrupaciones

Tabla 90. Fase estratigráfica 8. Resumen estadístico. Total de la industria
 Tabla 91. Fase estratigráfica 8. Conjuntos. Total industria
 Tabla 92. Fase estratigráfica 8. Producción laminar: tres agrupaciones
 Tabla 93. Fase estratigráfica 8. Producción laminar: seis agrupaciones
 Tabla 94. Fase estratigráfica 8. Resumen estadístico. Producción laminar
 Tabla 95. Fase estratigráfica 8. Conjuntos. Producción laminar
 Tabla 96. Fase estratigráfica 8. Producción lascar: tres agrupaciones
 Tabla 97. Fase estratigráfica 8. Producción lascar: cuatro agrupaciones
 Tabla 98. Fase estratigráfica 8. Producción lascar: seis agrupaciones
 Tabla 99. Fase estratigráfica 8. Resumen estadístico. Producción lascar
 Tabla 100. Fase estratigráfica 8. Conjuntos. Producción lascar
 Tabla 101. Fase estratigráfica 9. Total de la industria: dos agrupaciones
 Tabla 102. Fase estratigráfica 9. Total de la industria: cuatro agrupaciones
 Tabla 103. Fase estratigráfica 9. Resumen estadístico. Total de la industria
 Tabla 104. Fase estratigráfica 9. Conjuntos. Total industria
 Tabla 105. Fase estratigráfica 9. Producción laminar: dos agrupaciones
 Tabla 106. Fase estratigráfica 9. Producción laminar: tres agrupaciones
 Tabla 107. Fase estratigráfica 9. Producción laminar: cuatro agrupaciones
 Tabla 108. Fase estratigráfica 9. Resumen estadístico. Producción laminar
 Tabla 109. Fase estratigráfica 9. Conjuntos. Producción laminar
 Tabla 110. Fase estratigráfica 9. Producción lascar: dos agrupaciones
 Tabla 111. Fase estratigráfica 9. Producción lascar: cuatro agrupaciones
 Tabla 112. Fase estratigráfica 9. Resumen estadístico. Producción lascar
 Tabla 113. Fase estratigráfica 9. Conjuntos. Producción lascar
 Tabla 114. Fase estratigráfica 9. Distribución tipos: tres agrupaciones
 Tabla 115. Fase estratigráfica 9. Distribución tipos: seis agrupaciones
 Tabla 116. Fase estratigráfica 9. Resumen estadístico. Distribución de tipos
 Tabla 117. Fase estratigráfica 9. Conjuntos. Distribución de tipos
 Tabla 118. Fase estratigráfica 10a. Total de la industria: tres agrupaciones
 Tabla 119. Fase estratigráfica 10a. Total de la industria: siete agrupaciones
 Tabla 120. Fase estratigráfica 10a. Resumen estadístico. Total de la industria
 Tabla 121. Fase estratigráfica 10a. Conjuntos. Total industria
 Tabla 122. Fase estratigráfica 10a. Producción laminar: tres agrupaciones
 Tabla 123. Fase estratigráfica 10a. Producción laminar: siete agrupaciones
 Tabla 124. Fase estratigráfica 10a. Resumen estadístico. Producción laminar
 Tabla 125. Fase estratigráfica 10a. Conjuntos. Producción laminar
 Tabla 126. Fase estratigráfica 10a. Producción lascar: tres agrupaciones
 Tabla 127. Fase estratigráfica 10a. Resumen estadístico. Producción lascar
 Tabla 128. Fase estratigráfica 10a. Conjuntos. Producción lascar
 Tabla 129. Fase estratigráfica 10b. Total de la industria: dos agrupaciones
 Tabla 130. Fase estratigráfica 10b. Total de la industria: cuatro agrupaciones
 Tabla 131. Fase estratigráfica 10b. Resumen estadístico. Total de la industria
 Tabla 132. Fase estratigráfica 10b. Conjuntos. Total industria
 Tabla 133. Fase estratigráfica 10b. Producción laminar: dos agrupaciones
 Tabla 134. Fase estratigráfica 10b. Producción laminar: seis agrupaciones
 Tabla 135. Fase estratigráfica 10b. Resumen estadístico. Producción laminar
 Tabla 136. Fase estratigráfica 10b. Conjuntos. Producción laminar

Tabla 137. Fase estratigráfica 10b. Producción lascar: dos agrupaciones
 Tabla 138. Fase estratigráfica 10b. Producción lascar: cuatro agrupaciones
 Tabla 139. Fase estratigráfica 10b. Producción lascar: seis agrupaciones
 Tabla 140. Fase estratigráfica 10b. Resumen estadístico. Producción lascar
 Tabla 141. Fase estratigráfica 10b. Conjuntos. Producción lascar
 Tabla 142. Fase estratigráfica 11a. Hojas retocadas: tres agrupaciones
 Tabla 143. Fase estratigráfica 11a. Hojas retocadas: seis agrupaciones
 Tabla 144. Fase estratigráfica 11a. Resumen estadístico. Hojas retocadas
 Tabla 145. Fase estratigráfica 11a. Conjuntos. Hojas retocadas
 Tabla 146. Fase estratigráfica 11a. Lascas retocadas: dos agrupaciones
 Tabla 147. Fase estratigráfica 11a. Lascas retocadas: tres agrupaciones
 Tabla 148. Fase estratigráfica 11a. Lascas retocadas: cuatro agrupaciones
 Tabla 149. Fase estratigráfica 11a. Resumen estadístico. Producción lascar
 Tabla 150. Fase estratigráfica 11a. Conjuntos. Producción lascar
 Tabla 151. Fase estratigráfica 11a. Distribución de tipos: tres agrupaciones
 Tabla 152. Fase estratigráfica 11a. Distribución de tipos: cuatro agrupaciones
 Tabla 153. Fase estratigráfica 11a. Resumen estadístico. Distribución de tipos
 Tabla 154. Fase estratigráfica 11a. Conjuntos. Distribución de tipos
 Tabla 155. Fase estratigráfica 11b. Hojas retocadas: dos agrupaciones
 Tabla 156. Fase estratigráfica 11b. Hojas retocadas: seis agrupaciones
 Tabla 157. Fase estratigráfica 11b. Resumen estadístico. Hojas retocadas
 Tabla 158. Fase estratigráfica 11b. Conjuntos. Hojas retocadas
 Tabla 159. Fase estratigráfica 11b. Lascas retocadas: dos agrupaciones
 Tabla 160. Fase estratigráfica 11b. Lascas retocadas: tres agrupaciones
 Tabla 161. Fase estratigráfica 11b. Lascas retocadas: seis agrupaciones
 Tabla 162. Fase estratigráfica 11b. Resumen estadístico. Lascas retocadas
 Tabla 163. Fase estratigráfica 11b. Conjuntos. Lascas retocadas
 Tabla 164. Fase estratigráfica 11b. Distribución de tipos: dos agrupaciones
 Tabla 165. Fase estratigráfica 11b. Distribución de tipos: tres agrupaciones
 Tabla 166. Fase estratigráfica 11b. Distribución de tipos: cinco agrupaciones
 Tabla 167. Fase estratigráfica 11b. Resumen estadístico. Distribución de tipos
 Tabla 168. Fase estratigráfica 11b. Conjuntos. Distribución de tipos
 Tabla 169. Fase estratigráfica 12. Total de la industria: dos agrupaciones
 Tabla 170. Fase estratigráfica 12. Total de la industria: tres agrupaciones
 Tabla 171. Fase estratigráfica 12. Resumen estadístico. Total de la industria
 Tabla 172. Fase estratigráfica 12. Conjuntos. Total industria
 Tabla 173. Fase estratigráfica 12. Producción laminar: dos agrupaciones
 Tabla 174. Fase estratigráfica 12. Producción laminar: cinco agrupaciones
 Tabla 175. Fase estratigráfica 12. Resumen estadístico. Producción laminar
 Tabla 176. Fase estratigráfica 12. Conjuntos. Producción laminar
 Tabla 177. Fase estratigráfica 12. Producción lascar: dos agrupaciones
 Tabla 178. Fase estratigráfica 12. Producción lascar: cuatro agrupaciones
 Tabla 179. Fase estratigráfica 12. Resumen estadístico. Producción lascar
 Tabla 180. Fase estratigráfica 12. Conjuntos. Producción lascar
 Tabla 181. Fase estratigráfica 12. Distribución de tipos: dos agrupaciones
 Tabla 182. Fase estratigráfica 12. Distribución de tipos: tres agrupaciones
 Tabla 183. Fase estratigráfica 12. Distribución de tipos: seis agrupaciones

Tabla 184. Fase estratigráfica 12. Resumen estadístico. Distribución de tipos
 Tabla 185. Fase estratigráfica 12. Conjuntos. Distribución de tipos
 Tabla 186. Fase estratigráfica 13. Producción laminar: dos agrupaciones
 Tabla 187. Fase estratigráfica 13. Producción laminar: seis agrupaciones
 Tabla 188. Fase estratigráfica 13. Resumen estadístico. Producción laminar
 Tabla 189. Fase estratigráfica 13. Conjuntos. Producción laminar
 Tabla 190. Fase estratigráfica 13. Producción lascar: dos agrupaciones
 Tabla 191. Fase estratigráfica 13. Producción lascar: tres agrupaciones
 Tabla 192. Fase estratigráfica 13. Producción lascar: cinco agrupaciones
 Tabla 193. Fase estratigráfica 13. Resumen estadístico. Producción lascar
 Tabla 194. Fase estratigráfica 13. Conjuntos. Producción lascar
 Tabla 195. Fase estratigráfica 14. Producción laminar: tres agrupaciones
 Tabla 196. Fase estratigráfica 14. Producción laminar: cinco agrupaciones
 Tabla 197. Fase estratigráfica 14. Resumen estadístico. Producción laminar
 Tabla 198. Fase estratigráfica 14. Conjuntos. Producción laminar
 Tabla 199. Fase estratigráfica 14. Producción lascar: cuatro agrupaciones
 Tabla 200. Fase estratigráfica 14. Resumen estadístico. Producción lascar
 Tabla 201. Fase estratigráfica 14. Conjuntos. Producción lascar
 Tabla 202. Fase estratigráfica 14. Distribución de tipos: tres agrupaciones
 Tabla 203. Fase estratigráfica 14. Distribución de tipos: cuatro agrupaciones
 Tabla 204. Fase estratigráfica 14. Resumen estadístico. Distribución de tipos
 Tabla 205. Fase estratigráfica 14. Conjuntos. Distribución de tipos
 Tabla 206. Fase estratigráfica 15. Producción laminar: tres agrupaciones
 Tabla 207. Fase estratigráfica 15. Producción laminar: cuatro agrupaciones
 Tabla 208. Fase estratigráfica 15. Producción laminar: seis agrupaciones
 Tabla 209. Fase estratigráfica 15. Resumen estadístico. Producción laminar
 Tabla 210. Fase estratigráfica 15. Conjuntos. Producción laminar
 Tabla 211. Fase estratigráfica 15. Producción lascar: tres agrupaciones
 Tabla 212. Fase estratigráfica 15. Producción lascar: cinco agrupaciones
 Tabla 213. Fase estratigráfica 15. Resumen estadístico. Producción lascar
 Tabla 214. Fase estratigráfica 15. Conjuntos. Producción lascar
 Tabla 215. Fase estratigráfica 16a. Producción laminar: cuatro agrupaciones
 Tabla 216. Fase estratigráfica 16a. Producción laminar: cinco agrupaciones
 Tabla 217. Fase estratigráfica 16a. Resumen estadístico. Producción laminar
 Tabla 218. Fase estratigráfica 16a. Conjuntos. Producción laminar
 Tabla 219. Fase estratigráfica 16a. Producción lascar: cuatro agrupaciones
 Tabla 220. Fase estratigráfica 16a. Producción lascar: seis agrupaciones
 Tabla 221. Fase estratigráfica 16a. Resumen estadístico. Producción laminar
 Tabla 222. Fase estratigráfica 16a. Conjuntos. Producción lascar
 Tabla 223. Fase estratigráfica 16a. Distribución de tipos: cuatro agrupaciones
 Tabla 224. Fase estratigráfica 16a. Resumen estadístico. Distribución de tipos
 Tabla 225. Fase estratigráfica 16a. Conjuntos. Distribución de tipos
 Tabla 226. Fase estratigráfica 16b. Producción laminar: tres agrupaciones
 Tabla 227. Fase estratigráfica 16b. Producción laminar: cinco agrupaciones
 Tabla 228. Fase estratigráfica 16b. Resumen estadístico. Producción laminar
 Tabla 229. Fase estratigráfica 16b. Conjuntos. Producción laminar
 Tabla 230. Fase estratigráfica 16b. Producción lascar: dos agrupaciones

- Tabla 231. Fase estratigráfica 16b. Producción lascar: tres agrupaciones
Tabla 232. Fase estratigráfica 16b. Producción lascar: cinco agrupaciones
Tabla 233. Fase estratigráfica 16b. Resumen estadístico. Producción lascar
Tabla 234. Fase estratigráfica 16b. Conjuntos. Producción lascar
Tabla 235. Fase estratigráfica 16b. Distribución de tipos: dos agrupaciones
Tabla 236. Fase estratigráfica 16b. Distribución de tipos: cuatro agrupaciones
Tabla 237. Fase estratigráfica 16a. Resumen estadístico. Distribución de tipos
Tabla 238. Fase estratigráfica 16a. Conjuntos. Distribución de tipos

1971		1974		1991-94	
PERIOD.	DENOM.	PERIOD.	DENOM.	PERIOD.	DENOM.
				I	NA
I	NM/NT	I	NM/NT	II	NM
II	NF	II	NF	III	NT
				IV	NF
III	CA/CPL	III	CA	V	CA
		IV	CP	VI	CPL
IV	CT/CF	V	CT/CF	VII	CT/CF
				VIII	BA/BM
		VI	RO	IX	RO
				X	MED

Tabla 1. Correlación entre los periodos culturales de las diferentes campañas de excavación
 NA=Neolítico Antiguo; NM=Neolítico Medio; NT=Neolítico Tardío;NF=Neolítico Final; CA=Cobre Antiguo; CPL=Cobre Pleno; CT=Cobre Tardío; CF=Cobre Final; BA=Bronce Antiguo; BM=Bronce Medio; RO=Romano; MED=Medieval.

6(91-94)	6(74)	1c	2	7	1a	3	9	8a/8b	11	4a	10	
V.18	Vb.6b				Va.2a							
VI.19	VIa.7	IVb	VIa.3	VIa.2	Vb.2b	VIa.3	VIa.1b					
VI.20	VIb.8	IVa		VIb.3	VIa.3	VIb.4	VIb.2a			VIa.1	VIb.1a-b	
VII.21a	VIIa.9a	III	VIb.4	VIIa.4		VIIa.5	VIIa.2b				VIIa.1c	
VII.21b			VIb.4b	VIIb.5	VIb.4							
VII.22				VIIb.5		VIIa.4	VIIb.5	VIIb.3a	VIIb.1a		VIIb.2	VIIb.2
VII.23a	VIIb.9b		VIII.6	IXa.6		VIII.6	VIIb.3b	VIIb.1b	1a-1c		VIII	
VII.23b	VIII.10	II	VIII.7		VIII.5		VIII.4			VIII.3		
VII.23c	IXa.11	Ic	IXa.8		IXa.6					IXa.4		
VIII.24a	IXb.12-13	Ib-Ia	IXb.9	IXb.7	IXb.7			X.2a	2a-2c			
VIII.24b	X.13-14	SUP.							X.2b			X.5
VIII.24c					X.8					X.6		
IX.25												
X.26												
SUP.										SUP.		

Tabla 2. Correlación estratigráfica entre los diferentes sondeos realizados en Los Castillejos de Las Peñas de los Gitanos entre 1971 y 1994

Tabla 3. Fase estratigráfica 1. Distribución de la industria
2 Clusters - Final Clusters

CLUS	N	SSE1	SSE2	%SSE	Log(%SSE)	Srqt(SSE/N)
2	532	483	483	53.38	1.73	0.9532

CLUS	nbar	nstd	RMSbar	RMSstd	n>2	r2wbar	r2wstd	K'
2	266.0	92.0	0.99	0.14	2	0.04	0.02	1.0000

CLUS	n	RMS	K	r2	Slope
1	358	0.85	1.0000	0.05	0.28
2	174	1.14	1.0000	0.01	-0.11

CLUS VAR MEAN/STDDEV...

1	1:	-10.66/	0.54	2:	63.28/	0.66
2	1:	-8.88/	0.80	2:	62.63/	0.80

CLUS UNITS...

1	2	11	26	27	29	30	31	32	33	35	38	39
	40	41	42	43	44	45	46	47	48	49	50	51
	52	53	54	55	56	57	58	59	60	61	62	63
	64	65	66	67	68	69	70	71	72	73	74	75
	76	77	78	79	80	81	82	83	84	85	86	87
	88	89	90	91	92	93	94	95	96	97	98	99
	103	104	105	106	107	111	130	131	132	133	135	136
	137	138	139	140	141	142	143	144	145	147	148	149
	150	151	152	153	154	155	156	157	158	159	160	161
	162	163	164	165	166	167	168	171	178	220	221	222
	225	274	275	276	277	278	279	280	281	282	283	284
	285	286	290	292	295	296	297	298	299	300	302	303
	304	305	306	308	309	311	312	313	314	315	316	317
	318	319	320	321	322	323	324	325	326	327	328	329
	330	331	332	333	334	335	336	337	338	339	340	341
	342	343	344	345	346	347	348	349	350	351	352	353
	354	355	356	357	358	359	360	361	362	363	364	365
	366	367	368	369	370	371	372	373	374	375	376	377
	378	379	380	381	382	383	384	385	386	387	388	389
	390	391	392	393	394	395	396	397	398	399	400	401
	402	403	404	405	406	407	408	412	413	414	415	416
	417	418	419	420	421	422	423	424	425	426	427	428
	429	430	431	432	433	434	435	436	437	438	439	440
	441	442	443	444	445	446	447	448	449	450	451	452
	453	454	455	456	457	458	459	460	461	462	463	464
	465	466	467	468	469	470	471	472	473	474	475	476

477 478 479 480 481 482 483 484 485 486 487 488
489 490 491 492 493 495 496 497 498 499 500 501
502 504 505 506 507 509 512 513 514 515 516 517
518 519 520 521 524 525 528 529 531 532
2 1 3 4 5 6 7 8 9 10 12 13 14
15 16 17 18 19 20 21 22 23 24 25 28
34 36 37 100 101 102 108 109 110 112 113 114
115 116 117 118 119 120 121 122 123 124 125 126
127 128 129 134 146 169 170 172 173 174 175 176
177 179 180 181 182 183 184 185 186 187 188 189
190 191 192 193 194 195 196 197 198 199 200 201
202 203 204 205 206 207 208 209 210 211 212 213
214 215 216 217 218 219 223 224 226 227 228 229
230 231 232 233 234 235 236 237 238 239 240 241
242 243 244 245 246 247 248 249 250 251 252 253
254 255 256 257 258 259 260 261 262 263 264 265
266 267 268 269 270 271 272 273 287 288 289 291
293 294 301 307 310 409 410 411 494 503 508 510
511 522 523 526 527 530

Tabla 4. Fase estratigráfica 1. Distribución de la industria
4 Clusters - Final Clusters

CLUS	N	SSE1	SSE2	%SSE	Log(%SSE)	Srqt(SSE/N)
4	532	251	251	27.66	1.44	0.6862

CLUS	nbar	nstd	RMSbar	RMSstd	n>2	r2wbar	r2wstd	K'
4	133.0	42.6	0.72	0.18	4	0.02	0.03	1.0000

CLUS	n	RMS	K	r2	Slope
1	153	0.56	1.0000	0.00	-0.01
2	167	0.73	1.0000	0.05	0.30
3	60	1.01	1.0000	0.07	0.28
4	152	0.58	1.0000	0.00	0.06

CLUS VAR MEAN/STDDEV...

1	1:	-10.71/	0.47	2:	63.87/	0.31
2	1:	-9.50/	0.42	2:	63.09/	0.59
3	1:	-8.03/	0.70	2:	62.10/	0.74
4	1:	-10.89/	0.42	2:	62.61/	0.40

CLUS UNITS...

1	31	32	48	51	54	55	56	61	63	65	70	71
	72	73	74	75	76	77	78	79	80	81	82	83
	84	85	86	87	88	89	90	130	131	136	140	141
	142	143	144	148	149	150	155	156	157	158	159	160
	161	162	163	164	165	166	178	221	280	281	282	290
	325	328	333	335	338	340	341	342	344	352	353	354
	355	356	357	358	359	360	361	362	363	364	365	366
	367	368	369	372	384	389	390	395	399	403	405	408
	412	413	415	416	417	418	419	420	421	422	423	424
	425	426	427	428	429	430	431	432	433	434	435	436
	437	438	439	440	441	442	443	444	445	446	447	448
	449	498	499	500	501	502	504	505	506	507	509	514
	515	516	517	518	520	521	525	531	532			
2	1	2	3	4	11	12	13	14	15	16	19	20
	21	22	23	24	33	34	35	36	38	39	40	41
	42	43	44	45	47	50	104	105	106	107	108	109
	110	111	112	117	118	119	120	121	122	123	125	126
	127	128	129	132	133	135	137	169	170	171	172	173
	174	175	176	177	179	180	181	182	183	184	185	186
	187	188	189	190	191	192	193	194	212	215	216	217
	218	219	220	222	223	224	225	227	228	229	230	231
	240	243	247	248	249	250	251	252	253	254	255	256

257 258 259 260 261 262 263 264 265 270 273 283
286 287 291 292 293 294 295 297 298 299 300 301
302 303 304 305 307 310 313 314 315 316 317 318
319 320 321 322 323 324 329 339 343 345 351 409
410 411 414 494 495 496 503 510 526 527 530
3 5 6 7 8 9 10 17 18 25 100 101 102
113 114 115 116 124 134 195 196 197 198 199 200
201 202 203 204 205 206 207 208 209 210 211 213
214 226 232 233 234 235 236 237 238 239 241 242
244 245 246 266 267 268 269 271 272 511 522 523
4 26 27 28 29 30 37 46 49 52 53 57 58
59 60 62 64 66 67 68 69 91 92 93 94
95 96 97 98 99 103 138 139 145 146 147 151
152 153 154 167 168 274 275 276 277 278 279 284
285 288 289 296 306 308 309 311 312 326 327 330
331 332 334 336 337 346 347 348 349 350 370 371
373 374 375 376 377 378 379 380 381 382 383 385
386 387 388 391 392 393 394 396 397 398 400 401
402 404 406 407 450 451 452 453 454 455 456 457
458 459 460 461 462 463 464 465 466 467 468 469
470 471 472 473 474 475 476 477 478 479 480 481
482 483 484 485 486 487 488 489 490 491 492 493
497 508 512 513 519 524 528 529

Tabla 5. Fase estratigráfica 1. Distribución de la industria
6 Clusters - Final Clusters

CLUS	N	SSE1	SSE2	%SSE	Log(%SSE)	Srqt(SSE/N)
6	532	159	159	17.51	1.24	0.5460

CLUS	nbar	nstd	RMSbar	RMSstd	n>2	r2wbar	r2wstd	K'
6	88.7	37.6	0.58	0.11	6	0.02	0.02	1.0000

CLUS	n	RMS	K	r2	Slope
1	97	0.46	1.0000	0.00	0.03
2	89	0.54	1.0000	0.00	-0.09
3	139	0.53	1.0000	0.05	0.23
4	125	0.48	1.0000	0.00	0.06
5	43	0.75	1.0000	0.00	0.01
6	39	0.71	1.0000	0.02	-0.10

CLUS VAR MEAN/STDDEV...

1	1: -10.97/ 0.36	2: 63.93/ 0.28
2	1: -9.47/ 0.34	2: 62.37/ 0.42
3	1: -10.96/ 0.37	2: 62.63/ 0.38
4	1: -10.03/ 0.30	2: 63.54/ 0.38
5	1: -8.65/ 0.64	2: 63.69/ 0.40
6	1: -7.82/ 0.56	2: 61.88/ 0.44

CLUS UNITS...

1	51	54	55	56	63	65	71	72	73	74	75	77
	78	79	80	81	82	84	85	86	88	89	90	136
	141	142	143	144	148	156	157	158	159	160	161	164
	165	166	280	282	333	342	344	352	354	355	356	357
	358	359	360	361	362	363	364	365	366	368	369	372
	384	403	412	415	416	417	418	419	420	421	422	425
	426	427	431	433	434	436	437	438	439	440	442	444
	445	446	449	499	501	504	507	515	517	518	525	531
	532											
2	4	15	16	17	18	19	20	21	22	23	24	28
	33	34	36	37	100	101	119	120	121	122	123	128
	129	133	146	182	183	184	185	186	187	188	189	190
	212	228	229	231	232	233	235	236	239	240	241	243
	244	247	248	249	250	251	252	253	254	255	256	257
	258	259	260	261	262	263	264	265	269	287	288	289
	291	293	294	301	306	307	308	310	351	409	410	411
	503	508	510	527	530							
3	26	27	29	30	46	49	52	53	57	58	59	60

62 64 66 67 68 69 91 92 93 94 95 96
 97 98 99 103 138 139 140 145 147 151 152 153
 154 167 168 274 275 276 277 278 279 284 285 296
 309 311 312 330 331 332 334 336 348 349 350 370
 371 373 374 375 376 377 378 379 380 381 382 383
 385 386 388 390 391 392 393 396 397 398 400 401
 402 404 406 407 450 451 452 453 454 455 456 457
 458 459 460 461 462 463 464 465 466 467 468 469
 470 471 472 473 474 475 476 477 478 479 480 481
 482 483 484 485 486 487 488 489 490 491 492 493
 497 512 513 519 524 528 529
 4 1 2 3 11 31 32 35 38 39 40 41 42
 43 44 45 47 48 50 61 70 76 83 87 104
 105 106 107 111 126 130 131 132 135 137 149 150
 155 162 163 171 174 175 178 219 220 221 222 223
 224 225 281 283 286 290 292 295 297 298 299 300
 302 303 304 305 313 314 315 316 317 318 319 320
 321 322 323 324 325 326 327 328 329 335 337 338
 339 340 341 343 345 346 347 353 367 387 389 394
 395 399 405 408 413 414 423 424 428 429 430 432
 435 441 443 447 448 495 496 498 500 502 505 506
 509 514 516 520 521
 5 9 10 12 13 14 25 108 109 110 112 116 117
 118 125 127 169 170 172 173 176 177 179 180 181
 191 192 193 194 210 211 215 216 217 218 226 227
 230 270 272 273 494 522 526
 6 5 6 7 8 102 113 114 115 124 134 195 196
 197 198 199 200 201 202 203 204 205 206 207 208
 209 213 214 234 237 238 242 245 246 266 267 268
 271 511 523

Tabla 6. Fase estratigráfica 1. Distribución de la industria
Run Statistics Summary

CLUS	N	SSE1	SSE2	%SSE	Log(%SSE)	Srqt(SSE/N)
1	532	906	906	100.00	2.00	1.3047
2	532	483	483	53.38	1.73	0.9532
3	532	365	365	40.28	1.61	0.8281
4	532	251	251	27.66	1.44	0.6862
5	532	198	198	21.83	1.34	0.6097
6	532	159	159	17.51	1.24	0.5460
7	532	145	145	15.96	1.20	0.5213
8	532	128	128	14.14	1.15	0.4906
9	532	118	118	12.98	1.11	0.4702
10	532	113	113	12.52	1.10	0.4616

CLUS	nbar	nstd	RMSbar	RMSstd	n>2	r2wbar	r2wstd	K'
1	532.0	0.0	1.30	0.00	1	0.08	0.00	1.0000
2	266.0	92.0	0.99	0.14	2	0.04	0.02	1.0000
3	177.3	90.7	0.87	0.10	3	0.03	0.02	1.0000
4	133.0	42.6	0.72	0.18	4	0.02	0.03	1.0000
5	106.4	39.2	0.64	0.12	5	0.05	0.04	1.0000
6	88.7	37.6	0.58	0.11	6	0.02	0.02	1.0000
7	76.0	42.7	0.55	0.11	7	0.03	0.03	1.0000
8	66.5	40.8	0.52	0.09	8	0.05	0.04	1.0000
9	59.1	41.7	0.53	0.12	9	0.04	0.05	1.0000
10	53.2	42.5	0.52	0.11	10	0.03	0.04	1.0000

Conjuntos en 2,4 y 6 agrupaciones

	C	Nº de elementos	VAR	X	Y
2	1	358	0.849	-10.660	63.280
2	2	174	1.138	-8.877	62.629
4	1	153	0.564	-10.709	63.871
4	2	167	0.727	-9.498	63.093
4	3	60	1.014	-8.027	62.103
4	4	152	0.585	-10.885	62.610
6	1	97	0.456	-10.972	63.926
6	2	89	0.540	-9.466	62.368
6	3	139	0.532	-10.959	62.633
6	4	125	0.483	-10.034	63.537
6	5	43	0.753	-8.647	63.693
6	6	39	0.708	-7.817	61.879

Tabla 7. Fase estratigráfica 1. Distribución de la producción laminar
2 Clusters - Final Clusters

CLUS	N	SSE1	SSE2	%SSE	Log(%SSE)	Srqt(SSE/N)
2	172	145	145	53.65	1.73	0.9192

CLUS	nbar	nstd	RMSbar	RMSstd	n>2	r2wbar	r2wstd	K'
2	86.0	29.0	0.95	0.13	2	0.04	0.03	1.0000

CLUS	n	RMS	K	r2	Slope
1	115	0.82	1.0000	0.06	0.32
2	57	1.09	1.0000	0.00	-0.05

CLUS VAR MEAN/STDDEV...

1	1: -10.65/ 0.51	2: 63.36/ 0.65
2	1: -8.94/ 0.77	2: 62.75/ 0.77

CLUS UNITS...

1	11	26	27	29	30	31	32	35	38	39	40	41
	42	43	44	45	46	47	48	49	50	51	52	53
	54	55	56	57	58	59	60	61	62	63	64	65
	66	67	68	69	70	71	72	73	74	75	76	77
	78	79	80	81	82	83	84	85	86	87	88	89
	90	91	92	93	94	95	96	97	98	99	103	104
	105	106	107	111	130	131	132	135	136	137	138	139
	140	141	142	143	144	145	147	148	149	150	151	152
	153	154	155	156	157	158	159	160	161	162	163	164
	165	166	167	168	169	171	172					
2	1	2	3	4	5	6	7	8	9	10	12	13
	14	15	16	17	18	19	20	21	22	23	24	25
	28	33	34	36	37	100	101	102	108	109	110	112
	113	114	115	116	117	118	119	120	121	122	123	124
	125	126	127	128	129	133	134	146	170			

Tabla 8. Fase estratigráfica 1. Distribución de la producción laminar
6 Clusters - Final Clusters

CLUS	N	SSE1	SSE2	%SSE	Log(%SSE)	Srqt(SSE/N)
6	172	45	45	16.68	1.22	0.5126

CLUS	nbar	nstd	RMSbar	RMSstd	n>2	r2wbar	r2wstd	K'
6	28.7	14.5	0.54	0.09	6	0.06	0.07	1.0000

CLUS	n	RMS	K	r2	Slope
1	51	0.48	1.0000	0.05	0.15
2	36	0.45	1.0000	0.00	0.05
3	22	0.49	1.0000	0.00	0.01
4	39	0.51	1.0000	0.14	0.39
5	14	0.66	1.0000	0.21	-0.34
6	10	0.67	1.0000	0.01	0.05

CLUS VAR MEAN/STDDEV...

1	1: -10.78/ 0.40	2: 63.90/ 0.27
2	1: -9.82/ 0.31	2: 63.35/ 0.33
3	1: -9.41/ 0.36	2: 62.23/ 0.33
4	1: -10.94/ 0.35	2: 62.61/ 0.37
5	1: -8.60/ 0.53	2: 63.73/ 0.40
6	1: -7.80/ 0.55	2: 62.04/ 0.38

CLUS UNITS...

1	32	51	54	55	56	63	65	70	71	72	73	74
	75	77	78	79	80	81	82	83	84	85	86	87
	88	89	90	130	131	136	140	141	142	143	144	148
	149	150	155	156	157	158	159	160	161	162	163	164
	165	166	171									
2	1	2	3	11	14	16	31	33	34	35	38	39
	40	41	42	43	44	45	47	48	50	61	76	104
	105	106	107	111	119	126	129	132	133	135	137	172
3	4	15	17	18	19	20	21	22	23	24	28	36
	37	100	101	120	121	122	123	128	146	170		
4	26	27	29	30	46	49	52	53	57	58	59	60
	62	64	66	67	68	69	91	92	93	94	95	96
	97	98	99	103	138	139	145	147	151	152	153	154
	167	168	169									
5	9	10	12	13	25	108	109	110	112	116	117	118
	125	127										
6	5	6	7	8	102	113	114	115	124	134		

Tabla 9. Fase estratigráfica 1. Distribución de la producción laminar
Run Statistics Summary

CLUS	N	SSE1	SSE2	%SSE	Log(%SSE)	Srqt(SSE/N)
1	172	271	271	100.00	2.00	1.2550
2	172	145	145	53.65	1.73	0.9192
3	172	104	104	38.24	1.58	0.7761
4	172	73	73	26.86	1.43	0.6504
5	172	55	55	20.32	1.31	0.5657
6	172	45	45	16.68	1.22	0.5126
7	172	40	40	14.60	1.16	0.4795
8	172	36	36	13.23	1.12	0.4565

CLUS	nbar	nstd	RMSbar	RMSstd	n>2	r2wbar	r2wstd	K'
1	172.0	0.0	1.25	0.00	1	0.06	0.00	1.0000
2	86.0	29.0	0.95	0.13	2	0.04	0.03	1.0000
3	57.3	15.5	0.77	0.20	3	0.03	0.02	1.0000
4	43.0	14.9	0.69	0.18	4	0.01	0.01	1.0000
5	34.4	13.5	0.60	0.16	5	0.06	0.06	1.0000
6	28.7	14.5	0.54	0.09	6	0.06	0.07	1.0000
7	24.6	11.4	0.50	0.11	7	0.05	0.06	1.0000
8	21.5	12.6	0.47	0.09	8	0.07	0.07	1.0000

Medidas de los conjuntos

2 agrupaciones

C	Nº de elementos	VAR	X	Y
2 1	115	0.825	-10.655	63.360
2 2	57	1.085	-8.945	62.752

6 agrupaciones

C	Nº de elementos	VAR	X	Y
6 1	51	0.482	-10.781	63.899
6 2	36	0.448	-9.817	63.354
6 3	22	0.491	-9.411	62.233
6 4	39	0.510	-10.935	62.613
6 5	14	0.664	-8.600	63.733
6 6	10	0.670	-7.795	62.040

Tabla 10. Fase estratigráfica 1. Distribución de la producción lascar
2 Clusters - Final Clusters

CLUS	N	SSE1	SSE2	%SSE	Log(%SSE)	Srqt(SSE/N)
2	348	296	296	52.34	1.72	0.9228

CLUS	nbar	nstd	RMSbar	RMSstd	n>2	r2wbar	r2wstd	K'
2	174.0	58.0	0.96	0.14	2	0.04	0.02	1.0000

CLUS	n	RMS	K	r2	Slope
1	232	0.82	1.0000	0.05	0.27
2	116	1.09	1.0000	0.02	-0.15

CLUS VAR MEAN/STDDEV...

1	1:	-10.66/	0.53	2:	63.24/	0.63
2	1:	-8.91/	0.77	2:	62.59/	0.78

CLUS UNITS...

1	3	10	52	53	54	57	106	107	108	109	110	111
	112	113	114	115	116	117	118	122	124	127	128	129
	130	131	132	134	135	136	137	138	140	141	143	144
	145	146	147	148	149	150	151	152	153	154	155	156
	157	158	159	160	161	162	163	164	165	166	167	168
	169	170	171	172	173	174	175	176	177	178	179	180
	181	182	183	184	185	186	187	188	189	190	191	192
	193	194	195	196	197	198	199	200	201	202	203	204
	205	206	207	208	209	210	211	212	213	214	215	216
	217	218	219	220	221	222	223	224	225	226	227	228
	229	230	231	232	233	234	235	236	237	238	239	240
	244	245	246	247	248	249	250	251	252	253	254	255
	256	257	258	259	260	261	262	263	264	265	266	267
	268	269	270	271	272	273	274	275	276	277	278	279
	280	281	282	283	284	285	286	287	288	289	290	291
	292	293	294	295	296	297	298	299	300	301	302	303
	304	305	306	307	308	309	310	311	312	313	314	315
	316	317	318	319	320	321	322	323	324	325	327	328
	329	330	331	332	333	334	336	337	338	339	341	344
	345	346	347	348								
2	1	2	4	5	6	7	8	9	11	12	13	14
	15	16	17	18	19	20	21	22	23	24	25	26
	27	28	29	30	31	32	33	34	35	36	37	38
	39	40	41	42	43	44	45	46	47	48	49	50
	51	55	56	58	59	60	61	62	63	64	65	66
	67	68	69	70	71	72	73	74	75	76	77	78

79 80 81 82 83 84 85 86 87 88 89 90
91 92 93 94 95 96 97 98 99 100 101 102
103 104 105 119 120 121 123 125 126 133 139 142
241 242 243 326 335 340 342 343

Tabla 11. Fase estratigráfica 1. Distribución de la producción lascar
4 Clusters - Final Clusters

CLUS	N	SSE1	SSE2	%SSE	Log(%SSE)	Srqt(SSE/N)
4	348	151	151	26.70	1.43	0.6592

CLUS	nbar	nstd	RMSbar	RMSstd	n>2	r2wbar	r2wstd	K'
4	87.0	28.9	0.68	0.12	4	0.06	0.06	1.0000

CLUS	n	RMS	K	r2	Slope
1	106	0.54	1.0000	0.01	-0.06
2	37	0.83	1.0000	0.11	0.24
3	101	0.59	1.0000	0.00	-0.04
4	104	0.75	1.0000	0.14	0.47

CLUS VAR MEAN/STDDEV...

1	1:	-10.88/	0.42	2:	62.64/	0.35
2	1:	-8.09/	0.67	2:	61.91/	0.49
3	1:	-10.62/	0.50	2:	63.83/	0.32
4	1:	-9.43/	0.47	2:	63.03/	0.59

CLUS UNITS...

1	106	107	108	109	110	111	116	117	120	121	128	138
	140	141	143	144	158	159	162	163	164	166	168	169
	178	180	181	182	202	203	205	206	207	208	209	210
	211	212	213	214	215	217	218	219	220	223	224	225
	226	228	229	230	232	233	234	236	238	239	282	283
	284	285	286	287	288	289	290	291	292	293	294	295
	296	297	298	299	300	301	302	303	304	305	306	307
	308	309	310	311	312	313	314	315	316	317	318	319
	320	321	322	323	324	325	329	340	344	348		
2	27	28	29	30	31	32	33	34	35	36	37	38
	39	40	41	42	45	46	64	65	66	67	68	69
	70	71	73	74	76	77	78	98	99	100	101	103
	104											
3	10	53	112	113	114	115	122	124	145	149	151	157
	160	165	167	170	172	173	174	175	176	177	179	184
	185	186	187	188	189	190	191	192	193	194	195	196
	197	198	199	200	201	204	216	221	222	227	231	235
	237	240	244	245	246	247	248	249	250	251	252	253
	254	255	256	257	258	259	260	261	262	263	264	265
	266	267	268	269	270	271	272	273	274	275	276	277
	278	279	280	281	330	331	332	333	334	336	337	338
	339	341	345	346	347							

4 1 2 3 4 5 6 7 8 9 11 12 13
14 15 16 17 18 19 20 21 22 23 24 25
26 43 44 47 48 49 50 51 52 54 55 56
57 58 59 60 61 62 63 72 75 79 80 81
82 83 84 85 86 87 88 89 90 91 92 93
94 95 96 97 102 105 118 119 123 125 126 127
129 130 131 132 133 134 135 136 137 139 142 146
147 148 150 152 153 154 155 156 161 171 183 241
242 243 326 327 328 335 342 343

Tabla 12. Fase estratigráfica 1. Distribución de la producción lascar
6 Clusters - Final Clusters

CLUS	N	SSE1	SSE2	%SSE	Log(%SSE)	Srqt(SSE/N)
6	348	92	92	16.32	1.21	0.5153

CLUS	nbar	nstd	RMSbar	RMSstd	n>2	r2wbar	r2wstd	K'
6	58.0	23.7	0.54	0.09	6	0.02	0.02	1.0000

CLUS	n	RMS	K	r2	Slope
1	96	0.47	1.0000	0.01	0.09
2	28	0.69	1.0000	0.06	0.22
3	55	0.45	1.0000	0.05	0.16
4	58	0.55	1.0000	0.00	-0.02
5	78	0.47	1.0000	0.03	0.23
6	33	0.61	1.0000	0.02	0.11

CLUS VAR MEAN/STDDEV...

1	1:	-10.96/	0.37	2:	62.68/	0.30
2	1:	-7.83/	0.51	2:	61.92/	0.46
3	1:	-10.96/	0.37	2:	63.94/	0.25
4	1:	-9.51/	0.35	2:	62.30/	0.42
5	1:	-10.08/	0.27	2:	63.50/	0.38
6	1:	-8.90/	0.46	2:	63.59/	0.40

CLUS UNITS...

1	106	107	108	109	110	111	116	128	141	143	144	162
	163	164	166	168	180	181	182	184	202	203	205	206
	207	208	209	210	211	212	213	214	215	217	218	220
	222	223	224	225	228	229	230	232	233	234	236	238
	239	282	283	284	285	286	287	288	289	290	291	292
	293	294	295	296	297	298	299	300	301	302	303	304
	305	306	307	308	309	310	311	312	313	314	315	316
	317	318	319	320	321	322	323	324	325	329	344	348
2	27	28	29	30	31	32	33	34	35	36	37	38
	39	40	41	45	46	66	69	70	74	77	78	98
	99	100	103	104								
3	112	114	165	174	176	186	187	188	189	190	191	192
	193	194	195	196	197	198	200	201	204	216	235	244
	247	248	249	250	251	252	253	254	257	258	259	263
	265	266	267	268	269	270	271	272	274	276	277	278
	281	331	333	336	339	345	347					
4	14	15	16	17	18	19	20	21	60	61	64	65
	67	68	71	72	73	75	76	79	80	81	82	83

84 85 86 87 88 89 90 91 92 93 94 95
96 97 101 117 119 120 121 123 125 126 133 138
139 140 142 183 241 242 243 335 340 343
5 3 6 10 52 53 54 57 113 115 118 122 124
127 129 130 131 132 134 135 136 137 145 146 147
148 149 150 151 152 153 154 155 156 157 158 159
160 161 167 169 170 171 172 173 175 177 178 179
185 199 219 221 226 227 231 237 240 245 246 255
256 260 261 262 264 273 275 279 280 327 328 330
332 334 337 338 341 346
6 1 2 4 5 7 8 9 11 12 13 22 23
24 25 26 42 43 44 47 48 49 50 51 55
56 58 59 62 63 102 105 326 342

Tabla 13. Fase estratigráfica 1. Distribución de la producción lascar
Run Statistics Summary

CLUS	N	SSE1	SSE2	%SSE	Log(%SSE)	Srqt(SSE/N)
1	348	566	566	100.00	2.00	1.2756
2	348	296	296	52.34	1.72	0.9228
3	348	220	220	38.85	1.59	0.7951
4	348	151	151	26.70	1.43	0.6592
5	348	116	116	20.45	1.31	0.5768
6	348	92	92	16.32	1.21	0.5153
7	348	80	80	14.05	1.15	0.4782
8	348	69	69	12.24	1.09	0.4463

CLUS	nbar	nstd	RMSbar	RMSstd	n>2	r2wbar	r2wstd	K'
1	348.0	0.0	1.28	0.00	1	0.09	0.00	1.0000
2	174.0	58.0	0.96	0.14	2	0.04	0.02	1.0000
3	116.0	35.9	0.82	0.12	3	0.02	0.00	1.0000
4	87.0	28.9	0.68	0.12	4	0.06	0.06	1.0000
5	69.6	26.2	0.60	0.09	5	0.04	0.04	1.0000
6	58.0	23.7	0.54	0.09	6	0.02	0.02	1.0000
7	49.7	15.4	0.50	0.11	7	0.02	0.02	1.0000
8	43.5	17.0	0.47	0.10	8	0.03	0.03	1.0000

Conjuntos en 2,4 y 6 agrupaciones

C	Nº de elementos	VAR	X	Y	
2	1	232	0.824	-10.656	63.241
2	2	116	1.094	-8.906	62.587
4	1	106	0.545	-10.880	62.640
4	2	37	0.831	-8.091	61.910
4	3	101	0.591	-10.618	63.829
4	4	104	0.753	-9.425	63.027
6	1	96	0.470	-10.959	62.676
6	2	28	0.693	-7.834	61.921
6	3	55	0.452	-10.961	63.944
6	4	58	0.547	-9.508	62.299
6	5	78	0.466	-10.075	63.497
6	6	33	0.608	-8.897	63.587

Tabla 15. Fase estratigráfica 2. Distribución de la industria
3 Clusters - Final Clusters

CLUS	N	SSE1	SSE2	%SSE	Log(%SSE)	Sqrt(SSE/N)
3	274	113	113	24.33	1.39	0.6423

CLUS	nbar	nstd	RMSbar	RMSstd	n>2	r2wbar	r2wstd	K'
3	91.3	33.5	0.64	0.02	3	0.01	0.01	1.0000

CLUS	n	RMS	K	r2	Slope
1	102	0.61	1.0000	0.00	-0.02
2	126	0.67	1.0000	0.00	0.04
3	46	0.64	1.0000	0.04	-0.30

CLUS VAR MEAN/STDDEV...

1	1:	-9.85/ 0.49	2:	63.62/ 0.37
2	1:	-8.78/ 0.53	2:	61.89/ 0.40
3	1:	-10.99/ 0.35	2:	62.93/ 0.53

CLUS UNITS...

1	1	2	23	24	25	26	45	50	51	52	56	57
	58	59	60	61	62	63	64	65	66	67	68	69
	74	75	76	81	82	83	84	85	91	101	102	103
	104	105	106	107	108	113	120	121	123	124	125	126
	127	128	129	132	134	135	153	154	155	157	158	159
	160	161	162	203	204	206	207	208	209	210	223	224
	225	226	227	228	229	230	231	232	233	234	236	237
	238	239	240	241	242	243	244	245	246	253	254	255
	259	260	264	266	270	272						
2	3	4	5	6	7	8	9	10	11	12	13	14
	15	16	17	18	19	20	21	22	27	28	29	30
	31	32	33	34	35	36	37	38	39	40	41	42
	43	44	46	47	48	49	77	78	79	86	87	88
	89	90	92	93	94	95	96	97	98	99	100	122
	130	131	133	136	137	138	139	140	141	142	143	144
	145	146	147	148	149	150	151	152	156	163	164	165
	166	167	168	169	170	171	172	173	174	175	176	177
	178	179	180	181	182	183	184	185	186	187	188	189
	190	191	192	193	194	195	196	197	198	199	200	201
	202	205	265	267	268	273						
3	53	54	55	70	71	72	73	80	109	110	111	112
	114	115	116	117	118	119	211	212	213	214	215	216
	217	218	219	220	221	222	235	247	248	249	250	251
	252	256	257	258	261	262	263	269	271	274		

Tabla 16. Fase estratigráfica 2. Distribución de la industria
Run Statistics Summary

CLUS	N	SSE1	SSE2	%SSE	Log(%SSE)	Srqt(SSE/N)
1	274	465	465	100.00	2.00	1.3023
2	274	166	166	35.78	1.55	0.7790
3	274	113	113	24.33	1.39	0.6423
4	274	90	90	19.31	1.29	0.5722
5	274	73	73	15.80	1.20	0.5177
6	274	59	59	12.68	1.10	0.4638

CLUS	nbar	nstd	RMSbar	RMSstd	n>2	r2wbar	r2wstd	K'
1	274.0	0.0	1.30	0.00	1	0.28	0.00	1.0000
2	137.0	13.0	0.77	0.09	2	0.10	0.05	1.0000
3	91.3	33.5	0.64	0.02	3	0.01	0.01	1.0000
4	68.5	27.8	0.59	0.06	4	0.09	0.12	1.0000
5	54.8	28.9	0.55	0.10	5	0.01	0.02	1.0000
6	45.7	19.6	0.49	0.10	6	0.05	0.07	1.0000

Tabla 17. Fase estratigráfica 2. Agrupaciones

C	Nº de elementos	VAR	X	Y	
2	1	150	0.853	-10.221	63.375
2	2	124	0.679	-8.732	61.898
3	1	102	0.615	-9.846	63.620
3	2	126	0.666	-8.778	61.886
3	3	46	0.636	-10.990	62.928

Tabla 18. Fase estratigráfica 2. Distribución de la producción laminar
2 Clusters - Final Clusters

CLUS	N	SSE1	SSE2	%SSE	Log(%SSE)	Srqt(SSE/N)
2	123	63	63	30.73	1.49	0.7162

CLUS	nbar	nstd	RMSbar	RMSstd	n>2	r2wbar	r2wstd	K'
2	61.5	4.5	0.71	0.07	2	0.07	0.04	1.0000

CLUS	n	RMS	K	r2	Slope
1	66	0.77	1.0000	0.11	0.25
2	57	0.64	1.0000	0.03	0.12

CLUS VAR MEAN/STDDEV...

1	1: -10.19/ 0.61	2: 63.46/ 0.47
2	1: -8.75/ 0.52	2: 61.86/ 0.38

CLUS UNITS...

1	1	2	23	24	25	26	45	46	48	49	50	51
	52	53	54	55	56	57	58	59	60	61	62	63
	64	65	66	67	68	69	70	71	72	73	74	75
	76	80	81	82	83	84	85	91	101	102	103	104
	105	106	107	108	109	110	111	112	113	114	115	116
	117	118	119	120	121	123						
2	3	4	5	6	7	8	9	10	11	12	13	14
	15	16	17	18	19	20	21	22	27	28	29	30
	31	32	33	34	35	36	37	38	39	40	41	42
	43	44	47	77	78	79	86	87	88	89	90	92
	93	94	95	96	97	98	99	100	122			

Tabla 19. Fase estratigráfica 2. Distribución de la producción laminar
4 Clusters - Final Clusters

CLUS	N	SSE1	SSE2	%SSE	Log(%SSE)	Srqt(SSE/N)
4	123	31	31	15.20	1.18	0.5038

CLUS	nbar	nstd	RMSbar	RMSstd	n>2	r2wbar	r2wstd	K'
4	30.8	9.9	0.51	0.03	4	0.17	0.16	1.0000

CLUS	n	RMS	K	r2	Slope
1	23	0.53	1.0000	0.29	0.87
2	40	0.47	1.0000	0.35	-0.53
3	19	0.54	1.0000	0.02	0.14
4	41	0.50	1.0000	0.00	0.05

CLUS VAR MEAN/STDDEV...

1	1:	-10.91/	0.28	2:	63.32/	0.45
2	1:	-9.10/	0.35	2:	61.79/	0.31
3	1:	-8.16/	0.36	2:	62.02/	0.41
4	1:	-9.78/	0.36	2:	63.61/	0.36

CLUS UNITS...

1	53	54	55	58	68	70	71	72	73	74	80	103
	105	109	110	111	112	114	115	116	117	118	119	
2	8	9	10	11	12	13	15	16	17	18	19	20
	21	22	27	28	34	35	36	37	39	40	41	42
	43	44	46	47	48	49	77	78	88	89	90	93
	94	95	99	100								
3	3	4	5	6	7	14	29	30	31	32	33	38
	79	86	87	96	97	98	122					
4	1	2	23	24	25	26	45	50	51	52	56	57
	59	60	61	62	63	64	65	66	67	69	75	76
	81	82	83	84	85	91	92	101	102	104	106	107
	108	113	120	121	123							

Tabla 20. Fase estratigráfica 2. Distribución de la producción laminar
Run Statistics Summary

CLUS	N	SSE1	SSE2	%SSE	Log(%SSE)	Srqt(SSE/N)
1	123	205	205	100.00	2.00	1.2921
2	123	63	63	30.73	1.49	0.7162
3	123	43	43	21.15	1.33	0.5943
4	123	31	31	15.20	1.18	0.5038
5	123	25	25	12.32	1.09	0.4536

CLUS	nbar	nstd	RMSbar	RMSstd	n>2	r2wbar	r2wstd	K'
1	123.0	0.0	1.29	0.00	1	0.37	0.00	1.0000
2	61.5	4.5	0.71	0.07	2	0.07	0.04	1.0000
3	41.0	14.7	0.57	0.07	3	0.06	0.11	1.0000
4	30.8	9.9	0.51	0.03	4	0.17	0.16	1.0000
5	24.6	10.4	0.46	0.07	5	0.09	0.09	1.0000

Tabla 21. Fase estratigráfica 2. Distribución de la producción laminar

C	Nº de elementos	VAR	X	Y	
2	1	66	0.774	-10.188	63.461
2	2	57	0.643	-8.746	61.857
4	1	23	0.528	-10.913	63.320
4	2	40	0.469	-9.104	61.791
4	3	19	0.543	-8.156	62.016
4	4	41	0.504	-9.776	63.609

Tabla 22. Fase estratigráfica 2. Distribución de la producción lascar
2 Clusters - Final Clusters

CLUS	N	SSE1	SSE2	%SSE	Log(%SSE)	Srqt(SSE/N)
2	151	102	102	39.41	1.60	0.8224

CLUS	nbar	nstd	RMSbar	RMSstd	n>2	r2wbar	r2wstd	K'
2	75.5	7.5	0.81	0.09	2	0.12	0.07	1.0000

CLUS	n	RMS	K	r2	Slope
1	83	0.90	1.0000	0.18	0.38
2	68	0.71	1.0000	0.04	0.20

CLUS VAR MEAN/STDDEV...

1	1:	-10.25/	0.67	2:	63.32/	0.60
2	1:	-8.74/	0.51	2:	61.94/	0.50

CLUS UNITS...

1	1	2	3	4	5	6	11	30	31	32	34	35
	36	37	38	39	80	81	83	84	85	86	87	88
	89	90	91	92	93	94	95	96	97	98	99	100
	101	102	103	104	105	106	107	108	109	110	111	112
	113	114	115	116	117	118	119	120	121	122	123	124
	125	126	127	128	129	130	131	132	133	134	135	136
	137	138	139	140	141	143	146	147	148	149	151	
2	7	8	9	10	12	13	14	15	16	17	18	19
	20	21	22	23	24	25	26	27	28	29	33	40
	41	42	43	44	45	46	47	48	49	50	51	52
	53	54	55	56	57	58	59	60	61	62	63	64
	65	66	67	68	69	70	71	72	73	74	75	76
	77	78	79	82	142	144	145	150				

Tabla 24. Fase estratigráfica 2. Distribución de la producción lascar
Run Statistics Summary

CLUS	N	SSE1	SSE2	%SSE	Log(%SSE)	Srqt(SSE/N)
1	151	259	259	100.00	2.00	1.3100
2	151	102	102	39.41	1.60	0.8224
3	151	66	66	25.54	1.41	0.6620
4	151	52	52	20.17	1.30	0.5884
5	151	43	43	16.71	1.22	0.5356
6	151	36	36	13.82	1.14	0.4869

CLUS	nbar	nstd	RMSbar	RMSstd	n>2	r2wbar	r2wstd	K'
1	151.0	0.0	1.31	0.00	1	0.22	0.00	1.0000
2	75.5	7.5	0.81	0.09	2	0.12	0.07	1.0000
3	50.3	17.2	0.65	0.05	3	0.06	0.06	1.0000
4	37.8	22.0	0.63	0.08	4	0.08	0.09	1.0000
5	30.2	15.7	0.56	0.13	5	0.05	0.09	1.0000
6	25.2	11.7	0.52	0.12	6	0.05	0.09	1.0000

Tabla 25. Fase estratigráfica 2. Distribución de la producción lascar

C	Nº de elementos	VAR	X	Y	
2	1	83	0.902	-10.252	63.318
2	2	68	0.714	-8.736	61.93
3	1	56	0.608	-9.902	63.611
3	2	68	0.714	-8.736	61.939
3	3	27	0.633	-10.980	62.710

Tabla 26. Fase estratigráfica 3. Distribución de la industria
2 Clusters - Final Clusters

CLUS	N	SSE1	SSE2	%SSE	Log(%SSE)	Srqt(SSE/N)
2	202	148	147	53.57	1.73	0.8556

CLUS	nbar	nstd	RMSbar	RMSstd	n>2	r2wbar	r2wstd	K'
2	101.0	45.0	0.89	0.08	2	0.12	0.15	1.0000

CLUS	n	RMS	K	r2	Slope
1	146	0.80	1.0000	0.02	-0.23
2	56	0.97	1.0000	0.36	0.89

CLUS VAR MEAN/STDDEV...

1	1: -10.36/ 0.44	2: 62.89/ 0.67
2	1: -8.82/ 0.54	2: 62.29/ 0.81

CLUS UNITS...

1	2	14	15	16	17	18	19	20	21	22	23	24
	25	26	27	28	29	30	31	32	33	34	35	37
	38	39	40	42	55	56	57	58	59	60	61	62
	63	64	65	66	67	68	69	70	71	72	73	74
	75	76	77	78	79	81	84	85	86	87	88	89
	114	116	117	118	119	120	121	122	123	124	125	126
	127	128	129	130	131	132	133	134	135	136	137	138
	139	140	141	142	143	144	145	146	147	148	149	150
	151	152	153	154	155	156	157	158	159	160	161	162
	163	164	165	166	167	168	169	170	171	172	173	174
	175	176	177	178	179	180	181	182	183	184	185	186
	187	188	189	190	191	192	193	194	195	196	197	200
	201	202										
2	1	3	4	5	6	7	8	9	10	12	13	36
	41	43	44	45	46	47	48	50	51	52	53	54
	80	82	83	90	91	92	93	94	95	96	97	98
	99	100	101	102	103	104	105	106	107	108	109	110
	111	112	113	115	198	199	203	204				

Units Removed from the Analysis: 2

Unit 11 Closest to Cluster 2 - distance = 1.9E+0000
Unit 49 Closest to Cluster 2 - distance = 1.5E+0000

Units Removed from the Analysis: 2

Unit 11 Closest to Cluster 3 - distance = 1.9E+0000

Unit 49 Closest to Cluster 3 - distance = 8.3E-0001

Tabla 28. Fase estratigráfica 3. Distribución de la industria
6 Clusters - Final Clusters

CLUS	N	SSE1	SSE2	%SSE	Log(%SSE)	Srqt(SSE/N)
6	202	32	31	11.34	1.05	0.3966

CLUS	nbar	nstd	RMSbar	RMSstd	n>2	r2wbar	r2wstd	K'
6	33.7	11.4	0.41	0.09	6	0.01	0.02	1.0000

CLUS	n	RMS	K	r2	Slope
1	52	0.28	1.0000	0.01	0.08
2	37	0.45	1.0000	0.01	-0.10
3	13	0.57	1.0000	0.08	0.32
4	35	0.38	1.0000	0.01	0.07
5	32	0.38	1.0000	0.01	0.11
6	33	0.41	1.0000	0.01	-0.13

CLUS VAR MEAN/STDDEV...

1	1: -10.19/ 0.19	2: 62.13/ 0.21
2	1: -9.00/ 0.29	2: 61.81/ 0.34
3	1: -8.04/ 0.38	2: 63.45/ 0.43
4	1: -9.73/ 0.30	2: 63.30/ 0.23
5	1: -10.76/ 0.24	2: 62.79/ 0.29
6	1: -10.74/ 0.26	2: 63.71/ 0.32

CLUS UNITS...

1	15	19	20	21	29	30	31	32	33	38	59	68
	69	70	98	114	116	118	121	128	145	146	147	148
	149	150	151	152	153	154	155	156	157	158	159	160
	161	162	163	164	165	186	189	190	191	192	193	194
	195	199	201	202								
2	5	6	7	8	9	12	13	36	50	51	52	53
	80	82	83	93	94	95	96	97	99	100	101	102
	103	104	105	106	107	108	109	110	111	115	198	203
	204											
3	3	4	44	45	46	47	48	54	90	91	92	112
	113											
4	1	2	10	24	34	35	37	39	41	42	43	71
	81	84	85	86	87	88	89	117	120	124	126	127

133 141 166 167 168 170 171 172 177 197 200
5 16 17 18 26 27 28 55 56 60 62 63 67
76 77 78 79 122 123 125 129 131 132 136 178
180 181 182 183 184 185 187 188
6 14 22 23 25 40 57 58 61 64 65 66 72
73 74 75 119 130 134 135 137 138 139 140 142
143 144 169 173 174 175 176 179 196

Units Removed from the Analysis: 2

Unit 11 Closest to Cluster 3 - distance = 1.9E+0000

Unit 49 Closest to Cluster 3 - distance = 8.3E-0001

Tabla 29. Fase estratigráfica 3. Distribución de la industria
Run Statistics Summary

CLUS	N	SSE1	SSE2	%SSE	Log(%SSE)	Srqt(SSE/N)
1	204	275	275	100.00	2.00	1.1608
2	202	148	147	53.57	1.73	0.8556
3	202	96	96	34.82	1.54	0.6905
4	202	61	61	22.13	1.35	0.5515
5	202	41	40	14.54	1.16	0.4481
6	202	32	31	11.34	1.05	0.3966
7	202	28	27	9.88	0.99	0.3706
8	202	25	24	8.70	0.94	0.3483

CLUS	nbar	nstd	RMSbar	RMSstd	n>2	r2wbar	r2wstd	K'
1	204.0	0.0	1.16	0.00	1	0.05	0.00	1.0000
2	101.0	45.0	0.89	0.08	2	0.12	0.15	1.0000
3	67.3	10.6	0.68	0.23	3	0.16	0.13	1.0000
4	50.5	24.9	0.55	0.10	4	0.09	0.07	1.0000
5	40.4	18.1	0.46	0.07	5	0.06	0.07	1.0000
6	33.7	11.4	0.41	0.09	6	0.01	0.02	1.0000
7	28.9	12.7	0.39	0.06	7	0.01	0.02	1.0000
8	25.3	11.3	0.37	0.07	8	0.02	0.02	1.0000

Tabla 30. Fase estratigráfica 3. Distribución de la industria

	C	Nº	VAR	X	Y
2	1	146	0.804	-10.363	62.888
2	2	56	0.973	-8.816	62.288
5	1	68	0.403	-10.344	62.258
5	2	39	0.477	-9.033	61.813
5	3	13	0.568	-8.038	63.447
5	4	33	0.369	-9.701	63.292
5	5	49	0.481	-10.744	63.513
6	1	52	0.283	-10.190	62.130
6	2	37	0.453	-8.998	61.808
6	3	13	0.568	-8.038	63.447
6	4	35	0.382	-9.732	63.299
6	5	32	0.377	-10.763	62.792
6	6	33	0.412	-10.741	63.714

Tabla 31. Fase estratigráfica 3. Distribución de la producción laminar
2 Clusters - Final Clusters

CLUS	N	SSE1	SSE2	%SSE	Log(%SSE)	Srqt(SSE/N)
2	81	66	62	46.91	1.67	0.9021

CLUS	nbar	nstd	RMSbar	RMSstd	n>2	r2wbar	r2wstd	K'
2	40.5	10.5	0.90	0.11	2	0.13	0.01	1.0000

CLUS	n	RMS	K	r2	Slope
1	51	0.79	1.0000	0.13	-0.66
2	30	1.00	1.0000	0.14	0.51

CLUS VAR MEAN/STDDEV...

1	1: -10.47/ 0.38	2: 62.96/ 0.70
2	1: -8.78/ 0.60	2: 62.72/ 0.80

CLUS UNITS...

1	14	15	16	17	18	19	20	21	22	23	24	25
	26	27	28	29	30	31	32	33	34	37	38	39
	40	42	55	56	57	58	59	60	61	62	63	64
	65	66	67	68	69	70	71	72	73	74	75	76
	77	78	79									
2	1	2	3	4	5	6	7	8	9	10	12	13
	35	36	41	43	44	45	46	47	48	50	51	52
	53	54	80	81	82	83						

Units Removed from the Analysis: 2

Unit 11 Closest to Cluster 2 - distance = 2.0E+0000
 Unit 49 Closest to Cluster 2 - distance = 1.4E+0000

Tabla 32. Fase estratigráfica 3. Distribución de la producción laminar
3 Clusters - Final Clusters

CLUS	N	SSE1	SSE2	%SSE	Log(%SSE)	Sqrt(SSE/N)
3	83	45	45	33.63	1.53	0.7331

CLUS	nbar	nstd	RMSbar	RMSstd	n>2	r2wbar	r2wstd	K'
3	27.7	11.7	0.76	0.06	3	0.01	0.01	1.0000

CLUS	n	RMS	K	r2	Slope
1	31	0.75	1.0000	0.01	-0.07
2	12	0.84	1.0000	0.02	-0.19
3	40	0.69	1.0000	0.00	0.02

CLUS VAR MEAN/STDDEV...

1	1:	-9.59/ 0.62	2:	62.13/ 0.41
2	1:	-7.94/ 0.54	2:	63.24/ 0.65
3	1:	-10.49/ 0.48	2:	63.30/ 0.49

CLUS UNITS...

1	1	5	6	7	9	12	13	15	19	20	21	29
	30	31	32	33	36	38	41	43	50	51	52	53
	59	68	69	70	80	82	83					
2	3	4	8	10	11	44	45	46	47	48	49	54
3	2	14	16	17	18	22	23	24	25	26	27	28
	34	35	37	39	40	42	55	56	57	58	60	61
	62	63	64	65	66	67	71	72	73	74	75	76
	77	78	79	81								

Units Removed from the Analysis: 0

Tabla 33. Fase estratigráfica 3. Distribución de la producción laminar
Run Statistics Summary

CLUS	N	SSE1	SSE2	%SSE	Log(%SSE)	Srqt(SSE/N)
1	83	133	133	100.00	2.00	1.2641
2	81	66	62	46.91	1.67	0.9021
3	83	45	45	33.63	1.53	0.7331
4	81	28	27	20.52	1.31	0.5859
5	81	18	17	13.03	1.12	0.4699

CLUS	nbar	nstd	RMSbar	RMSstd	n>2	r2wbar	r2wstd	K'
1	83.0	0.0	1.26	0.00	1	0.02	0.00	1.0000
2	40.5	10.5	0.90	0.11	2	0.13	0.01	1.0000
3	27.7	11.7	0.76	0.06	3	0.01	0.01	1.0000
4	20.3	9.6	0.55	0.10	4	0.07	0.06	1.0000
5	16.2	6.3	0.45	0.06	5	0.06	0.08	1.0000

Tabla 34. Fase estratigráfica 3. Distribución de la producción laminar

	C	N°	VAR	X	Y
2	1	51	0.792	-10.475	62.957
2	2	30	1.004	-8.781	62.715
3	1	31	0.746	-9.590	62.130
3	2	12	0.840	-7.937	63.244
3	3	40	0.687	-10.486	63.304

Tabla 35. Fase estratigráfica 3. Distribución de la producción lascar
3 Clusters - Final Clusters

CLUS	N	SSE1	SSE2	%SSE	Log(%SSE)	Srqt(SSE/N)
3	118	43	43	32.56	1.51	0.6046

CLUS	nbar	nstd	RMSbar	RMSstd	n>2	r2wbar	r2wstd	K'
3	39.3	10.9	0.62	0.13	3	0.23	0.22	1.0000

CLUS	n	RMS	K	r2	Slope
1	48	0.43	1.0000	0.22	-0.38
2	24	0.75	1.0000	0.64	1.05
3	46	0.67	1.0000	0.03	-0.10

CLUS VAR MEAN/STDDEV...

1	1: -10.32/ 0.34	2: 62.24/ 0.27
2	1: -8.87/ 0.46	2: 61.90/ 0.60
3	1: -10.28/ 0.58	2: 63.44/ 0.33

CLUS UNITS...

1	15	31	33	35	38	39	40	42	45	46	48	49
	62	63	64	65	66	67	68	69	70	71	72	73
	74	75	76	77	78	79	80	81	82	97	98	99
	102	103	104	106	107	108	109	110	111	112	116	118
2	7	8	9	10	11	12	13	14	16	17	18	19
	20	21	22	23	24	25	26	27	28	30	32	115
3	1	2	3	4	5	6	29	34	36	37	41	43
	44	47	50	51	52	53	54	55	56	57	58	59
	60	61	83	84	85	86	87	88	89	90	91	92
	93	94	95	96	100	101	105	113	114	117		

Tabla 36. Fase estratigráfica 3. Distribución de la producción lascar
5 Clusters - Final Clusters

CLUS	N	SSE1	SSE2	%SSE	Log(%SSE)	Sqrt(SSE/N)
5	118	19	19	14.26	1.15	0.4002

CLUS	nbar	nstd	RMSbar	RMSstd	n>2	r2wbar	r2wstd	K'
5	23.6	12.8	0.42	0.07	5	0.08	0.04	1.0000

CLUS	n	RMS	K	r2	Slope
1	45	0.39	1.0000	0.10	-0.22
2	21	0.38	1.0000	0.12	0.25
3	25	0.46	1.0000	0.08	0.46
4	5	0.53	1.0000	0.09	-0.25
5	22	0.33	1.0000	0.01	0.11

CLUS VAR MEAN/STDDEV...

1	1:	-10.30/	0.32	2:	62.24/	0.23
2	1:	-9.06/	0.31	2:	61.64/	0.22
3	1:	-10.80/	0.23	2:	63.50/	0.39
4	1:	-8.19/	0.40	2:	63.29/	0.34
5	1:	-9.83/	0.23	2:	63.30/	0.25

CLUS UNITS...

1	31	33	35	38	39	40	42	45	46	48	62	63
	64	65	66	67	68	69	70	71	72	73	74	75
	76	77	78	79	80	81	82	98	99	102	103	104
	106	107	108	109	110	111	112	116	118			
2	10	11	12	13	14	15	16	17	18	19	20	21
	22	23	24	25	26	27	28	32	115			
3	36	47	49	51	52	53	54	55	56	57	59	60
	61	86	90	91	92	93	95	96	97	100	101	105
	113											
4	7	8	9	29	30							
5	1	2	3	4	5	6	34	37	41	43	44	50
	58	83	84	85	87	88	89	94	114	117		

Tabla 37. Fase estratigráfica 3. Distribución de la producción lascar
Run Statistics Summary

CLUS	N	SSE1	SSE2	%SSE	Log(%SSE)	Srqt(SSE/N)
1	118	132	132	100.00	2.00	1.0596
2	118	75	75	56.98	1.76	0.7998
3	118	43	43	32.56	1.51	0.6046
4	118	30	30	22.82	1.36	0.5062
5	118	19	19	14.26	1.15	0.4002
6	118	14	14	10.36	1.02	0.3410

CLUS	nbar	nstd	RMSbar	RMSstd	n>2	r2wbar	r2wstd	K'
1	118.0	0.0	1.06	0.00	1	0.12	0.00	1.0000
2	59.0	33.0	0.79	0.02	2	0.11	0.21	1.0000
3	39.3	10.9	0.62	0.13	3	0.23	0.22	1.0000
4	29.5	17.5	0.49	0.10	4	0.13	0.04	1.0000
5	23.6	12.8	0.42	0.07	5	0.08	0.04	1.0000
6	19.7	9.3	0.37	0.08	6	0.04	0.04	1.0000

Tabla 38. Fase estratigráfica 3. Distribución de la producción lascar. Agrupaciones

C	Nº	VAR	X	Y	
3	1	48	0.435	-10.318	62.244
3	2	24	0.750	-8.868	61.901
3	3	46	0.669	-10.280	63.441
5	1	45	0.389	-10.302	62.236
5	2	21	0.379	-9.063	61.644
5	3	25	0.457	-10.796	63.498
5	4	5	0.529	-8.190	63.292
5	5	22	0.334	-9.825	63.296

Tabla 39. Fase estratigráfica 4a. Distribución de la industria
2 Clusters - Final Clusters

CLUS	N	SSE1	SSE2	%SSE	Log(%SSE)	Srqt(SSE/N)
2	544	626	626	53.04	1.72	1.0730

CLUS	nbar	nstd	RMSbar	RMSstd	n>2	r2wbar	r2wstd	K'
2	272.0	127.0	1.16	0.21	2	0.04	0.05	1.0000

CLUS	n	RMS	K	r2	Slope
1	399	0.94	1.0000	0.00	-0.09
2	145	1.37	1.0000	0.12	0.37

CLUS VAR MEAN/STDDEV...

1	1: -10.55/ 0.54	2: 62.85/ 0.77
2	1: -8.28/ 0.94	2: 62.59/ 0.99

CLUS UNITS...

1	3	4	5	6	7	8	9	13	14	36	40	41
42	43	44	45	46	47	48	49	50	51	52	53	
54	55	56	57	58	59	60	61	62	63	64	65	
66	67	68	69	70	71	72	73	74	75	76	77	
78	79	80	81	82	83	84	85	86	87	88	89	
90	91	92	93	94	95	96	97	98	99	100	101	
102	103	104	105	106	107	108	109	110	111	112	113	
114	115	116	117	118	119	120	121	122	123	124	125	
126	127	128	129	130	131	132	133	134	135	136	137	
138	139	140	141	142	149	150	151	152	153	159	160	
161	162	163	164	165	166	167	168	169	172	173	186	
187	188	189	190	191	192	193	194	195	196	197	198	
199	200	201	202	203	204	205	206	207	208	209	210	
211	212	213	214	215	216	217	218	219	223	224	225	
226	277	278	284	288	289	290	293	294	295	296	297	
298	299	300	301	302	303	304	305	306	307	308	309	
310	311	312	313	314	315	316	317	318	319	320	321	
322	323	324	325	326	327	328	329	330	331	332	333	
334	335	336	337	338	339	340	341	342	343	344	345	
346	347	348	349	350	351	352	353	354	355	356	357	
358	359	360	361	362	363	364	365	366	367	368	369	
370	371	372	373	374	375	376	377	378	379	380	381	
382	383	384	385	386	387	388	389	390	391	392	393	
394	395	396	397	398	399	400	401	402	403	404	405	
406	407	408	409	410	411	412	413	414	415	416	417	
418	419	420	421	422	423	424	425	426	427	428	429	

430 431 432 433 434 435 436 437 438 439 440 441
442 443 444 445 446 447 448 449 450 451 452 453
454 455 456 457 458 459 460 461 462 463 464 465
466 467 468 469 470 471 472 473 474 475 476 477
478 479 480 481 482 483 484 485 486 487 488 489
490 503 504 505 506 507 508 509 510 511 520 521
524 525 526 527 528 531 532 533 534 535 538 539
540 541 542
2 1 2 10 11 12 15 16 17 18 19 20 21
22 23 24 25 26 27 28 29 30 31 32 33
34 35 37 38 39 143 144 145 146 147 148 154
155 156 157 158 170 171 174 175 176 177 178 179
180 181 182 183 184 185 220 221 222 227 228 229
230 231 232 233 234 235 236 237 238 239 240 241
242 243 244 245 246 247 248 249 250 251 252 253
254 255 256 257 258 259 260 261 262 263 264 265
266 267 268 269 270 271 272 273 274 275 276 279
280 281 282 283 285 286 287 291 292 491 492 493
494 495 496 497 498 499 500 501 502 512 513 514
515 516 517 518 519 522 523 529 530 536 537 543
544

Tabla 40. Fase estratigráfica 4a. Distribución de la industria
3 Clusters - Final Clusters

CLUS	N	SSE1	SSE2	%SSE	Log(%SSE)	Srqt(SSE/N)
3	544	453	453	38.40	1.58	0.9130

CLUS	nbar	nstd	RMSbar	RMSstd	n>2	r2wbar	r2wstd	K'
3	181.3	71.8	0.98	0.29	3	0.05	0.04	1.0000

CLUS	n	RMS	K	r2	Slope
1	274	0.75	1.0000	0.02	0.14
2	99	1.38	1.0000	0.03	0.22
3	171	0.81	1.0000	0.10	0.20

CLUS VAR MEAN/STDDEV...

1	1: -10.65/ 0.53	2: 63.26/ 0.53
2	1: -7.87/ 0.87	2: 62.84/ 1.08
3	1: -10.03/ 0.68	2: 62.00/ 0.43

CLUS UNITS...

1	4	5	6	7	8	9	14	43	44	49	50	51
	52	58	62	65	68	69	71	72	73	74	75	76
	77	78	79	80	81	82	83	84	85	86	87	88
	89	90	91	92	93	94	95	96	97	98	99	100
	101	102	103	104	105	109	111	112	113	117	118	119
	120	121	122	123	124	125	126	127	128	129	131	132
	133	134	135	136	137	138	139	140	141	142	160	162
	166	167	168	169	173	188	192	193	194	195	196	197
	198	199	200	201	202	203	204	205	206	207	208	211
	212	213	214	215	216	217	218	219	226	233	293	298
	303	307	308	309	311	314	316	317	319	320	321	325
	327	329	330	332	333	337	341	345	346	347	348	349
	350	351	352	353	354	355	356	357	358	359	360	361
	362	363	364	365	366	367	368	369	370	371	372	373
	374	375	376	377	378	379	380	381	382	383	384	385
	386	387	397	398	400	401	404	405	406	407	409	410
	412	422	423	424	425	427	428	429	430	431	432	433
	434	435	436	437	438	439	440	441	442	443	444	445
	446	447	448	449	450	451	452	453	454	455	456	457
	458	459	460	461	462	463	464	465	466	467	468	469
	470	471	472	473	474	475	476	477	478	479	480	481
	482	483	484	485	486	487	488	489	490	521	524	525
	528	531	532	533	534	535	539	540	541	542		
2	1	2	10	11	12	15	16	17	18	19	20	21

22 23 24 25 27 28 29 30 143 144 145 146
147 148 155 156 157 158 170 171 174 175 176 177
178 179 181 183 220 221 222 227 228 229 230 231
232 234 235 236 238 241 244 245 246 248 249 250
251 252 253 254 256 257 258 262 264 265 266 491
492 493 494 495 496 497 498 499 500 501 502 512
513 514 515 516 517 518 519 522 523 529 530 536
537 543 544
3 3 13 26 31 32 33 34 35 36 37 38 39
40 41 42 45 46 47 48 53 54 55 56 57
59 60 61 63 64 66 67 70 106 107 108 110
114 115 116 130 149 150 151 152 153 154 159 161
163 164 165 172 180 182 184 185 186 187 189 190
191 209 210 223 224 225 237 239 240 242 243 247
255 259 260 261 263 267 268 269 270 271 272 273
274 275 276 277 278 279 280 281 282 283 284 285
286 287 288 289 290 291 292 294 295 296 297 299
300 301 302 304 305 306 310 312 313 315 318 322
323 324 326 328 331 334 335 336 338 339 340 342
343 344 388 389 390 391 392 393 394 395 396 399
402 403 408 411 413 414 415 416 417 418 419 420
421 426 503 504 505 506 507 508 509 510 511 520
526 527 538

Tabla 41. Fase estratigráfica 4a. Distribución de la industria
4 Clusters - Final Clusters

CLUS	N	SSE1	SSE2	%SSE	Log(%SSE)	Srqt(SSE/N)
4	544	410	410	34.74	1.54	0.8684

CLUS	nbar	nstd	RMSbar	RMSstd	n>2	r2wbar	r2wstd	K'
4	136.0	98.5	0.70	0.45	4	0.08	0.08	1.0000

CLUS	n	RMS	K	r2	Slope
1	273	0.74	1.0000	0.02	0.13
2	95	1.25	1.0000	0.22	0.55
3	5	0.00	1.0000	0.00	999.90
4	171	0.81	1.0000	0.10	0.20

CLUS VAR MEAN/STDDEV...

1	1: -10.65/ 0.52	2: 63.25/ 0.53
2	1: -7.97/ 0.81	2: 62.97/ 0.95
3	1: -6.30/ 0.00	2: 60.45/ 0.00
4	1: -10.03/ 0.68	2: 62.00/ 0.43

CLUS UNITS...

1	4	5	6	7	8	9	14	43	44	49	50	51
52	58	62	65	68	69	71	72	73	74	75	76	
77	78	79	80	81	82	83	84	85	86	87	88	
89	90	91	92	93	94	95	96	97	98	99	100	
101	102	103	104	105	109	111	112	113	117	118	119	
120	121	122	123	124	125	126	127	128	129	131	132	
133	134	135	136	137	138	139	140	141	142	160	162	
166	167	168	169	173	188	192	193	194	195	196	197	
198	199	200	201	202	203	204	205	206	207	208	211	
212	213	214	215	216	217	218	219	226	293	298	303	
307	308	309	311	314	316	317	319	320	321	325	327	
329	330	332	333	337	341	345	346	347	348	349	350	
351	352	353	354	355	356	357	358	359	360	361	362	
363	364	365	366	367	368	369	370	371	372	373	374	
375	376	377	378	379	380	381	382	383	384	385	386	
387	397	398	400	401	404	405	406	407	409	410	412	
422	423	424	425	427	428	429	430	431	432	433	434	
435	436	437	438	439	440	441	442	443	444	445	446	
447	448	449	450	451	452	453	454	455	456	457	458	
459	460	461	462	463	464	465	466	467	468	469	470	
471	472	473	474	475	476	477	478	479	480	481	482	
483	484	485	486	487	488	489	490	521	524	525	528	

Tabla 42. Fase estratigráfica 4a. Distribución de la industria
Run Statistics Summary

CLUS	N	SSE1	SSE2	%SSE	Log(%SSE)	Srqt(SSE/N)
1	544	1181	1181	100.00	2.00	1.4734
2	544	626	626	53.04	1.72	1.0730
3	544	453	453	38.40	1.58	0.9130
4	544	410	410	34.74	1.54	0.8684
5	544	296	296	25.10	1.40	0.7382
6	544	237	237	20.10	1.30	0.6606
7	544	195	195	16.52	1.22	0.5989
8	544	160	160	13.54	1.13	0.5422

CLUS	nbar	nstd	RMSbar	RMSstd	n>2	r2wbar	r2wstd	K'
1	544.0	0.0	1.47	0.00	1	0.00	0.00	1.0000
2	272.0	127.0	1.16	0.21	2	0.04	0.05	1.0000
3	181.3	71.8	0.98	0.29	3	0.05	0.04	1.0000
4	136.0	98.5	0.70	0.45	4	0.08	0.08	1.0000
5	108.8	80.1	0.63	0.33	5	0.06	0.12	1.0000
6	90.7	52.5	0.58	0.30	6	0.11	0.13	1.0000
7	77.7	56.8	0.46	0.32	7	0.05	0.07	1.0000
8	68.0	41.9	0.43	0.29	8	0.02	0.02	1.0000

Tabla 43. Fase estratigráfica 4a. Distribución de la industria. Agrupaciones

C	Nº	VAR	X	Y	
2	1	399	0.944	-10.551	62.854
2	2	145	1.367	-8.282	62.594
3	1	274	0.747	-10.646	63.256
3	2	99	1.384	-7.873	62.837
3	3	171	0.805	-10.026	61.999
4	1	273	0.742	-10.651	63.254
4	2	95	1.253	-7.969	62.975
4	3	5	0.000	-6.300	60.450
4	4	171	0.805	-10.026	61.999

Tabla 45. Fase estratigráfica 4a. Distribución de la producción lamina
6 Clusters - Final Clusters

CLUS	N	SSE1	SSE2	%SSE	Log(%SSE)	Srqt(SSE/N)
6	204	52	52	14.77	1.17	0.5040

CLUS	nbar	nstd	RMSbar	RMSstd	n>2	r2wbar	r2wstd	K'
6	34.0	11.6	0.54	0.17	6	0.06	0.06	1.0000

CLUS	n	RMS	K	r2	Slope
1	51	0.36	1.0000	0.15	-0.35
2	35	0.60	1.0000	0.00	0.03
3	13	0.87	1.0000	0.14	-0.20
4	28	0.45	1.0000	0.00	-0.01
5	40	0.51	1.0000	0.01	-0.07
6	37	0.42	1.0000	0.06	-0.34

CLUS VAR MEAN/STDDEV...

1	1: -10.17/ 0.26	2: 62.96/ 0.25
2	1: -8.63/ 0.49	2: 62.04/ 0.35
3	1: -7.75/ 0.77	2: 63.84/ 0.42
4	1: -10.41/ 0.39	2: 63.98/ 0.22
5	1: -10.41/ 0.42	2: 61.97/ 0.30
6	1: -11.18/ 0.24	2: 62.95/ 0.35

CLUS UNITS...

1	30	31	36	37	38	39	41	43	45	49	66	67
	73	75	79	88	89	90	94	95	96	100	103	104
	105	106	107	108	109	110	111	112	113	114	115	116
	123	126	141	146	149	150	151	152	185	188	190	191
	196	203	204									
2	1	2	3	4	5	6	9	10	11	12	13	14
	15	16	17	18	19	20	21	22	24	25	26	153
	154	155	156	157	158	159	160	161	162	163	164	
3	7	8	130	131	132	133	134	135	142	143	199	200
	201											
4	60	61	82	83	84	85	86	87	91	92	98	99
	119	121	124	127	128	129	173	174	175	183	184	186
	187	192	194	198								
5	23	27	28	29	32	33	34	35	40	42	44	46
	47	48	50	51	53	54	57	93	97	101	102	117
	136	137	138	139	140	144	145	147	148	165	166	168
	169	170	189	202								
6	52	55	56	58	59	62	63	64	65	68	69	70

71 72 74 76 77 78 80 81 118 120 122 125
 167 171 172 176 177 178 179 180 181 182 193 195
 197

Tabla 46. Fase estratigráfica 4a. Distribución de la producción lamina
 Run Statistics Summary

CLUS	N	SSE1	SSE2	%SSE	Log(%SSE)	Srqt(SSE/N)
1	204	351	351	100.00	2.00	1.3113
2	204	180	180	51.36	1.71	0.9397
3	204	126	126	36.06	1.56	0.7874
4	204	91	91	25.89	1.41	0.6673
5	204	70	70	20.10	1.30	0.5878
6	204	52	52	14.77	1.17	0.5040
7	204	46	46	12.97	1.11	0.4723

CLUS	nbar	nstd	RMSbar	RMSstd	n>2	r2wbar	r2wstd	K'
1	204.0	0.0	1.31	0.00	1	0.01	0.00	1.0000
2	102.0	53.0	1.00	0.12	2	0.05	0.08	1.0000
3	68.0	24.1	0.81	0.20	3	0.05	0.05	1.0000
4	51.0	32.3	0.69	0.11	4	0.02	0.03	1.0000
5	40.8	21.0	0.62	0.13	5	0.03	0.03	1.0000
6	34.0	11.6	0.54	0.17	6	0.06	0.06	1.0000
7	29.1	15.7	0.48	0.12	7	0.06	0.06	1.0000

Tabla 47. Fase estratigráfica 4a. Distribución de la producción laminar

	C	Nº	VAR	X	Y
2	1	155	0.875	-10.524	62.889
2	2	49	1.121	-8.413	62.532
6	1	51	0.361	-10.170	62.961
6	2	35	0.603	-8.633	62.038
6	3	13	0.873	-7.754	63.839
6	4	28	0.446	-10.414	63.983
6	5	40	0.510	-10.409	61.973
6	6	37	0.420	-11.185	62.952

Tabla 48. Fase estratigráfica 4a. Distribución de la producción lascar
2 Clusters - Final Clusters

CLUS	N	SSE1	SSE2	%SSE	Log(%SSE)	Srqt(SSE/N)
2	322	298	298	52.34	1.72	0.9627

CLUS	nbar	nstd	RMSbar	RMSstd	n>2	r2wbar	r2wstd	K'
2	161.0	73.0	1.03	0.17	2	0.11	0.14	1.0000

CLUS	n	RMS	K	r2	Slope
1	234	0.86	1.0000	0.02	-0.21
2	88	1.20	1.0000	0.33	0.60

CLUS VAR MEAN/STDDEV...

1	1:	-10.51/	0.49	2:	62.86/	0.70
2	1:	-8.46/	0.82	2:	62.63/	0.87

CLUS UNITS...

1	49	50	56	60	62	65	66	67	68	69	70	71
	72	73	74	75	76	77	78	79	80	81	82	83
	84	85	86	87	88	89	90	91	92	93	94	95
	96	97	98	99	100	101	102	103	104	105	106	107
	108	109	110	111	112	113	114	115	116	117	118	119
	120	121	122	123	124	125	126	127	128	129	130	131
	132	133	134	135	136	137	138	139	140	141	142	143
	144	145	146	147	148	149	150	151	152	153	154	155
	156	157	158	159	160	161	162	163	164	165	166	167
	168	169	170	171	172	173	174	175	176	177	178	179
	180	181	182	183	184	185	186	187	188	189	190	191
	192	193	194	195	196	197	198	199	200	201	202	203
	204	205	206	207	208	209	210	211	212	213	214	215
	216	217	218	219	220	221	222	223	224	225	226	227
	228	229	230	231	232	233	234	235	236	237	238	239
	240	241	242	243	244	245	246	247	248	249	250	251
	252	253	254	255	256	257	258	259	260	261	262	275
	276	277	278	279	280	281	282	283	294	295	296	297
	298	301	302	303	304	306	307	308	309	310	311	312
	313	314	317	320	321	322						
2	1	2	3	4	5	6	7	8	9	10	11	12
	13	14	15	16	17	18	19	20	21	22	23	24
	25	26	27	28	29	30	31	32	33	34	35	36
	37	38	39	40	41	42	43	44	45	46	47	48
	51	52	53	54	55	57	58	59	61	63	64	263
	264	265	266	267	268	269	270	271	272	273	274	284

Tabla 49. Fase estratigráfica 4a. Distribución de la producción lascar
5 Clusters - Final Clusters

CLUS	N	SSE1	SSE2	%SSE	Log(%SSE)	Srqt(SSE/N)
5	322	102	102	17.92	1.25	0.5632

CLUS	nbar	nstd	RMSbar	RMSstd	n>2	r2wbar	r2wstd	K'
5	64.4	25.0	0.59	0.13	5	0.04	0.03	1.0000

CLUS	n	RMS	K	r2	Slope
1	66	0.46	1.0000	0.01	-0.14
2	71	0.47	1.0000	0.00	-0.07
3	24	0.82	1.0000	0.11	-0.22
4	102	0.59	1.0000	0.07	-0.28
5	59	0.59	1.0000	0.04	-0.21

CLUS VAR MEAN/STDDEV...

1	1: -11.07/ 0.30	2: 62.74/ 0.35
2	1: -10.14/ 0.32	2: 62.05/ 0.35
3	1: -7.41/ 0.68	2: 63.78/ 0.45
4	1: -10.35/ 0.41	2: 63.48/ 0.43
5	1: -8.82/ 0.41	2: 62.16/ 0.42

CLUS UNITS...

1	91	92	94	97	99	100	101	102	104	105	106	109
	110	112	113	117	118	124	125	126	127	128	129	130
	131	132	133	134	135	136	137	138	139	140	141	142
	169	170	172	173	175	176	177	178	179	181	182	184
	218	219	220	221	224	225	226	227	231	232	238	240
	241	297	302	304	308	311						
2	45	49	50	54	56	60	61	62	66	67	68	69
	71	72	73	74	76	77	78	82	84	85	87	90
	95	96	98	103	107	108	111	114	115	116	160	161
	162	163	164	165	166	167	168	171	174	180	183	185
	186	187	188	189	190	191	192	193	198	275	276	277
	278	279	280	281	282	283	294	301	306	312	313	
3	6	7	263	264	265	266	267	268	269	270	271	272
	273	274	284	286	287	288	290	291	293	305	316	319
4	5	8	65	70	75	79	80	81	83	86	88	89
	93	119	120	121	122	123	143	144	145	146	147	148
	149	150	151	152	153	154	155	156	157	158	159	194
	195	196	197	199	200	201	202	203	204	205	206	207
	208	209	210	211	212	213	214	215	216	217	222	223
	228	229	230	233	234	235	236	237	239	242	243	244

245 246 247 248 249 250 251 252 253 254 255 256
257 258 259 260 261 262 295 296 298 303 307 309
310 314 317 320 321 322
5 1 2 3 4 9 10 11 12 13 14 15 16
17 18 19 20 21 22 23 24 25 26 27 28
29 30 31 32 33 34 35 36 37 38 39 40
41 42 43 44 46 47 48 51 52 53 55 57
58 59 63 64 285 289 292 299 300 315 318

Tabla 50. Fase estratigráfica 4a. Distribución de la producción lascar
Run Statistics Summary

CLUS	N	SSE1	SSE2	%SSE	Log(%SSE)	Srqt(SSE/N)
1	322	570	570	100.00	2.00	1.3307
2	322	298	298	52.34	1.72	0.9627
3	322	195	195	34.15	1.53	0.7776
4	322	136	136	23.86	1.38	0.6500
5	322	102	102	17.92	1.25	0.5632
6	322	85	85	14.89	1.17	0.5135
7	322	74	74	12.93	1.11	0.4784

CLUS	nbar	nstd	RMSbar	RMSstd	n>2	r2wbar	r2wstd	K'
1	322.0	0.0	1.33	0.00	1	0.00	0.00	1.0000
2	161.0	73.0	1.03	0.17	2	0.11	0.14	1.0000
3	107.3	67.4	0.82	0.07	3	0.04	0.01	1.0000
4	80.5	38.8	0.68	0.08	4	0.04	0.03	1.0000
5	64.4	25.0	0.59	0.13	5	0.04	0.03	1.0000
6	53.7	14.3	0.53	0.14	6	0.05	0.07	1.0000
7	46.0	21.0	0.50	0.09	7	0.04	0.04	1.0000

Tabla 51. Fase estratigráfica 4a. Distribución de la producción lascar

C	Nº	VAR	X	Y	
2	1	234	0.858	-10.513	62.855
2	2	88	1.197	-8.465	62.625
5	1	66	0.464	-11.074	62.736
5	2	71	0.474	-10.143	62.045
5	3	24	0.818	-7.405	63.779
5	4	102	0.590	-10.351	63.480
5	5	59	0.589	-8.820	62.165

Tabla 52. Fase estratigráfica 4b. Distribución de la industria
2 Clusters - Final Clusters

CLUS	N	SSE1	SSE2	%SSE	Log(%SSE)	Srqt(SSE/N)
2	1007	1381	1381	54.75	1.74	1.1712

CLUS	nbar	nstd	RMSbar	RMSstd	n>2	r2wbar	r2wstd	K'
2	503.5	80.5	1.19	0.14	2	0.04	0.03	1.0000

CLUS	n	RMS	K	r2	Slope
1	584	1.04	1.0000	0.01	0.08
2	423	1.33	1.0000	0.08	0.18

CLUS VAR MEAN/STDDEV...

1	1:	-8.67/	0.83	2:	60.97/	0.64
2	1:	-8.98/	1.12	2:	63.04/	0.70

CLUS UNITS...

1	1	2	3	4	14	15	16	17	18	19	20	21
	22	23	24	25	26	27	28	29	30	31	32	33
	34	53	54	55	56	57	58	59	87	88	89	90
	91	92	93	94	95	96	97	98	99	100	101	102
	103	104	105	106	107	108	109	110	151	154	156	157
	158	159	160	161	162	163	165	175	176	177	178	180
	181	182	183	184	202	203	204	205	206	207	208	209
	210	211	212	213	214	215	216	217	218	219	220	221
	222	223	224	225	226	227	228	229	230	231	232	233
	234	235	236	237	238	239	247	248	250	253	255	256
	257	258	259	261	262	266	267	268	271	274	275	276
	277	278	279	289	290	291	292	293	294	295	296	297
	298	299	300	301	302	303	304	305	306	307	309	310
	311	312	313	314	315	316	322	323	324	325	326	327
	328	329	330	331	332	333	334	335	336	337	338	339
	340	341	342	343	344	345	346	347	368	369	372	373
	374	376	377	380	388	389	390	391	393	394	395	396
	397	398	399	400	401	402	403	404	406	408	409	411
	413	416	419	420	421	422	423	424	425	426	427	428
	429	430	431	432	433	434	435	436	437	438	439	440
	441	442	443	444	463	464	465	466	467	468	469	470
	471	472	473	474	475	476	477	478	479	480	481	482
	483	484	485	486	487	488	489	490	491	492	493	494
	495	496	497	498	499	500	501	502	503	504	505	506
	507	508	509	510	511	512	513	514	515	516	517	518
	519	520	521	522	523	524	525	526	527	528	529	530

531 532 533 534 535 539 540 541 544 547 550 552
553 554 555 556 557 558 559 560 561 562 563 564
565 566 567 568 569 570 571 572 573 601 602 603
604 605 606 607 608 609 610 611 612 613 614 615
616 617 618 619 620 621 622 623 624 625 626 627
628 629 630 631 632 633 634 635 636 637 638 639
640 641 642 643 644 645 646 647 648 649 650 651
652 653 654 655 656 657 658 659 660 661 662 663
664 665 666 667 668 669 670 671 672 673 674 675
676 677 732 733 736 741 745 747 748 749 750 752
753 754 755 756 757 758 759 760 761 762 764 767
771 773 776 779 780 782 783 784 791 795 798 813
814 840 841 842 843 844 845 846 847 848 849 850
851 852 853 854 855 856 857 858 859 860 861 862
863 864 865 866 867 868 869 870 871 872 873 874
875 877 878 879 880 881 882 883 884 885 886 887
888 889 890 891 892 893 894 895 896 897 898 899
900 901 902 903 904 905 906 907 908 909 910 911
912 913 914 915 916 917 918 919 922 923 936 937
939 940 941 943 948 951 954 955 956 957 958 960
961 962 964 965 971 972 973 974 975 976 978 979
980 981 982 983 984 985 987 988 989 990 992 993
995 997 998 1001 1003 1004 1005 1007
2 5 6 7 8 9 10 11 12 13 35 36 37
38 39 40 41 42 43 44 45 46 47 48 49
50 51 52 60 61 62 63 64 65 66 67 68
69 70 71 72 73 74 75 76 77 78 79 80
81 82 83 84 85 86 111 112 113 114 115 116
117 118 119 120 121 122 123 124 125 126 127 128
129 130 131 132 133 134 135 136 137 138 139 140
141 142 143 144 145 146 147 148 149 150 152 153
155 164 166 167 168 169 170 171 172 173 174 179
185 186 187 188 189 190 191 192 193 194 195 196
197 198 199 200 201 240 241 242 243 244 245 246
249 251 252 254 260 263 264 265 269 270 280 281
282 283 284 285 286 287 288 308 317 318 319 320
321 348 349 350 351 352 353 354 355 356 357 358
359 360 361 362 363 364 365 366 367 370 371 375
378 379 381 382 383 384 385 386 387 392 405 407
410 412 414 415 445 446 447 448 449 450 451 452
453 454 455 456 457 458 459 460 461 462 536 537
538 542 543 545 546 548 549 551 574 575 576 577
578 579 580 581 582 583 584 585 586 587 588 589
590 591 592 593 594 595 596 597 598 599 600 678
679 680 681 682 683 684 685 686 687 688 689 690

691 692 693 694 695 696 697 698 699 700 701 702
703 704 705 706 707 708 709 710 711 712 713 714
715 716 717 718 719 720 721 722 723 724 725 726
727 728 729 730 731 734 735 737 738 739 740 742
743 744 746 751 763 765 766 768 769 770 772 774
775 777 778 781 785 786 787 788 789 790 792 793
794 796 797 799 800 801 802 803 804 805 806 807
808 809 810 811 812 815 816 817 818 819 820 821
822 823 824 825 826 827 828 829 830 831 832 833
834 835 836 837 838 839 876 920 921 924 925 926
927 928 929 930 931 932 933 934 935 938 942 944
945 946 947 949 950 952 953 959 963 966 967 968
969 970 977 986 991 994 996 999 1000 1002 1006 1008
1009 1010 1011

Units Removed from the Analysis: 4

Unit 272 Closest to Cluster 1 - distance = 3.6E+0000
Unit 273 Closest to Cluster 2 - distance = 3.3E+0000
Unit 417 Closest to Cluster 1 - distance = 3.6E+0000
Unit 418 Closest to Cluster 2 - distance = 3.3E+0000

**Tabla 53. Fase estratigráfica 4b. Distribución de la industria
4 Clusters - Final Clusters**

CLUS	N	SSE1	SSE2	%SSE	Log(%SSE)	Srqt(SSE/N)
4	1007	709	709	28.11	1.45	0.8392

CLUS	nbar	nstd	RMSbar	RMSstd	n>2	r2wbar	r2wstd	K'
4	251.8	34.2	0.84	0.11	4	0.05	0.02	1.0000

CLUS	n	RMS	K	r2	Slope
1	262	0.85	1.0000	0.07	-0.31
2	252	0.94	1.0000	0.03	-0.12
3	294	0.67	1.0000	0.03	-0.19
4	199	0.93	1.0000	0.07	-0.21

CLUS VAR MEAN/STDDEV...

1	1: -7.85/ 0.54	2: 61.40/ 0.65
2	1: -8.47/ 0.75	2: 63.43/ 0.56
3	1: -9.12/ 0.45	2: 60.59/ 0.49
4	1: -9.98/ 0.72	2: 62.24/ 0.58

CLUS UNITS...

1	1	2	4	26	33	34	46	48	53	54	55	56
	57	58	59	151	153	154	156	157	158	159	160	161
	162	163	203	204	205	207	208	209	210	211	212	213
	214	215	216	220	221	222	231	233	234	235	238	243
	245	248	249	258	267	271	274	275	276	277	278	300
	305	306	309	310	311	312	313	314	315	316	333	366
	368	369	372	373	388	389	390	391	394	397	398	400
	404	408	409	413	414	416	419	420	421	422	423	424
	425	426	427	429	431	433	434	438	440	441	442	444
	453	516	518	527	531	532	533	534	540	541	542	544
	547	548	551	552	553	554	555	556	557	558	559	560
	561	562	563	564	565	566	567	568	569	570	571	572
	573	574	575	578	579	580	596	671	731	732	733	736
	737	739	740	741	743	745	747	748	749	750	752	753
	754	755	756	757	758	759	760	761	767	789	791	840
	841	842	843	844	845	846	847	848	851	852	853	854
	855	856	857	858	859	860	861	862	863	864	865	866
	867	868	869	871	872	875	878	882	883	884	885	890
	894	895	896	897	901	902	903	905	908	909	912	915
	916	917	919	922	923	937	945	947	952	955	958	964
	965	966	967	968	969	973	974	975	979	980	981	982
	983	984	985	992	997	999	1001	1004	1005	1007		

Tabla 54. Fase estratigráfica 4b. Distribución de la industria
Run Statistics Summary

CLUS	N	SSE1	SSE2	%SSE	Log(%SSE)	Srqt(SSE/N)
1	1011	2523	2523	100.00	2.00	1.5797
2	1007	1381	1381	54.75	1.74	1.1712
3	1007	980	980	38.84	1.59	0.9864
4	1007	709	709	28.11	1.45	0.8392
5	1007	584	584	23.15	1.36	0.7615
6	1007	473	473	18.75	1.27	0.6854
7	1007	402	402	15.92	1.20	0.6316
8	1007	352	352	13.94	1.14	0.5909
9	1007	311	311	12.33	1.09	0.5558
10	1007	267	267	10.59	1.03	0.5152

CLUS	nbar	nstd	RMSbar	RMSstd	n>2	r2wbar	r2wstd	K'
1	1011.0	0.0	1.58	0.00	1	0.00	0.00	1.0000
2	503.5	80.5	1.19	0.14	2	0.04	0.03	1.0000
3	335.7	121.7	0.98	0.03	3	0.08	0.00	1.0000
4	251.8	34.2	0.84	0.11	4	0.05	0.02	1.0000
5	201.4	46.6	0.76	0.09	5	0.08	0.06	1.0000
6	167.8	55.7	0.70	0.07	6	0.01	0.02	1.0000
7	143.9	56.1	0.65	0.07	7	0.02	0.02	1.0000
8	125.9	62.9	0.60	0.04	8	0.02	0.05	1.0000
9	111.9	47.5	0.55	0.07	9	0.04	0.05	1.0000
10	100.7	41.9	0.52	0.08	10	0.02	0.02	1.0000

Tabla 55. Fase estratigráfica 4b. Distribución de la industria

C	Nº	VAR	X	Y	
2	1	584	1.044	-8.669	60.968
2	2	423	1.326	-8.976	63.042
4	1	262	0.846	-7.848	61.405
4	2	252	0.937	-8.472	63.429
4	3	294	0.665	-9.121	60.591
4	4	199	0.926	-9.983	62.243

Tabla 56. Fase estratigráfica 4b. Distribución de producción laminar
2 Clusters - Final Clusters

CLUS	N	SSE1	SSE2	%SSE	Log(%SSE)	Srqt(SSE/N)
2	414	536	536	53.54	1.73	1.1376

CLUS	nbar	nstd	RMSbar	RMSstd	n>2	r2wbar	r2wstd	K'
2	207.0	23.0	1.14	0.07	2	0.03	0.03	1.0000

CLUS	n	RMS	K	r2	Slope
1	184	1.21	1.0000	0.06	0.15
2	230	1.07	1.0000	0.01	0.08

CLUS VAR MEAN/STDDEV...

1	1:	-8.95/	1.04	2:	63.21/	0.63
2	1:	-8.79/	0.85	2:	61.09/	0.66

CLUS UNITS...

1	5	6	7	8	9	10	11	12	13	35	36	37
	38	39	40	41	42	43	44	45	46	47	48	49
	50	51	52	60	61	62	63	64	65	66	67	68
	69	70	71	72	73	74	75	76	77	78	79	80
	81	82	83	84	85	86	111	112	113	114	115	116
	117	118	119	120	121	122	123	124	125	126	127	128
	129	130	131	132	133	134	135	136	137	138	139	140
	141	142	143	144	145	146	147	148	149	150	152	153
	155	164	166	167	168	169	170	171	172	179	185	186
	187	188	189	190	191	192	193	194	195	196	197	198
	199	200	201	241	242	246	251	252	254	260	263	264
	265	276	277	278	279	280	281	282	283	284	313	314
	315	316	317	344	345	346	347	348	349	350	351	352
	353	354	355	356	357	358	359	360	361	362	363	366
	367	371	374	375	377	378	380	381	382	383	401	403
	406	408	410	411								
2	1	2	3	4	14	15	16	17	18	19	20	21
	22	23	24	25	26	27	28	29	30	31	32	33
	34	53	54	55	56	57	58	59	87	88	89	90
	91	92	93	94	95	96	97	98	99	100	101	102
	103	104	105	106	107	108	109	110	151	154	156	157
	158	159	160	161	162	163	165	173	174	175	176	177
	178	180	181	182	183	184	202	203	204	205	206	207
	208	209	210	211	212	213	214	215	216	217	218	219
	220	221	222	223	224	225	226	227	228	229	230	231
	232	233	234	235	236	237	238	239	240	243	244	245

247 248 249 250 253 255 256 257 258 259 261 262
266 267 268 269 270 271 272 273 274 275 285 286
287 288 289 290 291 292 293 294 295 296 297 298
299 300 301 302 303 304 305 306 307 308 309 310
311 312 318 319 320 321 322 323 324 325 326 327
328 329 330 331 332 333 334 335 336 337 338 339
340 341 342 343 364 365 368 369 370 372 373 376
379 384 385 386 387 388 389 390 391 392 393 394
395 396 397 398 399 400 402 404 405 407 409 412
413 414

Tabla 57. Fase estratigráfica 4b. Distribución de producción laminar
4 Clusters - Final Clusters

CLUS	N	SSE1	SSE2	%SSE	Log(%SSE)	Srqt(SSE/N)
4	414	273	273	27.29	1.44	0.8121

CLUS	nbar	nstd	RMSbar	RMSstd	n>2	r2wbar	r2wstd	K'
4	103.5	13.7	0.81	0.09	4	0.05	0.03	1.0000

CLUS	n	RMS	K	r2	Slope
1	99	0.80	1.0000	0.07	-0.31
2	105	0.67	1.0000	0.01	-0.10
3	86	0.87	1.0000	0.09	-0.24
4	124	0.89	1.0000	0.03	-0.10

CLUS VAR MEAN/STDDEV...

1	1:	-7.93/	0.52	2:	61.61/	0.61
2	1:	-9.12/	0.47	2:	60.57/	0.47
3	1:	-9.96/	0.69	2:	62.15/	0.54
4	1:	-8.61/	0.75	2:	63.53/	0.48

CLUS UNITS...

1	1	2	4	8	26	33	34	46	48	50	53	54
	55	56	57	58	59	80	81	122	127	151	153	154
	155	156	157	158	159	160	161	162	163	203	204	205
	207	208	209	210	211	212	213	214	215	216	220	221
	222	231	233	234	235	243	245	246	248	249	258	267
	270	271	272	273	274	296	301	302	305	306	307	308
	309	310	311	312	360	361	362	364	365	366	368	369
	384	385	386	387	390	393	394	396	400	404	405	409
	410	412	413									
2	3	14	15	16	17	18	19	20	21	22	23	24
	25	28	29	30	31	32	87	88	89	90	91	92
	93	94	95	96	97	98	99	100	101	102	103	104
	105	106	107	108	109	110	202	206	217	219	223	225
	226	230	236	237	238	239	253	255	257	261	262	266
	268	275	285	286	287	288	289	290	291	292	293	294
	295	297	299	300	318	319	320	321	322	323	324	325
	326	327	328	329	330	331	332	333	334	335	336	337
	338	339	340	341	342	343	389	397	402			
3	27	35	36	37	38	39	47	150	165	166	167	168
	169	170	171	172	173	174	175	176	177	178	179	180
	181	182	183	184	185	186	187	188	189	190	191	192
	193	194	196	197	199	200	218	224	227	228	229	232

240 241 242 244 247 250 251 252 256 259 264 269
298 303 304 315 370 371 372 373 375 376 377 378
379 380 381 382 388 391 392 395 398 399 406 407
408 414
4 5 6 7 9 10 11 12 13 40 41 42 43
44 45 49 51 52 60 61 62 63 64 65 66
67 68 69 70 71 72 73 74 75 76 77 78
79 82 83 84 85 86 111 112 113 114 115 116
117 118 119 120 121 123 124 125 126 128 129 130
131 132 133 134 135 136 137 138 139 140 141 142
143 144 145 146 147 148 149 152 164 195 198 201
254 260 263 265 276 277 278 279 280 281 282 283
284 313 314 316 317 344 345 346 347 348 349 350
351 352 353 354 355 356 357 358 359 363 367 374
383 401 403 411

Tabla 58. Fase estratigráfica 4b. Distribución de producción laminar
Run Statistics Summary

CLUS	N	SSE1	SSE2	%SSE	Log(%SSE)	Srqt(SSE/N)
1	414	1001	1001	100.00	2.00	1.5547
2	414	536	536	53.54	1.73	1.1376
3	414	379	379	37.88	1.58	0.9569
4	414	273	273	27.29	1.44	0.8121
5	414	223	223	22.33	1.35	0.7346
6	414	185	185	18.46	1.27	0.6680
7	414	155	155	15.53	1.19	0.6127
8	414	136	136	13.59	1.13	0.5732
9	414	118	118	11.80	1.07	0.5340
10	414	100	100	10.03	1.00	0.4923

CLUS	nbar	nstd	RMSbar	RMSstd	n>2	r2wbar	r2wstd	K'
1	414.0	0.0	1.55	0.00	1	0.00	0.00	1.0000
2	207.0	23.0	1.14	0.07	2	0.03	0.03	1.0000
3	138.0	34.0	0.94	0.05	3	0.14	0.07	1.0000
4	103.5	13.7	0.81	0.09	4	0.05	0.03	1.0000
5	82.8	24.1	0.73	0.13	5	0.05	0.12	1.0000
6	69.0	20.0	0.68	0.08	6	0.06	0.08	1.0000
7	59.1	21.1	0.63	0.08	7	0.03	0.05	1.0000
8	51.8	23.9	0.56	0.07	8	0.02	0.04	1.0000
9	46.0	22.4	0.52	0.07	9	0.04	0.06	1.0000
10	41.4	17.5	0.48	0.06	10	0.03	0.04	1.0000

Tabla 59. Fase estratigráfica 4b. Distribución de producción laminar

	C	N°	VAR	X	Y	
	2	1	184	1.213	-8.948	63.214
	2	2	230	1.073	-8.789	61.088
	4	1	99	0.797	-7.929	61.607
	4	2	105	0.667	-9.124	60.567
	4	3	86	0.872	-9.960	62.152
	4	4	124	0.890	-8.614	63.531

Tabla 60. Fase estratigráfica 4b. Distribución de la producción lascar
2 Clusters - Final Clusters

CLUS	N	SSE1	SSE2	%SSE	Log(%SSE)	Srqt(SSE/N)
2	584	792	792	57.80	1.76	1.1643

CLUS	nbar	nstd	RMSbar	RMSstd	n>2	r2wbar	r2wstd	K'
2	292.0	60.0	1.19	0.18	2	0.05	0.02	1.0000

CLUS	n	RMS	K	r2	Slope
1	352	1.01	1.0000	0.03	0.13
2	232	1.37	1.0000	0.08	0.17

CLUS VAR MEAN/STDDEV...

1	1:	-8.61/	0.80	2:	60.91/	0.62
2	1:	-9.02/	1.16	2:	62.90/	0.72

CLUS UNITS...

1	1	2	3	4	5	6	7	8	9	10	11	12
	13	14	15	16	17	18	19	20	21	22	23	24
	25	26	45	46	47	48	49	50	51	52	53	54
	55	56	57	58	59	60	61	62	63	64	65	66
	67	68	69	70	71	72	73	74	75	76	77	78
	79	80	81	82	83	84	85	86	87	88	89	90
	91	92	93	94	95	96	97	98	99	100	101	102
	103	104	105	106	107	108	109	110	111	112	113	114
	115	116	117	121	122	123	126	129	132	134	135	136
	137	138	139	140	141	142	143	144	145	146	147	148
	149	150	151	152	153	154	155	183	184	185	186	187
	188	189	190	191	192	193	194	195	196	197	198	199
	200	201	202	203	204	205	206	207	208	209	210	211
	212	213	214	215	216	217	218	219	220	221	222	223
	224	225	226	227	228	229	230	231	232	233	234	235
	236	237	238	239	240	241	242	243	244	245	246	247
	248	249	250	251	252	253	254	255	256	257	258	259
	314	315	318	323	327	329	330	331	332	334	335	336
	337	338	339	340	341	342	343	344	346	349	353	355
	358	361	362	364	365	373	377	380	396	422	423	424
	425	426	427	428	429	430	431	432	433	434	435	436
	437	438	439	440	441	442	443	444	445	446	447	448
	449	450	451	453	454	455	457	459	460	461	462	463
	464	465	466	467	469	470	472	473	474	475	476	477
	478	479	480	481	482	483	484	485	486	487	488	489
	490	491	492	493	494	495	496	497	498	499	500	501

504 505 518 521 522 523 525 533 536 537 538 539
540 542 543 544 546 547 553 554 555 556 557 558
559 560 561 562 563 564 565 567 568 569 570 572
573 577 578 583
2 27 28 29 30 31 32 33 34 35 36 37 38
39 40 41 42 43 44 118 119 120 124 125 127
128 130 131 133 156 157 158 159 160 161 162 163
164 165 166 167 168 169 170 171 172 173 174 175
176 177 178 179 180 181 182 260 261 262 263 264
265 266 267 268 269 270 271 272 273 274 275 276
277 278 279 280 281 282 283 284 285 286 287 288
289 290 291 292 293 294 295 296 297 298 299 300
301 302 303 304 305 306 307 308 309 310 311 312
313 316 317 319 320 321 322 324 325 326 328 333
345 347 348 350 351 352 354 356 357 359 360 363
366 367 368 369 370 371 372 374 375 376 378 379
381 382 383 384 385 386 387 388 389 390 391 392
393 394 395 397 398 399 400 401 402 403 404 405
406 407 408 409 410 411 412 413 414 415 416 417
418 419 420 421 452 456 458 468 471 502 503 506
507 508 509 510 511 512 513 514 515 516 517 519
520 524 526 527 528 529 530 531 532 534 535 541
545 548 549 550 551 552 566 571 574 575 576 579
580 581 582 584

Tabla 61. Fase estratigráfica 4b. Distribución de la producción lascar
4 Clusters - Final Clusters

CLUS	N	SSE1	SSE2	%SSE	Log(%SSE)	Srqt(SSE/N)
4	584	403	403	29.43	1.47	0.8309

CLUS	nbar	nstd	RMSbar	RMSstd	n>2	r2wbar	r2wstd	K'
4	146.0	36.6	0.85	0.13	4	0.03	0.04	1.0000

CLUS	n	RMS	K	r2	Slope
1	205	0.68	1.0000	0.01	-0.11
2	127	0.92	1.0000	0.03	-0.16
3	107	1.01	1.0000	0.00	0.01
4	145	0.80	1.0000	0.11	-0.43

CLUS VAR MEAN/STDDEV...

1	1:	-9.14/	0.39	2:	60.73/	0.55
2	1:	-8.20/	0.67	2:	63.18/	0.63
3	1:	-10.05/	0.73	2:	62.54/	0.71
4	1:	-7.81/	0.48	2:	61.18/	0.64

CLUS UNITS...

1	10	12	17	18	45	46	47	48	49	50	51	52
	53	54	55	56	57	58	59	60	61	62	63	64
	65	66	67	68	69	70	71	72	73	74	75	76
	77	78	79	80	81	82	83	84	85	86	87	88
	89	90	91	92	93	94	95	96	97	98	99	100
	101	102	103	104	105	106	107	108	109	110	111	112
	132	183	184	185	186	187	188	189	190	191	192	193
	194	195	196	197	198	199	200	201	202	203	204	205
	206	207	208	209	210	211	212	213	214	215	216	217
	218	219	220	221	222	223	224	225	226	227	228	229
	230	231	232	233	234	235	236	237	238	239	240	241
	242	243	244	245	246	247	248	249	250	251	252	254
	255	256	257	258	259	344	346	353	355	358	361	362
	364	377	431	432	455	457	459	461	462	463	469	470
	473	474	475	478	480	481	482	486	488	489	492	493
	495	500	518	521	522	523	525	533	536	538	539	542
	543	544	553	554	559	560	561	567	568	569	570	572
	573											
2	27	28	29	30	31	32	33	34	35	36	37	38
	39	40	41	42	43	44	124	125	127	128	130	131
	133	156	157	158	159	160	161	162	163	164	165	166
	167	169	170	172	173	176	177	178	179	180	181	182

Tabla 62. Fase estratigráfica 4b. Distribución de la producción lascar
Run Statistics Summary

CLUS	N	SSE1	SSE2	%SSE	Log(%SSE)	Srqt(SSE/N)
1	584	1370	1370	100.00	2.00	1.5315
2	584	792	792	57.80	1.76	1.1643
3	584	563	563	41.11	1.61	0.9820
4	584	403	403	29.43	1.47	0.8309
5	584	327	327	23.88	1.38	0.7483
6	584	266	266	19.44	1.29	0.6753
7	584	225	225	16.40	1.21	0.6201
8	584	195	195	14.25	1.15	0.5781

CLUS	nbar	nstd	RMSbar	RMSstd	n>2	r2wbar	r2wstd	K'
1	584.0	0.0	1.53	0.00	1	0.00	0.00	1.0000
2	292.0	60.0	1.19	0.18	2	0.05	0.02	1.0000
3	194.7	95.8	0.98	0.04	3	0.03	0.02	1.0000
4	146.0	36.6	0.85	0.13	4	0.03	0.04	1.0000
5	116.8	29.2	0.77	0.17	5	0.05	0.07	1.0000
6	97.3	39.2	0.69	0.08	6	0.01	0.01	1.0000
7	83.4	36.2	0.64	0.08	7	0.01	0.01	1.0000
8	73.0	42.5	0.58	0.03	8	0.02	0.03	1.0000

Tabla 63. Fase estratigráfica 4b. Distribución de la producción lascar

	C	N°	VAR	X	Y
2	1	352	1.009	-8.608	60.915
2	2	232	1.367	-9.024	62.905
4	1	205	0.675	-9.144	60.730
4	2	127	0.920	-8.200	63.179
4	3	107	1.014	-10.052	62.544
4	4	145	0.797	-7.808	61.175

Tabla 65. Fase estratigráfica 5. Distribución de la industria
3 Clusters - Final Clusters

CLUS	N	SSE1	SSE2	%SSE	Log(%SSE)	Srqt(SSE/N)
3	168	56	56	21.63	1.34	0.5748

CLUS	nbar	nstd	RMSbar	RMSstd	n>2	r2wbar	r2wstd	K'
3	56.0	53.6	0.49	0.20	3	0.12	0.23	1.0000

CLUS	n	RMS	K	r2	Slope
1	131	0.56	1.0000	0.01	0.13
2	28	0.70	1.0000	0.62	0.83
3	9	0.22	1.0000	0.15	0.72

CLUS VAR MEAN/STDDEV...

1	1:	-7.60/	0.36	2:	63.24/	0.43
2	1:	-8.99/	0.48	2:	60.99/	0.51
3	1:	-9.97/	0.10	2:	63.07/	0.19

CLUS UNITS...

1	1	2	3	4	5	6	7	8	9	10	11	12
	13	14	15	16	17	18	19	20	21	22	23	24
	25	26	27	28	29	30	31	32	33	34	35	36
	37	38	39	40	41	42	43	44	45	46	47	48
	49	50	51	52	53	54	73	74	78	79	80	81
	82	83	84	85	86	87	88	89	90	91	92	93
	94	95	96	97	98	99	100	101	102	103	104	113
	114	115	116	117	118	119	126	127	128	129	130	131
	132	133	134	135	136	137	138	139	140	141	142	143
	144	145	146	147	148	149	150	151	152	153	154	155
	156	157	158	160	161	162	163	165	166	167	168	
2	55	56	57	58	59	60	61	62	63	64	70	71
	75	76	77	105	106	107	108	109	110	111	120	122
	123	124	125	164								
3	65	66	67	68	69	72	112	121	159			

Tabla 66. Fase estratigráfica 5. Distribución de la industria
Run Statistics Summary

CLUS	N	SSE1	SSE2	%SSE	Log(%SSE)	Srqt(SSE/N)
1	168	257	257	100.00	2.00	1.2358
2	168	92	92	35.67	1.55	0.7380
3	168	56	56	21.63	1.34	0.5748
4	168	40	40	15.55	1.19	0.4873
5	168	29	29	11.27	1.05	0.4149
6	168	21	21	8.11	0.91	0.3518

CLUS	nbar	nstd	RMSbar	RMSstd	n>2	r2wbar	r2wstd	K'
1	168.0	0.0	1.24	0.00	1	0.36	0.00	1.0000
2	84.0	47.0	0.86	0.30	2	0.04	0.06	1.0000
3	56.0	53.6	0.49	0.20	3	0.12	0.23	1.0000
4	42.0	25.0	0.45	0.17	4	0.18	0.20	1.0000
5	33.6	26.9	0.32	0.12	5	0.09	0.07	1.0000
6	28.0	18.1	0.31	0.08	6	0.06	0.09	1.0000

Tabla 67. Fase estratigráfica 5. Distribución de la industria

	C	N°	VAR	X	Y
2	1	131	0.562	-7.599	63.240
2	2	37	1.164	-9.232	61.492
3	1	131	0.562	-7.599	63.240
3	2	28	0.699	-8.994	60.985
3	3	9	0.220	-9.971	63.067

Tabla 68. Fase estratigráfica 5. Distribución de la producción laminar
2 Clusters - Final Clusters

CLUS	N	SSE1	SSE2	%SSE	Log(%SSE)	Srqt(SSE/N)
2	85	30	30	20.20	1.31	0.5979

CLUS	nbar	nstd	RMSbar	RMSstd	n>2	r2wbar	r2wstd	K'
2	42.5	27.5	0.70	0.18	2	0.19	0.29	1.0000

CLUS	n	RMS	K	r2	Slope
1	70	0.52	1.0000	0.06	0.30
2	15	0.88	1.0000	0.81	-1.27

CLUS VAR MEAN/STDDEV...

1 1: -7.54/ 0.32 2: 63.19/ 0.41
2 1: -9.01/ 0.51 2: 61.68/ 0.72

CLUS UNITS...

1	1	2	3	4	5	6	7	8	9	10	11	12
	13	14	15	16	17	18	19	20	21	22	23	24
	25	26	27	40	41	42	43	44	45	46	53	54
	55	56	57	58	59	60	61	62	63	64	65	66
	67	68	69	70	71	72	73	74	75	76	77	78
	79	80	81	82	83	84	85	87	88	89		
2	28	29	30	31	32	33	34	35	47	48	49	50
	51	52	86									

Units Removed from the Analysis: 4

Unit 36 Closest to Cluster 1 - distance = 1.8E+0000
Unit 37 Closest to Cluster 2 - distance = 3.4E+0000
Unit 38 Closest to Cluster 2 - distance = 3.6E+0000
Unit 39 Closest to Cluster 2 - distance = 4.0E+0000

Tabla 69. Fase estratigráfica 5. Distribución de la producción laminar
4 Clusters - Final Clusters

CLUS	N	SSE1	SSE2	%SSE	Log(%SSE)	Srqt(SSE/N)
4	85	12	12	7.70	0.89	0.3692

CLUS	nbar	nstd	RMSbar	RMSstd	n>2	r2wbar	r2wstd	K'
4	21.3	14.2	0.30	0.09	4	0.06	0.17	1.0000

CLUS	n	RMS	K	r2	Slope
1	37	0.41	1.0000	0.01	0.07
2	12	0.24	1.0000	0.04	0.13
3	3	0.19	1.0000	0.96	1.93
4	33	0.38	1.0000	0.05	-0.21

CLUS VAR MEAN/STDDEV...

1	1:	-7.65/	0.32	2:	62.89/	0.25
2	1:	-8.77/	0.19	2:	61.32/	0.13
3	1:	-9.97/	0.08	2:	63.09/	0.17
4	1:	-7.43/	0.28	2:	63.52/	0.26

CLUS UNITS...

1	1	2	3	5	7	9	11	13	14	15	16	17
	21	27	40	44	45	57	58	59	60	61	62	63
	64	67	68	69	71	74	75	77	80	81	83	87
	88											
2	28	29	30	31	32	33	34	47	49	50	51	52
3	35	48	86									
4	4	6	8	10	12	18	19	20	22	23	24	25
	26	41	42	43	46	53	54	55	56	65	66	70
	72	73	76	78	79	82	84	85	89			

Units Removed from the Analysis: 4

Unit	36	Closest to Cluster 4 - distance = 1.5E+0000
Unit	37	Closest to Cluster 2 - distance = 3.0E+0000
Unit	38	Closest to Cluster 2 - distance = 3.6E+0000
Unit	39	Closest to Cluster 3 - distance = 2.4E+0000

Tabla 70. Fase estratigráfica 5. Distribución de la producción laminar
Run Statistics Summary

CLUS	N	SSE1	SSE2	%SSE	Log(%SSE)	Srqt(SSE/N)
1	89	150	150	100.00	2.00	1.3001
2	85	30	30	20.20	1.31	0.5979
3	85	20	20	12.96	1.11	0.4790
4	85	12	12	7.70	0.89	0.3692
5	85	8	8	5.63	0.75	0.3156
6	85	6	6	4.26	0.63	0.2746

CLUS	nbar	nstd	RMSbar	RMSstd	n>2	r2wbar	r2wstd	K'
1	89.0	0.0	1.30	0.00	1	0.15	0.00	1.0000
2	42.5	27.5	0.70	0.18	2	0.19	0.29	1.0000
3	28.3	29.7	0.31	0.15	3	0.09	0.17	1.0000
4	21.3	14.2	0.30	0.09	4	0.06	0.17	1.0000
5	17.0	12.7	0.29	0.07	5	0.26	0.16	1.0000
6	14.2	8.3	0.27	0.07	6	0.11	0.18	1.0000

Tabla 71. Fase estratigráfica 5. Distribución de la producción laminar

	C	N°	VAR	X	Y
2	1	70	0.517	-7.543	63.188
2	2	15	0.881	-9.011	61.676
4	1	37	0.406	-7.646	62.887
4	2	12	0.235	-8.773	61.323
4	3	3	0.188	-9.967	63.087
4	4	33	0.378	-7.427	63.524

Tabla 72. Fase estratigráfica 5. Distribución de la producción lascar
2 Clusters - Final Clusters

CLUS	N	SSE1	SSE2	%SSE	Log(%SSE)	Srqt(SSE/N)
2	83	58	58	34.96	1.54	0.8371

CLUS	nbar	nstd	RMSbar	RMSstd	n>2	r2wbar	r2wstd	K'
2	41.5	19.5	0.94	0.34	2	0.02	0.04	1.0000

CLUS	n	RMS	K	r2	Slope
1	61	0.60	1.0000	0.00	0.04
2	22	1.29	1.0000	0.09	-0.56

CLUS VAR MEAN/STDDEV...

1 1: -7.66/ 0.39 2: 63.30/ 0.45
2 1: -9.38/ 0.60 2: 61.37/ 1.14

CLUS UNITS...

1	1	2	3	4	5	6	7	8	9	10	11	12
	13	14	15	16	17	18	19	20	21	22	23	24
	25	26	27	28	29	30	31	32	33	34	35	36
	37	38	39	40	41	42	43	44	45	46	47	48
	49	50	51	52	53	54	73	74	78	79	80	82
	83											
2	55	56	57	58	59	60	61	62	63	64	65	66
	67	68	69	70	71	72	75	76	77	81		

Tabla 73. Fase estratigráfica 5. Distribución de la producción lascar
3 Clusters - Final Clusters

CLUS	N	SSE1	SSE2	%SSE	Log(%SSE)	Srqt(SSE/N)
3	83	32	32	19.05	1.28	0.6179

CLUS	nbar	nstd	RMSbar	RMSstd	n>2	r2wbar	r2wstd	K'
3	27.7	23.9	0.53	0.23	3	0.12	0.24	1.0000

CLUS	n	RMS	K	r2	Slope
1	61	0.60	1.0000	0.00	0.04
2	16	0.77	1.0000	0.62	0.74
3	6	0.23	1.0000	0.04	0.36

CLUS VAR MEAN/STDDEV...

1	1: -7.66/ 0.39	2: 63.30/ 0.45
2	1: -9.16/ 0.56	2: 60.73/ 0.53
3	1: -9.97/ 0.11	2: 63.06/ 0.20

CLUS UNITS...

1	1	2	3	4	5	6	7	8	9	10	11	12
	13	14	15	16	17	18	19	20	21	22	23	24
	25	26	27	28	29	30	31	32	33	34	35	36
	37	38	39	40	41	42	43	44	45	46	47	48
	49	50	51	52	53	54	73	74	78	79	80	82
	83											
2	55	56	57	58	59	60	61	62	63	64	70	71
	75	76	77	81								
3	65	66	67	68	69	72						

Tabla 74. Fase estratigráfica 5. Distribución de la producción lascar
Run Statistics Summary

CLUS	N	SSE1	SSE2	%SSE	Log(%SSE)	Srqt(SSE/N)
1	83	166	166	100.00	2.00	1.4158
2	83	58	58	34.96	1.54	0.8371
3	83	32	32	19.05	1.28	0.6179
4	83	24	24	14.33	1.16	0.5360
5	83	16	16	9.74	0.99	0.4418

CLUS	nbar	nstd	RMSbar	RMSstd	n>2	r2wbar	r2wstd	K'
1	83.0	0.0	1.42	0.00	1	0.37	0.00	1.0000
2	41.5	19.5	0.94	0.34	2	0.02	0.04	1.0000
3	27.7	23.9	0.53	0.23	3	0.12	0.24	1.0000
4	20.8	17.3	0.51	0.19	4	0.13	0.24	1.0000
5	16.6	16.8	0.37	0.15	5	0.05	0.10	1.0000

Tabla 75. Fase estratigráfica 5. Distribución de la producción lascar

	C	N°	VAR	X	Y
2	1	61	0.597	-7.663	63.299
2	2	22	1.286	-9.382	61.366
3	1	61	0.597	-7.663	63.299
3	2	16	0.774	-9.160	60.732
3	3	6	0.233	-9.973	63.057

Tabla 76. Fase estratigráfica 7. Distribución de la industria
3 Clusters - Final Clusters

CLUS	N	SSE1	SSE2	%SSE	Log(%SSE)	Srqt(SSE/N)
3	455	352	352	18.92	1.28	0.8796

CLUS	nbar	nstd	RMSbar	RMSstd	n>2	r2wbar	r2wstd	K'
3	151.7	65.0	0.88	0.07	3	0.09	0.09	1.0000

CLUS	n	RMS	K	r2	Slope
1	233	0.82	1.0000	0.03	0.19
2	148	0.98	1.0000	0.21	0.19
3	74	0.85	1.0000	0.00	-0.04

CLUS VAR MEAN/STDDEV...

1	1: -10.67/ 0.55	2: 62.89/ 0.60
2	1: -7.68/ 0.91	2: 63.72/ 0.38
3	1: -8.07/ 0.76	2: 60.39/ 0.39

CLUS UNITS...

1	3	8	9	10	11	12	13	18	19	20	21	22
	23	24	25	27	29	31	32	33	34	35	36	37
	38	39	40	41	42	43	44	45	46	47	48	49
	50	51	121	123	126	127	128	129	130	131	132	133
	134	135	136	137	138	139	140	141	142	143	145	146
	147	148	149	150	151	152	153	154	155	156	157	158
	159	160	161	162	163	164	165	166	167	168	169	170
	171	172	173	174	175	176	177	178	179	180	181	182
	183	184	185	189	190	191	192	193	194	195	196	197
	198	199	200	201	202	203	204	205	206	207	208	278
	280	283	284	285	286	287	288	289	290	291	292	293
	294	295	296	297	298	299	300	302	303	304	305	306
	307	308	309	310	311	312	313	314	315	316	317	318
	319	320	321	322	323	324	325	326	327	328	329	330
	331	332	333	334	335	336	337	338	339	340	341	342
	350	351	353	354	355	356	357	358	404	406	408	409
	410	411	412	413	414	415	416	417	418	419	424	425
	426	427	428	429	430	431	432	433	434	435	436	437
	438	439	440	441	442	443	444	445	446	447	448	451
	452	453	454	455	456							
2	1	5	6	7	14	15	26	28	30	52	53	54
	55	56	57	58	59	60	61	62	63	64	65	66
	67	68	69	70	71	72	73	74	75	76	77	78
	79	80	81	82	83	108	109	110	111	112	113	114

115	116	117	118	119	120	122	124	125	144	186	187	
188	209	210	211	212	213	214	215	216	217	218	219	
220	221	222	223	224	225	226	227	228	229	230	231	
232	233	234	235	236	237	238	239	240	265	266	267	
268	269	270	271	272	273	274	275	276	277	279	281	
282	301	343	344	345	346	347	348	349	359	360	361	
362	363	364	365	366	367	368	369	370	371	372	373	
374	375	376	377	378	379	380	398	402	403	405	407	
422	423	449	450									
3	2	16	17	84	85	86	87	88	89	90	91	92
	93	94	95	96	97	98	99	100	101	102	103	104
	105	106	107	241	242	243	244	245	246	247	248	249
	250	251	252	253	254	255	256	257	258	259	260	261
	262	263	264	352	381	382	383	384	385	386	387	388
	389	390	391	392	393	394	395	396	397	399	400	401
	420	421										

Units Removed from the Analysis: 1

Unit 4 Closest to Cluster 1 - distance = 3.5E+0000

Tabla 77. Fase estratigráfica 7. Distribución de la industria
5 Clusters - Final Clusters

CLUS	N	SSE1	SSE2	%SSE	Log(%SSE)	Srqt(SSE/N)
5	455	171	171	9.21	0.96	0.6139

CLUS	nbar	nstd	RMSbar	RMSstd	n>2	r2wbar	r2wstd	K'
5	91.0	25.5	0.60	0.13	5	0.07	0.05	1.0000

CLUS	n	RMS	K	r2	Slope
1	89	0.55	1.0000	0.09	-0.24
2	93	0.47	1.0000	0.07	0.17
3	74	0.85	1.0000	0.00	-0.04
4	62	0.52	1.0000	0.00	0.09
5	137	0.62	1.0000	0.12	-0.32

CLUS VAR MEAN/STDDEV...

1	1:	-11.00/	0.43	2:	62.31/	0.35
2	1:	-7.03/	0.40	2:	63.86/	0.25
3	1:	-8.07/	0.76	2:	60.39/	0.39
4	1:	-8.83/	0.27	2:	63.46/	0.44
5	1:	-10.52/	0.45	2:	63.25/	0.43

CLUS UNITS...

1	8	18	19	21	24	25	29	31	33	34	35	36
	37	38	39	40	41	42	44	45	46	47	48	49
	50	51	138	139	140	143	158	159	160	163	164	165
	166	168	172	185	190	191	192	193	194	195	196	197
	198	199	201	202	203	204	205	206	207	208	295	296
	297	300	315	316	317	320	321	322	323	325	329	342
	354	355	356	415	417	419	435	436	438	442	447	451
	452	453	454	455	456							
2	1	5	6	14	15	26	28	52	53	54	55	56
	57	58	59	60	61	62	63	64	65	66	67	68
	69	70	71	72	73	74	75	76	77	78	79	80
	82	83	209	210	211	212	213	214	215	216	217	218
	219	220	221	222	223	224	225	226	227	228	229	230
	231	232	233	234	235	236	237	239	240	346	347	348
	360	361	362	363	364	365	366	367	368	369	370	371
	372	373	374	375	376	377	378	379	380			
3	2	16	17	84	85	86	87	88	89	90	91	92
	93	94	95	96	97	98	99	100	101	102	103	104
	105	106	107	241	242	243	244	245	246	247	248	249
	250	251	252	253	254	255	256	257	258	259	260	261

262	263	264	352	381	382	383	384	385	386	387	388	
389	390	391	392	393	394	395	396	397	399	400	401	
420	421											
4	7	30	81	108	109	110	111	112	113	114	115	116
117	118	119	120	121	122	123	124	125	144	186	187	
188	238	265	266	267	268	269	270	271	272	273	274	
275	276	277	278	279	280	281	282	301	343	344	345	
349	359	398	402	403	404	405	406	407	422	423	424	
449	450											
5	3	9	10	11	12	13	20	22	23	27	32	43
126	127	128	129	130	131	132	133	134	135	136	137	
141	142	145	146	147	148	149	150	151	152	153	154	
155	156	157	161	162	167	169	170	171	173	174	175	
176	177	178	179	180	181	182	183	184	189	200	283	
284	285	286	287	288	289	290	291	292	293	294	298	
299	302	303	304	305	306	307	308	309	310	311	312	
313	314	318	319	324	326	327	328	330	331	332	333	
334	335	336	337	338	339	340	341	350	351	353	357	
358	408	409	410	411	412	413	414	416	418	425	426	
427	428	429	430	431	432	433	434	437	439	440	441	
443	444	445	446	448								

Units Removed from the Analysis: 1

Unit 4 Closest to Cluster 1 - distance = 2.9E+0000

Tabla 78. Fase estratigráfica 7. Distribución de la industria
Run Statistics Summary

CLUS	N	SSE1	SSE2	%SSE	Log(%SSE)	Srqt(SSE/N)
1	456	1861	1861	100.00	2.00	2.0201
2	456	914	914	49.12	1.69	1.4158
3	455	352	352	18.92	1.28	0.8796
4	455	231	231	12.40	1.09	0.7120
5	455	171	171	9.21	0.96	0.6139
6	455	140	140	7.52	0.88	0.5546
7	455	111	111	5.99	0.78	0.4949

CLUS	nbar	nstd	RMSbar	RMSstd	n>2	r2wbar	r2wstd	K'
1	456.0	0.0	2.02	0.00	1	0.00	0.00	1.0000
2	228.0	11.0	1.36	0.46	2	0.06	0.02	1.0000
3	151.7	65.0	0.88	0.07	3	0.09	0.09	1.0000
4	113.8	65.1	0.66	0.16	4	0.03	0.02	1.0000
5	91.0	25.5	0.60	0.13	5	0.07	0.05	1.0000
6	75.8	35.3	0.54	0.05	6	0.08	0.05	1.0000
7	65.0	21.2	0.50	0.06	7	0.10	0.06	1.0000

Tabla 79. Fase estratigráfica 7. Distribución de la industria

	C	N°	VAR	X	Y
3	1	233	0.816	-10.668	62.891
3	2	148	0.983	-7.680	63.722
3	3	74	0.853	-8.073	60.392
5	1	89	0.554	-10.999	62.313
5	2	93	0.468	-7.035	63.856
5	3	74	0.853	-8.073	60.392
5	4	62	0.516	-8.829	63.459
5	5	137	0.625	-10.524	63.252

Tabla 80. Fase estratigrafica 7. Distribucion de la produccion laminar
3 Clusters - Final Clusters

CLUS	N	SSE1	SSE2	%SSE	Log(%SSE)	Srqt(SSE/N)
3	286	236	236	18.70	1.27	0.9093

CLUS	nbar	nstd	RMSbar	RMSstd	n>2	r2wbar	r2wstd	K'
3	95.3	36.8	0.92	0.06	3	0.09	0.10	1.0000

CLUS	n	RMS	K	r2	Slope
1	141	0.85	1.0000	0.01	0.09
2	94	0.98	1.0000	0.23	0.20
3	51	0.93	1.0000	0.04	-0.10

CLUS VAR MEAN/STDDEV...

1 1: -10.68/ 0.57 2: 62.92/ 0.63
2 1: -7.63/ 0.91 2: 63.74/ 0.38
3 1: -8.05/ 0.84 2: 60.36/ 0.40

CLUS UNITS...

1 45 47 49 50 51 52 53 54 55 56 57 58
59 60 65 66 67 68 69 70 71 72 73 74
75 76 77 78 79 80 81 82 83 84 85 86
87 88 89 92 93 94 95 96 97 100 106 107
109 110 111 112 113 114 118 120 121 122 123 124
125 126 127 128 129 130 131 132 133 134 135 136
137 138 139 209 211 214 215 216 217 218 219 220
221 222 223 224 225 226 227 228 229 230 231 233
234 235 236 237 238 239 240 241 242 243 244 245
246 247 248 249 250 251 252 253 254 255 256 257
258 259 260 261 262 263 264 265 266 267 268 269
270 271 272 273 281 282 283 284 285
2 1 2 3 4 5 6 7 8 9 10 11 12
13 14 15 16 17 18 19 20 21 39 43 44
46 48 63 64 90 91 98 102 103 104 105 115
116 140 141 142 143 144 145 146 147 148 149 150
151 152 153 154 155 156 157 158 159 160 161 162
163 164 165 166 167 168 169 170 171 196 197 198
199 200 201 202 203 204 205 206 207 208 210 212
213 232 274 275 276 277 278 286 287 288
3 22 23 24 25 26 27 28 29 30 31 32 33
34 35 36 37 38 40 41 42 61 62 99 108
117 172 173 174 175 176 177 178 179 180 181 182
183 184 185 186 187 188 189 190 191 192 193 194
195 279 280

Units Removed from the Analysis: 2

Unit 101 Closest to Cluster 1 - distance = 3.6E+0000
Unit 119 Closest to Cluster 1 - distance = 3.6E+0000

Tabla 81. Fase estratigrafica 7. Distribucion de la produccion laminar
4 Clusters - Final Clusters

CLUS	N	SSE1	SSE2	%SSE	Log(%SSE)	Srqt(SSE/N)
4	286	158	158	12.51	1.10	0.7437

CLUS	nbar	nstd	RMSbar	RMSstd	n>2	r2wbar	r2wstd	K'
4	71.5	38.3	0.68	0.19	4	0.04	0.05	1.0000

CLUS	n	RMS	K	r2	Slope
1	136	0.82	1.0000	0.00	0.06
2	62	0.47	1.0000	0.13	0.24
3	51	0.93	1.0000	0.04	-0.10
4	37	0.52	1.0000	0.00	0.06

CLUS VAR MEAN/STDDEV...

1	1:	-10.73/	0.51	2:	62.91/	0.64
2	1:	-7.03/	0.39	2:	63.87/	0.26
3	1:	-8.05/	0.84	2:	60.36/	0.40
4	1:	-8.86/	0.26	2:	63.46/	0.44

CLUS UNITS...

1	49	50	51	52	53	54	55	56	57	58	59	60
	66	67	68	69	70	71	72	73	74	75	76	77
	78	79	80	81	82	83	84	85	86	87	88	89
	92	93	94	95	96	97	100	106	107	109	110	111
	112	113	114	118	120	121	122	123	124	125	126	127
	128	129	130	131	132	133	134	135	136	137	138	139
	214	215	216	217	218	219	220	221	222	223	224	225
	226	227	228	229	230	231	233	234	235	236	237	238
	239	240	241	242	243	244	245	246	247	248	249	250
	251	252	253	254	255	256	257	258	259	260	261	262
	263	264	265	266	267	268	269	270	271	272	273	281
	282	283	284	285								
2	1	2	3	4	5	6	7	8	9	10	11	12
	13	14	15	16	17	18	19	20	21	98	102	103
	104	116	140	141	142	143	144	145	146	147	148	149
	150	151	152	153	154	155	156	157	158	159	160	161
	162	163	164	165	166	167	168	170	171	277	278	286
	287	288										
3	22	23	24	25	26	27	28	29	30	31	32	33
	34	35	36	37	38	40	41	42	61	62	99	108
	117	172	173	174	175	176	177	178	179	180	181	182
	183	184	185	186	187	188	189	190	191	192	193	194
	195	279	280									
4	39	43	44	45	46	47	48	63	64	65	90	91
	105	115	169	196	197	198	199	200	201	202	203	204
	205	206	207	208	209	210	211	212	213	232	274	275

276

Units Removed from the Analysis: 2

Unit 101 Closest to Cluster 1 - distance = 3.5E+0000

Unit 119 Closest to Cluster 1 - distance = 3.5E+0000

Tabla 82. Fase estratigráfica 7. Distribución de la producción laminar
Run Statistics Summary

CLUS	N	SSE1	SSE2	%SSE	Log(%SSE)	Srqt(SSE/N)
1	288	1265	1265	100.00	2.00	2.0955
2	288	640	640	50.61	1.70	1.4907
3	286	236	236	18.70	1.27	0.9093
4	286	158	158	12.51	1.10	0.7437
5	286	123	123	9.69	0.99	0.6546
6	286	96	96	7.61	0.88	0.5800

CLUS	nbar	nstd	RMSbar	RMSstd	n>2	r2wbar	r2wstd	K'
1	288.0	0.0	2.10	0.00	1	0.00	0.00	1.0000
2	144.0	4.0	1.44	0.41	2	0.04	0.03	1.0000
3	95.3	36.8	0.92	0.06	3	0.09	0.10	1.0000
4	71.5	38.3	0.68	0.19	4	0.04	0.05	1.0000
5	57.2	11.5	0.64	0.15	5	0.07	0.04	1.0000
6	47.7	18.7	0.58	0.06	6	0.08	0.05	1.0000

Tabla 83. Fase estratigráfica 7. Distribución de la producción laminar

	C	Nº	VAR	X	Y
3	1	141	0.849	-10.679	62.920
3	2	94	0.983	-7.630	63.744
3	3	51	0.928	-8.054	60.365
4	1	136	0.816	-10.731	62.910
4	2	62	0.472	-7.028	63.868
4	3	51	0.928	-8.054	60.365
4	4	37	0.517	-8.860	63.460

Tabla 84. Fase estratigráfica 7. Distribución de la producción lascar
3 Clusters - Final Clusters

CLUS	N	SSE1	SSE2	%SSE	Log(%SSE)	Srqt(SSE/N)
3	180	145	145	18.43	1.27	0.8962

CLUS	nbar	nstd	RMSbar	RMSstd	n>2	r2wbar	r2wstd	K'
3	60.0	28.2	0.90	0.07	3	0.10	0.12	1.0000

CLUS	n	RMS	K	r2	Slope
1	95	0.83	1.0000	0.01	0.13
2	59	1.00	1.0000	0.27	0.23
3	26	0.88	1.0000	0.06	-0.14

CLUS VAR MEAN/STDDEV...

1 1: -10.69/ 0.56 2: 62.90/ 0.61
 2 1: -7.64/ 0.91 2: 63.73/ 0.40
 3 1: -7.91/ 0.77 2: 60.35/ 0.44

CLUS UNITS...

1	1	2	3	4	5	6	7	8	9	10	11	12
	13	14	15	16	17	18	19	20	90	92	95	96
	97	98	99	100	101	102	103	104	105	106	107	108
	109	110	111	112	114	115	116	117	118	119	120	121
	122	123	124	125	126	127	128	129	130	131	132	133
	134	135	136	137	138	139	140	141	142	143	144	145
	146	147	148	149	150	151	152	153	154	160	163	165
	168	171	172	173	174	175	176	177	178	179	180	
2	21	22	23	24	25	26	27	28	29	30	31	32
	33	34	35	36	37	38	39	40	41	42	43	44
	45	46	47	48	49	50	51	52	77	78	79	80
	81	82	83	84	85	86	87	88	89	91	93	94
	113	155	156	157	158	162	164	166	170	181	182	
3	53	54	55	56	57	58	59	60	61	62	63	64
	65	66	67	68	69	70	71	72	73	74	75	76
	159	167										

Units Removed from the Analysis: 2

Unit 161 Closest to Cluster 1 - distance = 3.5E+0000
 Unit 169 Closest to Cluster 1 - distance = 3.5E+0000

Tabla 85. Fase estratigrafica 7. Distribucion de la produccion lascar
4 Clusters - Final Clusters

CLUS	N	SSE1	SSE2	%SSE	Log(%SSE)	Srqt(SSE/N)
4	180	98	98	12.45	1.10	0.7365

CLUS	nbar	nstd	RMSbar	RMSstd	n>2	r2wbar	r2wstd	K'
4	45.0	27.4	0.69	0.16	4	0.03	0.04	1.0000

CLUS	n	RMS	K	r2	Slope
1	92	0.81	1.0000	0.01	0.09
2	36	0.49	1.0000	0.10	0.22
3	26	0.88	1.0000	0.06	-0.14
4	26	0.56	1.0000	0.01	0.09

CLUS VAR MEAN/STDDEV...

1	1:	-10.73/	0.53	2:	62.88/	0.61
2	1:	-6.97/	0.41	2:	63.88/	0.27
3	1:	-7.91/	0.77	2:	60.35/	0.44
4	1:	-8.78/	0.37	2:	63.46/	0.43

CLUS UNITS...

1	1	2	3	4	5	6	7	8	9	10	11	12
	13	14	15	16	17	18	19	20	95	96	97	98
	99	100	101	102	103	104	105	106	107	108	109	110
	111	112	114	115	116	117	118	119	120	121	122	123
	124	125	126	127	128	129	130	131	132	133	134	135
	136	137	138	139	140	141	142	143	144	145	146	147
	148	149	150	151	152	153	154	160	163	165	168	171
	172	173	174	175	177	178	179	180				
2	21	22	23	24	25	26	27	28	29	30	31	32
	33	34	35	36	37	38	39	40	41	42	43	44
	45	46	47	48	49	52	158	162	166	170	181	182
3	53	54	55	56	57	58	59	60	61	62	63	64
	65	66	67	68	69	70	71	72	73	74	75	76
	159	167										
4	50	51	77	78	79	80	81	82	83	84	85	86
	87	88	89	90	91	92	93	94	113	155	156	157
	164	176										

Units Removed from the Analysis: 2

Unit 161 Closest to Cluster 1 - distance = 3.5E+0000
Unit 169 Closest to Cluster 1 - distance = 3.5E+0000

Tabla 86. Fase estratigráfica 7. Distribución de la producción lascar
Run Statistics Summary

CLUS	N	SSE1	SSE2	%SSE	Log(%SSE)	Srqt(SSE/N)
1	182	784	784	100.00	2.00	2.0761
2	182	375	375	47.86	1.68	1.4362
3	180	145	145	18.43	1.27	0.8962
4	180	98	98	12.45	1.10	0.7365
5	180	76	76	9.63	0.98	0.6477
6	180	59	59	7.58	0.88	0.5749
7	180	48	48	6.08	0.78	0.5146

CLUS	nbar	nstd	RMSbar	RMSstd	n>2	r2wbar	r2wstd	K'
1	182.0	0.0	2.08	0.00	1	0.00	0.00	1.0000
2	91.0	8.0	1.41	0.42	2	0.09	0.02	1.0000
3	60.0	28.2	0.90	0.07	3	0.10	0.12	1.0000
4	45.0	27.4	0.69	0.16	4	0.03	0.04	1.0000
5	36.0	15.0	0.65	0.14	5	0.12	0.08	1.0000
6	30.0	6.9	0.57	0.16	6	0.06	0.05	1.0000
7	25.7	10.4	0.53	0.09	7	0.08	0.09	1.0000

Tabla 87. Fase estratigráfica 7. Distribución de la producción lascar

C	N°	VAR	X	Y	
3	1	95	0.831	-10.694	62.898
3	2	59	0.997	-7.637	63.728
3	3	26	0.885	-7.906	60.353
4	1	92	0.809	-10.733	62.884
4	2	36	0.494	-6.967	63.885
4	3	26	0.885	-7.906	60.353
4	4	26	0.565	-8.778	63.464

Tabla 88. Fase estratigráfica 8. Distribución de la industria
3 Clusters - Final Clusters

CLUS	N	SSE1	SSE2	%SSE	Log(%SSE)	Srqt(SSE/N)
3	379	209	209	23.76	1.38	0.7420

CLUS	nbar	nstd	RMSbar	RMSstd	n>2	r2wbar	r2wstd	K'
3	126.3	61.9	0.65	0.19	3	0.02	0.02	1.0000

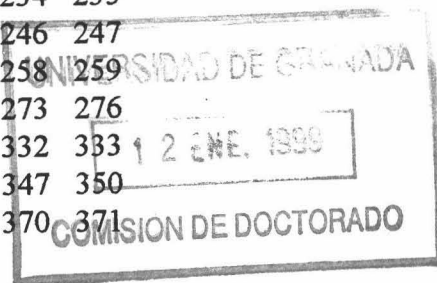
CLUS	n	RMS	K	r2	Slope
1	195	0.74	1.0000	0.00	-0.00
2	45	0.40	1.0000	0.03	-0.23
3	139	0.83	1.0000	0.03	-0.20

CLUS VAR MEAN/STDDEV...

1	1:	-10.53/	0.49	2:	62.81/	0.55
2	1:	-7.28/	0.24	2:	63.68/	0.32
3	1:	-9.68/	0.56	2:	61.28/	0.61

CLUS UNITS...

1	11	12	14	15	16	17	18	19	23	24	25	26
	27	28	29	30	31	32	33	34	35	36	37	38
	39	40	41	42	43	46	48	53	78	79	80	81
	82	83	91	92	93	94	95	96	102	103	112	114
	116	120	121	122	123	124	125	126	127	128	129	130
	131	132	133	134	135	136	137	138	139	140	141	142
	143	144	145	149	151	152	158	168	169	170	171	172
	173	174	175	191	192	194	196	198	199	202	203	204
	206	207	209	215	216	217	218	219	220	221	222	223
	224	225	226	227	228	229	230	231	232	233	234	235
	236	237	238	239	240	241	242	243	244	245	246	247
	248	249	250	251	252	253	254	255	256	257	258	259
	260	261	262	263	264	265	268	269	271	272	273	276
	279	280	281	325	326	327	328	329	330	331	332	333
	334	335	336	337	338	342	343	344	345	346	347	350
	351	352	355	356	357	364	365	366	367	369	370	371
	373	374	375									
2	1	2	3	4	5	6	7	8	9	85	86	87
	88	104	105	106	107	108	109	110	111	176	177	178
	179	180	181	182	183	184	185	186	187	188	189	339
	340	341	353	358	359	360	361	362	372			
3	10	13	20	21	22	44	45	47	49	50	51	52
	54	55	56	57	58	59	60	61	62	63	64	65
	66	67	68	69	70	71	72	73	74	75	76	77
	84	89	90	97	98	99	100	101	113	115	117	118
	119	146	147	148	150	153	154	155	156	157	159	160
	161	162	163	164	165	166	167	190	193	195	197	200
	201	205	208	210	211	212	213	214	266	267	270	274



275 277 278 282 283 284 285 286 287 288 289 290
291 292 293 294 295 296 297 298 299 300 301 302
303 304 305 306 307 308 309 310 311 312 313 314
315 316 317 318 319 320 321 322 323 324 348 349
354 363 368 376 377 378 379

Tabla 89. Fase estratigráfica 8. Distribución de la industria
6 Clusters - Final Clusters

CLUS	N	SSE1	SSE2	%SSE	Log(%SSE)	Srqt(SSE/N)
6	379	96	96	10.89	1.04	0.5022

CLUS	nbar	nstd	RMSbar	RMSstd	n>2	r2wbar	r2wstd	K'
6	63.2	12.8	0.50	0.06	6	0.10	0.08	1.0000

CLUS	n	RMS	K	r2	Slope
1	57	0.51	1.0000	0.17	-0.49
2	45	0.40	1.0000	0.03	-0.23
3	58	0.57	1.0000	0.02	-0.18
4	81	0.47	1.0000	0.22	-0.43
5	79	0.46	1.0000	0.05	-0.18
6	59	0.58	1.0000	0.04	0.18

CLUS VAR MEAN/STDDEV...

1	1: -10.35/ 0.33	2: 63.46/ 0.39
2	1: -7.28/ 0.24	2: 63.68/ 0.32
3	1: -9.31/ 0.35	2: 60.75/ 0.45
4	1: -9.79/ 0.35	2: 62.23/ 0.32
5	1: -10.93/ 0.35	2: 62.69/ 0.30
6	1: -10.37/ 0.45	2: 61.55/ 0.37

CLUS UNITS...

1	26	29	33	35	79	80	81	82	83	91	94	102
	103	124	127	128	131	133	139	169	170	171	172	173
	174	175	191	194	215	222	223	225	226	232	236	238
	240	249	253	326	327	328	329	330	331	332	333	334
	335	336	337	338	342	351	356	366	371			
2	1	2	3	4	5	6	7	8	9	85	86	87
	88	104	105	106	107	108	109	110	111	176	177	178
	179	180	181	182	183	184	185	186	187	188	189	339
	340	341	353	358	359	360	361	362	372			
3	57	64	66	67	68	69	70	71	72	73	74	75
	76	77	84	99	100	101	154	160	161	162	163	164
	165	166	167	289	293	296	298	300	302	303	304	305
	306	307	308	309	310	311	312	313	314	315	316	317
	318	319	320	322	323	324	349	368	378	379		
4	15	20	21	22	32	36	37	40	46	47	53	56
	58	59	61	62	65	89	92	97	112	116	118	119
	120	123	125	130	132	136	137	146	149	151	152	155
	156	158	201	203	207	208	210	211	212	213	214	217
	219	224	228	231	233	237	242	246	247	248	250	251
	268	269	270	272	276	277	281	283	287	288	290	291
	294	295	297	299	347	348	350	352	367			
5	11	12	14	16	17	19	23	24	27	28	30	31

34 38 39 41 42 43 48 93 95 96 114 121
122 126 129 134 135 138 140 141 142 143 144 145
168 192 196 199 202 206 216 218 220 221 227 229
230 234 235 241 243 244 245 252 254 255 256 257
258 259 260 261 262 263 264 265 279 343 344 345
346 355 357 364 365 373 374
6 10 13 18 25 44 45 49 50 51 52 54 55
60 63 78 90 98 113 115 117 147 148 150 153
157 159 190 193 195 197 198 200 204 205 209 239
266 267 271 273 274 275 278 280 282 284 285 286
292 301 321 325 354 363 369 370 375 376 377

Tabla 90. Fase estratigráfica 8. Distribución de la industria
Run Statistics Summary

CLUS	N	SSE1	SSE2	%SSE	Log(%SSE)	Srqt(SSE/N)
1	379	878	878	100.00	2.00	1.5220
2	379	457	457	52.06	1.72	1.0982
3	379	209	209	23.76	1.38	0.7420
4	379	149	149	17.00	1.23	0.6275
5	379	117	117	13.34	1.13	0.5558
6	379	96	96	10.89	1.04	0.5022
7	379	87	87	9.89	1.00	0.4787
8	379	76	76	8.61	0.93	0.4465

CLUS	nbar	nstd	RMSbar	RMSstd	n>2	r2wbar	r2wstd	K'
1	379.0	0.0	1.52	0.00	1	0.02	0.00	1.0000
2	189.5	144.5	0.78	0.38	2	0.26	0.09	1.0000
3	126.3	61.9	0.65	0.19	3	0.02	0.02	1.0000
4	94.8	39.3	0.59	0.11	4	0.07	0.04	1.0000
5	75.8	24.0	0.54	0.08	5	0.04	0.04	1.0000
6	63.2	12.8	0.50	0.06	6	0.10	0.08	1.0000
7	54.1	23.4	0.48	0.05	7	0.12	0.09	1.0000
8	47.4	23.4	0.46	0.04	8	0.06	0.04	1.0000

Tabla 91. Fase estratigráfica 8. Distribución de la industria

C	N°	VAR	X	Y	
3	1	195	0.739	-10.530	62.806
3	2	45	0.398	-7.285	63.675
3	3	139	0.827	-9.676	61.279
6	1	57	0.506	-10.354	63.462
6	2	45	0.398	-7.285	63.675
6	3	58	0.569	-9.315	60.748
6	4	81	0.473	-9.786	62.228
6	5	79	0.462	-10.930	62.692
6	6	59	0.583	-10.368	61.545



Tabla 92. Fase estratigráfica 8. Distribución de la producción laminar
3 Clusters - Final Clusters

CLUS	N	SSE1	SSE2	%SSE	Log(%SSE)	Srqt(SSE/N)
3	190	100	100	20.80	1.32	0.7259

CLUS	nbar	nstd	RMSbar	RMSstd	n>2	r2wbar	r2wstd	K'
3	63.3	29.8	0.64	0.19	3	0.07	0.10	1.0000

CLUS	n	RMS	K	r2	Slope
1	99	0.75	1.0000	0.00	-0.00
2	26	0.37	1.0000	0.02	0.21
3	65	0.79	1.0000	0.21	-0.63

CLUS VAR MEAN/STDDEV...

1	1:	-10.48/	0.48	2:	62.79/	0.58
2	1:	-7.30/	0.20	2:	63.71/	0.32
3	1:	-9.61/	0.46	2:	61.18/	0.64

CLUS UNITS...

1	11	12	14	15	16	17	18	19	23	24	25	26
	27	28	29	30	31	32	33	34	35	36	37	38
	39	40	41	42	43	46	48	53	59	62	78	79
	80	81	82	83	91	92	93	94	95	96	102	103
	112	113	114	116	120	121	122	123	124	125	126	127
	128	129	130	131	132	133	134	135	136	137	138	139
	140	141	142	143	144	145	146	149	151	152	158	168
	169	170	171	172	173	174	175	181	182	183	184	186
	187	188	190									
2	1	2	3	4	5	6	7	8	9	85	86	87
	88	104	105	106	107	108	109	110	111	176	177	178
	179	189										
3	13	20	21	22	44	45	47	49	50	51	52	54
	55	56	57	58	60	61	63	64	65	66	67	68
	69	70	71	72	73	74	75	76	77	84	89	90
	97	98	99	100	101	115	117	118	119	147	148	150
	153	154	155	156	157	159	160	161	162	163	164	165
	166	167	185	191	192							

Units Removed from the Analysis: 2

Unit 10 Closest to Cluster 3 - distance = 2.2E+0000

Unit 180 Closest to Cluster 3 - distance = 1.8E+0000

Tabla 93. Fase estratigráfica 8. Distribución de la producción lamina
6 Clusters - Final Clusters

CLUS	N	SSE1	SSE2	%SSE	Log(%SSE)	Srqt(SSE/N)
6	190	41	40	8.42	0.93	0.4626

CLUS	nbar	nstd	RMSbar	RMSstd	n>2	r2wbar	r2wstd	K'
6	31.7	9.1	0.46	0.05	6	0.03	0.03	1.0000

CLUS	n	RMS	K	r2	Slope
1	32	0.42	1.0000	0.08	-0.32
2	26	0.37	1.0000	0.02	0.21
3	22	0.53	1.0000	0.00	-0.08
4	41	0.47	1.0000	0.01	0.06
5	46	0.48	1.0000	0.06	-0.26
6	23	0.48	1.0000	0.01	0.09

CLUS VAR MEAN/STDDEV...

1	1:	-9.88/	0.28	2:	62.55/	0.31
2	1:	-7.30/	0.20	2:	63.71/	0.32
3	1:	-9.20/	0.32	2:	60.44/	0.43
4	1:	-9.87/	0.38	2:	61.52/	0.28
5	1:	-10.82/	0.33	2:	62.52/	0.35
6	1:	-10.49/	0.31	2:	63.62/	0.37

CLUS UNITS...

1	15	20	22	26	29	32	33	35	37	40	46	53
	58	59	62	92	112	116	120	123	125	128	131	132
	136	137	146	151	152	158	183	184				
2	1	2	3	4	5	6	7	8	9	85	86	87
	88	104	105	106	107	108	109	110	111	176	177	178
	179	189										
3	67	69	71	73	74	75	76	77	84	99	100	101
	160	161	162	163	164	165	166	167	185	191		
4	13	21	44	45	47	49	50	51	52	54	55	56
	57	60	61	63	64	65	66	68	70	72	89	90
	97	98	113	115	117	118	119	147	148	150	153	154
	155	156	157	159	192							
5	11	12	16	17	18	19	23	24	25	27	28	30
	31	34	36	38	39	41	42	43	48	78	93	95
	96	114	121	122	126	129	130	134	135	138	140	141
	142	143	144	145	149	181	182	186	187	190		
6	14	79	80	81	82	83	91	94	102	103	124	127
	133	139	168	169	170	171	172	173	174	175	188	

Units Removed from the Analysis: 2

Unit 10 Closest to Cluster 4 - distance = 2.1E+0000

Unit 180 Closest to Cluster 4 - distance = 1.9E+0000

Tabla 94. Fase estratigráfica 8. Distribución de la producción laminar
Run Statistics Summary

CLUS	N	SSE1	SSE2	%SSE	Log(%SSE)	Srqt(SSE/N)
1	192	480	480	100.00	2.00	1.5811
2	190	231	231	48.14	1.68	1.1034
3	190	100	100	20.80	1.32	0.7259
4	190	69	69	14.41	1.16	0.6045
5	190	51	50	10.49	1.02	0.5161
6	190	41	40	8.42	0.93	0.4626
7	190	35	35	7.25	0.86	0.4296
8	190	31	31	6.37	0.80	0.4028

CLUS	nbar	nstd	RMSbar	RMSstd	n>2	r2wbar	r2wstd	K'
1	192.0	0.0	1.58	0.00	1	0.03	0.00	1.0000
2	95.0	69.0	0.78	0.40	2	0.33	0.13	1.0000
3	63.3	29.8	0.64	0.19	3	0.07	0.10	1.0000
4	47.5	20.4	0.56	0.11	4	0.03	0.02	1.0000
5	38.0	12.6	0.51	0.07	5	0.08	0.05	1.0000
6	31.7	9.1	0.46	0.05	6	0.03	0.03	1.0000
7	27.1	7.1	0.43	0.06	7	0.05	0.03	1.0000
8	23.8	7.6	0.40	0.03	8	0.08	0.05	1.0000

Tabla 95. Fase estratigráfica 8. Distribución de la producción laminar

C	Nº	VAR	X	Y	
3	1	99	0.752	-10.482	62.788
3	2	26	0.373	-7.300	63.715
3	3	65	0.787	-9.608	61.181
6	1	32	0.420	-9.879	62.554
6	2	26	0.373	-7.300	63.715
6	3	22	0.534	-9.203	60.441
6	4	41	0.468	-9.869	61.518
6	5	46	0.480	-10.822	62.515
6	6	23	0.480	-10.486	63.625

Tabla 96. Fase estratigráfica 8. Distribución de la producción lascar
3 Clusters - Final Clusters

CLUS	N	SSE1	SSE2	%SSE	Log(%SSE)	Srqt(SSE/N)
3*	182	92	91	23.13	1.36	0.7114

CLUS	nbar	nstd	RMSbar	RMSstd	n>2	r2wbar	r2wstd	K'
3	60.7	31.5	0.63	0.15	3	0.04	0.06	1.0000

CLUS	n	RMS	K	r2	Slope
1	95	0.72	1.0000	0.00	0.00
2	19	0.42	1.0000	0.19	-0.50
3	68	0.75	1.0000	0.07	-0.28

CLUS VAR MEAN/STDDEV...

1	1:	-10.58/	0.50	2:	62.83/	0.52
2	1:	-7.26/	0.28	2:	63.62/	0.32
3	1:	-9.64/	0.50	2:	61.41/	0.56

CLUS UNITS...

1	16	17	19	21	23	24	27	28	29	31	32	34
	40	41	42	43	44	45	46	47	48	49	50	51
	52	53	54	55	56	57	58	59	60	61	62	63
	64	65	66	68	69	70	71	72	73	74	76	77
	78	79	80	81	82	83	84	85	86	87	88	89
	90	93	94	96	97	98	101	104	106	150	151	152
	153	154	155	156	157	158	159	160	161	162	163	167
	168	169	170	171	175	176	177	180	181	182	184	
2	1	2	3	4	5	6	7	8	9	10	11	12
	13	14	164	165	166	178	183					
3	18	20	22	25	26	30	33	35	36	37	38	39
	67	75	91	92	95	99	100	102	103	105	107	108
	109	110	111	112	113	114	115	116	117	118	119	120
	121	122	123	124	125	126	127	128	129	130	131	132
	133	134	135	136	137	138	139	140	141	142	143	144
	145	146	147	148	149	172	173	174				

Units Removed from the Analysis: 2

Unit 15 Closest to Cluster 3 - distance = 2.3E+0000
Unit 179 Closest to Cluster 3 - distance = 1.2E+0000

Tabla 97. Fase estratigráfica 8. Distribución de la producción lascar
4 Clusters - Final Clusters

CLUS	N	SSE1	SSE2	%SSE	Log(%SSE)	Srqt(SSE/N)
4	182	63	62	15.81	1.20	0.5892

CLUS	nbar	nstd	RMSbar	RMSstd	n>2	r2wbar	r2wstd	K'
4	45.5	19.7	0.55	0.08	4	0.11	0.07	1.0000

CLUS	n	RMS	K	r2	Slope
1	65	0.65	1.0000	0.17	0.40
2	19	0.42	1.0000	0.19	-0.50
3	34	0.54	1.0000	0.00	-0.00
4	64	0.58	1.0000	0.10	0.26

CLUS VAR MEAN/STDDEV...

1	1:	-10.75/	0.47	2:	63.06/	0.45
2	1:	-7.26/	0.28	2:	63.62/	0.32
3	1:	-9.36/	0.36	2:	60.99/	0.41
4	1:	-10.06/	0.44	2:	62.07/	0.38

CLUS UNITS...

1	16	17	19	21	24	27	31	40	41	43	45	46
	47	48	50	51	52	55	57	59	60	61	63	65
	66	68	70	74	77	78	79	80	81	82	83	84
	85	86	87	88	89	90	151	152	153	154	155	156
	157	158	159	160	161	162	163	167	168	169	170	171
	176	180	181	182	184							
2	1	2	3	4	5	6	7	8	9	10	11	12
	13	14	164	165	166	178	183					
3	18	36	38	114	118	119	121	123	125	126	127	128
	129	130	131	132	133	134	135	136	137	138	139	140
	141	142	143	144	145	146	147	148	149	174		
4	20	22	23	25	26	28	29	30	32	33	34	35
	37	39	42	44	49	53	54	56	58	62	64	67
	69	71	72	73	75	76	91	92	93	94	95	96
	97	98	99	100	101	102	103	104	105	106	107	108
	109	110	111	112	113	115	116	117	120	122	124	150
	172	173	175	177								

Units Removed from the Analysis: 2

Unit 15 Closest to Cluster 4 - distance = 2.2E+0000

Unit 179 Closest to Cluster 3 - distance = 1.2E+0000

Tabla 99. Fase estratigráfica 8. Distribución de la producción lascar
Run Statistics Summary

CLUS	N	SSE1	SSE2	%SSE	Log(%SSE)	Srqt(SSE/N)
1	184	395	395	100.00	2.00	1.4647
2	182	207	206	52.26	1.72	1.0667
3	182	92	91	23.13	1.36	0.7114
4	182	63	62	15.81	1.20	0.5892
5	182	49	48	12.23	1.09	0.5193
6	182	38	38	9.55	0.98	0.4597
7	182	35	34	8.54	0.93	0.4355

CLUS	nbar	nstd	RMSbar	RMSstd	n>2	r2wbar	r2wstd	K'
1	184.0	0.0	1.46	0.00	1	0.01	0.00	1.0000
2	91.0	72.0	0.77	0.35	2	0.33	0.05	1.0000
3	60.7	31.5	0.63	0.15	3	0.04	0.06	1.0000
4	45.5	19.7	0.55	0.08	4	0.11	0.07	1.0000
5	36.4	12.9	0.50	0.05	5	0.09	0.06	1.0000
6	30.3	6.2	0.45	0.04	6	0.10	0.09	1.0000
7	26.0	8.8	0.42	0.04	7	0.06	0.06	1.0000

Tabla 100. Fase estratigráfica 7. Distribución de la producción lascar

	C	Nº	VAR	X	Y
3	1	95	0.831	-10.694	62.898
3	2	59	0.997	-7.637	63.728
3	3	26	0.885	-7.906	60.353
4	1	92	0.809	-10.733	62.884
4	2	36	0.494	-6.967	63.885
4	3	26	0.885	-7.906	60.353
4	4	26	0.565	-8.778	63.464
6	1	40	0.525	-10.995	62.377
6	2	36	0.494	-6.967	63.885
6	3	26	0.885	-7.906	60.353
6	4	25	0.535	-8.737	63.455
6	5	33	0.365	-10.205	63.018
6	6	20	0.623	-11.034	63.718

Tabla 98. Fase estratigráfica 8. Distribución de la producción lascar
6 Clusters - Final Clusters

CLUS	N	SSE1	SSE2	%SSE	Log(%SSE)	Srqt(SSE/N)
6	182	38	38	9.55	0.98	0.4597

CLUS	nbar	nstd	RMSbar	RMSstd	n>2	r2wbar	r2wstd	K'
6	30.3	6.2	0.45	0.04	6	0.10	0.09	1.0000

CLUS	n	RMS	K	r2	Slope
1	33	0.44	1.0000	0.00	0.01
2	19	0.42	1.0000	0.19	-0.50
3	32	0.52	1.0000	0.02	-0.13
4	39	0.45	1.0000	0.23	-0.50
5	27	0.41	1.0000	0.01	-0.14
6	32	0.47	1.0000	0.13	-0.48

CLUS VAR MEAN/STDDEV...

1	1:	-11.09/	0.33	2:	62.76/	0.28
2	1:	-7.26/	0.28	2:	63.62/	0.32
3	1:	-9.39/	0.38	2:	60.93/	0.36
4	1:	-9.71/	0.31	2:	62.23/	0.32
5	1:	-10.47/	0.27	2:	61.83/	0.31
6	1:	-10.40/	0.28	2:	63.36/	0.38

CLUS UNITS...

1	17	21	24	41	43	45	46	52	55	59	60	66
	68	70	79	80	81	82	83	84	85	86	87	88
	89	90	168	169	170	171	180	182	184			
2	1	2	3	4	5	6	7	8	9	10	11	12
	13	14	164	165	166	178	183					
3	18	114	117	118	121	123	125	126	127	128	129	130
	131	132	133	134	135	136	137	138	139	140	141	142
	143	144	145	146	147	148	149	174				
4	26	28	32	33	35	36	37	38	39	44	49	53
	56	58	62	67	71	72	73	75	76	93	94	95
	97	102	106	108	112	113	115	116	119	120	122	124
	172	173	175									
5	20	22	23	25	29	30	34	42	54	64	69	91
	92	96	98	99	100	101	103	104	105	107	109	110
	111	150	177									
6	16	19	27	31	40	47	48	50	51	57	61	63
	65	74	77	78	151	152	153	154	155	156	157	158
	159	160	161	162	163	167	176	181				

Units Removed from the Analysis: 2

Unit 15 Closest to Cluster 5 - distance = 1.8E+0000

Unit 179 Closest to Cluster 3 - distance = 1.2E+0000

Tabla 101. Fase estratigráfica 9. Distribución de la industria
2 Clusters - Final Clusters

CLUS	N	SSE1	SSE2	%SSE	Log(%SSE)	Srqt(SSE/N)
2	1316	2171	2171	49.64	1.70	1.2845

CLUS	nbar	nstd	RMSbar	RMSstd	n>2	r2wbar	r2wstd	K'
2	658.0	146.0	1.24	0.16	2	0.05	0.06	1.0000

CLUS	n	RMS	K	r2	Slope
1	804	1.40	1.0000	0.00	0.02
2	512	1.08	1.0000	0.13	-0.27

CLUS VAR MEAN/STDDEV...

1	1:	-9.70/	1.23	2:	63.35/	0.67
2	1:	-8.90/	0.87	2:	60.82/	0.64

CLUS UNITS...

1	74	75	76	77	78	79	80	81	82	83	84	85
	86	87	88	89	90	91	92	93	94	95	96	97
	98	99	100	101	102	103	104	105	106	107	108	109
	110	111	112	113	114	115	116	117	118	119	120	121
	122	123	124	125	126	127	128	129	130	131	132	133
	134	135	136	137	138	139	140	141	142	143	144	145
	146	147	148	149	161	163	164	165	166	167	168	169
	170	171	172	173	174	175	176	177	178	179	180	181
	182	183	184	185	186	187	188	189	190	191	192	193
	194	195	196	197	198	199	200	247	248	249	253	267
	268	270	273	274	275	276	278	279	283	289	290	292
	293	295	298	301	328	329	330	331	332	333	334	335
	336	337	338	339	340	341	342	343	344	345	346	347
	348	349	350	351	352	353	354	355	356	357	358	359
	360	361	362	363	364	365	366	367	368	370	371	372
	373	377	379	380	381	382	383	384	385	386	387	388
	389	390	391	392	393	394	395	396	397	398	399	400
	401	402	403	404	405	406	407	408	409	410	411	412
	413	414	415	416	417	418	419	440	441	442	444	445
	446	447	448	449	450	451	452	453	454	455	456	457
	458	459	460	461	462	463	464	465	466	467	468	469
	470	471	472	474	478	481	482	483	484	485	486	487
	488	489	490	491	492	493	494	495	496	497	498	499
	500	501	502	503	504	505	506	507	508	509	511	512
	513	514	515	516	517	518	519	520	521	522	523	524
	525	526	527	528	529	530	531	532	533	534	535	536
	537	538	539	540	541	542	543	544	608	609	610	611
	612	613	614	615	616	617	618	619	620	621	624	625
	626	627	628	629	630	631	632	633	634	635	636	637
	638	639	640	641	642	643	644	645	646	647	648	649

650 651 652 653 654 655 656 657 658 659 660 661
662 663 664 665 666 667 668 669 670 671 672 673
674 675 676 677 678 679 680 681 682 683 684 685
686 687 688 689 690 691 692 693 694 695 696 697
698 700 701 702 703 704 705 706 707 711 712 713
714 715 718 760 761 762 763 764 765 766 767 768
769 770 771 772 773 774 775 776 777 778 779 780
781 782 783 784 785 786 787 788 789 790 791 792
793 794 795 796 797 798 799 800 804 805 806 807
808 809 810 811 812 813 814 815 816 817 844 845
846 847 848 849 850 851 865 866 871 887 888 889
890 891 892 893 894 895 896 897 898 899 900 901
903 904 905 906 907 908 910 911 912 913 914 915
916 923 927 928 929 930 931 932 933 934 935 936
937 938 939 940 941 942 943 944 945 946 947 948
949 950 951 952 953 954 955 956 958 959 960 961
962 963 964 965 971 972 973 974 975 976 977 978
979 980 981 982 983 984 985 986 987 988 989 990
991 992 993 994 995 996 997 998 999 1000 1001 1002
1003 1004 1005 1025 1026 1027 1028 1029 1030 1031 1032 1033
1034 1035 1036 1038 1039 1040 1041 1042 1043 1044 1045 1046
1047 1048 1049 1050 1051 1052 1053 1054 1055 1056 1057 1058
1059 1060 1061 1062 1063 1064 1065 1066 1067 1068 1069 1070
1071 1072 1073 1074 1075 1076 1077 1078 1079 1080 1081 1082
1083 1084 1085 1086 1087 1088 1089 1090 1091 1092 1093 1094
1095 1096 1097 1100 1101 1102 1103 1104 1105 1106 1107 1109
1110 1122 1123 1124 1125 1126 1128 1129 1130 1131 1132 1133
1134 1137 1138 1139 1140 1141 1142 1154 1155 1156 1157 1158
1159 1160 1161 1162 1163 1164 1165 1166 1167 1168 1169 1170
1171 1172 1173 1174 1175 1176 1177 1178 1179 1180 1181 1182
1183 1184 1194 1195 1196 1197 1198 1199 1200 1201 1202 1203
1204 1205 1206 1207 1208 1209 1214 1215 1216 1217 1218 1219
1220 1221 1222 1223 1224 1225 1226 1228 1229 1241 1242 1244
1245 1246 1247 1248 1249 1250 1251 1252 1259 1260 1261 1262
1263 1266 1267 1268 1270 1273 1275 1276 1277 1278 1279 1280
1283 1284 1285 1286 1287 1288 1289 1294 1295 1296 1297 1298
1299 1300 1301 1302 1303 1304 1305 1312 1313 1314 1315 1316
2 1 2 3 4 5 6 7 8 9 10 11 12
13 14 15 16 17 18 19 20 21 22 23 24
25 26 27 28 29 30 31 32 33 34 35 36
37 38 39 40 41 42 43 44 45 46 47 48
49 50 51 52 53 54 55 56 57 58 59 60
61 62 63 64 65 66 67 68 69 70 71 72
73 150 151 152 153 154 155 156 157 158 159 160
162 201 202 203 204 205 206 207 208 209 210 211
212 213 214 215 216 217 218 219 220 221 222 223
224 225 226 227 228 229 230 231 232 233 234 235
236 237 238 239 240 241 242 243 244 245 246 250
251 252 254 255 256 257 258 259 260 261 262 263

264 265 266 269 271 272 277 280 281 282 284 285
286 287 288 291 294 296 297 299 300 302 303 304
305 306 307 308 309 310 311 312 313 314 315 316
317 318 319 320 321 322 323 324 325 326 327 369
374 375 376 378 420 421 422 423 424 425 426 427
428 429 430 431 432 433 434 435 436 437 438 439
443 473 475 476 477 479 480 510 545 546 547 548
549 550 551 552 553 554 555 556 557 558 559 560
561 562 563 564 565 566 567 568 569 570 571 572
573 574 575 576 577 578 579 580 581 582 583 584
585 586 587 588 589 590 591 592 593 594 595 596
597 598 599 600 601 602 603 604 605 606 607 622
623 699 708 709 710 716 717 719 720 721 722 723
724 725 726 727 728 729 730 731 732 733 734 735
736 737 738 739 740 741 742 743 744 745 746 747
748 749 750 751 752 753 754 755 756 757 758 759
801 802 803 818 819 820 821 822 823 824 825 826
827 828 829 830 831 832 833 834 835 836 837 838
839 840 841 842 843 852 853 854 855 856 857 858
859 860 861 862 863 864 867 868 869 870 872 873
874 875 876 877 878 879 880 881 882 883 884 885
886 902 909 917 918 919 920 921 922 924 925 926
957 966 967 968 969 970 1006 1007 1008 1009 1010 1011
1012 1013 1014 1015 1016 1017 1018 1019 1020 1021 1022 1023
1024 1037 1098 1099 1108 1111 1112 1113 1114 1115 1116 1117
1118 1119 1120 1121 1127 1135 1136 1143 1144 1145 1146 1147
1148 1149 1150 1151 1152 1153 1185 1186 1187 1188 1189 1190
1191 1192 1193 1210 1211 1212 1213 1227 1230 1231 1232 1233
1234 1235 1236 1237 1238 1239 1240 1243 1253 1254 1255 1256
1257 1258 1264 1265 1269 1271 1272 1274 1281 1282 1290 1291
1292 1293 1306 1307 1308 1309 1310 1311

Tabla 102. Fase estratigráfica 9. Distribución de la industria
4 Clusters - Final Clusters

CLUS	N	SSE1	SSE2	%SSE	Log(%SSE)	Srqt(SSE/N)
4	1316	898	898	20.52	1.31	0.8260

CLUS	nbar	nstd	RMSbar	RMSstd	n>2	r2wbar	r2wstd	K'
4	329.0	31.4	0.83	0.07	4	0.00	0.00	1.0000

CLUS	n	RMS	K	r2	Slope
1	348	0.77	1.0000	0.00	-0.03
2	368	0.78	1.0000	0.00	0.02
3	314	0.94	1.0000	0.00	0.02
4	286	0.81	1.0000	0.01	0.05

CLUS VAR MEAN/STDDEV...

1	1: -10.71/ 0.62	2: 63.68/ 0.46
2	1: -9.70/ 0.54	2: 61.84/ 0.56
3	1: -8.50/ 0.83	2: 60.44/ 0.45
4	1: -8.36/ 0.72	2: 63.58/ 0.37

CLUS UNITS...

1	163	164	165	166	167	168	169	170	171	172	173	174
	175	176	177	178	179	180	181	182	183	184	185	186
	187	188	189	190	191	192	193	194	195	196	197	198
	199	200	333	334	335	341	342	343	344	345	346	347
	348	349	350	351	352	354	356	357	358	359	360	361
	377	381	382	383	384	385	386	387	388	389	390	391
	392	393	394	395	396	397	398	399	400	401	402	403
	404	405	406	407	408	409	410	411	412	413	414	415
	416	417	418	419	449	454	458	469	470	471	482	483
	484	485	486	487	489	490	491	492	493	494	495	496
	497	498	499	500	525	527	528	534	538	539	540	541
	542	543	544	611	612	613	615	616	617	618	633	634
	637	638	640	646	647	648	649	650	651	652	653	654
	656	657	660	661	662	663	664	665	666	667	668	669
	670	671	672	673	674	675	676	677	678	679	680	681
	682	683	684	685	686	687	688	689	690	691	692	693
	694	695	696	697	698	701	702	704	705	706	707	713
	714	715	718	806	807	808	809	810	811	812	813	814
	815	816	817	887	889	891	911	912	913	914	915	916
	941	946	952	960	962	963	964	965	992	993	995	998
	999	1000	1001	1002	1003	1004	1005	1025	1027	1028	1032	1049
	1050	1051	1052	1053	1059	1060	1061	1062	1063	1064	1065	1066
	1067	1068	1069	1070	1071	1072	1073	1074	1075	1076	1077	1078
	1079	1080	1081	1082	1083	1084	1085	1086	1087	1088	1089	1090
	1091	1092	1093	1094	1095	1096	1097	1109	1110	1126	1128	1131
	1133	1134	1137	1140	1141	1142	1179	1180	1181	1182	1183	1184

	1197	1199	1201	1203	1205	1206	1207	1208	1209	1215	1219	1223
	1229	1247	1248	1249	1250	1251	1252	1263	1268	1276	1277	1278
	1279	1280	1287	1288	1289	1298	1299	1300	1302	1314	1315	1316
2	155	157	160	161	162	226	227	228	229	230	234	235
	237	238	239	240	241	242	243	246	250	252	253	254
	255	256	257	258	259	260	261	262	263	264	265	266
	267	268	270	271	272	274	275	276	277	278	279	280
	281	282	283	284	285	286	287	288	289	290	291	292
	294	295	296	297	298	299	300	301	302	303	306	307
	308	310	313	317	319	320	321	323	324	325	327	328
	362	363	364	365	366	367	368	369	370	371	372	373
	374	375	376	378	379	380	425	431	432	433	434	435
	436	437	438	439	440	441	442	443	444	445	446	447
	448	450	451	452	453	455	456	457	459	460	461	462
	463	464	466	467	468	472	473	474	475	476	477	478
	479	480	481	488	502	503	505	508	510	511	513	520
	521	526	529	530	531	532	533	535	536	537	545	551
	552	557	558	559	565	566	570	582	583	584	585	586
	587	588	589	591	592	593	594	595	596	597	598	599
	600	601	602	604	605	606	607	608	622	623	626	627
	629	703	804	805	831	834	835	836	837	838	840	842
	844	847	850	852	853	854	855	856	857	858	859	860
	861	863	864	865	866	867	868	869	870	871	874	880
	881	886	902	903	904	905	906	907	908	909	910	919
	920	921	922	923	924	925	926	927	928	929	930	931
	932	933	934	935	936	937	938	939	940	942	943	944
	945	947	948	949	950	953	954	955	956	957	958	959
	961	972	973	977	979	981	984	985	986	988	989	994
	996	997	1008	1015	1020	1021	1022	1023	1024	1034	1035	1037
	1039	1043	1044	1108	1115	1116	1117	1118	1119	1120	1121	1122
	1123	1124	1125	1127	1129	1132	1136	1138	1139	1188	1191	1202
	1204	1210	1211	1212	1213	1214	1216	1217	1218	1220	1221	1224
	1227	1238	1239	1243	1267	1269	1270	1271	1273	1291	1293	1294
	1296	1297	1305	1308	1309	1310	1311	1312				
3	1	2	3	4	5	6	7	8	9	10	11	12
	13	14	15	16	17	18	19	20	21	22	23	24
	25	26	27	28	29	30	31	32	33	34	35	36
	37	38	39	40	41	42	43	44	45	46	47	48
	49	50	51	52	53	54	55	56	57	58	59	60
	61	62	63	64	65	66	67	68	69	70	71	72
	73	150	151	152	153	154	156	158	159	201	202	203
	204	205	206	207	208	209	210	211	212	213	214	215
	216	217	218	219	220	221	222	223	224	225	231	232
	233	236	244	245	251	269	304	305	309	311	312	314
	315	316	318	322	326	420	421	422	423	424	426	427
	428	429	430	546	547	548	549	550	553	554	555	556
	560	561	562	563	564	567	568	569	571	572	573	574
	575	576	577	578	579	580	581	590	603	699	708	709
	710	716	717	719	720	721	722	723	724	725	726	727

728 729 730 731 732 733 734 735 736 737 738 739
740 741 742 743 744 745 746 747 748 749 750 751
752 753 754 755 756 757 758 759 801 802 803 818
819 820 821 822 823 824 825 826 827 828 829 830
832 833 839 841 843 862 872 873 875 876 877 878
879 882 883 884 885 917 918 966 967 968 969 970
1006 1007 1009 1010 1011 1012 1013 1014 1016 1017 1018 1019
1098 1099 1111 1112 1113 1114 1135 1143 1144 1145 1146 1147
1148 1149 1150 1151 1152 1153 1185 1186 1187 1189 1190 1192
1193 1230 1231 1232 1233 1234 1235 1236 1237 1240 1253 1254
1255 1256 1257 1258 1264 1265 1272 1274 1281 1282 1290 1292
1306 1307
4 74 75 76 77 78 79 80 81 82 83 84 85
86 87 88 89 90 91 92 93 94 95 96 97
98 99 100 101 102 103 104 105 106 107 108 109
110 111 112 113 114 115 116 117 118 119 120 121
122 123 124 125 126 127 128 129 130 131 132 133
134 135 136 137 138 139 140 141 142 143 144 145
146 147 148 149 247 248 249 273 293 329 330 331
332 336 337 338 339 340 353 355 465 501 504 506
507 509 512 514 515 516 517 518 519 522 523 524
609 610 614 619 620 621 624 625 628 630 631 632
635 636 639 641 642 643 644 645 655 658 659 700
711 712 760 761 762 763 764 765 766 767 768 769
770 771 772 773 774 775 776 777 778 779 780 781
782 783 784 785 786 787 788 789 790 791 792 793
794 795 796 797 798 799 800 845 846 848 849 851
888 890 892 893 894 895 896 897 898 899 900 901
951 971 974 975 976 978 980 982 983 987 990 991
1026 1029 1030 1031 1033 1036 1038 1040 1041 1042 1045 1046
1047 1048 1054 1055 1056 1057 1058 1100 1101 1102 1103 1104
1105 1106 1107 1130 1154 1155 1156 1157 1158 1159 1160 1161
1162 1163 1164 1165 1166 1167 1168 1169 1170 1171 1172 1173
1174 1175 1176 1177 1178 1194 1195 1196 1198 1200 1222 1225
1226 1228 1241 1242 1244 1245 1246 1259 1260 1261 1262 1266
1275 1283 1284 1285 1286 1295 1301 1303 1304 1313

Tabla 103. Fase estratigráfica 9. Distribución de la industria
Run Statistics Summary

CLUS	N	SSE1	SSE2	%SSE	Log(%SSE)	Srqt(SSE/N)
1	1316	4374	4374	100.00	2.00	1.8232
2	1316	2171	2171	49.64	1.70	1.2845
3	1316	1313	1313	30.02	1.48	0.9989
4	1316	898	898	20.52	1.31	0.8260
5	1316	696	696	15.91	1.20	0.7273
6	1316	543	543	12.41	1.09	0.6422
7	1316	453	453	10.35	1.02	0.5866
8	1316	385	385	8.80	0.94	0.5409

CLUS	nbar	nstd	RMSbar	RMSstd	n>2	r2wbar	r2wstd	K'
1	1316.0	0.0	1.82	0.00	1	0.11	0.00	1.0000
2	658.0	146.0	1.24	0.16	2	0.05	0.06	1.0000
3	438.7	77.3	0.98	0.08	3	0.11	0.02	1.0000
4	329.0	31.4	0.83	0.07	4	0.00	0.00	1.0000
5	263.2	66.2	0.71	0.07	5	0.01	0.01	1.0000
6	219.3	51.4	0.63	0.06	6	0.03	0.04	1.0000
7	188.0	38.9	0.58	0.04	7	0.04	0.03	1.0000
8	164.5	25.7	0.54	0.04	8	0.02	0.01	1.0000

Tabla 104. Fase estratigráfica 9. Distribución de la industria

	C	Nº	VAR	X	Y
2	1	804	1.400	-9.700	63.353
2	2	512	1.078	-8.896	60.824
4	1	348	0.774	-10.706	63.678
4	2	368	0.779	-9.699	61.837
4	3	314	0.938	-8.498	60.442
4	4	286	0.813	-8.357	63.578

Tabla 105. Fase estratigráfica 9. Distribución de la producción laminar
2 Clusters - Final Clusters

CLUS	N	SSE1	SSE2	%SSE	Log(%SSE)	Srqt(SSE/N)
2	546	880	880	50.65	1.70	1.2698

CLUS	nbar	nstd	RMSbar	RMSstd	n>2	r2wbar	r2wstd	K'
2	273.0	85.0	1.21	0.17	2	0.06	0.07	1.0000

CLUS	n	RMS	K	r2	Slope
1	358	1.38	1.0000	0.01	0.05
2	188	1.03	1.0000	0.15	-0.27

CLUS VAR MEAN/STDDEV...

1	1:	-9.58/	1.19	2:	63.27/	0.69
2	1:	-8.83/	0.85	2:	60.74/	0.59

CLUS UNITS...

1	42	43	44	45	46	47	48	49	50	51	52	53
	54	55	56	57	58	59	60	61	62	63	64	65
	66	67	68	69	70	71	72	73	74	75	76	77
	78	79	80	81	82	86	87	88	89	90	91	92
	93	94	95	96	97	98	99	126	127	128	129	130
	131	132	133	136	137	146	147	148	153	169	170	171
	172	173	174	175	176	177	178	179	180	181	182	183
	185	186	187	188	189	190	192	193	194	195	196	197
	198	202	203	205	209	210	211	212	213	214	215	216
	217	218	219	220	221	222	223	224	225	226	227	228
	229	230	231	232	233	234	235	236	237	238	240	241
	242	243	244	245	246	247	253	254	255	256	257	258
	259	260	261	262	263	264	265	266	267	268	269	270
	271	272	273	274	275	276	277	278	279	280	281	282
	283	284	285	286	287	307	308	309	310	311	312	313
	314	315	316	317	318	319	320	321	322	323	324	325
	326	327	328	329	330	331	332	333	334	335	336	337
	338	339	340	341	342	343	344	345	346	347	348	349
	350	351	352	353	354	355	356	357	358	359	360	361
	362	363	364	365	366	367	368	369	370	371	372	373
	374	375	376	377	378	379	382	383	384	385	386	387
	388	389	391	392	403	404	405	406	407	408	410	411
	412	413	414	415	416	419	420	421	422	423	424	436
	437	438	439	440	441	442	443	444	445	446	447	448
	449	450	451	452	453	454	455	456	457	458	459	460
	461	462	463	464	465	466	476	477	478	479	480	481
	482	483	484	485	486	487	488	489	490	491	496	497
	498	499	500	501	502	503	504	505	506	507	508	509
	510	511	523	524	525	526	527	528	529	530	531	532
	533	534	535	537	538	539	540	541	542	546		

2	1	2	3	4	5	6	7	8	9	10	11	12
	13	14	15	16	17	18	19	20	21	22	23	24
	25	26	27	28	29	30	31	32	33	34	35	36
	37	38	39	40	41	83	84	85	100	101	102	103
	104	105	106	107	108	109	110	111	112	113	114	115
	116	117	118	119	120	121	122	123	124	125	134	135
	138	139	140	141	142	143	144	145	149	150	151	152
	154	155	156	157	158	159	160	161	162	163	164	165
	166	167	168	184	191	199	200	201	204	206	207	208
	239	248	249	250	251	252	288	289	290	291	292	293
	294	295	296	297	298	299	300	301	302	303	304	305
	306	380	381	390	393	394	395	396	397	398	399	400
	401	402	409	417	418	425	426	427	428	429	430	431
	432	433	434	435	467	468	469	470	471	472	473	474
	475	492	493	494	495	512	513	514	515	516	517	518
	519	520	521	522	536	543	544	545				

Tabla 106. Fase estratigráfica 9. Distribución de la producción laminar
3 Clusters - Final Clusters

CLUS	N	SSE1	SSE2	%SSE	Log(%SSE)	Srqt(SSE/N)
3	546	520	520	29.90	1.48	0.9756

CLUS	nbar	nstd	RMSbar	RMSstd	n>2	r2wbar	r2wstd	K'
3	182.0	5.7	0.97	0.06	3	0.14	0.05	1.0000

CLUS	n	RMS	K	r2	Slope
1	178	0.90	1.0000	0.07	0.21
2	178	0.99	1.0000	0.20	-0.59
3	190	1.03	1.0000	0.14	-0.28

CLUS VAR MEAN/STDDEV...

1	1:	-8.59/	0.71	2:	63.41/	0.55
2	1:	-10.59/	0.60	2:	63.15/	0.79
3	1:	-8.83/	0.84	2:	60.76/	0.61

CLUS UNITS...

1	42	43	44	45	46	47	48	49	50	51	52	53
	54	55	56	57	58	59	60	61	62	63	64	65
	66	67	68	69	70	71	72	73	74	75	76	77
	78	79	80	81	82	126	127	128	129	130	131	132
	133	136	137	170	172	174	175	176	177	178	179	180
	181	182	183	203	232	233	253	254	255	256	257	258
	259	260	261	262	263	264	265	266	267	268	269	270
	271	272	273	308	311	312	313	314	315	316	317	318
	319	320	321	322	323	324	325	326	327	328	329	330
	336	337	338	339	340	344	382	383	384	385	386	387
	388	389	412	420	421	436	437	438	439	440	441	442
	443	444	445	446	447	448	449	450	451	452	453	454
	455	456	457	458	459	460	476	477	478	480	481	482
	499	502	503	504	505	506	507	508	509	510	523	524
	525	526	527	528	537	538	539	540	541	546		
2	86	87	88	89	90	91	92	93	94	95	96	97
	98	99	147	148	153	169	171	173	185	186	187	188
	189	190	191	192	193	194	195	196	197	198	205	209
	210	211	212	213	214	215	216	217	218	219	220	221
	222	223	224	225	226	227	228	229	230	231	234	235
	236	237	238	240	241	242	243	244	245	246	247	274
	275	276	277	278	279	280	281	282	283	284	285	286
	287	307	309	310	331	332	333	334	335	341	342	343
	345	346	347	348	349	350	351	352	353	354	355	356
	357	358	359	360	361	362	363	364	365	366	367	368
	369	370	371	372	373	374	375	376	377	378	379	391
	392	404	405	406	407	408	410	411	413	414	415	416
	419	422	423	424	461	462	463	464	465	466	479	483

484 485 486 487 488 489 490 491 496 497 498 500
501 511 529 530 531 532 533 534 535 542
3 1 2 3 4 5 6 7 8 9 10 11 12
13 14 15 16 17 18 19 20 21 22 23 24
25 26 27 28 29 30 31 32 33 34 35 36
37 38 39 40 41 83 84 85 100 101 102 103
104 105 106 107 108 109 110 111 112 113 114 115
116 117 118 119 120 121 122 123 124 125 134 135
138 139 140 141 142 143 144 145 146 149 150 151
152 154 155 156 157 158 159 160 161 162 163 164
165 166 167 168 184 199 200 201 202 204 206 207
208 239 248 249 250 251 252 288 289 290 291 292
293 294 295 296 297 298 299 300 301 302 303 304
305 306 380 381 390 393 394 395 396 397 398 399
400 401 402 403 409 417 418 425 426 427 428 429
430 431 432 433 434 435 467 468 469 470 471 472
473 474 475 492 493 494 495 512 513 514 515 516
517 518 519 520 521 522 536 543 544 545

Tabla 107. Fase estratigráfica 9. Distribución de la producción laminar
4 Clusters - Final Clusters

CLUS	N	SSE1	SSE2	%SSE	Log(%SSE)	Srqt(SSE/N)
4	546	358	358	20.61	1.31	0.8100

CLUS	nbar	nstd	RMSbar	RMSstd	n>2	r2wbar	r2wstd	K'
4	136.5	14.0	0.81	0.07	4	0.00	0.00	1.0000

CLUS	n	RMS	K	r2	Slope
1	141	0.80	1.0000	0.00	-0.02
2	116	0.73	1.0000	0.00	-0.03
3	155	0.77	1.0000	0.01	0.09
4	134	0.92	1.0000	0.00	-0.03

CLUS VAR MEAN/STDDEV...

1	1:	-8.44/	0.72	2:	63.63/	0.36
2	1:	-10.83/	0.55	2:	63.63/	0.48
3	1:	-9.67/	0.54	2:	62.04/	0.55
4	1:	-8.55/	0.81	2:	60.47/	0.44

CLUS UNITS...

1	42	43	44	45	46	47	48	49	50	51	52	53
	54	55	56	57	58	59	60	61	62	63	64	65
	66	67	68	69	70	71	72	73	74	75	76	77
	78	79	80	81	82	128	130	131	133	170	172	175
	176	177	178	179	180	181	182	183	233	253	256	257
	260	264	265	269	272	273	308	311	312	313	314	315
	318	322	323	324	327	328	329	330	336	337	338	339
	340	344	382	383	384	385	386	387	388	389	412	436
	437	438	439	440	441	442	443	444	445	446	447	448
	449	450	451	452	453	454	455	456	457	458	459	460
	476	477	478	480	481	482	504	505	507	508	510	523
	524	526	527	528	537	538	539	540	541			
2	88	89	90	91	92	93	94	95	96	97	98	99
	173	194	195	196	197	198	228	234	242	244	245	246
	247	274	275	277	280	281	282	283	284	285	286	287
	307	309	310	331	332	333	334	335	341	342	343	345
	346	347	348	349	350	351	352	353	354	355	356	357
	358	359	360	361	362	363	364	365	366	367	368	369
	370	371	372	373	374	375	376	377	378	379	391	392
	408	410	413	415	416	419	422	423	424	461	462	463
	464	465	466	479	483	485	487	488	489	490	491	497
	511	529	530	531	532	533	534	535				
3	86	87	113	116	117	119	120	122	124	126	127	129
	132	134	135	136	137	138	139	140	141	142	143	145
	146	147	148	149	150	151	152	153	156	162	163	169
	171	174	184	185	186	187	188	189	190	191	192	193

202 203 204 205 206 207 208 209 210 211 212 213
214 215 216 217 218 219 220 221 222 223 224 225
226 227 229 230 231 232 235 236 237 238 239 240
241 243 254 255 258 259 261 262 263 266 267 268
270 271 276 278 279 297 302 303 304 305 306 316
317 319 320 321 325 326 390 397 398 399 400 401
402 403 404 405 406 407 409 411 414 418 420 421
470 484 486 492 493 494 495 496 498 499 500 501
502 503 506 509 520 521 525 542 544 545 546
4 1 2 3 4 5 6 7 8 9 10 11 12
13 14 15 16 17 18 19 20 21 22 23 24
25 26 27 28 29 30 31 32 33 34 35 36
37 38 39 40 41 83 84 85 100 101 102 103
104 105 106 107 108 109 110 111 112 114 115 118
121 123 125 144 154 155 157 158 159 160 161 164
165 166 167 168 199 200 201 248 249 250 251 252
288 289 290 291 292 293 294 295 296 298 299 300
301 380 381 393 394 395 396 417 425 426 427 428
429 430 431 432 433 434 435 467 468 469 471 472
473 474 475 512 513 514 515 516 517 518 519 522
536 543

Tabla 108. Fase estratigráfica 9. Distribución de la producción laminar
Run Statistics Summary

CLUS	N	SSE1	SSE2	%SSE	Log(%SSE)	Srqt(SSE/N)
1	546	1738	1738	100.00	2.00	1.7842
2	546	880	880	50.65	1.70	1.2698
3	546	520	520	29.90	1.48	0.9756
4	546	358	358	20.61	1.31	0.8100
5	546	282	282	16.23	1.21	0.7189
6	546	222	222	12.74	1.11	0.6369
7	546	183	183	10.53	1.02	0.5789
8	546	161	161	9.26	0.97	0.5429

CLUS	nbar	nstd	RMSbar	RMSstd	n>2	r2wbar	r2wstd	K'
1	546.0	0.0	1.78	0.00	1	0.08	0.00	1.0000
2	273.0	85.0	1.21	0.17	2	0.06	0.07	1.0000
3	182.0	5.7	0.97	0.06	3	0.14	0.05	1.0000
4	136.5	14.0	0.81	0.07	4	0.00	0.00	1.0000
5	109.2	30.7	0.70	0.07	5	0.02	0.03	1.0000
6	91.0	21.2	0.62	0.05	6	0.02	0.03	1.0000
7	78.0	13.8	0.57	0.05	7	0.04	0.06	1.0000
8	68.3	14.8	0.53	0.06	8	0.05	0.07	1.0000

Tabla 109. Fase estratigráfica 9. Distribución de la producción laminar

	C	N	VAR	X	Y
2	1	358	1.378	-9.581	63.271
2	2	188	1.033	-8.834	60.741
3	1	178	0.896	-8.585	63.407
3	2	178	0.987	-10.586	63.147
3	3	190	1.034	-8.833	60.757
4	1	141	0.803	-8.442	63.628
4	2	116	0.727	-10.829	63.627
4	3	155	0.772	-9.668	62.036
4	4	134	0.920	-8.550	60.466

Tabla 110. Fase estratigráfica 9. Distribución de la producción lascar
2 Clusters - Final Clusters

CLUS	N	SSE1	SSE2	%SSE	Log(%SSE)	Srqt(SSE/N)
2	729	1184	1184	48.26	1.68	1.2743

CLUS	nbar	nstd	RMSbar	RMSstd	n>2	r2wbar	r2wstd	K'
2	364.5	58.5	1.24	0.15	2	0.06	0.07	1.0000

CLUS	n	RMS	K	r2	Slope
1	423	1.39	1.0000	0.00	-0.01
2	306	1.10	1.0000	0.15	-0.29

CLUS VAR MEAN/STDDEV...

1	1:	-9.78/	1.24	2:	63.43/	0.63
2	1:	-8.97/	0.88	2:	60.88/	0.66

CLUS UNITS...

1	74	75	76	77	78	79	80	81	82	83	84	85
	86	87	88	89	90	91	92	93	94	95	96	97
	98	99	100	101	102	103	104	105	106	107	108	109
	110	111	112	113	114	115	116	117	118	119	120	121
	122	123	124	125	126	127	128	129	130	131	132	133
	134	135	136	137	138	139	140	141	142	143	144	145
	146	147	148	149	163	164	165	166	167	168	169	170
	171	172	173	174	175	176	177	178	179	180	181	182
	183	184	185	186	187	188	189	190	191	192	193	194
	195	196	197	198	199	200	247	248	249	267	268	270
	273	274	275	276	278	279	283	289	290	292	293	295
	298	328	329	330	331	332	333	334	335	336	337	338
	339	340	341	342	343	344	345	346	347	348	349	350
	351	352	353	354	355	356	357	358	359	360	361	362
	363	364	365	367	368	370	371	372	373	377	379	380
	381	382	383	384	385	386	387	388	389	390	391	392
	393	394	395	396	397	398	399	400	401	402	403	404
	405	406	407	408	409	410	411	412	413	414	415	416
	417	418	419	440	441	442	444	446	447	448	449	450
	451	452	454	455	456	457	458	459	460	461	462	463
	464	465	466	467	468	469	470	471	474	481	482	483
	484	485	486	487	488	489	490	491	492	493	494	495
	496	497	498	499	500	501	502	503	504	505	506	507
	508	509	511	512	513	514	515	516	517	518	519	520
	521	522	523	524	525	526	527	528	529	530	532	533
	534	535	536	537	538	539	540	541	542	543	544	608
	609	610	611	612	613	614	615	616	617	618	619	620
	621	624	625	626	627	628	629	630	631	632	633	634
	635	636	637	638	639	640	641	642	643	644	645	646
	647	648	649	650	651	652	653	654	655	656	657	658

659 660 661 662 663 664 665 666 667 668 669 670
671 672 673 674 675 676 677 678 679 680 681 682
683 684 685 686 687 688 689 690 691 692 693 694
695 696 697 698 700 701 702 703 704 705 706 707
711 712 713 714 715 718 720 721 722 723 724 725
726 728 729

2 1 2 3 4 5 6 7 8 9 10 11 12
13 14 15 16 17 18 19 20 21 22 23 24
25 26 27 28 29 30 31 32 33 34 35 36
37 38 39 40 41 42 43 44 45 46 47 48
49 50 51 52 53 54 55 56 57 58 59 60
61 62 63 64 65 66 67 68 69 70 71 72
73 150 151 152 153 154 155 156 157 158 159 160
161 162 201 202 203 204 205 206 207 208 209 210
211 212 213 214 215 216 217 218 219 220 221 222
223 224 225 226 227 228 229 230 231 232 233 234
235 236 237 238 239 240 241 242 243 244 245 246
250 251 252 253 254 255 256 257 258 259 260 261
262 263 264 265 266 269 271 272 277 280 281 282
284 285 286 287 288 291 294 296 297 299 300 301
302 303 304 305 306 307 308 309 310 311 312 313
314 315 316 317 318 319 320 321 322 323 324 325
326 327 366 369 374 375 376 378 420 421 422 423
424 425 426 427 428 429 430 431 432 433 434 435
436 437 438 439 443 445 453 472 473 475 476 477
478 479 480 510 531 545 546 547 548 549 550 551
552 553 554 555 556 557 558 559 560 561 562 563
564 565 566 567 568 569 570 571 572 573 574 575
576 577 578 579 580 581 582 583 584 585 586 587
588 589 590 591 592 593 594 595 596 597 598 599
600 601 602 603 604 605 606 607 622 623 699 708
709 710 716 717 719 727

Tabla 111. Fase estratigráfica 9. Distribución de la producción lascar
4 Clusters - Final Clusters

CLUS	N	SSE1	SSE2	%SSE	Log(%SSE)	Srqt(SSE/N)
4	729	494	494	20.13	1.30	0.8231

CLUS	nbar	nstd	RMSbar	RMSstd	n>2	r2wbar	r2wstd	K'
4	182.3	42.1	0.83	0.06	4	0.03	0.03	1.0000

CLUS	n	RMS	K	r2	Slope
1	222	0.80	1.0000	0.00	-0.05
2	226	0.79	1.0000	0.01	-0.10
3	148	0.93	1.0000	0.05	0.11
4	133	0.79	1.0000	0.07	0.13

CLUS VAR MEAN/STDDEV...

1	1: -10.63/ 0.66	2: 63.70/ 0.45
2	1: -9.64/ 0.54	2: 61.65/ 0.58
3	1: -8.39/ 0.83	2: 60.36/ 0.42
4	1: -8.27/ 0.71	2: 63.55/ 0.35

CLUS UNITS...

1	163	164	165	166	167	168	169	170	171	172	173	174
	175	176	177	178	179	180	181	182	183	184	185	186
	187	188	189	190	191	192	193	194	195	196	197	198
	199	200	329	333	334	335	341	342	343	344	345	346
	347	348	349	350	351	352	354	355	356	357	358	359
	360	361	377	381	382	383	384	385	386	387	388	389
	390	391	392	393	394	395	396	397	398	399	400	401
	402	403	404	405	406	407	408	409	410	411	412	413
	414	415	416	417	418	419	449	454	458	462	469	470
	471	482	483	484	485	486	487	488	489	490	491	492
	493	494	495	496	497	498	499	500	505	524	525	527
	528	534	537	538	539	540	541	542	543	544	608	611
	612	613	615	616	617	618	632	633	634	637	638	640
	646	647	648	649	650	651	652	653	654	656	657	660
	661	662	663	664	665	666	667	668	669	670	671	672
	673	674	675	676	677	678	679	680	681	682	683	684
	685	686	687	688	689	690	691	692	693	694	695	696
	697	698	701	702	703	704	705	706	707	713	714	715
	718	722	725	726	728	729						
2	150	151	152	155	157	158	159	160	161	162	225	226
	227	228	229	230	232	233	234	235	236	237	238	239
	240	241	242	243	244	245	246	250	251	252	253	254
	255	256	257	258	259	260	261	262	263	264	265	266
	267	268	270	271	272	274	275	276	277	278	279	280
	281	282	283	284	285	286	287	288	289	290	291	292
	294	295	296	297	298	299	300	301	302	303	305	306

307 308 310 311 313 314 315 317 318 319 320 321
 323 324 325 326 327 328 362 363 364 365 366 367
 368 369 370 371 372 373 374 375 376 378 379 380
 425 427 431 432 433 434 435 436 437 438 439 440
 441 442 443 444 445 446 447 448 450 451 452 453
 455 456 457 459 460 461 463 464 466 467 468 472
 473 474 475 476 477 478 479 480 481 502 503 508
 510 511 513 520 521 526 529 530 531 532 533 535
 536 545 549 551 552 557 558 559 565 566 567 570
 572 578 582 583 584 585 586 587 588 589 591 592
 593 594 595 596 597 598 599 600 601 602 603 604
 605 606 607 622 623 626 627 723 724 727
 3 1 2 3 4 5 6 7 8 9 10 11 12
 13 14 15 16 17 18 19 20 21 22 23 24
 25 26 27 28 29 30 31 32 33 34 35 36
 37 38 39 40 41 42 43 44 45 46 47 48
 49 50 51 52 53 54 55 56 57 58 59 60
 61 62 63 64 65 66 67 68 69 70 71 72
 73 153 154 156 201 202 203 204 205 206 207 208
 209 210 211 212 213 214 215 216 217 218 219 220
 221 222 223 224 231 269 304 309 312 316 322 420
 421 422 423 424 426 428 429 430 546 547 548 550
 553 554 555 556 560 561 562 563 564 568 569 571
 573 574 575 576 577 579 580 581 590 699 708 709
 710 716 717 719
 4 74 75 76 77 78 79 80 81 82 83 84 85
 86 87 88 89 90 91 92 93 94 95 96 97
 98 99 100 101 102 103 104 105 106 107 108 109
 110 111 112 113 114 115 116 117 118 119 120 121
 122 123 124 125 126 127 128 129 130 131 132 133
 134 135 136 137 138 139 140 141 142 143 144 145
 146 147 148 149 247 248 249 273 293 330 331 332
 336 337 338 339 340 353 465 501 504 506 507 509
 512 514 515 516 517 518 519 522 523 609 610 614
 619 620 621 624 625 628 629 630 631 635 636 639
 641 642 643 644 645 655 658 659 700 711 712 720
 721

Tabla 112. Fase estratigráfica 9. Distribución de la producción lascar
Run Statistics Summary

CLUS	N	SSE1	SSE2	%SSE	Log(%SSE)	Srqt(SSE/N)
1	729	2453	2453	100.00	2.00	1.8344
2	729	1184	1184	48.26	1.68	1.2743
3	729	728	728	29.69	1.47	0.9995
4	729	494	494	20.13	1.30	0.8231
5	729	381	381	15.53	1.19	0.7230
6	729	292	292	11.92	1.08	0.6333
7	729	240	240	9.78	0.99	0.5736
8	729	203	203	8.29	0.92	0.5282

CLUS	nbar	nstd	RMSbar	RMSstd	n>2	r2wbar	r2wstd	K'
1	729.0	0.0	1.83	0.00	1	0.13	0.00	1.0000
2	364.5	58.5	1.24	0.15	2	0.06	0.07	1.0000
3	243.0	78.5	0.96	0.12	3	0.09	0.03	1.0000
4	182.3	42.1	0.83	0.06	4	0.03	0.03	1.0000
5	145.8	42.7	0.71	0.06	5	0.01	0.01	1.0000
6	121.5	27.4	0.62	0.05	6	0.01	0.01	1.0000
7	104.1	18.2	0.57	0.02	7	0.05	0.06	1.0000
8	91.1	17.2	0.52	0.06	8	0.03	0.02	1.0000

Tabla 113. Fase estratigráfica 9. Distribución de la producción lascar

	C	N	VAR	X	Y
2	1	423	1.389	-9.777	63.432
2	2	306	1.096	-8.971	60.883
4	1	222	0.798	-10.630	63.704
4	2	226	0.791	-9.641	61.651
4	3	148	0.929	-8.393	60.365
4	4	133	0.792	-8.272	63.551

Tabla 114. Fase estratigráfica 9. Distribución de tipos
3 Clusters - Final Clusters

CLUS	N	SSE1	SSE2	%SSE	Log(%SSE)	Srqt(SSE/N)
3	34	30	30	28.02	1.45	0.9415

CLUS	nbar	nstd	RMSbar	RMSstd	n>2	r2wbar	r2wstd	K'
3	11.3	0.9	0.94	0.03	3	0.15	0.11	1.0000

CLUS	n	RMS	K	r2	Slope
1	12	0.96	1.0000	0.29	-0.73
2	12	0.90	1.0000	0.11	-0.35
3	10	0.96	1.0000	0.04	0.10

CLUS VAR MEAN/STDDEV...

1	1:	-10.59/	0.57	2:	63.25/	0.78
2	1:	-9.13/	0.62	2:	60.77/	0.66
3	1:	-8.24/	0.85	2:	63.14/	0.44

CLUS UNITS...

1	7	8	9	14	16	17	18	19	20	22	25	34
2	1	2	10	11	12	13	26	27	28	29	30	31
3	3	4	5	6	15	21	23	24	32	33		

Tabla 115. Fase estratigráfica 9. Distribución de tipos
6 Clusters - Final Clusters

CLUS	N	SSE1	SSE2	%SSE	Log(%SSE)	Srqt(SSE/N)
6	34	10	10	9.27	0.97	0.5416

CLUS	nbar	nstd	RMSbar	RMSstd	n>2	r2wbar	r2wstd	K'
6	5.7	1.6	0.53	0.08	6	0.24	0.31	1.0000

CLUS	n	RMS	K	r2	Slope
1	6	0.42	1.0000	0.01	-0.18
2	7	0.50	1.0000	0.17	0.16
3	8	0.63	1.0000	0.04	-0.25
4	3	0.53	1.0000	0.96	-0.43
5	5	0.46	1.0000	0.10	0.24
6	5	0.65	1.0000	0.66	0.53

CLUS VAR MEAN/STDDEV...

1	1: -11.07/ 0.19	2: 63.89/ 0.38
2	1: -9.43/ 0.47	2: 61.28/ 0.18
3	1: -8.85/ 0.39	2: 63.13/ 0.49
4	1: -7.07/ 0.48	2: 63.32/ 0.21
5	1: -10.22/ 0.37	2: 62.42/ 0.28
6	1: -8.70/ 0.54	2: 60.05/ 0.35

CLUS UNITS...

1	7	8	9	19	20	34		
2	11	12	13	28	29	30	31	
3	6	15	21	22	23	24	32	33
4	3	4	5					
5	14	16	17	18	25			
6	1	2	10	26	27			

Tabla 116. Fase estratigráfica 9. Distribución de tipos
Run Statistics Summary

CLUS	N	SSE1	SSE2	%SSE	Log(%SSE)	Srqt(SSE/N)
1	34	108	108	100.00	2.00	1.7788
2	34	60	60	56.07	1.75	1.3320
3	34	30	30	28.02	1.45	0.9415
4	34	22	22	20.48	1.31	0.8050
5	34	15	15	13.53	1.13	0.6543
6	34	10	10	9.27	0.97	0.5416
7	34	8	8	7.33	0.87	0.4816

CLUS	nbar	nstd	RMSbar	RMSstd	n>2	r2wbar	r2wstd	K'
1	34.0	0.0	1.78	0.00	1	0.06	0.00	1.0000
2	17.0	5.0	1.21	0.31	2	0.06	0.03	1.0000
3	11.3	0.9	0.94	0.03	3	0.15	0.11	1.0000
4	8.5	1.7	0.79	0.10	4	0.21	0.11	1.0000
5	6.8	2.0	0.63	0.11	5	0.21	0.17	1.0000
6	5.7	1.6	0.53	0.08	6	0.24	0.31	1.0000
7	4.9	1.6	0.45	0.13	7	0.24	0.35	1.0000

Tabla 117. Fase estratigráfica 9. Distribución de tipos

	C	N	VAR	X	Y
3	1	12	0.964	-10.592	63.253
3	2	12	0.903	-9.129	60.766
3	3	10	0.959	-8.243	63.138
6	1	6	0.423	-11.070	63.887
6	2	7	0.502	-9.434	61.276
6	3	8	0.629	-8.852	63.126
6	4	3	0.526	-7.067	63.323
6	5	5	0.460	-10.220	62.424
6	6	5	0.645	-8.702	60.052

Tabla 118. Fase estratigráfica 10a. Distribución de la industria
3 Clusters - Final Clusters

CLUS	N	SSE1	SSE2	%SSE	Log(%SSE)	Srqt(SSE/N)
3	445	254	254	29.87	1.48	0.7555

CLUS	nbar	nstd	RMSbar	RMSstd	n>2	r2wbar	r2wstd	K'
3	148.3	53.7	0.77	0.04	3	0.07	0.02	1.0000

CLUS	n	RMS	K	r2	Slope
1	131	0.81	1.0000	0.05	0.26
2	93	0.78	1.0000	0.05	-0.13
3	221	0.71	1.0000	0.08	-0.32

CLUS VAR MEAN/STDDEV...

1	1:	-10.89/	0.53	2:	63.00/	0.62
2	1:	-8.53/	0.69	2:	63.70/	0.37
3	1:	-9.51/	0.47	2:	61.79/	0.53

CLUS UNITS...

1	3	5	8	9	10	15	16	17	18	22	31	32
	36	41	42	43	44	53	54	149	150	152	154	155
	161	163	166	167	168	169	171	172	190	191	192	193
	194	195	196	197	198	200	201	232	244	245	246	247
	248	249	250	251	252	253	254	255	256	257	258	259
	260	261	262	263	264	265	266	267	268	269	270	271
	272	273	274	275	276	277	278	279	280	281	282	283
	284	285	286	287	288	289	290	291	292	293	294	326
	328	329	332	333	334	366	367	368	369	370	371	372
	373	374	375	376	387	408	409	410	429	432	433	434
	435	436	437	438	439	440	441	442	443	444	445	
2	6	13	14	21	28	29	30	33	38	40	50	51
	52	96	97	139	140	141	199	202	203	204	205	206
	207	208	209	210	211	212	213	214	215	216	229	230
	231	233	234	235	236	237	238	239	240	241	242	243
	307	308	309	335	336	337	338	339	340	341	342	343
	359	360	361	362	363	364	365	377	378	379	383	384
	385	386	395	396	397	411	412	413	414	415	416	417
	418	419	420	425	426	427	428	430	431			
3	1	2	4	7	11	12	19	20	23	24	25	26
	27	34	35	37	39	45	46	47	48	49	55	56
	57	58	59	60	61	62	63	64	65	66	67	68
	69	70	71	72	73	74	75	76	77	78	79	80
	81	82	83	84	85	86	87	88	89	90	91	92
	93	94	95	98	99	100	101	102	103	104	105	106
	107	108	109	110	111	112	113	114	115	116	117	118
	119	120	121	122	123	124	125	126	127	128	129	130
	131	132	133	134	135	136	137	138	142	143	144	145

146 147 148 151 153 156 157 158 159 160 162 164
165 170 173 174 175 176 177 178 179 180 181 182
183 184 185 186 187 188 189 217 218 219 220 221
222 223 224 225 226 227 228 295 296 297 298 299
300 301 302 303 304 305 306 310 311 312 313 314
315 316 317 318 319 320 321 322 323 324 325 327
330 331 344 345 346 347 348 349 350 351 352 353
354 355 356 357 358 380 381 382 388 389 390 391
392 393 394 398 399 400 401 402 403 404 405 406
407 421 422 423 424

Tabla 119. Fase estratigráfica 10a. Distribución de la industria
7 Clusters - Final Clusters

CLUS	N	SSE1	SSE2	%SSE	Log(%SSE)	Srqt(SSE/N)
7	445	102	102	11.98	1.08	0.4784

CLUS	nbar	nstd	RMSbar	RMSstd	n>2	r2wbar	r2wstd	K'
7	63.6	28.9	0.48	0.08	7	0.03	0.03	1.0000

CLUS	n	RMS	K	r2	Slope
1	62	0.61	1.0000	0.00	-0.02
2	46	0.44	1.0000	0.00	0.01
3	133	0.40	1.0000	0.01	0.07
4	51	0.37	1.0000	0.03	-0.13
5	51	0.56	1.0000	0.00	0.05
6	57	0.52	1.0000	0.08	-0.27
7	45	0.50	1.0000	0.09	-0.61

CLUS VAR MEAN/STDDEV...

1	1:	-10.80/	0.51	2:	63.51/	0.33
2	1:	-7.92/	0.34	2:	63.60/	0.28
3	1:	-9.77/	0.31	2:	62.20/	0.25
4	1:	-9.60/	0.30	2:	61.12/	0.22
5	1:	-9.19/	0.36	2:	63.78/	0.42
6	1:	-11.16/	0.37	2:	62.46/	0.36
7	1:	-8.77/	0.22	2:	61.53/	0.45

CLUS UNITS...

1	9	15	16	18	22	31	32	41	43	53	54	245
	246	247	248	249	250	251	253	255	256	257	258	259
	260	261	262	263	264	266	267	268	269	270	271	272
	274	277	278	279	280	283	285	286	290	291	366	368
	369	371	372	374	387	432	433	434	435	436	437	438
	439	441										
2	6	13	29	30	33	38	51	52	202	204	205	206
	207	208	209	210	211	212	213	214	215	216	335	336
	337	338	339	340	341	342	343	377	383	384	385	386
	411	412	413	414	415	416	417	418	419	420		
3	1	2	4	8	11	12	19	24	25	26	27	34
	35	37	46	47	48	49	87	89	91	95	98	99
	100	101	102	103	104	105	106	107	108	109	110	111
	112	113	114	115	116	117	118	119	120	121	122	123
	124	125	126	127	128	129	130	131	132	133	134	135
	136	137	138	144	145	146	147	148	149	150	152	156
	157	158	159	162	164	165	170	171	172	173	174	175
	176	177	178	179	180	181	182	183	184	185	186	187
	188	189	228	244	254	310	311	312	313	314	315	316
	317	318	319	320	321	322	323	325	327	330	331	367

380 381 394 398 399 400 401 402 403 404 405 406
407
4 55 57 63 64 65 66 67 68 69 70 71 72
74 75 76 77 78 79 80 81 82 84 85 86
88 90 92 93 142 143 151 160 295 296 297 298
299 300 301 302 303 304 305 324 382 388 389 390
391 392 393
5 14 21 28 40 50 96 97 139 140 141 199 201
203 229 230 231 232 233 234 235 236 237 238 239
240 241 242 243 265 307 308 309 359 360 361 362
363 364 365 378 379 395 396 397 425 426 427 428
429 430 431
6 3 5 10 17 36 42 44 153 154 155 161 163
166 167 168 169 190 191 192 193 194 195 196 197
198 200 252 273 275 276 281 282 284 287 288 289
292 293 294 326 328 329 332 333 334 370 373 375
376 408 409 410 440 442 443 444 445
7 7 20 23 39 45 56 58 59 60 61 62 73
83 94 217 218 219 220 221 222 223 224 225 226
227 306 344 345 346 347 348 349 350 351 352 353
354 355 356 357 358 421 422 423 424

Tabla 120. Fase estratigráfica 10a. Distribución de la industria
Run Statistics Summary

CLUS	N	SSE1	SSE2	%SSE	Log(%SSE)	Srqt(SSE/N)
1	445	851	851	100.00	2.00	1.3825
2	445	524	524	61.67	1.79	1.0856
3	445	254	254	29.87	1.48	0.7555
4	445	193	193	22.70	1.36	0.6587
5	445	148	148	17.35	1.24	0.5758
6	445	121	121	14.27	1.15	0.5223
7	445	102	102	11.98	1.08	0.4784
8	445	91	91	10.72	1.03	0.4526

CLUS	nbar	nstd	RMSbar	RMSstd	n>2	r2wbar	r2wstd	K'
1	445.0	0.0	1.38	0.00	1	0.00	0.00	1.0000
2	222.5	113.5	1.04	0.08	2	0.34	0.14	1.0000
3	148.3	53.7	0.77	0.04	3	0.07	0.02	1.0000
4	111.3	21.7	0.66	0.12	4	0.10	0.04	1.0000
5	89.0	31.8	0.59	0.07	5	0.05	0.04	1.0000
6	74.2	30.1	0.53	0.07	6	0.02	0.02	1.0000
7	63.6	28.9	0.48	0.08	7	0.03	0.03	1.0000
8	55.6	25.7	0.45	0.08	8	0.03	0.04	1.0000

Tabla 121. Fase estratigráfica 10a. Distribución de la industria

	C	N	VAR	X	Y
3	1	131	0.809	-10.892	63.002
3	2	302	1.080	-8.939	60.877
3	3	132	0.793	-8.245	63.520
7	1	124	0.537	-11.093	63.826
7	2	127	0.584	-9.256	61.565
7	3	78	0.595	-7.716	60.433
7	4	122	0.597	-9.629	63.617
7	5	93	0.545	-9.367	60.358
7	6	90	0.556	-7.872	63.636
7	7	95	0.601	-10.249	62.242

Tabla 122. Fase estratigráfica 10a. Distribución de la producción laminar
3 Clusters - Final Clusters

CLUS	N	SSE1	SSE2	%SSE	Log(%SSE)	Srqt(SSE/N)
3	115	58	58	23.85	1.38	0.7082

CLUS	nbar	nstd	RMSbar	RMSstd	n>2	r2wbar	r2wstd	K'
3	38.3	10.4	0.71	0.03	3	0.02	0.02	1.0000

CLUS	n	RMS	K	r2	Slope
1	53	0.68	1.0000	0.04	-0.21
2	30	0.76	1.0000	0.00	-0.01
3	32	0.70	1.0000	0.00	0.04

CLUS VAR MEAN/STDDEV...

1	1:	-9.40/	0.48	2:	61.75/	0.48
2	1:	-8.52/	0.68	2:	63.61/	0.33
3	1:	-11.14/	0.40	2:	62.88/	0.58

CLUS UNITS...

1	2	5	15	16	17	18	19	20	21	22	23	24
	25	26	30	31	32	33	34	35	36	37	38	39
	40	41	42	43	44	45	47	50	51	64	65	66
	67	68	69	70	71	72	73	74	75	76	77	78
	100	101	102	109	110							
2	1	4	27	28	29	55	56	57	58	59	60	61
	62	63	79	80	81	82	83	84	85	97	98	99
	103	104	105	106	111	112						
3	3	6	7	8	9	10	11	12	13	14	46	48
	49	52	53	54	86	87	88	89	90	91	92	93
	94	95	96	107	108	113	114	115				

Tabla 124. Fase estratigráfica 10a. Distribución de la producción laminar
Run Statistics Summary

CLUS	N	SSE1	SSE2	%SSE	Log(%SSE)	Srqt(SSE/N)
1	115	242	242	100.00	2.00	1.4502
2	115	138	138	57.09	1.76	1.0957
3	115	58	58	23.85	1.38	0.7082
4	115	44	44	18.24	1.26	0.6194
5	115	34	34	13.93	1.14	0.5413
6	115	26	26	10.73	1.03	0.4751
7	115	19	19	7.84	0.89	0.4061
8	115	17	17	7.10	0.85	0.3866

CLUS	nbar	nstd	RMSbar	RMSstd	n>2	r2wbar	r2wstd	K'
1	115.0	0.0	1.45	0.00	1	0.00	0.00	1.0000
2	57.5	22.5	0.98	0.24	2	0.19	0.11	1.0000
3	38.3	10.4	0.71	0.03	3	0.02	0.02	1.0000
4	28.8	1.5	0.61	0.09	4	0.14	0.15	1.0000
5	23.0	6.3	0.53	0.06	5	0.14	0.17	1.0000
6	19.2	5.8	0.46	0.06	6	0.16	0.19	1.0000
7	16.4	3.2	0.40	0.07	7	0.04	0.04	1.0000
8	14.4	4.8	0.39	0.07	8	0.05	0.03	1.0000

Tabla 125. Fase estratigráfica 10a. Distribución de la producción laminar

	C	N	VAR	X	Y
3	1	53	0.683	-9.405	61.752
3	2	30	0.757	-8.515	63.613
3	3	32	0.702	-11.141	62.884
7	1	18	0.356	-8.816	61.712
7	2	14	0.479	-9.141	63.648
7	3	14	0.426	-11.151	63.464
7	4	16	0.478	-7.967	63.583
7	5	17	0.449	-11.195	62.406
7	6	23	0.337	-9.802	62.200
7	7	13	0.308	-9.568	61.102

Tabla 126. Fase estratigráfica 10a. Distribución de la producción lasca
3 Clusters - Final Clusters

CLUS	N	SSE1	SSE2	%SSE	Log(%SSE)	Srqt(SSE/N)
3	270	155	155	32.23	1.51	0.7580

CLUS	nbar	nstd	RMSbar	RMSstd	n>2	r2wbar	r2wstd	K'
3	90.0	40.9	0.76	0.03	3	0.07	0.03	1.0000

CLUS	n	RMS	K	r2	Slope
1	86	0.80	1.0000	0.03	0.20
2	142	0.74	1.0000	0.08	-0.31
3	42	0.73	1.0000	0.12	-0.18

CLUS VAR MEAN/STDDEV...

1	1:	-10.80/	0.54	2:	63.05/	0.60
2	1:	-9.57/	0.50	2:	61.78/	0.54
3	1:	-8.59/	0.65	2:	63.80/	0.34

CLUS UNITS...

1	1	2	98	99	101	103	104	110	115	116	117	120
	121	139	140	141	142	143	144	145	146	147	149	150
	177	181	193	194	195	196	197	198	199	200	201	202
	203	204	205	206	207	208	209	210	211	212	213	214
	215	216	217	218	219	220	221	222	223	224	225	226
	227	228	229	230	231	232	233	234	235	236	237	238
	239	240	241	242	243	252	253	257	262	263	264	265
	266	270										
2	3	4	5	6	7	8	9	10	11	12	13	14
	15	16	17	18	19	20	21	22	23	24	25	26
	27	28	29	30	31	32	33	34	35	36	37	38
	39	40	41	42	43	44	47	48	49	50	51	52
	53	54	55	56	57	58	59	60	61	62	63	64
	65	66	67	68	69	70	71	72	73	74	75	76
	77	78	79	80	81	82	83	84	85	86	87	91
	92	93	94	95	96	97	100	102	105	106	107	108
	109	111	112	113	114	118	119	122	123	124	125	126
	127	128	129	130	131	132	133	134	135	136	137	138
	166	167	168	169	170	171	172	173	174	175	176	244
	245	246	247	248	255	256	258	260	267	268		
3	45	46	88	89	90	148	151	152	153	154	155	156
	157	158	159	160	161	162	163	164	165	178	179	180
	182	183	184	185	186	187	188	189	190	191	192	249
	250	251	254	259	261	269						

Tabla 127. Fase estratigráfica 10a. Distribución de la producción lasca
Run Statistics Summary

CLUS	N	SSE1	SSE2	%SSE	Log(%SSE)	Srqt(SSE/N)
1	270	481	481	100.00	2.00	1.3351
2	270	307	307	63.78	1.80	1.0662
3	270	155	155	32.23	1.51	0.7580
4	270	114	114	23.62	1.37	0.6489
5	270	89	89	18.44	1.27	0.5733
6	270	71	71	14.82	1.17	0.5140
7	270	59	59	12.19	1.09	0.4660
8	270	50	50	10.44	1.02	0.4315

CLUS	nbar	nstd	RMSbar	RMSstd	n>2	r2wbar	r2wstd	K'
1	270.0	0.0	1.34	0.00	1	0.00	0.00	1.0000
2	135.0	10.0	1.05	0.30	2	0.17	0.08	1.0000
3	90.0	40.9	0.76	0.03	3	0.07	0.03	1.0000
4	67.5	24.8	0.66	0.11	4	0.08	0.05	1.0000
5	54.0	17.1	0.59	0.11	5	0.03	0.04	1.0000
6	45.0	19.0	0.52	0.11	6	0.05	0.08	1.0000
7	38.6	21.2	0.45	0.08	7	0.02	0.02	1.0000
8	33.8	20.2	0.43	0.06	8	0.02	0.02	1.0000

Tabla 128. Fase estratigráfica 10a. Distribución de la producción lascar

	C	N	VAR	X	Y
3	1	86	0.803	-10.801	63.053
3	2	142	0.738	-9.568	61.780
3	3	42	0.728	-8.589	63.798

Tabla 129. Fase estratigráfica 10b. Distribución de la industria
2 Clusters - Final Clusters

CLUS	N	SSE1	SSE2	%SSE	Log(%SSE)	Srqt(SSE/N)
2	870	1094	1094	37.31	1.57	1.1214

CLUS	nbar	nstd	RMSbar	RMSstd	n>2	r2wbar	r2wstd	K'
2	435.0	112.0	1.12	0.02	2	0.04	0.03	1.0000

CLUS	n	RMS	K	r2	Slope
1	547	1.13	1.0000	0.02	0.14
2	323	1.10	1.0000	0.08	-0.20

CLUS VAR MEAN/STDDEV...

1	1:	-10.34/	0.83	2:	63.17/	0.77
2	1:	-8.61/	0.89	2:	60.71/	0.64

CLUS UNITS...

1	51	53	54	56	57	58	59	60	61	62	63	64
	65	66	67	68	69	70	71	72	73	74	75	76
	77	78	79	80	81	82	83	84	85	86	87	88
	89	90	91	92	93	94	96	97	98	99	100	101
	102	103	104	105	106	107	108	109	110	111	112	113
	114	115	116	117	118	119	120	121	122	123	124	125
	126	127	128	129	130	131	132	133	134	135	136	137
	144	156	157	158	159	160	161	188	189	190	191	192
	193	194	195	196	197	198	199	200	201	202	203	204
	205	206	207	208	209	210	211	212	213	214	215	216
	217	218	219	220	221	222	223	224	225	226	227	228
	229	230	231	233	235	236	237	238	239	240	241	242
	243	244	245	246	247	248	249	250	265	266	267	268
	269	270	271	272	273	274	276	281	282	283	284	285
	289	290	291	405	411	417	435	454	456	457	458	459
	460	461	462	463	464	465	466	467	468	469	470	471
	472	473	474	475	476	477	478	479	480	481	482	483
	484	485	486	487	488	489	490	491	492	493	494	495
	496	497	498	499	500	501	502	503	504	505	506	507
	508	509	510	511	512	513	514	515	516	517	518	519
	520	521	522	523	524	525	526	527	528	529	530	531
	532	533	534	535	536	537	538	539	540	541	542	543
	544	545	546	547	548	549	550	551	552	553	554	555
	556	557	558	559	560	561	562	563	564	565	566	567
	568	569	570	571	572	573	574	575	576	577	578	579
	580	581	582	583	584	585	586	587	588	589	590	591
	592	593	594	595	596	597	598	599	600	601	602	603
	604	605	606	607	608	609	610	611	612	613	614	615
	616	617	618	619	620	621	622	623	624	625	626	627
	628	629	630	631	632	633	634	635	636	637	638	640

641 642 643 644 646 647 648 649 650 651 652 653
654 655 656 657 658 659 660 661 662 663 664 665
666 667 668 669 670 671 672 673 674 675 676 677
678 679 680 681 682 683 684 685 686 687 688 689
690 691 692 693 694 695 696 697 698 699 700 701
702 703 704 705 706 707 708 709 710 711 712 713
714 715 716 717 718 719 720 721 722 723 724 725
726 727 730 731 732 735 736 737 738 739 742 743
744 745 746 747 748 749 750 751 752 753 754 755
756 757 758 759 760 761 762 763 764 765 766 767
768 769 770 771 772 773 774 775 776 777 778 779
780 781 782 783 784 785 786 787 788 789 790 791
792 793 794 795 796 797 798 799 800 801 802 803
804 805 806 807 808 809 810 811 829 830 831 832
833 843 844 845 847 848 854 855 856 857 859 863
864 865 866 867 868 869 870

2 1 2 3 4 5 6 7 8 9 10 11 12
13 14 15 16 17 18 19 20 21 22 23 24
25 26 27 28 29 30 31 32 33 34 35 36
37 38 39 40 41 42 43 44 45 46 47 48
49 50 52 55 95 138 139 140 141 142 143 145
146 147 148 149 150 151 152 153 154 155 162 163
164 165 166 167 168 169 170 171 172 173 174 175
176 177 178 179 180 181 182 183 184 185 186 187
232 234 251 252 253 254 255 256 257 258 259 260
261 262 263 264 275 277 278 279 280 286 287 288
292 293 294 295 296 297 298 299 300 301 302 303
304 305 306 307 308 309 310 311 312 313 314 315
316 317 318 319 320 321 322 323 324 325 326 327
328 329 330 331 332 333 334 335 336 337 338 339
340 341 342 343 344 345 346 347 348 349 350 351
352 353 354 355 356 357 358 359 360 361 362 363
364 365 366 367 368 369 370 371 372 373 374 375
376 377 378 379 380 381 382 383 384 385 386 387
388 389 390 391 392 393 394 395 396 397 398 399
400 401 402 403 404 406 407 408 409 410 412 413
414 415 416 418 419 420 421 422 423 424 425 426
427 428 429 430 431 432 433 434 436 437 438 439
440 441 442 443 444 445 446 447 448 449 450 451
452 453 455 639 645 728 729 733 734 740 741 812
813 814 815 816 817 818 819 820 821 822 823 824
825 826 827 828 834 835 836 837 838 839 840 841
842 846 849 850 851 852 853 858 860 861 862

Tabla 130. Fase estratigráfica 10b. Distribución de la industria
4 Clusters - Final Clusters

CLUS	N	SSE1	SSE2	%SSE	Log(%SSE)	Srqt(SSE/N)
4	870	475	475	16.19	1.21	0.7387

CLUS	nbar	nstd	RMSbar	RMSstd	n>2	r2wbar	r2wstd	K'
4	217.5	33.1	0.74	0.07	4	0.03	0.03	1.0000

CLUS	n	RMS	K	r2	Slope
1	224	0.73	1.0000	0.03	-0.19
2	189	0.65	1.0000	0.07	0.19
3	188	0.84	1.0000	0.01	-0.14
4	269	0.73	1.0000	0.00	0.09

CLUS VAR MEAN/STDDEV...

1	1:	-9.49/	0.48	2:	63.48/	0.55
2	1:	-7.97/	0.53	2:	60.44/	0.38
3	1:	-9.80/	0.53	2:	61.23/	0.66
4	1:	-11.02/	0.39	2:	63.23/	0.61

CLUS UNITS...

1	56	57	58	59	60	61	62	63	64	65	66	67
	68	69	70	73	122	123	124	125	126	127	128	129
	130	131	132	133	134	135	145	157	158	159	160	161
	188	189	190	191	192	193	194	195	196	197	198	199
	200	201	202	203	215	241	242	243	244	245	246	247
	248	249	265	266	281	282	283	284	289	290	291	454
	456	457	458	459	460	461	462	463	464	465	466	467
	468	469	470	471	472	473	474	475	476	477	478	479
	480	481	482	483	484	485	486	487	488	489	490	491
	492	493	494	495	496	497	498	499	500	501	502	503
	504	505	506	507	508	509	510	511	512	513	514	515
	516	517	518	519	520	521	522	523	524	525	526	527
	528	529	530	531	532	533	534	535	536	537	538	539
	540	541	542	546	553	555	687	688	689	690	691	692
	693	694	695	696	697	698	699	700	701	702	703	704
	705	706	708	709	711	712	715	716	717	718	719	720
	721	722	723	724	725	726	727	728	730	731	741	786
	793	798	805	806	807	808	809	810	811	843	844	845
	848	849	854	855	856	857	863	864				
2	1	2	3	4	5	6	7	8	9	10	11	12
	13	14	15	16	17	18	19	20	21	22	23	24
	25	26	27	28	29	30	31	32	33	34	35	38
	40	41	42	146	147	150	151	152	164	165	166	167
	168	169	170	171	172	173	174	175	176	177	256	259
	261	263	275	277	278	279	280	287	292	293	294	295
	296	297	298	299	300	301	302	303	304	305	306	307

	308	309	310	311	312	313	314	315	316	317	318	319
	320	321	322	323	324	325	326	327	328	329	330	331
	332	333	334	335	336	337	338	339	340	341	342	343
	344	345	346	347	348	349	350	351	352	353	354	355
	356	357	358	359	360	361	362	363	364	365	366	367
	368	369	370	371	372	373	374	375	376	377	378	379
	380	381	382	383	384	392	393	397	402	812	813	815
	818	819	820	823	827	834	835	836	837	838	839	840
	841	842	850	851	852	853	860	861	862			
3	36	37	39	43	44	45	46	47	48	49	50	51
	52	53	54	55	91	92	93	94	95	96	97	98
	99	100	101	102	138	139	140	141	142	143	148	149
	153	154	155	162	163	178	179	180	181	182	183	184
	185	186	187	225	226	227	228	229	230	231	232	233
	234	235	251	252	253	254	255	257	258	260	262	264
	285	286	288	385	386	387	388	389	390	391	394	395
	396	398	399	400	401	403	404	405	406	407	408	409
	410	411	412	413	414	415	416	417	418	419	420	421
	422	423	424	425	426	427	428	429	430	431	432	433
	434	435	436	437	438	439	440	441	442	443	444	445
	446	447	448	449	450	451	452	453	455	628	629	630
	631	632	633	634	635	636	637	638	639	640	641	642
	643	644	645	646	647	648	649	650	651	652	653	654
	655	656	657	729	733	734	740	814	816	817	821	822
	824	825	826	828	846	847	858	859				
4	71	72	74	75	76	77	78	79	80	81	82	83
	84	85	86	87	88	89	90	103	104	105	106	107
	108	109	110	111	112	113	114	115	116	117	118	119
	120	121	136	137	144	156	204	205	206	207	208	209
	210	211	212	213	214	216	217	218	219	220	221	222
	223	224	236	237	238	239	240	250	267	268	269	270
	271	272	273	274	276	543	544	545	547	548	549	550
	551	552	554	556	557	558	559	560	561	562	563	564
	565	566	567	568	569	570	571	572	573	574	575	576
	577	578	579	580	581	582	583	584	585	586	587	588
	589	590	591	592	593	594	595	596	597	598	599	600
	601	602	603	604	605	606	607	608	609	610	611	612
	613	614	615	616	617	618	619	620	621	622	623	624
	625	626	627	658	659	660	661	662	663	664	665	666
	667	668	669	670	671	672	673	674	675	676	677	678
	679	680	681	682	683	684	685	686	707	710	713	714
	732	735	736	737	738	739	742	743	744	745	746	747
	748	749	750	751	752	753	754	755	756	757	758	759
	760	761	762	763	764	765	766	767	768	769	770	771
	772	773	774	775	776	777	778	779	780	781	782	783
	784	785	787	788	789	790	791	792	794	795	796	797
	799	800	801	802	803	804	829	830	831	832	833	865
	866	867	868	869	870							

Tabla 131. Fase estratigráfica 10b. Distribución de la industria
Run Statistics Summary

CLUS	N	SSE1	SSE2	%SSE	Log(%SSE)	Srqt(SSE/N)
1	870	2932	2932	100.00	2.00	1.8359
2	870	1094	1094	37.31	1.57	1.1214
3	870	762	762	25.99	1.41	0.9359
4	870	475	475	16.19	1.21	0.7387
5	870	369	369	12.58	1.10	0.6513
6	870	286	286	9.74	0.99	0.5729
7	870	240	240	8.18	0.91	0.5250
8	870	204	204	6.94	0.84	0.4838
9	870	174	174	5.93	0.77	0.4471

CLUS	nbar	nstd	RMSbar	RMSstd	n>2	r2wbar	r2wstd	K'
1	870.0	0.0	1.84	0.00	1	0.36	0.00	1.0000
2	435.0	112.0	1.12	0.02	2	0.04	0.03	1.0000
3	290.0	137.2	0.86	0.15	3	0.05	0.03	1.0000
4	217.5	33.1	0.74	0.07	4	0.03	0.03	1.0000
5	174.0	64.4	0.61	0.11	5	0.02	0.02	1.0000
6	145.0	37.5	0.55	0.08	6	0.01	0.01	1.0000
7	124.3	28.1	0.52	0.04	7	0.02	0.03	1.0000
8	108.8	30.9	0.47	0.06	8	0.06	0.07	1.0000
9	96.7	29.9	0.43	0.06	9	0.02	0.02	1.0000

Tabla 132. Fase estratigráfica 10b. Distribución de la producción lascar

	C	N	VAR	X	Y
2	1	376	1.104	-10.349	63.224
2	2	206	1.104	-8.564	60.751
4	1	145	0.712	-9.444	63.480
4	2	121	0.594	-7.922	60.447
4	3	114	0.833	-9.771	61.269
4	4	202	0.728	-10.957	63.285

Tabla 133. Fase estratigráfica 10b. Distribución producción laminar
2 Clusters - Final Clusters

CLUS	N	SSE1	SSE2	%SSE	Log(%SSE)	Srqt(SSE/N)
2	278	366	366	39.14	1.59	1.1481

CLUS	nbar	nstd	RMSbar	RMSstd	n>2	r2wbar	r2wstd	K'
2	139.0	26.0	1.14	0.04	2	0.02	0.00	1.0000

CLUS	n	RMS	K	r2	Slope
1	165	1.18	1.0000	0.02	0.15
2	113	1.10	1.0000	0.02	-0.09

CLUS VAR MEAN/STDDEV...

1	1:	-10.37/	0.84	2:	63.05/	0.83
2	1:	-8.69/	0.91	2:	60.66/	0.60

CLUS UNITS...

1	43	49	51	52	54	55	56	57	58	59	60	61
	62	63	64	65	66	67	68	69	70	71	72	73
	74	75	76	77	78	79	80	81	82	83	84	85
	86	87	88	89	90	91	92	94	95	96	97	98
	99	100	101	102	103	104	105	106	107	108	109	110
	111	112	113	114	115	116	117	118	119	120	121	122
	123	124	125	126	127	128	129	130	131	132	133	134
	135	142	154	155	156	157	158	159	186	187	188	189
	190	191	192	193	194	195	196	197	198	199	200	201
	202	203	204	205	206	207	208	209	210	211	212	213
	214	215	216	217	218	219	220	221	222	223	224	225
	226	227	228	229	231	232	233	234	235	236	237	238
	239	240	241	242	243	244	245	246	247	248	263	264
	265	266	267	268	269	270	271	272	274			
2	1	2	3	4	5	6	7	8	9	10	11	12
	13	14	15	16	17	18	19	20	21	22	23	24
	25	26	27	28	29	30	31	32	33	34	35	36
	37	38	39	40	41	42	44	45	46	47	48	50
	53	93	136	137	138	139	140	141	143	144	145	146
	147	148	149	150	151	152	153	160	161	162	163	164
	165	166	167	168	169	170	171	172	173	174	175	176
	177	178	179	180	181	182	183	184	185	230	249	250
	251	252	253	254	255	256	257	258	259	260	261	262
	273	275	276	277	278							

Tabla 134. Fase estratigráfica 10b. Distribución de la producción laminar
6 Clusters - Final Clusters

CLUS	N	SSE1	SSE2	%SSE	Log(%SSE)	Srqt(SSE/N)
6	278	87	87	9.28	0.97	0.5590

CLUS	nbar	nstd	RMSbar	RMSstd	n>2	r2wbar	r2wstd	K'
6	46.3	7.4	0.55	0.07	6	0.02	0.02	1.0000

CLUS	n	RMS	K	r2	Slope
1	49	0.50	1.0000	0.05	-0.25
2	49	0.49	1.0000	0.02	-0.15
3	58	0.69	1.0000	0.00	-0.01
4	38	0.56	1.0000	0.00	0.04
5	36	0.47	1.0000	0.00	0.03
6	48	0.58	1.0000	0.02	0.04

CLUS VAR MEAN/STDDEV...

1	1:	-11.06/	0.33	2:	62.59/	0.38
2	1:	-7.74/	0.36	2:	60.57/	0.34
3	1:	-9.39/	0.45	2:	63.41/	0.52
4	1:	-10.93/	0.47	2:	63.87/	0.29
5	1:	-9.39/	0.38	2:	60.12/	0.27
6	1:	-9.85/	0.55	2:	61.53/	0.17

CLUS UNITS...

1	72	74	76	77	86	88	94	98	99	101	102	103
	104	105	106	107	108	109	110	111	112	113	114	115
	116	117	118	134	135	142	154	205	206	208	216	220
	222	231	234	235	236	237	238	248	269	270	271	272
	274											
2	1	2	3	4	5	6	7	8	9	10	11	12
	13	14	15	16	17	18	19	20	21	22	23	24
	25	26	27	28	29	30	31	32	162	163	164	165
	166	167	168	169	170	171	172	173	174	259	275	276
	277											
3	54	55	56	57	58	59	60	61	62	63	64	65
	66	67	68	121	123	125	126	127	128	129	131	132
	133	143	155	156	157	158	159	186	187	188	189	190
	191	192	193	194	195	196	197	198	199	200	201	203
	239	240	241	242	244	245	246	247	263	264		
4	69	70	71	73	75	78	79	80	81	82	83	84
	85	87	119	120	122	124	130	202	204	207	209	210
	211	212	213	214	215	217	218	219	221	243	265	266
	267	268										
5	33	34	35	36	37	38	39	40	41	42	144	145
	146	147	148	149	150	151	152	153	160	161	175	176
	177	178	252	253	254	255	256	257	258	260	261	273

Tabla 135. Fase estratigráfica 10b. Distribución de la producción laminar
Run Statistics Summary

CLUS	N	SSE1	SSE2	%SSE	Log(%SSE)	Srqt(SSE/N)
1	278	936	936	100.00	2.00	1.8351
2	278	366	366	39.14	1.59	1.1481
3	278	258	258	27.51	1.44	0.9625
4	278	163	163	17.40	1.24	0.7654
5	278	115	115	12.28	1.09	0.6431
6	278	87	87	9.28	0.97	0.5590
7	278	73	73	7.85	0.89	0.5141
8	278	61	61	6.54	0.82	0.4694
9	278	52	52	5.55	0.74	0.4322

CLUS	nbar	nstd	RMSbar	RMSstd	n>2	r2wbar	r2wstd	K'
1	278.0	0.0	1.84	0.00	1	0.31	0.00	1.0000
2	139.0	26.0	1.14	0.04	2	0.02	0.00	1.0000
3	92.7	36.6	0.86	0.23	3	0.06	0.05	1.0000
4	69.5	12.2	0.73	0.14	4	0.08	0.05	1.0000
5	55.6	13.5	0.61	0.11	5	0.02	0.02	1.0000
6	46.3	7.4	0.55	0.07	6	0.02	0.02	1.0000
7	39.7	10.7	0.48	0.10	7	0.02	0.02	1.0000
8	34.8	8.0	0.46	0.07	8	0.04	0.04	1.0000
9	30.9	9.6	0.42	0.05	9	0.05	0.05	1.0000

Tabla 136. Fase estratigráfica 10b. Distribución de la producción laminar

C	N	VAR	X	Y	
2	1	165	1.183	-10.366	63.046
2	2	113	1.095	-8.689	60.663
6	1	49	0.499	-11.065	62.592
6	2	49	0.492	-7.737	60.569
6	3	58	0.686	-9.391	63.409
6	4	38	0.557	-10.933	63.869
6	5	36	0.469	-9.385	60.123
6	6	48	0.575	-9.853	61.529

6 43 44 45 46 47 48 49 50 51 52 53 89
90 91 92 93 95 96 97 100 136 137 138 139
140 141 179 180 181 182 183 184 185 223 224 225
226 227 228 229 230 232 233 249 250 251 262 278

Tabla 137. Fase estratigráfica 10b. Distribución producción lascar
2 Clusters - Final Clusters

CLUS	N	SSE1	SSE2	%SSE	Log(%SSE)	Srqt(SSE/N)
2	582	709	709	36.42	1.56	1.1038

CLUS	nbar	nstd	RMSbar	RMSstd	n>2	r2wbar	r2wstd	K'
2	291.0	85.0	1.10	0.00	2	0.06	0.05	1.0000

CLUS	n	RMS	K	r2	Slope
1	376	1.10	1.0000	0.02	0.14
2	206	1.10	1.0000	0.12	-0.27

CLUS VAR MEAN/STDDEV...

1	1: -10.35/ 0.82	2: 63.22/ 0.74
2	1: -8.56/ 0.88	2: 60.75/ 0.67

CLUS UNITS...

1	120	126	144	163	165	166	167	168	169	170	171	172
	173	174	175	176	177	178	179	180	181	182	183	184
	185	186	187	188	189	190	191	192	193	194	195	196
	197	198	199	200	201	202	203	204	205	206	207	208
	209	210	211	212	213	214	215	216	217	218	219	220
	221	222	223	224	225	226	227	228	229	230	231	232
	233	234	235	236	237	238	239	240	241	242	243	244
	245	246	247	248	249	250	251	252	253	254	255	256
	257	258	259	260	261	262	263	264	265	266	267	268
	269	270	271	272	273	274	275	276	277	278	279	280
	281	282	283	284	285	286	287	288	289	290	291	292
	293	294	295	296	297	298	299	300	301	302	303	304
	305	306	307	308	309	310	311	312	313	314	315	316
	317	318	319	320	321	322	323	324	325	326	327	328
	329	330	331	332	333	334	335	336	337	338	339	340
	341	342	343	344	345	346	347	349	350	351	352	353
	355	356	357	358	359	360	361	362	363	364	365	366
	367	368	369	370	371	372	373	374	375	376	377	378
	379	380	381	382	383	384	385	386	387	388	389	390
	391	392	393	394	395	396	397	398	399	400	401	402
	403	404	405	406	407	408	409	410	411	412	413	414
	415	416	417	418	419	420	421	422	423	424	425	426
	427	428	429	430	431	432	433	434	435	439	440	441
	444	445	446	447	448	451	452	453	454	455	456	457
	458	459	460	461	462	463	464	465	466	467	468	469
	470	471	472	473	474	475	476	477	478	479	480	481
	482	483	484	485	486	487	488	489	490	491	492	493
	494	495	496	497	498	499	500	501	502	503	504	505
	506	507	508	509	510	511	512	513	514	515	516	517
	518	519	520	538	539	540	541	542	552	553	554	556

557 563 564 565 566 568 572 573 574 575 576 577
578 579 580 581
2 1 2 3 4 5 6 7 8 9 10 11 12
13 14 15 16 17 18 19 20 21 22 23 24
25 26 27 28 29 30 31 32 33 34 35 36
37 38 39 40 41 42 43 44 45 46 47 48
49 50 51 52 53 54 55 56 57 58 59 60
61 62 63 64 65 66 67 68 69 70 71 72
73 74 75 76 77 78 79 80 81 82 83 84
85 86 87 88 89 90 91 92 93 94 95 96
97 98 99 100 101 102 103 104 105 106 107 108
109 110 111 112 113 114 115 116 117 118 119 121
122 123 124 125 127 128 129 130 131 132 133 134
135 136 137 138 139 140 141 142 143 145 146 147
148 149 150 151 152 153 154 155 156 157 158 159
160 161 162 164 348 354 436 437 438 442 443 449
450 521 522 523 524 525 526 527 528 529 530 531
532 533 534 535 536 537 543 544 545 546 547 548
549 550 551 555 558 559 560 561 562 567 569 570
571 582

Tabla 138. Fase estratigráfica 10b. Distribución de la producción lascar
4 Clusters - Final Clusters

CLUS	N	SSE1	SSE2	%SSE	Log(%SSE)	Srqt(SSE/N)
4	582	302	302	15.52	1.19	0.7205

CLUS	nbar	nstd	RMSbar	RMSstd	n>2	r2wbar	r2wstd	K'
4	145.5	34.6	0.72	0.08	4	0.01	0.01	1.0000

CLUS	n	RMS	K	r2	Slope
1	145	0.71	1.0000	0.02	-0.17
2	121	0.59	1.0000	0.02	0.11
3	114	0.83	1.0000	0.00	-0.06
4	202	0.73	1.0000	0.01	0.17

CLUS VAR MEAN/STDDEV...

1	1:	-9.44/	0.45	2:	63.48/	0.55
2	1:	-7.92/	0.46	2:	60.45/	0.37
3	1:	-9.77/	0.52	2:	61.27/	0.65
4	1:	-10.96/	0.43	2:	63.29/	0.59

CLUS UNITS...

1	163	165	166	167	168	169	170	171	172	173	174	175
	176	177	178	179	180	181	182	183	184	185	186	187
	188	189	190	191	192	193	194	195	196	197	198	199
	200	201	202	203	204	205	206	207	208	209	210	211
	212	213	214	215	216	217	218	219	220	221	222	223
	224	225	226	227	228	229	230	231	232	233	234	235
	236	237	238	239	240	241	242	243	244	245	246	247
	248	249	250	251	396	397	398	399	400	401	402	404
	405	406	408	409	410	411	412	413	414	415	418	420
	421	424	426	427	428	429	430	431	432	433	434	435
	436	437	439	440	450	507	515	516	517	518	519	520
	552	553	554	557	558	563	564	565	566	572	573	580
	581											
2	1	2	3	4	5	6	7	8	9	10	11	12
	13	14	15	16	17	18	19	20	21	22	23	24
	25	26	27	28	29	30	31	32	33	34	35	36
	37	38	39	40	41	42	43	44	45	46	47	48
	49	50	51	52	53	54	55	56	57	58	59	60
	61	62	63	64	65	66	67	68	69	70	71	72
	73	74	75	76	77	78	79	80	81	82	83	84
	85	86	87	88	89	90	91	92	93	101	102	106
	111	521	522	524	527	528	529	532	536	543	544	545
	546	547	548	549	550	551	559	560	561	562	569	570
	571											
3	94	95	96	97	98	99	100	103	104	105	107	108
	109	110	112	113	114	115	116	117	118	119	120	121

122 123 124 125 126 127 128 129 130 131 132 133
134 135 136 137 138 139 140 141 142 143 144 145
146 147 148 149 150 151 152 153 154 155 156 157
158 159 160 161 162 164 337 338 339 340 341 342
343 344 345 346 347 348 349 350 351 352 353 354
355 356 357 358 359 360 361 362 363 364 365 366
438 442 443 449 523 525 526 530 531 533 534 535
537 555 556 567 568 582
4 252 253 254 255 256 257 258 259 260 261 262 263
264 265 266 267 268 269 270 271 272 273 274 275
276 277 278 279 280 281 282 283 284 285 286 287
288 289 290 291 292 293 294 295 296 297 298 299
300 301 302 303 304 305 306 307 308 309 310 311
312 313 314 315 316 317 318 319 320 321 322 323
324 325 326 327 328 329 330 331 332 333 334 335
336 367 368 369 370 371 372 373 374 375 376 377
378 379 380 381 382 383 384 385 386 387 388 389
390 391 392 393 394 395 403 407 416 417 419 422
423 425 441 444 445 446 447 448 451 452 453 454
455 456 457 458 459 460 461 462 463 464 465 466
467 468 469 470 471 472 473 474 475 476 477 478
479 480 481 482 483 484 485 486 487 488 489 490
491 492 493 494 495 496 497 498 499 500 501 502
503 504 505 506 508 509 510 511 512 513 514 538
539 540 541 542 574 575 576 577 578 579

Tabla 139. Fase estratigráfica 10b. Distribución de la producción lascar
6 Clusters - Final Clusters

CLUS	N	SSE1	SSE2	%SSE	Log(%SSE)	Srqt(SSE/N)
6	582	191	191	9.81	0.99	0.5729

CLUS	nbar	nstd	RMSbar	RMSstd	n>2	r2wbar	r2wstd	K'
6	97.0	29.9	0.55	0.08	6	0.03	0.04	1.0000

CLUS	n	RMS	K	r2	Slope
1	137	0.68	1.0000	0.00	0.01
2	107	0.48	1.0000	0.03	-0.19
3	93	0.64	1.0000	0.12	0.16
4	93	0.50	1.0000	0.01	-0.05
5	39	0.47	1.0000	0.02	0.07
6	113	0.54	1.0000	0.00	0.04

CLUS VAR MEAN/STDDEV...

1	1:	-9.44/	0.43	2:	63.49/	0.52
2	1:	-7.80/	0.32	2:	60.49/	0.37
3	1:	-9.77/	0.59	2:	61.63/	0.26
4	1:	-10.85/	0.42	2:	63.87/	0.28
5	1:	-9.37/	0.42	2:	60.11/	0.21
6	1:	-11.02/	0.43	2:	62.84/	0.32

CLUS UNITS...

1	163	165	166	167	168	169	170	171	172	173	174	175
	176	177	178	179	180	181	182	183	184	185	186	187
	188	189	190	191	192	193	194	195	196	197	198	199
	200	201	202	203	204	205	206	207	208	209	210	211
	212	213	214	215	216	217	218	219	220	221	222	223
	224	225	226	227	228	229	230	231	232	233	234	235
	236	237	238	239	240	241	242	243	244	245	246	247
	248	249	250	251	396	397	398	399	400	401	404	405
	406	408	409	410	411	412	413	414	415	418	419	420
	421	424	426	427	428	429	431	432	433	435	436	439
	440	516	517	518	519	520	552	553	557	563	564	565
	566	572	573	580	581							
2	1	2	3	4	5	6	7	8	9	10	11	12
	13	14	15	16	17	18	19	20	21	22	23	24
	25	26	27	28	29	30	31	32	33	34	35	36
	37	38	39	40	41	42	43	44	45	46	47	48
	49	50	51	52	53	54	55	56	57	58	59	60
	61	62	63	64	65	66	67	68	69	70	71	72
	73	74	75	76	77	78	79	80	81	82	83	84
	85	86	87	88	89	90	91	92	543	544	545	546
	547	548	549	550	551	559	560	561	562	570	571	
3	114	115	116	117	118	119	120	121	122	123	124	125

126 127 128 129 130 131 132 133 134 135 136 137
138 139 140 141 142 143 144 145 146 147 148 149
150 151 152 153 154 155 156 157 158 159 160 161
162 164 337 338 339 340 341 342 343 344 345 346
347 348 349 350 351 352 353 354 355 356 357 358
359 360 361 362 363 364 365 366 437 438 442 443
449 450 515 555 556 558 567 568 582
4 252 253 255 256 257 259 262 263 264 265 267 268
270 274 275 276 278 279 283 285 287 289 291 293
295 296 298 299 300 305 307 308 309 310 311 313
318 321 322 325 327 328 331 332 334 335 336 402
407 422 425 430 434 451 452 453 456 457 459 460
463 464 465 467 469 471 473 474 475 479 482 483
484 490 491 492 493 494 495 500 501 502 503 505
506 507 508 509 512 513 514 554 576
5 93 94 95 96 97 98 99 100 101 102 103 104
105 106 107 108 109 110 111 112 113 521 522 523
524 525 526 527 528 529 530 531 532 533 534 535
536 537 569
6 254 258 260 261 266 269 271 272 273 277 280 281
282 284 286 288 290 292 294 297 301 302 303 304
306 312 314 315 316 317 319 320 323 324 326 329
330 333 367 368 369 370 371 372 373 374 375 376
377 378 379 380 381 382 383 384 385 386 387 388
389 390 391 392 393 394 395 403 416 417 423 441
444 445 446 447 448 454 455 458 461 462 466 468
470 472 476 477 478 480 481 485 486 487 488 489
496 497 498 499 504 510 511 538 539 540 541 542
574 575 577 578 579

Tabla 140. Fase estratigráfica 10b. Distribución de la producción lascar
Run Statistics Summary

CLUS	N	SSE1	SSE2	%SSE	Log(%SSE)	Srqt(SSE/N)
1	582	1947	1947	100.00	2.00	1.8290
2	582	709	709	36.42	1.56	1.1038
3	582	491	491	25.23	1.40	0.9187
4	582	302	302	15.52	1.19	0.7205
5	582	246	246	12.64	1.10	0.6502
6	582	191	191	9.81	0.99	0.5729
7	582	159	159	8.19	0.91	0.5234
8	582	136	136	6.98	0.84	0.4833

CLUS	nbar	nstd	RMSbar	RMSstd	n>2	r2wbar	r2wstd	K'
1	582.0	0.0	1.83	0.00	1	0.38	0.00	1.0000
2	291.0	85.0	1.10	0.00	2	0.06	0.05	1.0000
3	194.0	100.4	0.84	0.18	3	0.05	0.02	1.0000
4	145.5	34.6	0.72	0.08	4	0.01	0.01	1.0000
5	116.4	53.7	0.60	0.11	5	0.03	0.04	1.0000
6	97.0	29.9	0.55	0.08	6	0.03	0.04	1.0000
7	83.1	20.5	0.52	0.05	7	0.05	0.07	1.0000
8	72.8	22.4	0.48	0.05	8	0.06	0.09	1.0000

Tabla 141. Fase estratigráfica 10b. Distribución de la producción lascar

	C	N	VAR	X	Y
2	1	376	1.104	-10.349	63.224
2	2	206	1.104	-8.564	60.751
4	1	145	0.712	-9.444	63.480
4	2	121	0.594	-7.922	60.447
4	3	114	0.833	-9.771	61.269
4	4	202	0.728	-10.957	63.285
6	1	137	0.676	-9.436	63.487
6	2	107	0.485	-7.796	60.490
6	3	93	0.643	-9.768	61.631
6	4	93	0.504	-10.849	63.873
6	5	39	0.468	-9.374	60.108
6	6	113	0.538	-11.021	62.839

Tabla 142. Fase estratigráfica 11a. Distribución de hojas retocadas
3 Clusters - Final Clusters

CLUS	N	SSE1	SSE2	%SSE	Log(%SSE)	Srqt(SSE/N)
3	378	293	293	30.70	1.49	0.8812

CLUS	nbar	nstd	RMSbar	RMSstd	n>2	r2wbar	r2wstd	K'
3	126.0	13.1	0.88	0.04	3	0.03	0.02	1.0000

CLUS	n	RMS	K	r2	Slope
1	126	0.82	1.0000	0.00	-0.09
2	142	0.92	1.0000	0.06	-0.26
3	110	0.89	1.0000	0.01	0.11

CLUS VAR MEAN/STDDEV...

1	1:	-10.87/	0.50	2:	63.08/	0.65
2	1:	-9.54/	0.63	2:	60.98/	0.68
3	1:	-8.98/	0.59	2:	63.32/	0.66

CLUS UNITS...

1	20	154	156	172	173	177	178	179	182	187	188	189
	196	197	198	203	206	208	209	210	211	214	215	217
	218	220	221	222	223	224	225	226	227	228	229	230
	231	232	233	234	235	236	237	238	239	240	241	242
	243	244	245	246	247	248	249	250	251	252	253	254
	255	256	257	258	259	293	295	300	301	302	303	304
	305	306	307	308	309	310	311	312	313	314	315	316
	317	318	319	320	321	322	323	324	325	326	327	328
	329	330	331	332	333	334	335	336	337	338	339	340
	341	342	343	344	345	346	347	348	349	350	352	353
	354	355	371	372	373	377						
2	1	2	3	4	5	6	7	8	10	12	13	14
	15	16	17	18	21	22	23	24	25	26	49	50
	51	52	53	54	55	56	57	58	59	60	61	62
	63	64	65	66	67	68	69	70	71	72	73	74
	75	76	77	78	79	80	81	82	83	84	85	86
	87	88	89	90	91	92	93	94	95	96	97	98
	99	100	101	102	103	104	105	106	107	108	109	110
	111	112	113	114	115	116	117	118	119	120	121	124
	127	128	129	130	132	133	134	135	138	139	142	143
	144	145	146	151	174	175	176	180	181	183	184	185
	186	190	191	192	193	194	195	199	200	201	202	204
	205	207	212	213	216	219	358	361	362	365		
3	9	11	19	27	28	29	30	31	32	33	34	35
	36	37	38	39	40	41	42	43	44	45	46	47
	48	122	123	125	126	131	136	137	140	141	147	148
	149	150	152	153	155	157	158	159	160	161	162	163
	164	165	166	167	168	169	170	171	260	261	262	263

264 265 266 267 268 269 270 271 272 273 274 275
276 277 278 279 280 281 282 283 284 285 286 287
288 289 290 291 292 294 296 297 298 299 351 356
357 359 360 363 364 366 367 368 369 370 374 375
376 378

Tabla 143. Fase estratigráfica 11a. Distribución de hojas retocadas
6 Clusters - Final Clusters

CLUS	N	SSE1	SSE2	%SSE	Log(%SSE)	Srqt(SSE/N)
6	378	135	135	14.14	1.15	0.5979

CLUS	nbar	nstd	RMSbar	RMSstd	n>2	r2wbar	r2wstd	K'
6	63.0	14.3	0.58	0.06	6	0.01	0.01	1.0000

CLUS	n	RMS	K	r2	Slope
1	66	0.52	1.0000	0.00	-0.05
2	63	0.58	1.0000	0.00	-0.04
3	54	0.58	1.0000	0.03	-0.17
4	90	0.71	1.0000	0.01	0.08
5	62	0.56	1.0000	0.00	-0.02
6	43	0.55	1.0000	0.01	-0.10

CLUS VAR MEAN/STDDEV...

1	1: -11.21/ 0.30	2: 63.26/ 0.43
2	1: -10.53/ 0.40	2: 61.96/ 0.42
3	1: -9.95/ 0.41	2: 63.72/ 0.41
4	1: -9.35/ 0.51	2: 60.57/ 0.49
5	1: -9.17/ 0.36	2: 62.27/ 0.43
6	1: -8.44/ 0.41	2: 63.74/ 0.37

CLUS UNITS...

1	221	223	227	228	229	230	234	238	239	241	242	244
	245	247	248	249	250	251	252	253	254	255	256	257
	258	259	300	302	304	305	307	308	309	310	311	312
	314	315	316	318	320	323	324	327	328	329	330	331
	333	334	335	336	337	338	339	340	341	343	345	346
	348	349	350	352	355	373						
2	13	16	135	144	156	172	173	174	175	176	177	178
	179	180	181	182	183	184	185	186	187	188	189	190
	191	192	193	194	195	196	197	198	199	200	201	202
	203	204	205	206	207	208	209	210	211	212	213	214
	215	216	217	218	219	220	222	224	225	235	301	321
	347	371	372									
3	20	163	164	165	166	167	169	170	171	226	231	232
	233	236	237	240	243	246	260	262	263	264	265	266
	269	270	279	283	285	287	291	292	294	295	296	297
	298	299	303	306	313	317	319	322	325	326	332	342
	344	351	353	354	376	378						
4	1	2	3	4	5	6	7	8	12	21	22	23
	24	25	26	49	50	51	52	53	54	55	56	57
	58	59	60	61	62	63	64	65	66	67	68	69
	70	71	72	73	74	75	76	77	78	79	80	81
	82	83	84	85	86	87	88	89	90	91	92	93

94 95 96 97 98 99 100 101 102 103 104 105
106 107 108 109 110 111 112 113 114 115 116 117
118 119 120 121 124 146
5 9 10 11 14 15 17 18 19 122 123 125 126
127 128 129 130 131 132 133 134 136 137 138 139
140 141 142 143 145 147 148 149 150 151 152 153
154 155 157 158 268 271 272 274 275 280 281 284
288 293 358 359 360 361 362 363 364 365 369 374
375 377
6 27 28 29 30 31 32 33 34 35 36 37 38
39 40 41 42 43 44 45 46 47 48 159 160
161 162 168 261 267 273 276 277 278 282 286 289
290 356 357 366 367 368 370

Tabla 144. Fase estratigráfica 11a. Distribución de hojas retocadas
Run Statistics Summary

CLUS	N	SSE1	SSE2	%SSE	Log(%SSE)	Srqt(SSE/N)
1	378	956	956	100.00	2.00	1.5903
2	378	498	498	52.10	1.72	1.1479
3	378	293	293	30.70	1.49	0.8812
4	378	216	216	22.64	1.35	0.7567
5	378	171	171	17.87	1.25	0.6723
6	378	135	135	14.14	1.15	0.5979
7	378	121	121	12.64	1.10	0.5655
8	378	108	108	11.29	1.05	0.5344

CLUS	nbar	nstd	RMSbar	RMSstd	n>2	r2wbar	r2wstd	K'
1	378.0	0.0	1.59	0.00	1	0.03	0.00	1.0000
2	189.0	32.0	1.12	0.14	2	0.04	0.02	1.0000
3	126.0	13.1	0.88	0.04	3	0.03	0.02	1.0000
4	94.5	5.5	0.76	0.04	4	0.04	0.03	1.0000
5	75.6	14.0	0.66	0.07	5	0.02	0.03	1.0000
6	63.0	14.3	0.58	0.06	6	0.01	0.01	1.0000
7	54.0	17.3	0.54	0.08	7	0.01	0.01	1.0000
8	47.3	21.3	0.51	0.06	8	0.02	0.05	1.0000

Tabla 145. Fase estratigráfica 11a. Distribución de hojas retocadas

	C	N	VAR	X	Y
3	1	126	0.823	-10.869	63.075
3	2	142	0.925	-9.544	60.982
3	3	110	0.888	-8.985	63.323
6	1	66	0.524	-11.209	63.257
6	2	63	0.579	-10.528	61.960
6	3	54	0.583	-9.955	63.720
6	4	90	0.708	-9.349	60.574
6	5	62	0.558	-9.166	62.273
6	6	43	0.553	-8.437	63.736

Tabla 144. Fase estratigráfica 11a. Distribución de lascas retocadas
2 Clusters - Final Clusters

CLUS	N	SSE1	SSE2	%SSE	Log(%SSE)	Srqt(SSE/N)
2	64	84	84	57.77	1.76	1.1454

CLUS	nbar	nstd	RMSbar	RMSstd	n>2	r2wbar	r2wstd	K'
2	32.0	8.0	1.18	0.20	2	0.07	0.04	1.0000

CLUS	n	RMS	K	r2	Slope
1	40	0.98	1.0000	0.10	0.24
2	24	1.38	1.0000	0.02	-0.12

CLUS VAR MEAN/STDDEV...

1 1: -10.40/ 0.78 2: 63.29/ 0.59

2 1: -9.27/ 1.09 2: 61.62/ 0.84

CLUS UNITS...

1	10	11	12	13	14	19	20	21	22	23	24	25
	26	27	28	29	30	31	32	33	34	35	36	39
	45	46	47	50	51	52	53	54	55	56	57	58
	59	60	61	64								
2	1	2	3	4	5	6	7	8	9	15	16	17
	18	37	38	40	41	42	43	44	48	49	62	63

Tabla 147. Fase estratigráfica 11a. Distribución de lascas retocadas
3 Clusters - Final Clusters

CLUS	N	SSE1	SSE2	%SSE	Log(%SSE)	Srqt(SSE/N)
3	64	59	59	40.60	1.61	0.9602

CLUS	nbar	nstd	RMSbar	RMSstd	n>2	r2wbar	r2wstd	K'
3	21.3	12.6	0.98	0.14	3	0.21	0.24	1.0000

CLUS	n	RMS	K	r2	Slope
1	39	0.90	1.0000	0.11	-0.50
2	14	1.17	1.0000	0.65	-0.56
3	11	0.86	1.0000	0.00	0.01

CLUS VAR MEAN/STDDEV...

1	1:	-10.64/	0.49	2:	62.87/	0.75
2	1:	-8.93/	0.96	2:	61.24/	0.67
3	1:	-8.98/	0.78	2:	63.76/	0.36

CLUS UNITS...

1	11	12	13	14	15	16	18	19	20	21	22	23
	26	27	28	29	30	31	32	33	34	35	36	42
	44	48	49	50	51	52	53	54	55	56	57	58
	60	61	62									
2	1	2	3	5	6	7	8	9	17	37	40	41
	43	63										
3	4	10	24	25	38	39	45	46	47	59	64	

Tabla 149. Fase estratigráfica 11a. Distribución de lascas retocadas
Run Statistics Summary

CLUS	N	SSE1	SSE2	%SSE	Log(%SSE)	Srqt(SSE/N)
1	64	145	145	100.00	2.00	1.5070
2	64	84	84	57.77	1.76	1.1454
3	64	59	59	40.60	1.61	0.9602
4	64	31	31	21.60	1.33	0.7004
5	64	25	25	17.29	1.24	0.6266
6	64	20	20	13.89	1.14	0.5617
7	64	17	17	11.42	1.06	0.5092
8	64	15	15	10.11	1.00	0.4792

CLUS	nbar	nstd	RMSbar	RMSstd	n>2	r2wbar	r2wstd	K'
1	64.0	0.0	1.51	0.00	1	0.13	0.00	1.0000
2	32.0	8.0	1.18	0.20	2	0.07	0.04	1.0000
3	21.3	12.6	0.98	0.14	3	0.21	0.24	1.0000
4	16.0	9.4	0.64	0.19	4	0.08	0.24	1.0000
5	12.8	5.2	0.59	0.15	5	0.10	0.23	1.0000
6	10.7	5.7	0.54	0.09	6	0.13	0.23	1.0000
7	9.1	4.3	0.50	0.08	7	0.30	0.23	1.0000
8	8.0	4.2	0.45	0.11	8	0.22	0.26	1.0000

Tabla 150. Fase estratigráfica 11a. Distribución de lascas retocadas

	C	N	VAR	X	Y
2	1	40	0.981	-10.404	63.295
2	2	24	1.376	-9.274	61.617
3	1	39	0.900	-10.637	62.868
3	2	14	1.173	-8.933	61.241
3	3	11	0.859	-8.982	63.759
4	1	29	0.690	-10.751	63.214
4	2	20	0.671	-9.911	61.730
4	3	4	0.347	-7.480	60.360
4	4	11	0.859	-8.982	63.759

Tabla 148. Fase estratigráfica I 1a. Distribución de lascas retocadas
4 Clusters - Final Clusters

CLUS	N	SSE1	SSE2	%SSE	Log(%SSE)	Srqt(SSE/N)
4	64	31	31	21.60	1.33	0.7004

CLUS	nbar	nstd	RMSbar	RMSstd	n>2	r2wbar	r2wstd	K'
4	16.0	9.4	0.64	0.19	4	0.08	0.24	1.0000

CLUS	n	RMS	K	r2	Slope
1	29	0.69	1.0000	0.03	-0.19
2	20	0.67	1.0000	0.00	-0.01
3	4	0.35	1.0000	1.00	-0.75
4	11	0.86	1.0000	0.00	0.01

CLUS VAR MEAN/STDDEV...

1	1:	-10.75/	0.47	2:	63.21/	0.51
2	1:	-9.91/	0.53	2:	61.73/	0.41
3	1:	-7.48/	0.28	2:	60.36/	0.21
4	1:	-8.98/	0.78	2:	63.76/	0.36

CLUS UNITS...

1	11	12	13	14	21	22	23	26	27	28	29	30
	31	32	33	34	35	36	50	51	52	53	54	55
	56	57	58	60	61							
2	5	6	7	8	9	15	16	17	18	19	20	40
	41	42	43	44	48	49	62	63				
3	1	2	3	37								
4	4	10	24	25	38	39	45	46	47	59	64	

Tabla 151. Fase estratigráfica 11a. Distribución de tipos
3 Clusters - Final Clusters

CLUS	N	SSE1	SSE2	%SSE	Log(%SSE)	Srqt(SSE/N)
3	12	3	2	2.43	0.39	0.5027

CLUS	nbar	nstd	RMSbar	RMSstd	n>2	r2wbar	r2wstd	K'
3	4.0	1.4	0.33	0.17	3	0.58	0.27	1.0000

CLUS	n	RMS	K	r2	Slope
1	6	0.53	1.0000	0.70	-1.61
2	3	0.12	1.0000	0.79	0.15
3	3	0.35	1.0000	0.12	0.32

CLUS VAR MEAN/STDDEV...

1	1:	-11.23/	0.24	2:	63.67/	0.47
2	1:	-8.80/	0.12	2:	61.46/	0.02
3	1:	-8.12/	0.25	2:	63.74/	0.23

CLUS UNITS...

1	12	15	16	19	21	26
2	28	29	30			
3	1	2	3			

Units Removed from the Analysis: 20

Unit	4	Closest to Cluster 2 - distance = 6.9E-0001
Unit	5	Closest to Cluster 2 - distance = 2.2E+0000
Unit	6	Closest to Cluster 2 - distance = 1.7E+0000
Unit	7	Closest to Cluster 2 - distance = 1.2E+0000
Unit	8	Closest to Cluster 2 - distance = 1.0E+0000
Unit	9	Closest to Cluster 3 - distance = 1.4E+0000
Unit	10	Closest to Cluster 2 - distance = 1.8E+0000
Unit	11	Closest to Cluster 1 - distance = 1.3E+0000
Unit	13	Closest to Cluster 1 - distance = 1.5E+0000
Unit	14	Closest to Cluster 1 - distance = 9.1E-0001
Unit	17	Closest to Cluster 1 - distance = 7.7E-0001
Unit	18	Closest to Cluster 1 - distance = 5.4E-0001
Unit	20	Closest to Cluster 1 - distance = 1.2E+0000
Unit	22	Closest to Cluster 2 - distance = 1.3E+0000
Unit	23	Closest to Cluster 3 - distance = 8.7E-0001
Unit	24	Closest to Cluster 3 - distance = 1.5E+0000
Unit	25	Closest to Cluster 1 - distance = 5.4E-0001
Unit	27	Closest to Cluster 1 - distance = 4.8E-0001
Unit	31	Closest to Cluster 1 - distance = 1.4E+0000
Unit	32	Closest to Cluster 1 - distance = 1.5E+0000

Tabla 152. Fase estratigráfica 11a. Distribución de tipos
4 Clusters - Final Clusters

CLUS	N	SSE1	SSE2	%SSE	Log(%SSE)	Srqt(SSE/N)
4	12	2	1	0.76	0.00	0.3644

CLUS	nbar	nstd	RMSbar	RMSstd	n>2	r2wbar	r2wstd	K'
4	3.0	0.0	0.22	0.08	4	0.27	0.30	1.0000

CLUS	n	RMS	K	r2	Slope
1	3	0.20	1.0000	0.12	0.57
2	3	0.12	1.0000	0.79	0.15
3	3	0.35	1.0000	0.12	0.32
4	3	0.21	1.0000	0.06	-0.42

CLUS VAR MEAN/STDDEV...

1	1:	-11.45/	0.10	2:	64.10/	0.17
2	1:	-8.80/	0.12	2:	61.46/	0.02
3	1:	-8.12/	0.25	2:	63.74/	0.23
4	1:	-11.01/	0.10	2:	63.23/	0.18

CLUS UNITS...

1	15	16	26
2	28	29	30
3	1	2	3
4	12	19	21

Units Removed from the Analysis: 20

Unit	4	Closest to Cluster 2 - distance = 6.9E-0001
Unit	5	Closest to Cluster 2 - distance = 2.2E+0000
Unit	6	Closest to Cluster 2 - distance = 1.7E+0000
Unit	7	Closest to Cluster 2 - distance = 1.2E+0000
Unit	8	Closest to Cluster 2 - distance = 1.0E+0000
Unit	9	Closest to Cluster 3 - distance = 1.4E+0000
Unit	10	Closest to Cluster 4 - distance = 1.3E+0000
Unit	11	Closest to Cluster 4 - distance = 8.0E-0001
Unit	13	Closest to Cluster 4 - distance = 1.1E+0000
Unit	14	Closest to Cluster 4 - distance = 6.7E-0001
Unit	17	Closest to Cluster 4 - distance = 5.6E-0001
Unit	18	Closest to Cluster 4 - distance = 7.0E-0001
Unit	20	Closest to Cluster 4 - distance = 8.2E-0001
Unit	22	Closest to Cluster 2 - distance = 1.3E+0000
Unit	23	Closest to Cluster 3 - distance = 8.7E-0001
Unit	24	Closest to Cluster 4 - distance = 1.5E+0000
Unit	25	Closest to Cluster 4 - distance = 5.9E-0001
Unit	27	Closest to Cluster 1 - distance = 5.1E-0001
Unit	31	Closest to Cluster 4 - distance = 9.2E-0001
Unit	32	Closest to Cluster 4 - distance = 1.2E+0000

Tabla 153. Fase estratigráfica 11a. Distribución de tipos
Run Statistics Summary

CLUS	N	SSE1	SSE2	%SSE	Log(%SSE)	Srqt(SSE/N)
1	32	86	86	100.00	2.00	1.6401
2	12	12	11	12.30	1.09	0.9803
3	12	3	2	2.43	0.39	0.5027
4	12	2	1	0.76	0.00	0.3644

CLUS	nbar	nstd	RMSbar	RMSstd	n>2	r2wbar	r2wstd	K'
1	32.0	0.0	1.64	0.00	1	0.07	0.00	1.0000
2	6.0	0.0	0.87	0.34	2	0.74	0.04	1.0000
3	4.0	1.4	0.33	0.17	3	0.58	0.27	1.0000
4	3.0	0.0	0.22	0.08	4	0.27	0.30	1.0000

Tabla 154. Fase estratigráfica 11a. Distribución de tipos

	N	C	VAR	X	Y
3	1	6	0.530	-11.228	63.667
3	2	3	0.125	-8.803	61.463
3	3	3	0.345	-8.120	63.743
4	1	3	0.196	-11.450	64.103
4	2	3	0.125	-8.803	61.463
4	3	3	0.345	-8.120	63.743
4	4	3	0.211	-11.007	63.230

Tabla 155. Fase estratigráfica 11b. Distribución hojas con retoque
2 Clusters - Final Clusters

CLUS	N	SSE1	SSE2	%SSE	Log(%SSE)	Srqt(SSE/N)
2	517	652	652	41.63	1.62	1.1232

CLUS	nbar	nstd	RMSbar	RMSstd	n>2	r2wbar	r2wstd	K'
2	258.5	20.5	1.12	0.06	2	0.02	0.00	1.0000

CLUS	n	RMS	K	r2	Slope
1	279	1.17	1.0000	0.02	-0.14
2	238	1.06	1.0000	0.01	-0.11

CLUS VAR MEAN/STDDEV...

1	1:	-10.57/	0.85	2:	63.03/	0.81
2	1:	-9.11/	0.80	2:	60.80/	0.70

CLUS UNITS...

1	26	29	30	31	32	33	34	35	36	37	38	39
	40	41	42	43	44	45	48	49	50	51	52	53
	75	76	77	78	79	80	81	82	83	84	85	86
	87	88	89	90	91	92	93	94	95	96	97	98
	99	100	101	102	212	214	218	219	221	222	223	224
	231	234	236	237	241	242	243	244	246	249	256	257
	258	259	261	262	267	268	269	271	274	275	277	278
	282	284	290	291	294	295	296	297	298	299	300	301
	302	303	304	305	306	307	308	309	310	311	312	313
	314	315	316	317	318	319	320	321	322	323	324	325
	326	327	328	329	330	331	332	334	335	336	337	338
	339	340	342	343	344	346	347	348	349	350	351	352
	353	354	355	356	357	358	359	360	361	362	363	364
	365	366	367	368	369	371	372	373	374	375	376	377
	378	379	380	381	382	383	384	385	386	387	388	389
	390	391	394	395	396	397	398	399	400	401	402	403
	404	405	406	407	408	409	410	411	412	413	414	415
	416	417	418	419	420	421	422	423	424	425	426	427
	428	429	430	431	432	433	434	435	436	437	438	439
	440	441	442	443	444	445	446	447	448	476	477	478
	479	480	481	482	483	484	485	486	487	488	489	490
	491	492	493	494	495	496	497	498	499	500	501	502
	503	504	505	506	507	508	509	510	511	512	513	514
	515	516	517									
2	1	2	3	4	5	6	7	8	9	10	11	12
	13	14	15	16	17	18	19	20	21	22	23	24
	25	27	28	46	47	54	55	56	57	58	59	60
	61	62	63	64	65	66	67	68	69	70	71	72
	73	74	103	104	105	106	107	108	109	110	111	112
	113	114	115	116	117	118	119	120	121	122	123	124

125 126 127 128 129 130 131 132 133 134 135 136
137 138 139 140 141 142 143 144 145 146 147 148
149 150 151 152 153 154 155 156 157 158 159 160
161 162 163 164 165 166 167 168 169 170 171 172
173 174 175 176 177 178 179 180 181 182 183 184
185 186 187 188 189 190 191 192 193 194 195 196
197 198 199 200 201 202 203 204 205 206 207 208
209 210 211 213 215 216 217 220 225 226 227 228
229 230 232 233 235 238 239 240 245 247 248 250
251 252 253 254 255 260 263 264 265 266 270 272
273 276 279 280 281 283 285 286 287 288 289 292
293 333 341 345 370 392 393 449 450 451 452 453
454 455 456 457 458 459 460 461 462 463 464 465
466 467 468 469 470 471 472 473 474 475

3 1 2 3 4 5 54 55 56 57 58 59 60
61 62 63 65 66 67 68 69 70 71 72 73
74
4 10 19 20 21 22 23 24 25 26 27 28 29
30 174 210 211 212 213 214 215 216 217 218 219
220 221 222 223 224 225 226 227 228 229 230 231
232 233 234 235 236 237 238 239 240 241 242 243
244 245 246 247 248 249 250 251 252 253 254 255
256 257 258 259 260 261 262 263 264 265 266 267
268 269 270 271 272 273 274 275 276 277 278 279
280 281 282 283 284 285 286 287 288 289 290 291
292 293 294 295 313 327 329 333 358 359 365 368
388 392 393
5 34 35 36 37 76 77 78 79 80 99 334 335
336 337 338 339 340 341 342 343 344 345 346 347
348 349 350 351 352 353 354 355 356 357 360 361
362 363 364 366 367 369 370 371 372 373 374 375
376 377 378 379 380 381 382 383 384 385 386 387
389 390 391 394 395 396 397 398 399 400 401 402
403 404 406 407 415 429 476 491
6 31 32 33 39 42 296 297 298 299 300 301 302
303 304 305 306 307 308 309 310 311 312 314 315
316 317 318 319 320 321 322 323 324 325 326 328
330 331 332 405 414 425 430 433 441 443

Tabla 157. Fase estratigráfica 11b. Distribución hojas con retoque
Run Statistics Summary

CLUS	N	SSE1	SSE2	%SSE	Log(%SSE)	Srqt(SSE/N)
1	517	1567	1567	100.00	2.00	1.7409
2	517	652	652	41.63	1.62	1.1232
3	517	441	441	28.12	1.45	0.9232
4	517	333	333	21.27	1.33	0.8030
5	517	233	233	14.89	1.17	0.6719
6	517	177	177	11.33	1.05	0.5859
7	517	157	157	10.03	1.00	0.5513
8	517	152	152	9.69	0.99	0.5419

CLUS	nbar	nstd	RMSbar	RMSstd	n>2	r2wbar	r2wstd	K'
1	517.0	0.0	1.74	0.00	1	0.36	0.00	1.0000
2	258.5	20.5	1.12	0.06	2	0.02	0.00	1.0000
3	172.3	30.1	0.90	0.11	3	0.09	0.07	1.0000
4	129.3	64.5	0.75	0.13	4	0.09	0.08	1.0000
5	103.4	48.4	0.67	0.04	5	0.02	0.02	1.0000
6	86.2	41.4	0.60	0.04	6	0.02	0.02	1.0000
7	73.9	34.0	0.57	0.06	7	0.05	0.04	1.0000
8	64.6	39.0	0.55	0.04	8	0.04	0.04	1.0000

Tabla 158. Fase estratigráfica 11b. Distribución hojas con retoque

	C	N	VAR	X	Y
2	1	279	1.174	-10.572	63.034
2	2	238	1.061	-9.109	60.802
6	1	107	0.561	-11.252	63.722
6	2	148	0.565	-9.328	60.439
6	3	25	0.660	-7.084	60.552
6	4	111	0.563	-9.446	62.038
6	5	80	0.637	-10.873	62.141
6	6	46	0.625	-9.509	63.542

Tabla 159. Fase estratigráfica 11b. Distribución de lascas con retoque
2 Clusters - Final Clusters

CLUS	N	SSE1	SSE2	%SSE	Log(%SSE)	Srqt(SSE/N)
2	123	161	161	46.42	1.67	1.1428

CLUS	nbar	nstd	RMSbar	RMSstd	n>2	r2wbar	r2wstd	K'
2	61.5	7.5	1.15	0.08	2	0.02	0.01	1.0000

CLUS	n	RMS	K	r2	Slope
1	54	1.23	1.0000	0.00	-0.03
2	69	1.07	1.0000	0.03	-0.17

CLUS VAR MEAN/STDDEV...

1	1:	-10.49/	0.91	2:	63.11/	0.83
2	1:	-9.26/	0.74	2:	60.96/	0.77

CLUS UNITS...

1	6	7	8	9	31	34	35	36	37	38	39	40
	43	44	45	46	47	48	50	51	52	53	54	55
	56	57	58	61	62	63	64	65	86	88	91	92
	94	100	102	105	106	107	108	109	110	112	113	115
	116	117	120	121	122	123						
2	1	2	3	4	5	10	11	12	13	14	15	16
	17	18	19	20	21	22	23	24	25	26	27	28
	29	30	32	33	41	42	49	59	60	66	67	68
	69	70	71	72	73	74	75	76	77	78	79	80
	81	82	83	84	85	87	89	90	93	95	96	97
	98	99	101	103	104	111	114	118	119			

Tabla 160. Fase estratigráfica 11b. Distribución de lascas con retoque
3 Clusters - Final Clusters

CLUS	N	SSE1	SSE2	%SSE	Log(%SSE)	Srqt(SSE/N)
3	123	110	110	31.66	1.50	0.9438

CLUS	nbar	nstd	RMSbar	RMSstd	n>2	r2wbar	r2wstd	K'
3	41.0	7.3	0.96	0.14	3	0.04	0.04	1.0000

CLUS	n	RMS	K	r2	Slope
1	34	1.12	1.0000	0.10	0.22
2	51	0.78	1.0000	0.03	0.14
3	38	0.97	1.0000	0.01	0.04

CLUS VAR MEAN/STDDEV...

1 1: -10.77/ 0.92 2: 63.58/ 0.65
 2 1: -9.71/ 0.62 2: 61.93/ 0.48
 3 1: -9.06/ 0.85 2: 60.38/ 0.47

CLUS UNITS...

1 6 7 8 9 34 35 37 39 40 44 48 50
 51 52 53 54 55 56 57 58 61 62 63 64
 65 86 105 107 108 116 120 121 122 123
 2 20 21 22 23 24 25 26 27 28 29 30 31
 32 33 36 38 42 43 45 46 47 49 66 68
 83 87 88 89 90 91 92 93 94 95 96 98
 99 100 101 102 103 104 106 109 110 111 112 113
 114 115 117
 3 1 2 3 4 5 10 11 12 13 14 15 16
 17 18 19 41 59 60 67 69 70 71 72 73
 74 75 76 77 78 79 80 81 82 84 85 97
 118 119

Tabla 162. Fase estratigráfica 11b. Distribución de lascas con retoque
Run Statistics Summary

CLUS	N	SSE1	SSE2	%SSE	Log(%SSE)	Srqt(SSE/N)
1	123	346	346	100.00	2.00	1.6774
2	123	161	161	46.42	1.67	1.1428
3	123	110	110	31.66	1.50	0.9438
4	123	88	88	25.53	1.41	0.8475
5	123	61	61	17.68	1.25	0.7053
6	123	42	42	12.28	1.09	0.5878
7	123	40	40	11.54	1.06	0.5699

CLUS	nbar	nstd	RMSbar	RMSstd	n>2	r2wbar	r2wstd	K'
1	123.0	0.0	1.68	0.00	1	0.28	0.00	1.0000
2	61.5	7.5	1.15	0.08	2	0.02	0.01	1.0000
3	41.0	7.3	0.96	0.14	3	0.04	0.04	1.0000
4	30.8	15.1	0.81	0.19	4	0.07	0.02	1.0000
5	24.6	14.4	0.69	0.11	5	0.01	0.02	1.0000
6	20.5	10.9	0.59	0.09	6	0.01	0.01	1.0000
7	17.6	12.3	0.52	0.12	7	0.03	0.13	1.0000

Tabla 163. Fase estratigráfica 11b. Distribución de lascas con retoque

	C	N	VAR	X	Y
2	1	54	1.231	-10.488	63.112
2	2	69	1.069	-9.265	60.961
3	1	34	1.122	-10.768	63.575
3	2	51	0.782	-9.711	61.930
3	3	38	0.968	-9.059	60.379
6	1	17	0.534	-11.294	63.879
6	2	25	0.507	-9.465	60.218
6	3	7	0.718	-7.496	60.326
6	4	40	0.559	-9.362	61.744
6	5	10	0.524	-9.309	63.859
6	6	24	0.718	-10.706	62.180

Tabla 161. Fase estratigráfica 11b. Distribución de lascas con retoque
6 Clusters - Final Clusters

CLUS	N	SSE1	SSE2	%SSE	Log(%SSE)	Srqt(SSE/N)
6	123	42	42	12.28	1.09	0.5878

CLUS	nbar	nstd	RMSbar	RMSstd	n>2	r2wbar	r2wstd	K'
6	20.5	10.9	0.59	0.09	6	0.01	0.01	1.0000

CLUS	n	RMS	K	r2	Slope
1	17	0.53	1.0000	0.00	0.00
2	25	0.51	1.0000	0.01	0.13
3	7	0.72	1.0000	0.06	0.10
4	40	0.56	1.0000	0.00	0.07
5	10	0.52	1.0000	0.03	0.17
6	24	0.72	1.0000	0.00	0.03

CLUS VAR MEAN/STDDEV...

1	1:	-11.29/	0.46	2:	63.88/	0.27
2	1:	-9.46/	0.31	2:	60.22/	0.40
3	1:	-7.50/	0.67	2:	60.33/	0.26
4	1:	-9.36/	0.30	2:	61.74/	0.47
5	1:	-9.31/	0.37	2:	63.86/	0.37
6	1:	-10.71/	0.52	2:	62.18/	0.49

CLUS UNITS...

1	7	8	9	51	52	53	54	55	56	57	58	64
	65	86	120	122	123							
2	10	11	12	13	14	15	16	17	18	19	41	67
	69	71	72	73	76	77	79	80	81	82	84	118
	119											
3	1	2	3	4	5	59	60					
4	20	21	22	23	24	25	26	27	28	29	30	32
	33	66	68	70	74	75	78	83	85	87	88	89
	90	91	92	93	94	95	96	97	98	99	100	101
	102	103	104	106								
5	34	35	36	37	38	39	40	105	107	108		
6	6	31	42	43	44	45	46	47	48	49	50	61
	62	63	109	110	111	112	113	114	115	116	117	121

Tabla 164. Fase estratigráfica 11b. Distribución de tipos
2 Clusters - Final Clusters

CLUS	N	SSE1	SSE2	%SSE	Log(%SSE)	Srqt(SSE/N)
2	38	40	38	25.17	1.40	1.0307

CLUS	nbar	nstd	RMSbar	RMSstd	n>2	r2wbar	r2wstd	K'
2	19.0	4.0	0.99	0.03	2	0.15	0.12	1.0000

CLUS	n	RMS	K	r2	Slope
1	15	0.96	1.0000	0.00	0.04
2	23	1.03	1.0000	0.24	-0.41

CLUS VAR MEAN/STDDEV...

1 1: -10.72/ 0.67 2: 63.70/ 0.68
2 1: -9.24/ 0.79 2: 60.74/ 0.66

CLUS UNITS...

1 19 20 21 23 24 25 26 27 28 29 35 36
37 38 39
2 1 2 3 4 5 8 9 10 11 12 13 14
15 16 17 18 22 30 31 32 33 34 40

Units Removed from the Analysis: 2

Unit 6 Closest to Cluster 1 - distance = 1.4E+0000
Unit 7 Closest to Cluster 1 - distance = 1.4E+0000

Tabla 165. Fase estratigráfica 11b. Distribución de tipos
3 Clusters - Final Clusters

CLUS	N	SSE1	SSE2	%SSE	Log(%SSE)	Srqt(SSE/N)
3	38	24	21	14.09	1.15	0.7889

CLUS	nbar	nstd	RMSbar	RMSstd	n>2	r2wbar	r2wstd	K'
3	12.7	2.9	0.75	0.01	3	0.08	0.10	1.0000

CLUS	n	RMS	K	r2	Slope
1	13	0.75	1.0000	0.21	-0.18
2	16	0.74	1.0000	0.00	-0.00
3	9	0.77	1.0000	0.02	-0.13

CLUS VAR MEAN/STDDEV...

1	1:	-10.67/	0.70	2:	63.94/	0.27
2	1:	-8.88/	0.62	2:	60.41/	0.39
3	1:	-10.29/	0.55	2:	61.63/	0.53

CLUS UNITS...

1	19	20	21	25	26	27	28	29	35	36	37	38
	39											
2	1	2	3	4	5	9	10	12	13	14	15	30
	31	32	33	34								
3	8	11	16	17	18	22	23	24	40			

Units Removed from the Analysis: 2

Unit	6	Closest to Cluster 1 - distance =	1.3E+0000
Unit	7	Closest to Cluster 1 - distance =	1.6E+0000

Tabla 167. Fase estratigráfica 11b. Distribución de tipos
Run Statistics Summary

CLUS	N	SSE1	SSE2	%SSE	Log(%SSE)	Srqt(SSE/N)
1	40	151	151	100.00	2.00	1.9419
2	38	40	38	25.17	1.40	1.0307
3	38	24	21	14.09	1.15	0.7889
4	38	18	16	10.61	1.03	0.6958
5	40	13	13	8.59	0.93	0.5691
6	38	8	8	5.36	0.73	0.4611
7	38	6	6	3.96	0.60	0.3965
8	38	5	5	3.07	0.49	0.3493

CLUS	nbar	nstd	RMSbar	RMSstd	n>2	r2wbar	r2wstd	K'
1	40.0	0.0	1.94	0.00	1	0.53	0.00	1.0000
2	19.0	4.0	0.99	0.03	2	0.15	0.12	1.0000
3	12.7	2.9	0.75	0.01	3	0.08	0.10	1.0000
4	9.5	3.6	0.61	0.15	4	0.10	0.10	1.0000
5	8.0	3.1	0.54	0.12	5	0.10	0.17	1.0000
6	6.3	2.1	0.44	0.10	6	0.18	0.19	1.0000
7	5.4	1.9	0.39	0.07	7	0.37	0.21	1.0000
8	4.8	2.1	0.31	0.13	7	0.36	0.22	1.0000

Tabla 168. Fase estratigráfica 11b. Distribución de tipos

	C	N	VAR	X	Y	
	2	1	15	0.958	-10.722	63.695
	2	2	23	1.026	-9.239	60.742
	3	1	13	0.748	-10.672	63.942
	3	2	16	0.736	-8.877	60.413
	3	3	9	0.769	-10.286	61.626
	5	1	5	0.444	-9.874	63.758
	5	2	13	0.567	-9.346	60.522
	5	3	7	0.736	-10.401	61.811
	5	4	5	0.390	-8.058	60.354
	5	5	10	0.569	-11.312	63.940

Tabla 166. Fase estratigráfica 11b. Distribución de tipos
5 Clusters - Final Clusters

CLUS	N	SSE1	SSE2	%SSE	Log(%SSE)	Srqt(SSE/N)
5	40	13	13	8.59	0.93	0.5691

CLUS	nbar	nstd	RMSbar	RMSstd	n>2	r2wbar	r2wstd	K'
5	8.0	3.1	0.54	0.12	5	0.10	0.17	1.0000

CLUS	n	RMS	K	r2	Slope
1	5	0.44	1.0000	0.51	0.47
2	13	0.57	1.0000	0.00	-0.06
3	7	0.74	1.0000	0.03	0.14
4	5	0.39	1.0000	0.17	-0.27
5	10	0.57	1.0000	0.03	0.19

CLUS VAR MEAN/STDDEV...

1	1:	-9.87/	0.37	2:	63.76/	0.24
2	1:	-9.35/	0.34	2:	60.52/	0.45
3	1:	-10.40/	0.58	2:	61.81/	0.46
4	1:	-8.06/	0.33	2:	60.35/	0.21
5	1:	-11.31/	0.36	2:	63.94/	0.44

CLUS UNITS...

1	19	20	21	25	27							
2	8	9	10	11	12	13	14	15	30	31	32	33
												34
3	16	17	18	22	23	24	40					
4	1	2	3	4	5							
5	6	7	26	28	29	35	36	37	38	39		

Units Removed from the Analysis: 0

Tabla 169. Fase estratigráfica 12. Distribución de la industria
2 Clusters - Final Clusters

CLUS	N	SSE1	SSE2	%SSE	Log(%SSE)	Srqt(SSE/N)
2	1015	737	737	21.61	1.33	0.8524

CLUS	nbar	nstd	RMSbar	RMSstd	n>2	r2wbar	r2wstd	K'
2	507.5	126.5	0.88	0.20	2	0.00	0.00	1.0000

CLUS	n	RMS	K	r2	Slope
1	634	0.68	1.0000	0.00	-0.02
2	381	1.08	1.0000	0.01	0.12

CLUS VAR MEAN/STDDEV...

1	1:	-12.12/	0.46	2:	63.51/	0.51
2	1:	-8.84/	0.60	2:	62.86/	0.89

CLUS UNITS...

1	1	4	5	6	7	8	11	13	14	28	29	30
	31	53	54	55	56	57	58	59	60	61	62	63
	64	65	66	67	68	69	70	71	72	73	74	75
	76	77	78	79	80	81	82	83	84	85	86	87
	88	89	90	91	92	93	94	95	96	97	98	99
	100	101	102	103	104	105	106	107	108	109	110	111
	112	113	114	115	116	117	118	119	120	121	122	123
	124	125	126	127	128	129	130	131	132	133	134	135
	136	137	138	139	140	141	143	144	145	146	147	148
	152	155	156	185	186	187	188	189	195	203	204	205
	206	207	213	221	222	223	224	225	226	227	228	229
	230	231	232	233	234	235	236	237	238	239	240	241
	242	243	244	245	246	247	248	249	250	251	252	253
	254	255	256	257	258	259	260	261	262	263	264	265
	266	267	268	269	270	271	272	273	274	275	276	277
	278	279	280	281	282	283	284	285	286	287	288	289
	290	291	292	293	294	295	296	297	298	299	300	301
	302	303	304	305	306	307	308	309	310	311	312	313
	314	315	316	317	318	319	320	321	322	323	324	325
	326	327	328	329	330	331	332	333	334	335	336	337
	338	339	340	341	342	343	344	345	346	347	348	349
	350	351	352	353	354	355	356	357	358	359	360	361
	362	363	364	365	366	367	368	369	370	371	372	373
	374	375	376	377	378	379	380	381	382	383	384	385
	386	387	388	389	390	391	392	393	394	395	396	397
	398	399	400	401	402	403	404	405	406	407	408	409
	410	411	412	413	414	415	416	417	418	419	420	421
	422	423	424	425	426	427	428	429	430	431	432	433
	434	435	436	437	438	439	440	441	442	443	444	445
	446	447	448	449	450	451	452	453	454	455	456	457

458 459 460 461 462 463 464 465 466 467 468 469
470 471 472 473 474 475 476 477 478 479 480 481
482 483 484 485 486 487 488 489 490 491 492 493
494 495 496 497 498 499 500 501 502 503 504 505
506 507 508 509 510 511 512 513 514 515 516 517
518 519 520 521 522 523 524 525 526 527 528 529
530 531 532 533 534 535 536 537 538 539 540 541
542 543 544 545 546 547 548 549 550 551 552 553
554 555 556 557 558 559 560 561 562 563 564 565
566 567 568 569 570 571 572 573 574 575 576 577
578 579 580 581 582 583 584 585 586 587 588 589
590 591 592 593 594 595 596 597 598 599 600 601
602 603 604 605 606 607 608 609 610 611 612 613
614 615 616 617 618 619 620 621 622 623 624 625
626 627 628 629 630 631 632 633 634 635 636 637
638 639 640 641 642 643 644 645 646 647 648 649
650 651 652 653 654 655 656 657 658 659 660 661
662 663 664 665 666 667 668 669 670 671 672 673
674 675 676 677 691 692 693 694 695 696 697 698
699 700 701 702 703 753 764 765 766 767 768 769
770 771 772 773 945 953 955 956 957 958 959 960
961 962 963 965 975 981 984 998 1003 1004 1005 1006
1007 1008 1009 1010 1011 1012 1013 1014 1015 1016
2 2 3 9 10 15 16 17 18 19 20 21 22
23 24 25 26 27 32 33 34 35 36 37 38
39 40 41 42 43 44 45 46 47 48 49 50
51 52 142 149 150 151 153 154 157 158 159 160
161 162 163 164 165 166 167 168 169 170 171 172
173 174 175 176 177 178 179 180 181 182 183 184
190 191 192 193 194 196 197 198 199 200 201 202
208 209 210 211 212 214 215 216 217 218 219 220
678 679 680 681 682 683 684 685 686 687 688 689
690 704 705 706 707 708 709 710 711 712 713 714
715 716 717 718 719 720 721 722 723 724 725 726
727 728 729 730 731 732 733 734 735 736 737 738
739 740 741 742 743 744 745 746 747 748 749 750
751 752 754 755 756 757 758 759 760 761 762 763
774 775 776 777 778 779 780 781 782 783 784 785
786 787 788 789 790 791 792 793 794 795 796 797
798 799 800 801 802 803 804 805 806 807 808 809
810 811 812 813 814 815 816 817 818 819 820 821
822 823 824 825 826 827 828 829 830 831 832 833
834 835 836 837 838 839 840 841 842 843 844 845
846 847 848 849 850 851 852 853 854 855 856 857
858 859 860 861 862 863 864 865 866 867 868 869
870 871 872 873 874 875 876 877 878 879 880 881
882 883 884 885 886 887 888 889 890 891 892 893
894 895 896 897 898 899 900 901 902 903 904 905
906 907 908 909 910 911 912 913 914 915 916 917

918 919 920 921 922 923 924 925 926 927 928 929
930 931 932 933 934 935 936 937 938 939 940 941
942 943 944 946 947 948 949 950 951 952 954 964
966 967 968 969 970 971 972 973 974 976 977 978
979 980 982 983 985 986 987 988 989 990 991 992
993 994 995 996 997 999 1000 1001 1002

Units Removed from the Analysis: 1

Unit 12 Closest to Cluster 1 - distance = 4.0E+0000

Tabla 170. Fase estratigráfica 12. Distribución de la industria
4 Clusters - Final Clusters

CLUS	N	SSE1	SSE2	%SSE	Log(%SSE)	Srqt(SSE/N)
4	1015	391	391	11.46	1.06	0.6205

CLUS	nbar	nstd	RMSbar	RMSstd	n>2	r2wbar	r2wstd	K'
4	253.8	232.3	0.60	0.12	4	0.02	0.04	1.0000

CLUS	n	RMS	K	r2	Slope
1	632	0.68	1.0000	0.00	-0.00
2	246	0.50	1.0000	0.05	-0.27
3	23	0.77	1.0000	0.19	-0.14
4	114	0.47	1.0000	0.05	0.13

CLUS VAR MEAN/STDDEV...

1	1:	-12.13/	0.45	2:	63.51/	0.51
2	1:	-9.21/	0.32	2:	62.69/	0.38
3	1:	-7.99/	0.73	2:	60.21/	0.23
4	1:	-8.26/	0.41	2:	63.75/	0.24

CLUS UNITS...

1	1	4	5	6	7	8	11	13	14	29	30	31
	53	54	55	56	57	58	59	60	61	62	63	64
	65	66	67	68	69	70	71	72	73	74	75	76
	77	78	79	80	81	82	83	84	85	86	87	88
	89	90	91	92	93	94	95	96	97	98	99	100
	101	102	103	104	105	106	107	108	109	110	111	112
	113	114	115	116	117	118	119	120	121	122	123	124
	125	126	127	128	129	130	131	132	133	134	135	136
	137	138	139	140	141	143	144	145	146	147	148	152
	156	185	186	187	188	189	195	203	204	205	206	207
	213	221	222	223	224	225	226	227	228	229	230	231
	232	233	234	235	236	237	238	239	240	241	242	243
	244	245	246	247	248	249	250	251	252	253	254	255
	256	257	258	259	260	261	262	263	264	265	266	267
	268	269	270	271	272	273	274	275	276	277	278	279
	280	281	282	283	284	285	286	287	288	289	290	291
	292	293	294	295	296	297	298	299	300	301	302	303
	304	305	306	307	308	309	310	311	312	313	314	315
	316	317	318	319	320	321	322	323	324	325	326	327
	328	329	330	331	332	333	334	335	336	337	338	339
	340	341	342	343	344	345	346	347	348	349	350	351
	352	353	354	355	356	357	358	359	360	361	362	363
	364	365	366	367	368	369	370	371	372	373	374	375
	376	377	378	379	380	381	382	383	384	385	386	387
	388	389	390	391	392	393	394	395	396	397	398	399
	400	401	402	403	404	405	406	407	408	409	410	411

412 413 414 415 416 417 418 419 420 421 422 423
424 425 426 427 428 429 430 431 432 433 434 435
436 437 438 439 440 441 442 443 444 445 446 447
448 449 450 451 452 453 454 455 456 457 458 459
460 461 462 463 464 465 466 467 468 469 470 471
472 473 474 475 476 477 478 479 480 481 482 483
484 485 486 487 488 489 490 491 492 493 494 495
496 497 498 499 500 501 502 503 504 505 506 507
508 509 510 511 512 513 514 515 516 517 518 519
520 521 522 523 524 525 526 527 528 529 530 531
532 533 534 535 536 537 538 539 540 541 542 543
544 545 546 547 548 549 550 551 552 553 554 555
556 557 558 559 560 561 562 563 564 565 566 567
568 569 570 571 572 573 574 575 576 577 578 579
580 581 582 583 584 585 586 587 588 589 590 591
592 593 594 595 596 597 598 599 600 601 602 603
604 605 606 607 608 609 610 611 612 613 614 615
616 617 618 619 620 621 622 623 624 625 626 627
628 629 630 631 632 633 634 635 636 637 638 639
640 641 642 643 644 645 646 647 648 649 650 651
652 653 654 655 656 657 658 659 660 661 662 663
664 665 666 667 668 669 670 671 672 673 674 675
676 677 691 692 693 694 695 696 697 698 699 700
701 702 703 753 764 765 766 767 768 769 770 771
772 773 945 953 955 956 957 958 959 960 961 962
963 965 975 981 984 998 1003 1004 1005 1006 1007 1008

1009 1010 1011 1012 1013 1014 1015 1016

2 3 25 28 32 33 34 35 36 37 38 39 40
41 42 43 44 45 46 47 48 49 50 51 52
142 155 157 158 159 160 161 162 163 164 165 166
167 168 169 170 171 172 173 174 175 176 177 178
179 180 181 182 183 184 190 201 202 208 219 220
681 682 683 684 685 686 687 688 689 690 755 758
759 760 761 779 780 781 782 783 784 785 786 787
788 789 790 791 792 793 794 795 796 797 798 799
800 801 802 803 804 805 806 807 808 809 810 811
812 813 814 815 816 817 818 819 820 821 822 823
824 834 835 836 837 838 839 840 841 842 843 844
845 846 847 848 849 850 851 852 853 854 855 856
857 858 859 860 861 862 863 864 865 866 867 868
869 870 871 872 873 874 875 876 877 878 879 880
881 882 883 884 885 886 887 888 889 890 891 892
893 894 895 896 897 898 899 900 901 902 903 904
905 906 907 908 909 910 911 912 913 914 915 916
917 918 919 920 921 922 923 924 925 926 927 928
929 930 931 932 933 934 935 936 937 938 939 940
941 942 943 951 952 954 986 987 988 989 990 992
993 995 996 999 1000 1002

3 10 24 27 200 218 825 826 827 828 829 830 831

	832	833	944	973	974	976	977	979	980	991	1001	
4	2	9	15	16	17	18	19	20	21	22	23	26
	149	150	151	153	154	191	192	193	194	196	197	198
	199	209	210	211	212	214	215	216	217	678	679	680
	704	705	706	707	708	709	710	711	712	713	714	715
	716	717	718	719	720	721	722	723	724	725	726	727
	728	729	730	731	732	733	734	735	736	737	738	739
	740	741	742	743	744	745	746	747	748	749	750	751
	752	754	756	757	762	763	774	775	776	777	778	946
	947	948	949	950	964	966	967	968	969	970	971	972
	978	982	983	985	994	997						

Units Removed from the Analysis: 1

Unit 12 Closest to Cluster 1 - distance = 4.0E+0000

Tabla 171. Fase estratigráfica 12. Distribución de la industria
Run Statistics Summary

CLUS	N	SSE1	SSE2	%SSE	Log(%SSE)	Srqt(SSE/N)
1	1016	3412	3412	100.00	2.00	1.8325
2	1015	737	737	21.61	1.33	0.8524
3	1015	548	548	16.06	1.21	0.7347
4	1015	391	391	11.46	1.06	0.6205
5	1015	368	368	10.80	1.03	0.6025
6	1015	343	343	10.05	1.00	0.5813
7	1015	333	333	9.75	0.99	0.5725
8	1015	323	323	9.47	0.98	0.5641

CLUS	nbar	nstd	RMSbar	RMSstd	n>2	r2wbar	r2wstd	K'
1	1016.0	0.0	1.83	0.00	1	0.14	0.00	1.0000
2	507.5	126.5	0.88	0.20	2	0.00	0.00	1.0000
3	338.3	249.8	0.76	0.05	3	0.14	0.19	1.0000
4	253.8	232.3	0.60	0.12	4	0.02	0.04	1.0000
5	203.0	225.6	0.60	0.13	5	0.01	0.03	1.0000
6	169.2	208.9	0.52	0.19	6	0.02	0.03	1.0000
7	145.0	202.1	0.43	0.18	7	0.02	0.05	1.0000
8	126.9	194.6	0.43	0.18	8	0.02	0.05	1.0000

Tabla 172. Fase estratigráfica 12. Distribución de la industria

	C	N	VAR	X	Y
2	1	634	0.683	-12.122	63.505
2	2	381	1.077	-8.845	62.858
4	1	632	0.679	-12.127	63.507
4	2	246	0.498	-9.211	62.691
4	3	23	0.768	-7.986	60.210
4	4	114	0.471	-8.259	63.754

Tabla 173. Fase estratigráfica 12. Distribución de la producción laminar
2 Clusters - Final Clusters

CLUS	N	SSE1	SSE2	%SSE	Log(%SSE)	Srqt(SSE/N)
2	236	230	230	24.12	1.38	0.9873

CLUS	nbar	nstd	RMSbar	RMSstd	n>2	r2wbar	r2wstd	K'
2	118.0	9.0	0.98	0.24	2	0.03	0.01	1.0000

CLUS	n	RMS	K	r2	Slope
1	127	0.74	1.0000	0.04	-0.22
2	109	1.21	1.0000	0.02	-0.17

CLUS VAR MEAN/STDDEV...

1 1: -12.11/ 0.49 2: 63.60/ 0.55
2 1: -8.71/ 0.71 2: 62.89/ 0.99

CLUS UNITS...

1	1	4	5	6	7	8	9	10	24	25	26	27
	49	50	51	52	53	54	55	56	57	58	59	60
	61	62	63	64	65	66	67	68	69	70	71	72
	73	74	75	76	77	78	79	80	81	82	83	84
	85	86	87	88	89	90	91	92	93	94	95	96
	97	98	99	100	101	102	103	104	105	106	107	108
	109	110	111	112	113	114	115	116	117	118	119	120
	121	122	123	124	125	126	127	128	129	130	131	132
	133	134	135	136	137	139	140	141	142	143	144	148
	151	152	181	182	183	184	185	191	199	201	211	217
	220	232	233	234	235	236	237					
2	2	3	11	12	13	14	15	16	17	18	19	20
	21	22	23	28	29	30	31	32	33	34	35	36
	37	38	39	40	41	42	43	44	45	46	47	48
	138	145	146	147	149	150	153	154	155	156	157	158
	159	160	161	162	163	164	165	166	167	168	169	170
	171	172	173	174	175	176	177	178	179	180	186	187
	188	189	190	192	193	194	195	196	197	198	200	202
	203	204	205	206	207	208	209	210	212	213	214	215
	216	218	219	221	222	223	224	225	226	228	229	230
	231											

Units Removed from the Analysis: 1

Unit 227 Closest to Cluster 2 - distance = 3.0E+0000

Tabla 174. Fase estratigráfica 12. Distribución producción laminar
5 Clusters - Final Clusters

CLUS	N	SSE1	SSE2	%SSE	Log(%SSE)	Srqt(SSE/N)
5	236	61	61	6.36	0.80	0.5071

CLUS	nbar	nstd	RMSbar	RMSstd	n>2	r2wbar	r2wstd	K'
5	47.2	24.0	0.49	0.07	5	0.01	0.03	1.0000

CLUS	n	RMS	K	r2	Slope
1	80	0.52	1.0000	0.00	0.01
2	63	0.43	1.0000	0.00	-0.06
3	9	0.38	1.0000	0.13	0.22
4	37	0.52	1.0000	0.04	0.11
5	47	0.58	1.0000	0.00	-0.02

CLUS VAR MEAN/STDDEV...

1	1: -12.20/ 0.46	2: 63.97/ 0.24
2	1: -9.20/ 0.29	2: 62.75/ 0.32
3	1: -7.41/ 0.32	2: 60.18/ 0.20
4	1: -8.19/ 0.45	2: 63.79/ 0.26
5	1: -11.98/ 0.51	2: 62.96/ 0.27

CLUS UNITS...

1	4	5	6	7	8	9	10	25	26	27	49	50
	53	54	55	57	60	62	63	64	73	74	75	78
	80	83	84	85	86	87	88	90	96	97	99	101
	102	108	109	110	111	112	113	116	118	119	121	122
	123	124	125	126	127	128	129	131	132	133	134	135
	137	139	140	141	142	143	144	148	182	183	184	191
	199	201	211	220	234	235	236	237				
2	3	21	28	29	30	31	32	33	34	35	36	37
	38	39	40	41	42	43	44	45	46	47	48	138
	153	154	155	156	157	158	159	160	161	162	163	164
	165	166	167	168	169	170	171	172	173	174	175	176
	177	178	179	180	186	197	198	222	223	224	225	226
	228	230	231									
3	20	23	196	209	210	212	213	215	216			
4	2	11	12	13	14	15	16	17	18	19	22	145
	146	147	149	150	187	188	189	190	192	193	194	195
	200	202	203	204	205	206	207	208	214	218	219	221
	229											
5	1	24	51	52	56	58	59	61	65	66	67	68
	69	70	71	72	76	77	79	81	82	89	91	92
	93	94	95	98	100	103	104	105	106	107	114	115
	117	120	130	136	151	152	181	185	217	232	233	

Units Removed from the Analysis: 1

Tabla 175. Fase estratigráfica 12. Distribución de la producción laminar
Run Statistics Summary

CLUS	N	SSE1	SSE2	%SSE	Log(%SSE)	Srqt(SSE/N)
1	237	954	954	100.00	2.00	2.0061
2	236	230	230	24.12	1.38	0.9873
3	236	141	141	14.82	1.17	0.7739
4	236	92	92	9.62	0.98	0.6234
5	236	61	61	6.36	0.80	0.5071
6	236	50	50	5.29	0.72	0.4624
7	236	45	45	4.73	0.67	0.4371
8	236	41	41	4.26	0.63	0.4151

CLUS	nbar	nstd	RMSbar	RMSstd	n>2	r2wbar	r2wstd	K'
1	237.0	0.0	2.01	0.00	1	0.19	0.00	1.0000
2	118.0	9.0	0.98	0.24	2	0.03	0.01	1.0000
3	78.7	50.5	0.65	0.20	3	0.23	0.22	1.0000
4	59.0	42.9	0.53	0.12	4	0.03	0.02	1.0000
5	47.2	24.0	0.49	0.07	5	0.01	0.03	1.0000
6	39.3	21.1	0.45	0.05	6	0.03	0.03	1.0000
7	33.7	22.1	0.44	0.08	7	0.03	0.03	1.0000
8	29.5	22.3	0.43	0.07	8	0.04	0.05	1.0000

Tabla 176. Fase estratigráfica 12. Distribución de la producción laminar

	C	N	VAR	X	Y
2	1	127	0.738	-12.115	63.597
2	2	109	1.215	-8.710	62.893
5	1	80	0.523	-12.196	63.972
5	2	63	0.434	-9.202	62.754
5	3	9	0.379	-7.410	60.182
5	4	37	0.521	-8.189	63.790
5	5	47	0.577	-11.977	62.960

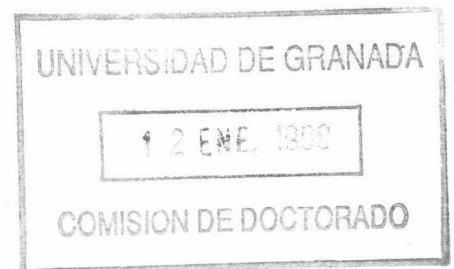


Tabla 177. Fase estratigráfica 12. Distribución de la producción lascar
2 Clusters - Final Clusters

CLUS	N	SSE1	SSE2	%SSE	Log(%SSE)	Srqt(SSE/N)
2	772	442	441	18.85	1.28	0.7563

CLUS	nbar	nstd	RMSbar	RMSstd	n>2	r2wbar	r2wstd	K'
2	386.0	120.0	0.78	0.12	2	0.05	0.06	1.0000

CLUS	n	RMS	K	r2	Slope
1	506	0.66	1.0000	0.00	0.05
2	266	0.90	1.0000	0.14	0.59

CLUS VAR MEAN/STDDEV...

1	1: -12.12/ 0.44	2: 63.48/ 0.49
2	1: -8.94/ 0.48	2: 62.88/ 0.77

CLUS UNITS...

1	1	2	3	4	5	11	19	20	21	22	23	24
	25	26	27	28	29	30	31	32	33	34	35	36
	37	38	39	40	41	42	43	44	45	46	47	48
	49	50	51	52	53	54	55	56	57	58	59	60
	61	62	63	64	65	66	67	68	69	70	71	72
	73	74	75	76	77	78	79	80	81	82	83	84
	85	86	87	88	89	90	91	92	93	94	95	96
	97	98	99	100	101	102	103	104	105	106	107	108
	109	110	111	112	113	114	115	116	117	118	119	120
	121	122	123	124	125	126	127	128	129	130	131	132
	133	134	135	136	137	138	139	140	141	142	143	144
	145	146	147	148	149	150	151	152	153	154	155	156
	157	158	159	160	161	162	163	164	165	166	167	168
	169	170	171	172	173	174	175	176	177	178	179	180
	181	182	183	184	185	186	187	188	189	190	191	192
	193	194	195	196	197	198	199	200	201	202	203	204
	205	206	207	208	209	210	211	212	213	214	215	216
	217	218	219	220	221	222	223	224	225	226	227	228
	229	230	231	232	233	234	235	236	237	238	239	240
	241	242	243	244	245	246	247	248	249	250	251	252
	253	254	255	256	257	258	259	260	261	262	263	264
	265	266	267	268	269	270	271	272	273	274	275	276
	277	278	279	280	281	282	283	284	285	286	287	288
	289	290	291	292	293	294	295	296	297	298	299	300
	301	302	303	304	305	306	307	308	309	310	311	312
	313	314	315	316	317	318	319	320	321	322	323	324
	325	326	327	328	329	330	331	332	333	334	335	336
	337	338	339	340	341	342	343	344	345	346	347	348
	349	350	351	352	353	354	355	356	357	358	359	360
	361	362	363	364	365	366	367	368	369	370	371	372

373	374	375	376	377	378	379	380	381	382	383	384	
385	386	387	388	389	390	391	392	393	394	395	396	
397	398	399	400	401	402	403	404	405	406	407	408	
409	410	411	412	413	414	415	416	417	418	419	420	
421	422	423	424	425	426	427	428	429	430	431	432	
433	434	435	436	437	438	439	440	441	442	443	444	
445	446	447	448	449	450	451	452	453	454	455	456	
457	458	459	460	461	462	463	464	465	466	467	468	
469	470	471	472	473	474	475	489	490	491	492	493	
494	495	496	497	498	499	500	501	551	562	563	564	
565	566	567	568	569	570	571	743	751	753	754	755	
756	757	758	759	760	765	768	769	770	771	772	773	
774	775											
2	6	7	8	9	10	12	13	14	15	17	18	476
477	478	479	480	481	482	483	484	485	486	487	488	
502	503	504	505	506	507	508	509	510	511	512	513	
514	515	516	517	518	519	520	521	522	523	524	525	
526	527	528	529	530	531	532	533	534	535	536	537	
538	539	540	541	542	543	544	545	546	547	548	549	
552	553	554	555	556	557	558	559	560	561	572	573	
574	575	576	577	578	579	580	581	582	583	584	585	
586	587	588	589	590	591	592	593	594	595	596	597	
598	599	600	601	602	603	604	605	606	607	608	609	
610	611	612	613	614	615	616	617	618	619	620	621	
622	623	624	625	626	627	628	629	630	631	632	633	
634	635	636	637	638	639	640	641	642	643	644	645	
646	647	648	649	650	651	652	653	654	655	656	657	
658	659	660	661	662	663	664	665	666	667	668	669	
670	671	672	673	674	675	676	677	678	679	680	681	
682	683	684	685	686	687	688	689	690	691	692	693	
694	695	696	697	698	699	700	701	702	703	704	705	
706	707	708	709	710	711	712	713	714	715	716	717	
718	719	720	721	722	723	724	725	726	727	728	729	
730	731	732	733	734	735	736	737	738	739	740	741	
742	744	745	746	747	748	749	750	752	761	762	763	
764	767											

Units Removed from the Analysis: 3

- Unit 16 Closest to Cluster 2 - distance = 3.3E+0000
- Unit 550 Closest to Cluster 2 - distance = 2.4E+0000
- Unit 766 Closest to Cluster 2 - distance = 3.2E+0000

Tabla 178. Fase estratigráfica 12. Distribución de la producción lascar
4 Clusters - Final Clusters

CLUS	N	SSE1	SSE2	%SSE	Log(%SSE)	Srqt(SSE/N)
4	772	277	276	11.81	1.07	0.5987

CLUS	nbar	nstd	RMSbar	RMSstd	n>2	r2wbar	r2wstd	K'
4	193.0	190.7	0.39	0.23	4	0.02	0.03	1.0000

CLUS	n	RMS	K	r2	Slope
1	506	0.66	1.0000	0.00	0.05
2	181	0.49	1.0000	0.07	-0.36
3	10	0.04	1.0000	0.09	-0.38
4	75	0.34	1.0000	0.00	0.01

CLUS VAR MEAN/STDDEV...

1	1: -12.12/ 0.44	2: 63.48/ 0.49
2	1: -9.20/ 0.29	2: 62.67/ 0.40
3	1: -8.67/ 0.03	2: 60.37/ 0.03
4	1: -8.34/ 0.27	2: 63.73/ 0.21

CLUS UNITS...

1	1	2	3	4	5	11	19	20	21	22	23	24
	25	26	27	28	29	30	31	32	33	34	35	36
	37	38	39	40	41	42	43	44	45	46	47	48
	49	50	51	52	53	54	55	56	57	58	59	60
	61	62	63	64	65	66	67	68	69	70	71	72
	73	74	75	76	77	78	79	80	81	82	83	84
	85	86	87	88	89	90	91	92	93	94	95	96
	97	98	99	100	101	102	103	104	105	106	107	108
	109	110	111	112	113	114	115	116	117	118	119	120
	121	122	123	124	125	126	127	128	129	130	131	132
	133	134	135	136	137	138	139	140	141	142	143	144
	145	146	147	148	149	150	151	152	153	154	155	156
	157	158	159	160	161	162	163	164	165	166	167	168
	169	170	171	172	173	174	175	176	177	178	179	180
	181	182	183	184	185	186	187	188	189	190	191	192
	193	194	195	196	197	198	199	200	201	202	203	204
	205	206	207	208	209	210	211	212	213	214	215	216
	217	218	219	220	221	222	223	224	225	226	227	228
	229	230	231	232	233	234	235	236	237	238	239	240
	241	242	243	244	245	246	247	248	249	250	251	252
	253	254	255	256	257	258	259	260	261	262	263	264
	265	266	267	268	269	270	271	272	273	274	275	276
	277	278	279	280	281	282	283	284	285	286	287	288
	289	290	291	292	293	294	295	296	297	298	299	300
	301	302	303	304	305	306	307	308	309	310	311	312
	313	314	315	316	317	318	319	320	321	322	323	324

325	326	327	328	329	330	331	332	333	334	335	336	
337	338	339	340	341	342	343	344	345	346	347	348	
349	350	351	352	353	354	355	356	357	358	359	360	
361	362	363	364	365	366	367	368	369	370	371	372	
373	374	375	376	377	378	379	380	381	382	383	384	
385	386	387	388	389	390	391	392	393	394	395	396	
397	398	399	400	401	402	403	404	405	406	407	408	
409	410	411	412	413	414	415	416	417	418	419	420	
421	422	423	424	425	426	427	428	429	430	431	432	
433	434	435	436	437	438	439	440	441	442	443	444	
445	446	447	448	449	450	451	452	453	454	455	456	
457	458	459	460	461	462	463	464	465	466	467	468	
469	470	471	472	473	474	475	489	490	491	492	493	
494	495	496	497	498	499	500	501	551	562	563	564	
565	566	567	568	569	570	571	743	751	753	754	755	
756	757	758	759	760	765	768	769	770	771	772	773	
774	775											
2	6	17	18	479	480	481	482	483	484	485	486	487
488	553	556	557	558	559	577	578	579	580	581	582	
583	584	585	586	587	588	589	590	591	592	593	594	
595	596	597	598	599	600	601	602	603	604	605	606	
607	608	609	610	611	612	613	614	615	616	617	618	
619	620	621	622	632	633	634	635	636	637	638	639	
640	641	642	643	644	645	646	647	648	649	650	651	
652	653	654	655	656	657	658	659	660	661	662	663	
664	665	666	667	668	669	670	671	672	673	674	675	
676	677	678	679	680	681	682	683	684	685	686	687	
688	689	690	691	692	693	694	695	696	697	698	699	
700	701	702	703	704	705	706	707	708	709	710	711	
712	713	714	715	716	717	718	719	720	721	722	723	
724	725	726	727	728	729	730	731	732	733	734	735	
736	737	738	739	740	741	749	750	752	761	763	764	
767												
3	623	624	625	626	627	628	629	630	631	742		
4	7	8	9	10	12	13	14	15	476	477	478	502
	503	504	505	506	507	508	509	510	511	512	513	514
	515	516	517	518	519	520	521	522	523	524	525	526
	527	528	529	530	531	532	533	534	535	536	537	538
	539	540	541	542	543	544	545	546	547	548	549	552
	554	555	560	561	572	573	574	575	576	744	745	746
	747	748	762									

Units Removed from the Analysis: 3

- Unit 16 Closest to Cluster 3 - distance = 1.6E+0000
- Unit 550 Closest to Cluster 4 - distance = 1.6E+0000
- Unit 766 Closest to Cluster 3 - distance = 8.6E-0001

Tabla 179. Fase estratigráfica 12. Distribución de la producción lascar
Run Statistics Summary

CLUS	N	SSE1	SSE2	%SSE	Log(%SSE)	Srqt(SSE/N)
1	775	2340	2340	100.00	2.00	1.7376
2	772	442	441	18.85	1.28	0.7563
3	772	375	374	16.00	1.20	0.6969
4	772	277	276	11.81	1.07	0.5987
5	772	182	182	7.77	0.89	0.4859
6	772	142	141	6.03	0.78	0.4282
7	772	118	118	5.04	0.70	0.3916
8	772	109	109	4.65	0.67	0.3761

CLUS	nbar	nstd	RMSbar	RMSstd	n>2	r2wbar	r2wstd	K'
1	775.0	0.0	1.74	0.00	1	0.14	0.00	1.0000
2	386.0	120.0	0.78	0.12	2	0.05	0.06	1.0000
3	257.3	202.1	0.64	0.11	3	0.12	0.18	1.0000
4	193.0	190.7	0.39	0.23	4	0.02	0.03	1.0000
5	154.4	97.3	0.38	0.18	5	0.02	0.03	1.0000
6	128.7	69.2	0.35	0.15	6	0.04	0.03	1.0000
7	110.3	61.7	0.33	0.12	7	0.05	0.04	1.0000
8	96.5	66.7	0.33	0.13	8	0.03	0.03	1.0000

Tabla 180. Fase estratigráfica 12. Distribución de la producción lascar

	C	N	VAR	X	Y
2	1	506	0.665	-12.123	63.481
2	2	266	0.904	-8.936	62.879
4	1	506	0.665	-12.123	63.481
4	2	181	0.494	-9.198	62.666
4	3	10	0.044	-8.670	60.370
4	4	75	0.337	-8.338	63.725

Tabla 181. Fase estratigráfica 12. Distribución de tipos
2 Clusters - Final Clusters

CLUS	N	SSE1	SSE2	%SSE	Log(%SSE)	Srqt(SSE/N)
2	22	17	17	19.16	1.28	0.8896

CLUS	nbar	nstd	RMSbar	RMSstd	n>2	r2wbar	r2wstd	K'
2	11.0	3.0	0.92	0.21	2	0.78	0.13	1.0000

CLUS	n	RMS	K	r2	Slope
1	14	0.72	1.0000	0.88	-0.98
2	8	1.13	1.0000	0.61	0.56

CLUS VAR MEAN/STDDEV...

1	1:	-12.26/	0.50	2:	63.44/	0.52
2	1:	-9.08/	0.92	2:	62.83/	0.65

CLUS UNITS...

1	11	12	13	14	15	16	17	18	19	20	21	22
	23	24										
2	1	2	3	4	5	7	8	10				

Units Removed from the Analysis: 2

Unit 6 Closest to Cluster 1 - distance = 1.5E+0000

Unit 9 Closest to Cluster 2 - distance = 3.2E+0000

Tabla 182. Fase estratigráfica 12. Distribución de tipos
3 Clusters - Final Clusters

CLUS	N	SSE1	SSE2	%SSE	Log(%SSE)	Srqt(SSE/N)
3	22	10	10	10.46	1.02	0.6573

CLUS	nbar	nstd	RMSbar	RMSstd	n>2	r2wbar	r2wstd	K'
3	7.3	5.0	0.49	0.25	2	0.62	0.40	1.0000

CLUS	n	RMS	K	r2	Slope
1	14	0.72	1.0000	0.88	-0.98
2	6	0.61	1.0000	0.01	-0.04
3	2	0.15	1.0000	1.00	0.17

CLUS VAR MEAN/STDDEV...

1	1:	-12.26/	0.50	2:	63.44/	0.52
2	1:	-9.53/	0.55	2:	62.48/	0.26
3	1:	-7.73/	0.15	2:	63.89/	0.03

CLUS UNITS...

1	11	12	13	14	15	16	17	18	19	20	21	22
	23	24										
2	1	3	4	7	8	10						
3	2	5										

Units Removed from the Analysis: 2

Unit	6	Closest to Cluster 2 - distance = 1.4E+0000
Unit	9	Closest to Cluster 2 - distance = 3.0E+0000

Tabla 184. Fase estratigráfica 12. Distribución de tipos
Run Statistics Summary

CLUS	N	SSE1	SSE2	%SSE	Log(%SSE)	Srqt(SSE/N)
1	24	91	91	100.00	2.00	1.9458
2	22	17	17	19.16	1.28	0.8896
3	22	10	10	10.46	1.02	0.6573
4	22	4	4	4.29	0.63	0.4209
5	22	2	2	2.58	0.41	0.3265
6	22	1	1	1.54	0.19	0.2521
7	22	1	1	0.91	0.00	0.1939

CLUS	nbar	nstd	RMSbar	RMSstd	n>2	r2wbar	r2wstd	K'
1	24.0	0.0	1.95	0.00	1	0.27	0.00	1.0000
2	11.0	3.0	0.92	0.21	2	0.78	0.13	1.0000
3	7.3	5.0	0.49	0.25	2	0.62	0.40	1.0000
4	5.5	2.1	0.36	0.16	3	0.60	0.39	1.0000
5	4.4	2.2	0.27	0.11	3	0.87	0.05	1.0000
6	3.7	1.5	0.21	0.10	4	0.83	0.23	1.0000
7	3.1	1.6	0.16	0.05	3	0.81	0.26	1.0000

Tabla 185. Fase estratigráfica 12. Distribución de tipos

	C	N	VAR	X	Y
2	1	14	0.718	-12.259	63.444
2	2	8	1.129	-9.082	62.830
3	1	14	0.718	-12.259	63.444
3	2	6	0.611	-9.533	62.475
3	3	2	0.152	-7.730	63.895
6	1	3	0.115	-12.833	64.250
6	2	4	0.403	-9.178	62.527
6	3	2	0.152	-7.730	63.895
6	4	5	0.163	-11.644	62.912
6	5	2	0.136	-10.245	62.370
6	6	6	0.286	-12.483	63.483

Tabla 183. Fase estratigráfica 12. Distribución de tipos
6 Clusters - Final Clusters

CLUS	N	SSE1	SSE2	%SSE	Log(%SSE)	Srqt(SSE/N)
6	22	1	1	1.54	0.19	0.2521

CLUS	nbar	nstd	RMSbar	RMSstd	n>2	r2wbar	r2wstd	K'
6	3.7	1.5	0.21	0.10	4	0.83	0.23	1.0000

CLUS	n	RMS	K	r2	Slope
1	3	0.11	1.0000	0.31	-3.37
2	4	0.40	1.0000	0.89	-1.08
3	2	0.15	1.0000	1.00	0.17
4	5	0.16	1.0000	0.97	-0.87
5	2	0.14	1.0000	1.00	0.15
6	6	0.29	1.0000	0.93	-1.19

CLUS VAR MEAN/STDDEV...

1	1:	-12.83/	0.02	2:	64.25/	0.11
2	1:	-9.18/	0.27	2:	62.53/	0.30
3	1:	-7.73/	0.15	2:	63.89/	0.03
4	1:	-11.64/	0.12	2:	62.91/	0.11
5	1:	-10.24/	0.14	2:	62.37/	0.02
6	1:	-12.48/	0.18	2:	63.48/	0.22

CLUS UNITS...

1	22	23	24
2	1	4	7 10
3	2	5	
4	11	12	13 14 15
5	3	8	
6	16	17	18 19 20 21

Units Removed from the Analysis: 2

Unit 6 Closest to Cluster 4 - distance = 9.4E-0001
Unit 9 Closest to Cluster 2 - distance = 2.9E+0000

Tabla 186. Fase estratigráfica 13. Distribución de la producción laminar
2 Clusters - Final Clusters

CLUS	N	SSE1	SSE2	%SSE	Log(%SSE)	Srqt(SSE/N)
2	287	643	643	58.27	1.77	1.4974

CLUS	nbar	nstd	RMSbar	RMSstd	n>2	r2wbar	r2wstd	K'
2	143.5	132.5	0.89	0.63	2	0.04	0.01	1.0000

CLUS	n	RMS	K	r2	Slope
1	276	1.53	1.0000	0.04	-0.17
2	11	0.26	1.0000	0.00	0.02

CLUS VAR MEAN/STDDEV...

1	1:	-10.90/	1.14	2:	62.89/	1.01
2	1:	-4.69/	0.22	2:	64.10/	0.14

CLUS UNITS...

1	1	2	3	4	5	6	7	8	9	10	11	12
	13	14	15	16	17	18	19	20	21	22	23	24
	25	26	27	28	29	30	31	32	33	34	35	36
	37	38	39	40	41	42	43	44	45	46	47	48
	49	50	51	52	53	54	55	56	57	58	59	60
	61	62	63	64	65	66	67	68	69	70	71	72
	73	74	75	76	77	78	79	80	81	82	83	84
	85	86	87	88	89	90	91	92	93	94	98	99
	100	101	102	103	104	105	106	107	108	109	110	111
	112	113	114	115	116	117	118	119	120	121	122	123
	124	125	126	127	128	129	130	131	132	133	134	135
	136	137	138	139	140	141	142	143	144	146	147	148
	151	152	153	154	155	156	157	158	159	160	161	162
	163	164	165	166	167	168	169	170	171	172	173	174
	175	176	177	178	179	180	181	182	183	184	185	186
	187	188	189	190	191	192	193	194	195	196	197	198
	199	200	206	207	208	209	210	211	212	213	214	215
	216	217	218	219	220	221	222	223	224	225	226	227
	228	229	230	231	232	233	234	235	236	237	238	239
	240	241	242	243	244	245	246	247	248	249	250	251
	252	253	254	255	256	257	258	259	260	262	264	265
	266	267	268	269	270	271	272	273	274	275	276	277
	278	279	280	281	282	283	284	285	286	287	288	290
2	95	96	97	149	150	201	202	203	204	205	289	

Units Removed from the Analysis: 3

Unit 145 Closest to Cluster 2 - distance = 2.9E+0000

Unit 261 Closest to Cluster 2 - distance = 3.1E+0000

Unit 263 Closest to Cluster 2 - distance = 1.9E+0000

Tabla 187. Fase estratigráfica 13. Distribución de la producción laminar
6 Clusters - Final Clusters

CLUS	N	SSE1	SSE2	%SSE	Log(%SSE)	Srqt(SSE/N)
6	287	95	95	8.58	0.93	0.5766

CLUS	nbar	nstd	RMSbar	RMSstd	n>2	r2wbar	r2wstd	K'
6	47.8	26.7	0.52	0.15	6	0.08	0.08	1.0000

CLUS	n	RMS	K	r2	Slope
1	65	0.59	1.0000	0.03	0.12
2	11	0.26	1.0000	0.00	0.02
3	46	0.41	1.0000	0.00	0.01
4	57	0.53	1.0000	0.13	0.52
5	19	0.68	1.0000	0.32	-0.88
6	89	0.66	1.0000	0.08	0.27

CLUS VAR MEAN/STDDEV...

1	1:	-11.95/	0.48	2:	63.83/	0.33
2	1:	-4.69/	0.22	2:	64.10/	0.14
3	1:	-9.78/	0.32	2:	63.95/	0.25
4	1:	-9.52/	0.31	2:	62.19/	0.43
5	1:	-10.13/	0.36	2:	60.73/	0.57
6	1:	-11.75/	0.48	2:	62.55/	0.45

CLUS UNITS...

1	5	9	10	11	12	13	16	17	18	19	20	21
	25	27	28	29	32	34	37	40	42	44	45	46
	48	50	51	52	53	54	57	58	59	61	62	63
	64	67	71	120	143	155	156	158	159	160	162	163
	170	177	178	180	181	187	232	253	255	259	267	280
	281	282	283	284	287							
2	95	96	97	149	150	201	202	203	204	205	289	
3	76	81	82	83	84	85	86	87	88	89	90	91
	92	93	94	136	137	138	139	140	142	148	192	193
	194	195	196	197	198	199	200	230	233	237	238	240
	244	245	247	264	265	266	268	276	277	278		
4	78	80	98	99	100	101	107	108	109	110	111	112
	113	114	115	116	117	118	133	134	135	141	153	206
	207	208	209	210	211	212	213	214	215	216	217	218
	219	220	221	222	226	227	228	229	239	241	242	243
	246	269	270	271	272	273	274	279	290			
5	75	79	122	123	124	125	126	127	128	129	130	131
	132	182	234	235	236	254	275					
6	1	2	3	4	6	7	8	14	15	22	23	24
	26	30	31	33	35	36	38	39	41	43	47	49
	55	56	60	65	66	68	69	70	72	73	74	77
	102	103	104	105	106	119	121	144	146	147	151	152

154 157 161 164 165 166 167 168 169 171 172 173
174 175 176 179 183 184 185 186 188 189 190 191
223 224 225 231 248 249 250 251 252 256 257 258
260 262 285 286 288

Units Removed from the Analysis: 3

Unit 145 Closest to Cluster 3 - distance = 2.2E+0000

Unit 261 Closest to Cluster 3 - distance = 2.0E+0000

Unit 263 Closest to Cluster 2 - distance = 1.9E+0000

Tabla 188. Fase estratigráfica 13. Distribución de la producción laminar
Run Statistics Summary

CLUS	N	SSE1	SSE2	%SSE	Log(%SSE)	Srqt(SSE/N)
1	290	1103	1103	100.00	2.00	1.9502
2	287	643	643	58.27	1.77	1.4974
3	287	319	318	28.87	1.46	1.0547
4	287	190	189	17.15	1.23	0.8136
5	287	127	127	11.47	1.06	0.6662
6	287	95	95	8.58	0.93	0.5766
7	287	78	77	6.98	0.84	0.5208
8	287	67	66	5.98	0.78	0.4823

CLUS	nbar	nstd	RMSbar	RMSstd	n>2	r2wbar	r2wstd	K'
1	290.0	0.0	1.95	0.00	1	0.00	0.00	1.0000
2	143.5	132.5	0.89	0.63	2	0.04	0.01	1.0000
3	95.7	61.6	0.81	0.41	3	0.01	0.01	1.0000
4	71.8	50.9	0.65	0.25	4	0.06	0.10	1.0000
5	57.4	25.6	0.59	0.18	5	0.12	0.11	1.0000
6	47.8	26.7	0.52	0.15	6	0.08	0.08	1.0000
7	41.0	18.9	0.49	0.13	7	0.07	0.08	1.0000
8	35.9	15.9	0.46	0.11	8	0.08	0.08	1.0000

Tabla 189. Fase estratigráfica 13. Distribución de la producción laminar

	C	N	VAR	X	Y
2	1	276	1.525	-10.899	62.886
2	2	11	0.258	-4.691	64.096
6	1	65	0.586	-11.950	63.828
6	2	11	0.258	-4.691	64.096
6	3	46	0.412	-9.783	63.947
6	4	57	0.529	-9.522	62.195
6	5	19	0.680	-10.131	60.734
6	6	89	0.662	-11.755	62.552

Tabla 190. Fase estratigráfica 13. Distribución de tipos
2 Clusters - Final Clusters

CLUS	N	SSE1	SSE2	%SSE	Log(%SSE)	Srqt(SSE/N)
2	989	2228	2228	84.32	1.93	1.5008

CLUS	nbar	nstd	RMSbar	RMSstd	n>2	r2wbar	r2wstd	K'
2	494.5	484.5	1.09	0.42	2	0.07	0.00	1.0000

CLUS	n	RMS	K	r2	Slope
1	979	1.51	1.0000	0.07	-0.24
2	10	0.67	1.0000	0.09	0.05

CLUS VAR MEAN/STDDEV...

1	1: -11.08/ 1.12	2: 62.95/ 1.01
2	1: -4.88/ 0.66	2: 64.09/ 0.10

CLUS UNITS...

1	1	2	3	4	5	6	7	8	9	10	11	12
	13	14	15	16	17	18	19	20	21	22	23	24
	25	26	27	28	29	30	31	32	33	34	35	36
	37	38	39	40	41	42	43	44	45	46	47	48
	49	50	51	52	53	54	55	56	57	58	59	60
	61	62	63	64	65	66	67	68	69	70	71	72
	73	74	75	76	77	78	79	80	81	82	83	84
	85	86	87	88	89	90	91	92	93	94	95	96
	97	98	99	100	101	102	103	104	105	106	107	108
	109	110	111	112	113	114	115	116	117	118	119	120
	121	122	123	124	125	126	127	128	129	130	131	132
	133	134	135	136	137	138	139	140	141	142	143	144
	145	146	147	148	149	150	151	152	153	154	155	156
	157	158	159	160	161	162	163	164	165	166	167	168
	169	170	171	172	173	174	175	176	177	178	179	180
	181	182	183	184	185	186	187	188	189	190	191	192
	193	194	195	196	197	198	199	200	201	202	203	204
	205	206	207	208	209	210	211	212	213	214	215	216
	217	218	219	220	221	222	223	224	225	226	227	228
	229	230	231	232	233	234	235	236	237	238	239	240
	241	242	243	244	245	246	247	248	249	250	251	252
	253	254	255	256	257	258	259	260	261	262	263	264
	265	266	267	268	269	270	271	272	273	274	275	276
	277	278	279	280	281	282	283	284	285	286	287	288
	289	290	291	292	293	294	295	296	297	298	299	300
	301	302	303	304	305	306	307	308	309	310	311	312
	313	314	315	316	317	318	319	320	321	322	323	324
	325	326	327	328	329	330	331	332	333	334	335	336
	337	338	339	340	341	342	343	344	345	346	347	348
	349	350	351	352	353	354	355	356	357	358	359	360

361 362 363 364 365 366 367 368 369 370 371 372
373 374 375 376 377 378 379 380 381 382 383 384
385 386 387 388 389 390 391 392 393 394 395 396
397 398 399 400 401 402 403 404 405 406 407 408
409 410 411 412 413 414 415 416 417 418 419 420
421 422 423 424 425 426 427 428 429 430 431 432
433 434 435 436 437 438 439 440 441 442 443 444
445 446 447 448 449 450 451 452 453 454 455 456
457 458 459 460 461 462 463 464 465 466 467 468
469 470 471 472 473 474 475 476 477 478 479 480
481 482 483 484 485 486 487 488 489 490 491 492
493 494 495 496 497 498 499 500 501 502 503 504
505 506 507 508 509 510 511 512 513 514 515 516
517 518 519 520 521 522 523 524 525 526 527 528
529 530 531 532 533 534 535 536 544 545 546 547
548 549 550 551 552 553 554 555 556 557 558 559
560 561 562 563 564 565 566 567 568 569 570 571
572 573 574 575 576 577 578 579 580 581 582 583
584 585 586 587 588 589 590 591 592 593 594 595
596 597 599 600 601 602 603 604 605 606 607 608
609 610 611 612 613 614 615 616 617 618 619 620
621 622 623 624 625 626 627 628 629 630 631 632
633 634 635 636 637 638 639 640 641 642 643 644
645 646 647 648 649 650 651 652 653 654 655 656
657 658 659 660 661 662 663 664 665 666 667 668
669 670 671 672 673 674 675 676 677 678 679 680
681 682 683 684 685 686 687 688 689 690 691 692
693 694 695 696 697 698 699 700 701 702 703 704
705 706 707 708 709 710 711 712 713 714 715 716
717 718 719 720 721 722 723 724 725 726 727 728
729 730 731 732 733 734 735 736 737 738 739 740
741 742 743 744 745 746 747 748 749 750 751 752
753 754 755 756 757 758 759 760 761 762 763 764
765 766 767 768 769 770 771 772 773 774 775 776
777 778 779 780 781 782 783 784 785 786 787 788
789 790 791 792 793 794 795 796 797 798 799 800
801 802 803 804 805 806 807 808 809 810 811 812
813 814 815 816 817 818 819 820 821 822 823 824
825 826 827 828 829 830 831 832 833 834 835 836
837 838 839 840 841 842 843 844 845 846 847 848
849 850 851 852 853 854 855 856 857 858 859 860
861 862 863 864 865 866 867 868 869 870 871 872
873 874 875 876 877 878 879 880 881 882 883 884
885 886 887 888 889 890 891 892 893 894 895 896
897 898 899 900 901 902 903 904 905 906 907 908
909 910 911 912 913 914 915 916 917 918 919 920
921 922 923 924 925 926 929 930 931 932 933 934
935 936 937 938 939 940 941 942 943 944 945 946
947 948 950 951 952 953 954 955 956 957 958 959

960 961 962 963 964 965 966 967 968 969 970 971
972 973 974 975 976 977 978 979 980 981 982 983
984 985 986 987 988 989 990
2 537 538 539 540 541 542 543 598 928 949

Units Removed from the Analysis: 1

Unit 927 Closest to Cluster 1 - distance = 4.7E+0000

Tabla 191. Fase estratigráfica 13. Distribución de tipos
3 Clusters - Final Clusters

CLUS	N	SSE1	SSE2	%SSE	Log(%SSE)	Srqt(SSE/N)
3	989	1096	1096	41.50	1.62	1.0529

CLUS	nbar	nstd	RMSbar	RMSstd	n>2	r2wbar	r2wstd	K'
3	329.7	256.9	0.96	0.27	3	0.04	0.02	1.0000

CLUS	n	RMS	K	r2	Slope
1	639	0.89	1.0000	0.02	0.22
2	10	0.67	1.0000	0.09	0.05
3	340	1.31	1.0000	0.06	0.66

CLUS VAR MEAN/STDDEV...

1	1: -11.81/ 0.50	2: 63.23/ 0.74
2	1: -4.88/ 0.66	2: 64.09/ 0.10
3	1: -9.70/ 0.46	2: 62.43/ 1.23

CLUS UNITS...

1	1	2	3	4	5	6	7	8	9	10	11	12
	13	14	15	16	17	18	19	20	21	22	23	24
	25	26	27	28	29	30	31	32	33	34	35	36
	37	38	39	40	41	42	43	44	45	46	47	48
	49	50	51	52	53	54	55	56	57	58	59	60
	61	62	63	64	65	66	67	68	69	70	71	72
	73	74	75	76	77	78	79	80	81	82	83	84
	85	86	87	88	89	90	91	92	93	94	95	96
	97	98	99	100	101	102	103	104	105	106	107	108
	109	110	111	112	113	114	115	116	117	118	119	120
	121	122	123	124	125	126	127	128	129	130	131	132
	133	134	135	136	137	138	139	140	141	142	143	144
	145	146	147	148	149	150	151	152	153	154	155	156
	157	158	159	160	161	162	163	164	165	166	167	168
	169	170	171	172	173	174	175	176	177	178	179	180
	181	182	183	184	185	186	187	188	189	190	191	192
	193	194	195	196	197	198	199	200	201	202	203	204
	205	206	207	208	209	210	211	212	213	214	215	216
	217	218	219	220	221	222	223	224	225	226	227	228
	229	230	231	232	233	234	235	236	237	238	239	240
	241	242	243	244	245	246	247	248	249	250	251	252
	253	254	255	256	257	258	259	260	261	262	263	264
	265	266	267	268	269	270	271	272	273	274	275	276
	277	278	279	280	281	282	283	284	285	286	287	288
	289	290	291	292	293	294	295	296	297	298	299	300
	301	302	303	304	305	306	307	308	309	310	311	312
	313	314	315	316	317	318	319	320	321	322	323	324
	325	326	327	328	329	330	331	332	333	334	335	336

337 338 339 340 341 342 343 344 345 346 347 348
349 350 351 352 353 354 355 356 357 358 359 360
361 362 363 364 365 366 367 368 369 370 371 372
373 375 376 377 378 380 381 382 384 385 386 387
388 389 390 391 392 393 394 395 396 397 398 399
400 402 403 404 405 406 407 408 409 410 411 412
413 414 415 416 417 418 419 420 421 422 423 425
426 428 429 431 432 433 434 437 438 439 440 441
442 443 444 445 446 447 448 449 450 451 452 453
454 455 456 458 459 460 461 462 463 464 466 467
468 469 470 471 472 473 474 475 476 477 479 480
481 482 483 484 485 486 487 488 489 491 492 494
495 496 497 498 499 500 501 502 503 504 505 506
507 508 600 601 602 603 604 605 606 607 608 609
610 611 612 613 614 615 616 617 618 619 620 621
622 623 624 625 626 627 628 629 630 631 632 633
634 635 636 637 638 639 720 721 723 724 725 727
728 729 730 732 735 736 737 738 739 857 858 859
860 861 862 863 864 865 866 867 868 869 870 871
872 873 874 875 876 877 878 879 880 881 882 883
884 885 886 887 888 889 895 901 903 905 907 908
909 917 918 919 920 921 922 924 926 934 935 936
937 938 939 940 941 942 943 944 945 946 947 951
960 961 962 963 964 965 966 968 971 972 973 974
975 976 977 978 979 980 981 982 983 984 985 986
987 988 990

2 537 538 539 540 541 542 543 598 928 949
3 374 379 383 401 424 427 430 435 436 457 465 478
490 493 509 510 511 512 513 514 515 516 517 518
519 520 521 522 523 524 525 526 527 528 529 530
531 532 533 534 535 536 544 545 546 547 548 549
550 551 552 553 554 555 556 557 558 559 560 561
562 563 564 565 566 567 568 569 570 571 572 573
574 575 576 577 578 579 580 581 582 583 584 585
586 587 588 589 590 591 592 593 594 595 596 597
599 640 641 642 643 644 645 646 647 648 649 650
651 652 653 654 655 656 657 658 659 660 661 662
663 664 665 666 667 668 669 670 671 672 673 674
675 676 677 678 679 680 681 682 683 684 685 686
687 688 689 690 691 692 693 694 695 696 697 698
699 700 701 702 703 704 705 706 707 708 709 710
711 712 713 714 715 716 717 718 719 722 726 731
733 734 740 741 742 743 744 745 746 747 748 749
750 751 752 753 754 755 756 757 758 759 760 761
762 763 764 765 766 767 768 769 770 771 772 773
774 775 776 777 778 779 780 781 782 783 784 785
786 787 788 789 790 791 792 793 794 795 796 797
798 799 800 801 802 803 804 805 806 807 808 809
810 811 812 813 814 815 816 817 818 819 820 821

822	823	824	825	826	827	828	829	830	831	832	833
834	835	836	837	838	839	840	841	842	843	844	845
846	847	848	849	850	851	852	853	854	855	856	890
891	892	893	894	896	897	898	899	900	902	904	906
910	911	912	913	914	915	916	923	925	929	930	931
932	933	948	950	952	953	954	955	956	957	958	959
967	969	970	989								

Units Removed from the Analysis: 1

Unit 927 Closest to Cluster 3 - distance = 3.3E+0000

Tabla 192. Fase estratigráfica 13. Distribución de tipos
5 Clusters - Final Clusters

CLUS	N	SSE1	SSE2	%SSE	Log(%SSE)	Srqt(SSE/N)
5	989	483	483	18.28	1.26	0.6987

CLUS	nbar	nstd	RMSbar	RMSstd	n>2	r2wbar	r2wstd	K'
5	197.8	133.0	0.69	0.07	5	0.04	0.07	1.0000

CLUS	n	RMS	K	r2	Slope
1	276	0.72	1.0000	0.00	-0.03
2	10	0.67	1.0000	0.09	0.05
3	244	0.81	1.0000	0.16	-0.81
4	83	0.64	1.0000	0.00	-0.06
5	376	0.61	1.0000	0.00	-0.01

CLUS VAR MEAN/STDDEV...

1	1: -11.86/ 0.51	2: 62.47/ 0.51
2	1: -4.88/ 0.66	2: 64.08/ 0.10
3	1: -9.54/ 0.36	2: 63.06/ 0.73
4	1: -9.94/ 0.23	2: 60.68/ 0.59
5	1: -11.75/ 0.50	2: 63.73/ 0.36

CLUS UNITS...

1	2	6	9	11	12	19	22	24	36	41	42	43
45	50	54	55	57	61	68	71	74	77	79	85	
93	100	104	106	108	109	110	112	113	114	125	138	
143	144	148	150	151	152	153	154	155	156	164	175	
176	178	179	182	187	188	190	192	196	204	207	214	
216	221	227	230	231	237	251	261	262	265	275	276	
278	280	281	284	288	290	298	300	307	312	315	318	
319	320	326	331	332	333	336	338	342	344	345	346	
349	353	354	355	356	357	358	359	360	361	362	363	
364	365	366	367	368	371	372	373	377	378	379	381	
382	383	384	386	387	389	397	398	399	400	403	404	
410	411	414	416	417	421	422	424	427	429	430	431	
433	434	435	436	437	440	444	446	448	449	450	451	
452	454	455	456	457	460	461	462	464	465	466	468	
469	470	472	474	475	476	478	482	485	488	489	490	
492	493	494	495	496	497	498	499	500	501	502	503	
504	505	506	507	508	600	601	602	603	604	605	606	
607	608	609	610	611	612	613	614	615	616	617	618	
619	620	621	622	623	624	625	626	627	628	629	630	
631	632	633	634	635	636	637	638	639	723	737	859	
867	870	872	874	875	876	877	878	882	884	885	894	
895	903	917	920	924	925	934	935	936	937	940	941	
942	944	945	947	951	964	965	966	977	981	984	990	
2	537	538	539	540	541	542	543	598	928	949		

3 509 510 511 512 513 514 515 516 517 518 519 520
 521 522 523 524 525 526 527 528 529 530 531 532
 533 534 535 536 545 546 547 548 549 550 551 552
 553 555 556 557 558 559 561 562 563 564 565 566
 567 569 570 571 572 573 574 575 576 577 578 579
 580 581 582 583 584 585 586 590 591 592 593 594
 595 597 599 640 641 642 643 644 645 646 647 648
 649 650 651 652 653 654 655 656 657 658 659 660
 661 662 663 664 665 666 667 668 669 670 671 672
 673 674 675 676 677 678 679 680 681 682 683 684
 685 686 687 688 689 690 691 692 693 694 695 696
 697 698 699 700 701 702 703 704 705 706 707 708
 709 710 711 712 713 714 715 716 717 718 719 722
 726 729 731 733 734 804 805 806 807 808 809 810
 811 812 813 814 815 816 817 818 819 820 821 822
 823 824 825 826 827 828 829 830 831 832 833 834
 835 836 837 838 839 840 841 842 843 844 845 846
 847 848 849 850 851 852 853 854 855 856 892 893
 896 897 898 899 900 902 904 906 910 911 912 913
 914 915 916 930 931 932 948 952 953 955 956 957
 958 959 967 989
 4 374 401 544 554 560 568 587 588 589 596 740 741
 742 743 744 745 746 747 748 749 750 751 752 753
 754 755 756 757 758 759 760 761 762 763 764 765
 766 767 768 769 770 771 772 773 774 775 776 777
 778 779 780 781 782 783 784 785 786 787 788 789
 790 791 792 793 794 795 796 797 798 799 800 801
 802 803 890 891 923 929 933 950 954 969 970
 5 1 3 4 5 7 8 10 13 14 15 16 17
 18 20 21 23 25 26 27 28 29 30 31 32
 33 34 35 37 38 39 40 44 46 47 48 49
 51 52 53 56 58 59 60 62 63 64 65 66
 67 69 70 72 73 75 76 78 80 81 82 83
 84 86 87 88 89 90 91 92 94 95 96 97
 98 99 101 102 103 105 107 111 115 116 117 118
 119 120 121 122 123 124 126 127 128 129 130 131
 132 133 134 135 136 137 139 140 141 142 145 146
 147 149 157 158 159 160 161 162 163 165 166 167
 168 169 170 171 172 173 174 177 180 181 183 184
 185 186 189 191 193 194 195 197 198 199 200 201
 202 203 205 206 208 209 210 211 212 213 215 217
 218 219 220 222 223 224 225 226 228 229 232 233
 234 235 236 238 239 240 241 242 243 244 245 246
 247 248 249 250 252 253 254 255 256 257 258 259
 260 263 264 266 267 268 269 270 271 272 273 274
 277 279 282 283 285 286 287 289 291 292 293 294
 295 296 297 299 301 302 303 304 305 306 308 309
 310 311 313 314 316 317 321 322 323 324 325 327
 328 329 330 334 335 337 339 340 341 343 347 348

Tabla 193. Fase estratigráfica 13. Distribución de tipos
Run Statistics Summary

CLUS	N	SSE1	SSE2	%SSE	Log(%SSE)	Srqt(SSE/N)
1	990	2642	2642	100.00	2.00	1.6336
2	989	2228	2228	84.32	1.93	1.5008
3	989	1096	1096	41.50	1.62	1.0529
4	989	723	723	27.37	1.44	0.8550
5	989	483	483	18.28	1.26	0.6987

CLUS	nbar	nstd	RMSbar	RMSstd	n>2	r2wbar	r2wstd	K'
1	990.0	0.0	1.63	0.00	1	0.03	0.00	1.0000
2	494.5	484.5	1.09	0.42	2	0.07	0.00	1.0000
3	329.7	256.9	0.96	0.27	3	0.04	0.02	1.0000
4	247.3	234.7	0.82	0.10	4	0.09	0.08	1.0000
5	197.8	133.0	0.69	0.07	5	0.04	0.07	1.0000

Tabla 194. Fase estratigráfica 13. Distribución de tipos

	C	N	VAR	X	Y
2	1	979	1.507	-11.077	62.950
2	2	10	0.665	-4.881	64.085
3	1	639	0.889	-11.810	63.228
3	2	10	0.665	-4.881	64.085
3	3	340	1.314	-9.699	62.427
5	1	276	0.721	-11.858	62.466
5	2	10	0.665	-4.881	64.085
5	3	244	0.811	-9.543	63.065
5	4	83	0.637	-9.943	60.678
5	5	376	0.612	-11.749	63.732

350	351	352	369	370	375	376	380	385	388	390	391
392	393	394	395	396	402	405	406	407	408	409	412
413	415	418	419	420	423	425	426	428	432	438	439
441	442	443	445	447	453	458	459	463	467	471	473
477	479	480	481	483	484	486	487	491	720	721	724
725	727	728	730	732	735	736	738	739	857	858	860
861	862	863	864	865	866	868	869	871	873	879	880
881	883	886	887	888	889	901	905	907	908	909	918
919	921	922	926	938	939	943	946	960	961	962	963
968	971	972	973	974	975	976	978	979	980	982	983
985	986	987	988								

Units Removed from the Analysis: 1

Unit 927 Closest to Cluster 4 - distance = 2.6E+0000

Tabla 186. Fase estratigráfica 16. Distribución de la producción laminar
3 Clusters - Final Clusters

CLUS	N	SSE1	SSE2	%SSE	Log(%SSE)	Srqt(SSE/N)
3	307	264	264	32.83	1.52	0.9272

CLUS	nbar	nstd	RMSbar	RMSstd	n>2	r2wbar	r2wstd	K'
3	102.3	38.1	0.88	0.13	3	0.08	0.04	1.0000

CLUS	n	RMS	K	r2	Slope
1	66	0.70	1.0000	0.11	-0.44
2	86	0.95	1.0000	0.02	0.05
3	155	1.00	1.0000	0.10	-0.42

CLUS VAR MEAN/STDDEV...

1	1: -10.87/ 0.42	2: 63.04/ 0.56
2	1: -8.38/ 0.89	2: 63.79/ 0.33
3	1: -9.31/ 0.60	2: 61.54/ 0.79

CLUS UNITS...

1	3	4	5	6	7	18	40	41	49	51	52	61
	62	63	95	96	97	98	99	100	101	102	110	115
	117	118	120	121	133	137	138	139	150	151	152	183
	188	193	205	206	207	208	209	210	219	221	223	225
	227	246	260	261	262	263	264	265	266	269	270	273
	274	275	298	299	304	307						
2	1	45	46	47	48	53	54	55	56	57	58	59
	60	64	65	66	67	68	69	70	81	84	85	86
	87	88	89	90	91	92	93	94	122	123	124	125
	126	127	131	132	136	162	163	230	231	232	233	234
	235	236	237	238	239	240	241	242	243	244	245	247
	248	249	250	251	267	268	276	277	278	279	280	281
	282	283	284	285	286	287	288	289	290	291	292	297
	302	305										
3	2	8	9	10	11	12	13	14	15	16	17	19
	20	21	22	23	24	25	26	27	28	29	30	31
	32	33	34	35	36	37	38	39	42	43	44	50
	71	72	73	74	75	76	77	78	79	80	82	83
	103	104	105	106	107	108	109	111	112	113	114	116
	119	128	129	130	134	135	140	141	142	143	144	145
	146	147	148	149	153	154	155	156	157	158	159	160
	161	164	165	166	167	168	169	170	171	172	173	174
	175	176	177	178	179	180	181	182	184	185	186	187
	189	190	191	192	194	195	196	197	198	199	200	201
	202	203	204	211	212	213	214	215	216	217	218	220
	222	224	226	228	229	252	253	254	255	256	257	258
	259	271	272	293	294	295	296	300	301	303	306	

Tabla 187. Fase estratigráfica 14. Distribución de la producción laminar
5 Clusters - Final Clusters

CLUS	N	SSE1	SSE2	%SSE	Log(%SSE)	Srqt(SSE/N)
5	307	112	112	13.99	1.15	0.6053

CLUS	nbar	nstd	RMSbar	RMSstd	n>2	r2wbar	r2wstd	K'
5	61.4	30.8	0.60	0.14	5	0.03	0.02	1.0000

CLUS	n	RMS	K	r2	Slope
1	51	0.51	1.0000	0.04	0.30
2	49	0.48	1.0000	0.04	-0.15
3	122	0.57	1.0000	0.00	0.03
4	49	0.86	1.0000	0.07	0.11
5	36	0.57	1.0000	0.02	0.08

CLUS VAR MEAN/STDDEV...

1	1:	-11.04/	0.27	2:	63.24/	0.43
2	1:	-9.05/	0.38	2:	63.78/	0.30
3	1:	-9.58/	0.46	2:	62.07/	0.35
4	1:	-8.93/	0.79	2:	60.48/	0.33
5	1:	-7.45/	0.49	2:	63.86/	0.29

CLUS UNITS...

1	3	5	6	7	18	40	49	61	62	63	95	96
	97	98	99	100	101	102	110	117	118	133	137	138
	139	150	151	152	205	206	207	208	209	210	225	246
	260	261	262	263	264	265	266	269	270	273	274	275
	298	299	307									
2	1	4	45	46	47	48	64	65	66	67	70	81
	84	85	86	87	88	89	90	91	92	93	94	127
	131	136	162	163	248	250	251	268	276	277	278	279
	280	281	282	283	284	285	286	287	288	289	290	291
	292											
3	8	9	10	11	14	15	16	17	19	20	21	22
	23	24	25	26	27	28	29	30	31	32	33	34
	35	36	37	38	39	41	42	43	44	50	51	52
	71	72	80	82	83	114	115	116	119	120	121	128
	129	130	132	134	135	172	173	174	175	176	177	178
	179	180	181	182	183	184	185	186	187	188	189	190
	191	192	193	194	195	196	197	198	199	200	201	202
	203	204	211	212	213	214	215	216	217	218	219	220
	221	222	223	224	226	227	228	229	252	253	254	255
	256	257	258	259	267	271	272	293	294	295	296	303
	304	306										
4	2	12	13	73	74	75	76	77	78	79	103	104
	105	106	107	108	109	111	112	113	140	141	142	143
	144	145	146	147	148	149	153	154	155	156	157	158

Tabla 188. Fase estratigráfica 14. Distribución de la producción laminar
Run Statistics Summary

CLUS	N	SSE1	SSE2	%SSE	Log(%SSE)	Srqt(SSE/N)
1	307	804	804	100.00	2.00	1.6182
2	307	479	479	59.56	1.77	1.2488
3	307	264	264	32.83	1.52	0.9272
4	307	166	166	20.59	1.31	0.7343
5	307	112	112	13.99	1.15	0.6053
6	307	85	85	10.63	1.03	0.5277
7	307	67	67	8.30	0.92	0.4661

CLUS	nbar	nstd	RMSbar	RMSstd	n>2	r2wbar	r2wstd	K'
1	307.0	0.0	1.62	0.00	1	0.00	0.00	1.0000
2	153.5	68.5	1.15	0.20	2	0.34	0.20	1.0000
3	102.3	38.1	0.88	0.13	3	0.08	0.04	1.0000
4	76.8	29.5	0.73	0.18	4	0.02	0.03	1.0000
5	61.4	30.8	0.60	0.14	5	0.03	0.02	1.0000
6	51.2	33.6	0.50	0.06	6	0.03	0.04	1.0000
7	43.9	22.2	0.46	0.06	7	0.06	0.07	1.0000

Tabla 189. Fase estratigráfica 14. Distribución de la producción laminar

	C	N	VAR	X	Y
3	1	66	0.699	-10.869	63.040
3	2	86	0.950	-8.377	63.794
3	3	155	0.997	-9.315	61.538
5	1	51	0.507	-11.037	63.241
5	2	49	0.481	-9.055	63.778
5	3	122	0.573	-9.582	62.068
5	4	49	0.860	-8.932	60.481
5	5	36	0.570	-7.451	63.863

Tabla 190. Fase estratigráfica 14. Distribución de la producción lascar
4 Clusters - Final Clusters

CLUS	N	SSE1	SSE2	%SSE	Log(%SSE)	Srqt(SSE/N)
4	915	469	469	21.53	1.33	0.7161

CLUS	nbar	nstd	RMSbar	RMSstd	n>2	r2wbar	r2wstd	K'
4	228.8	111.2	0.73	0.14	4	0.04	0.06	1.0000

CLUS	n	RMS	K	r2	Slope
1	214	0.84	1.0000	0.00	0.00
2	158	0.57	1.0000	0.00	0.00
3	414	0.62	1.0000	0.03	0.12
4	129	0.91	1.0000	0.19	0.20

CLUS VAR MEAN/STDDEV...

1	1:	-8.53/	0.79	2:	63.78/	0.30
2	1:	-11.05/	0.24	2:	63.21/	0.51
3	1:	-9.65/	0.52	2:	62.07/	0.35
4	1:	-8.94/	0.82	2:	60.39/	0.39

CLUS UNITS...

1	1	2	3	4	5	6	351	352	353	354	355	356
	357	413	414	415	416	417	418	419	420	421	422	423
	424	425	426	427	428	429	430	431	432	433	434	435
	436	437	438	439	440	441	442	443	444	445	446	447
	448	449	457	458	459	460	461	462	463	464	465	466
	467	468	469	470	471	472	473	474	475	476	477	478
	479	480	481	482	483	484	485	486	487	488	489	490
	491	492	493	494	495	496	497	498	499	500	501	502
	503	504	505	506	507	508	509	510	511	512	513	514
	582	583	584	585	586	587	588	589	590	591	592	593
	594	595	596	597	598	599	600	601	602	603	604	605
	606	607	608	609	610	611	612	613	614	615	616	617
	618	619	620	621	622	623	624	625	626	627	628	629
	630	631	632	633	634	635	636	637	638	639	640	641
	682	684	687	690	691	692	694	697	733	734	773	774
	775	776	777	778	779	780	781	782	783	784	785	786
	787	801	819	820	821	822	829	840	841	862	866	867
	869	870	872	886	887	894	895	898	908	910		
2	17	18	19	20	21	22	23	24	85	86	87	88
	89	90	91	92	93	94	95	96	104	105	106	107
	108	109	110	111	112	281	282	283	284	285	286	287
	288	289	290	291	292	293	294	295	296	297	298	299
	300	301	302	303	304	305	372	374	375	384	388	391
	399	400	402	403	406	408	450	451	452	453	454	455
	456	642	643	644	645	646	647	648	649	650	651	652
	653	654	655	656	657	658	659	660	661	662	663	664

665 666 667 668 669 670 671 672 673 674 675 676
677 678 679 680 681 700 701 702 703 704 705 706
707 726 727 728 729 730 731 732 736 737 760 767
768 788 789 790 791 825 827 828 830 831 832 858
868 874 875 878 879 880 883 884 885 899 902 906
907 914

3 25 26 27 28 29 30 31 32 33 34 35 36
37 38 39 62 63 64 65 66 67 68 69 70
71 72 73 74 75 76 77 78 79 80 81 82
83 84 97 98 99 100 101 102 103 113 114 115
116 117 118 125 145 146 147 148 149 150 151 152
153 154 155 156 157 158 159 160 161 162 163 164
165 166 167 168 169 170 171 172 173 174 175 176
177 178 179 180 181 182 183 184 185 186 187 188
189 190 191 192 193 194 195 196 197 198 199 200
201 202 203 204 205 206 207 208 209 210 211 212
213 214 215 216 217 218 219 220 221 222 223 224
225 226 227 228 229 230 231 232 233 234 235 236
237 238 239 240 241 242 243 244 245 246 247 248
249 250 251 252 253 254 255 256 257 258 259 260
261 262 263 264 265 266 267 268 269 270 271 272
273 274 275 276 277 278 279 280 306 307 308 309
310 311 312 313 314 315 316 317 318 319 320 321
322 323 324 325 326 327 328 329 330 331 332 335
336 337 338 339 340 341 342 343 344 345 346 347
348 349 350 358 359 360 361 362 363 364 365 366
367 368 369 370 371 373 376 377 378 379 380 381
382 383 385 386 387 389 390 392 393 394 395 396
397 398 401 404 405 407 409 410 411 412 515 516
517 518 519 520 521 522 543 544 545 546 547 548
549 550 551 552 553 554 555 556 557 558 559 560
561 562 563 564 565 566 567 568 569 570 571 572
573 574 575 576 577 578 579 580 581 683 685 686
688 689 693 695 696 698 699 738 739 740 741 742
743 744 747 748 749 750 751 752 753 754 755 756
757 758 759 761 762 763 764 765 766 769 770 771
772 795 802 803 804 805 806 807 808 809 810 811
812 813 814 815 816 817 818 823 824 826 846 847
848 849 850 851 852 853 854 855 856 857 859 860
861 863 864 865 871 873 876 888 889 890 891 892
893 896 897 911 912 913

4 7 8 9 10 11 12 13 14 15 16 40 41
42 43 44 45 46 47 48 49 50 51 52 53
54 55 56 57 58 59 60 61 119 120 121 122
123 124 126 127 128 129 130 131 132 133 134 135
136 137 138 139 140 141 142 143 144 333 334 523
524 525 526 527 528 529 530 531 532 533 534 535
536 537 538 539 540 541 542 708 709 710 711 712
713 714 715 716 717 718 719 720 721 722 723 724

Tabla 191. Fase estratigráfica 14. Distribución de la producción lascar
Run Statistics Summary

CLUS	N	SSE1	SSE2	%SSE	Log(%SSE)	Srqt(SSE/N)
1	915	2179	2179	100.00	2.00	1.5432
2	915	1370	1370	62.85	1.80	1.2234
3	915	779	779	35.75	1.55	0.9228
4	915	469	469	21.53	1.33	0.7161
5	915	373	373	17.13	1.23	0.6386
6	915	281	281	12.92	1.11	0.5547
7	915	202	202	9.27	0.97	0.4698

CLUS	nbar	nstd	RMSbar	RMSstd	n>2	r2wbar	r2wstd	K'
1	915.0	0.0	1.54	0.00	1	0.00	0.00	1.0000
2	457.5	77.5	1.24	0.18	2	0.14	0.03	1.0000
3	305.0	112.4	0.88	0.09	3	0.09	0.06	1.0000
4	228.8	111.2	0.73	0.14	4	0.04	0.06	1.0000
5	183.0	116.2	0.63	0.14	5	0.04	0.06	1.0000
6	152.5	61.1	0.56	0.16	6	0.05	0.07	1.0000
7	130.7	70.6	0.47	0.04	7	0.03	0.03	1.0000

Tabla 192. Fase estratigráfica 14. Distribución de la producción lascar

C	N	VAR	X	Y
4	1 214	0.842	-8.529	63.784
4	2 158	0.565	-11.054	63.214
4	3 414	0.623	-9.654	62.075
4	4 129	0.908	-8.943	60.392

725 735 745 746 792 793 794 796 797 798 799 800
833 834 835 836 837 838 839 842 843 844 845 877
881 882 900 901 903 904 905 909 915

Tabla 193. Fase estratigráfica 14. Distribución de tipos
3 Clusters - Final Clusters

CLUS	N	SSE1	SSE2	%SSE	Log(%SSE)	Srqt(SSE/N)
3	24	19	19	20.47	1.31	0.8933

CLUS	nbar	nstd	RMSbar	RMSstd	n>2	r2wbar	r2wstd	K'
3	8.0	3.7	0.73	0.29	3	0.10	0.07	1.0000

CLUS	n	RMS	K	r2	Slope
1	12	0.96	1.0000	0.03	0.18
2	9	0.91	1.0000	0.18	-0.52
3	3	0.31	1.0000	0.15	-0.10

CLUS VAR MEAN/STDDEV...

1	1:	-9.01/	0.65	2:	60.79/	0.70
2	1:	-10.64/	0.57	2:	63.06/	0.70
3	1:	-7.46/	0.30	2:	63.80/	0.08

CLUS UNITS...

1	3	4	5	7	8	9	10	14	16	20	24	26
2	2	6	11	12	18	19	21	22	25			
3	1	15	23									

Units Removed from the Analysis: 2

Unit 13 Closest to Cluster 2 - distance = 1.8E+0000
Unit 17 Closest to Cluster 3 - distance = 9.8E-0001

Tabla 194. Fase estratigráfica 14. Distribución de tipos
4 Clusters - Final Clusters

CLUS	N	SSE1	SSE2	%SSE	Log(%SSE)	Srqt(SSE/N)
4	24	12	12	12.70	1.10	0.7089

CLUS	nbar	nstd	RMSbar	RMSstd	n>2	r2wbar	r2wstd	K'
4	6.0	2.5	0.60	0.19	4	0.19	0.11	1.0000

CLUS	n	RMS	K	r2	Slope
1	10	0.83	1.0000	0.19	0.29
2	5	0.60	1.0000	0.38	1.33
3	3	0.31	1.0000	0.15	-0.10
4	6	0.65	1.0000	0.06	-0.09

CLUS VAR MEAN/STDDEV...

1	1:	-8.98/	0.70	2:	60.53/	0.46
2	1:	-11.04/	0.25	2:	63.56/	0.55
3	1:	-7.46/	0.30	2:	63.80/	0.08
4	1:	-9.82/	0.61	2:	62.30/	0.23

CLUS UNITS...

1	3	4	5	7	8	9	10	14	16	26
2	2	6	11	12	25					
3	1	15	23							
4	18	19	20	21	22	24				

Units Removed from the Analysis: 2

Unit 13 Closest to Cluster 3 - distance = 1.8E+0000
Unit 17 Closest to Cluster 3 - distance = 9.8E-0001

Tabla 195. Fase estratigráfica 14. Distribución de tipos
Run Statistics Summary

CLUS	N	SSE1	SSE2	%SSE	Log(%SSE)	Srqt(SSE/N)
1	26	91	91	100.00	2.00	1.8739
2	26	45	45	49.62	1.70	1.3200
3	24	19	19	20.47	1.31	0.8933
4	24	12	12	12.70	1.10	0.7089
5	24	10	9	10.09	1.00	0.6349

CLUS	nbar	nstd	RMSbar	RMSstd	n>2	r2wbar	r2wstd	K'
1	26.0	0.0	1.87	0.00	1	0.02	0.00	1.0000
2	13.0	3.0	1.19	0.36	2	0.10	0.07	1.0000
3	8.0	3.7	0.73	0.29	3	0.10	0.07	1.0000
4	6.0	2.5	0.60	0.19	4	0.19	0.11	1.0000
5	4.8	2.7	0.46	0.21	5	0.47	0.33	1.0000

Tabla 196. Fase estratigráfica 14. Distribucion de tipos

	C	N	VAR	X	Y
3	1	12	0.958	-9.010	60.785
3	2	9	0.906	-10.643	63.061
3	3	3	0.313	-7.460	63.803
4	1	10	0.835	-8.977	60.532
4	2	5	0.602	-11.042	63.564
4	3	3	0.313	-7.460	63.803
4	4	6	0.649	-9.822	62.305

Tabla 197. Fase estratigráfica 15. Distribución de la producción laminar
3 Clusters - Final Clusters

CLUS	N	SSE1	SSE2	%SSE	Log(%SSE)	Srqt(SSE/N)
3	188	71	70	21.21	1.33	0.6144

CLUS	nbar	nstd	RMSbar	RMSstd	n>2	r2wbar	r2wstd	K'
3	62.7	61.3	0.55	0.23	3	0.00	0.01	1.0000

CLUS	n	RMS	K	r2	Slope
1	148	0.57	1.0000	0.00	0.05
2	7	0.27	1.0000	0.02	-0.07
3	33	0.83	1.0000	0.01	-0.07

CLUS VAR MEAN/STDDEV...

1	1: -10.49/ 0.37	2: 62.07/ 0.42
2	1: -5.72/ 0.24	2: 64.23/ 0.14
3	1: -11.03/ 0.71	2: 63.57/ 0.41

CLUS UNITS...

1	1	2	3	4	17	18	19	20	21	22	23	24
	25	26	27	28	29	30	31	32	33	34	35	36
	37	38	39	40	41	42	43	50	51	52	53	54
	55	56	57	58	59	60	61	62	63	64	65	66
	67	68	69	70	71	77	79	80	81	82	83	84
	85	86	87	88	89	90	91	92	93	94	95	96
	97	99	101	102	103	104	105	113	114	115	116	117
	118	120	121	122	123	124	125	126	127	128	129	130
	131	132	135	136	137	138	139	140	141	142	143	144
	145	146	147	148	149	150	151	152	153	154	155	156
	157	158	159	161	162	163	164	165	167	169	170	172
	174	175	176	177	178	180	181	182	183	184	185	186
	187	188	189	190								
2	44	45	46	47	48	134	179					
3	5	6	7	8	9	10	11	12	14	15	16	49
	72	73	74	75	76	78	98	100	107	108	109	110
	111	112	119	133	160	168	171	173	191			

Units Removed from the Analysis: 3

Unit 13 Closest to Cluster 3 - distance = 1.3E+0000
 Unit 106 Closest to Cluster 1 - distance = 1.8E+0000
 Unit 166 Closest to Cluster 1 - distance = 1.4E+0000

Tabla 198. Fase estratigráfica 15. Distribución de la producción laminar
4 Clusters - Final Clusters

CLUS	N	SSE1	SSE2	%SSE	Log(%SSE)	Srqt(SSE/N)
4	188	49	48	14.46	1.16	0.5082

CLUS	nbar	nstd	RMSbar	RMSstd	n>2	r2wbar	r2wstd	K'
4	47.0	32.2	0.49	0.19	4	0.06	0.04	1.0000

CLUS	n	RMS	K	r2	Slope
1	83	0.41	1.0000	0.01	-0.08
2	7	0.27	1.0000	0.02	-0.07
3	74	0.50	1.0000	0.11	0.25
4	24	0.78	1.0000	0.09	0.15

CLUS VAR MEAN/STDDEV...

1	1:	-10.48/	0.34	2:	61.75/	0.24
2	1:	-5.72/	0.24	2:	64.23/	0.14
3	1:	-10.49/	0.40	2:	62.56/	0.31
4	1:	-11.26/	0.69	2:	63.73/	0.36

CLUS UNITS...

1	3	18	20	22	23	25	26	29	34	35	36	37
	38	39	40	41	42	43	50	51	54	55	59	60
	62	63	64	65	67	68	82	83	84	85	87	88
	90	93	96	97	114	116	120	121	123	124	125	126
	127	128	129	130	131	132	136	137	138	139	140	141
	142	143	144	145	146	147	152	153	154	156	164	165
	167	175	176	177	178	180	181	182	183	184	190	
2	44	45	46	47	48	134	179					
3	1	2	4	17	19	21	24	27	28	30	31	32
	33	49	52	53	56	57	58	61	66	69	70	71
	72	74	77	79	80	81	86	89	91	92	94	95
	99	100	101	102	103	104	105	113	115	117	118	122
	133	135	148	149	150	151	155	157	158	159	160	161
	162	163	168	169	170	171	172	174	185	186	187	188
	189	191										
4	5	6	7	8	9	10	11	12	14	15	16	73
	75	76	78	98	107	108	109	110	111	112	119	173

Units Removed from the Analysis: 3

Unit 13 Closest to Cluster 4 - distance = 1.3E+0000
 Unit 106 Closest to Cluster 1 - distance = 1.9E+0000
 Unit 166 Closest to Cluster 1 - distance = 1.4E+0000

Tabla 199. Fase estratigráfica 15. Distribución de la producción laminar
6 Clusters - Final Clusters

CLUS	N	SSE1	SSE2	%SSE	Log(%SSE)	Srqt(SSE/N)
6	188	30	29	8.73	0.94	0.3964

CLUS	nbar	nstd	RMSbar	RMSstd	n>2	r2wbar	r2wstd	K'
6	31.3	20.3	0.40	0.10	6	0.02	0.02	1.0000

CLUS	n	RMS	K	r2	Slope
1	53	0.33	1.0000	0.00	0.07
2	7	0.27	1.0000	0.02	-0.07
3	54	0.41	1.0000	0.01	0.11
4	10	0.53	1.0000	0.07	-0.23
5	47	0.36	1.0000	0.04	-0.26
6	17	0.53	1.0000	0.01	0.09

CLUS VAR MEAN/STDDEV...

1	1: -10.28/ 0.21	2: 61.70/ 0.25
2	1: -5.72/ 0.24	2: 64.23/ 0.14
3	1: -10.32/ 0.31	2: 62.57/ 0.28
4	1: -11.94/ 0.40	2: 63.62/ 0.35
5	1: -10.90/ 0.21	2: 62.03/ 0.29
6	1: -10.69/ 0.39	2: 63.74/ 0.36

CLUS UNITS...

1	3	18	20	22	23	25	26	29	34	37	38	39
	41	42	43	54	55	59	60	62	63	64	65	68
	93	96	97	120	121	123	124	125	126	127	128	130
	131	137	138	142	143	144	145	146	147	153	154	167
	176	177	181	182	184							
2	44	45	46	47	48	134	179					
3	2	17	19	21	24	27	28	30	32	33	52	53
	57	58	61	69	70	71	72	74	77	79	80	81
	91	92	94	99	100	101	102	103	104	105	113	115
	117	118	122	133	135	136	148	157	159	160	161	162
	169	170	171	174	187	188						
4	8	9	11	12	14	16	107	109	111	119		
5	1	4	31	35	36	40	50	51	56	66	67	82
	83	84	85	86	87	88	89	90	95	114	116	129
	132	139	140	141	149	150	151	152	155	156	158	163
	164	165	172	175	178	180	183	185	186	189	190	
6	5	6	7	10	15	49	73	75	76	78	98	108
	110	112	168	173	191							

Units Removed from the Analysis: 3

Unit 13 Closest to Cluster 4 - distance = 9.0E-0001

Unit 106 Closest to Cluster 5 - distance = 1.4E+0000

Tabla 200. Fase estratigráfica 15. Distribución de la producción laminar
Run Statistics Summary

CLUS	N	SSE1	SSE2	%SSE	Log(%SSE)	Srqt(SSE/N)
1	191	332	332	100.00	2.00	1.3183
2	188	140	139	41.98	1.62	0.8627
3	188	71	70	21.21	1.33	0.6144
4	188	49	48	14.46	1.16	0.5082
5	188	39	39	11.63	1.07	0.4565
6	188	30	29	8.73	0.94	0.3964
7	188	26	25	7.52	0.88	0.3685

CLUS	nbar	nstd	RMSbar	RMSstd	n>2	r2wbar	r2wstd	K'
1	191.0	0.0	1.32	0.00	1	0.07	0.00	1.0000
2	94.0	87.0	0.57	0.30	2	0.11	0.02	1.0000
3	62.7	61.3	0.55	0.23	3	0.00	0.01	1.0000
4	47.0	32.2	0.49	0.19	4	0.06	0.04	1.0000
5	37.6	32.1	0.45	0.10	5	0.04	0.02	1.0000
6	31.3	20.3	0.40	0.10	6	0.02	0.02	1.0000
7	26.9	18.0	0.39	0.10	7	0.07	0.05	1.0000

Tabla 201. Fase estratigráfica 15. Distribución de la producción laminar

	C	N	VAR	X	Y
3	1	148	0.566	-10.489	62.071
3	2	7	0.273	-5.719	64.226
3	3	33	0.825	-11.031	63.575
4	1	83	0.413	-10.482	61.753
4	2	7	0.273	-5.719	64.226
4	3	74	0.503	-10.486	62.559
4	4	24	0.779	-11.264	63.732
6	1	53	0.325	-10.285	61.700
6	2	7	0.273	-5.719	64.226
6	3	54	0.413	-10.324	62.575
6	4	10	0.529	-11.942	63.616
6	5	47	0.360	-10.904	62.034
6	6	17	0.529	-10.694	63.737

Tabla 202. Fase estratigráfica 15. Distribución de la producción lascar
3 Clusters - Final Clusters

CLUS	N	SSE1	SSE2	%SSE	Log(%SSE)	Srqt(SSE/N)
3	435	174	174	16.57	1.22	0.6323

CLUS	nbar	nstd	RMSbar	RMSstd	n>2	r2wbar	r2wstd	K'
3	145.0	111.8	0.54	0.25	3	0.01	0.01	1.0000

CLUS	n	RMS	K	r2	Slope
1	292	0.54	1.0000	0.02	0.16
2	21	0.24	1.0000	0.00	-0.01
3	122	0.85	1.0000	0.00	-0.03

CLUS VAR MEAN/STDDEV...

1	1: -10.52/ 0.36	2: 61.98/ 0.40
2	1: -5.73/ 0.23	2: 64.26/ 0.08
3	1: -11.10/ 0.71	2: 63.54/ 0.47

CLUS UNITS...

1	1	9	10	11	14	21	22	26	37	57	89	108
	109	110	111	112	113	114	115	122	128	129	130	131
	132	133	134	135	136	137	138	139	140	141	142	143
	144	145	146	147	148	149	150	151	152	153	154	155
	156	157	158	163	164	165	166	167	168	169	170	171
	172	173	174	175	176	177	178	179	180	181	182	183
	184	185	186	187	188	189	190	191	192	193	194	195
	196	197	198	199	200	201	202	203	204	205	206	207
	208	209	210	211	212	213	214	215	216	217	218	219
	220	221	222	223	224	225	226	227	228	229	230	231
	232	233	234	235	236	237	238	239	240	241	242	243
	244	245	246	247	248	249	250	251	252	253	254	255
	256	257	258	259	260	261	262	263	264	265	266	267
	284	285	287	288	289	290	291	292	293	294	295	296
	297	298	299	300	301	302	303	304	305	306	307	308
	309	310	311	312	313	314	315	316	317	318	319	320
	321	322	323	324	325	326	327	328	329	330	331	332
	333	334	335	336	337	338	339	340	341	342	343	344
	345	346	347	348	349	350	351	352	353	354	355	356
	357	358	359	360	361	362	363	364	365	366	367	368
	369	370	371	372	373	374	375	376	377	378	379	380
	381	382	383	384	385	386	387	388	389	390	392	393
	395	397	398	399	401	402	403	404	405	406	407	409
	410	411	412	413	417	418	419	420	421	425	426	427
	430	431	432	436								
2	268	269	270	271	272	273	274	275	276	277	278	279
	280	281	283	400	408	428	429	433	434			
3	2	3	4	5	6	7	8	12	13	15	16	17

18 19 20 23 24 25 27 28 29 30 31 32
33 34 35 36 38 39 40 41 42 43 44 45
46 47 48 49 50 51 52 53 54 55 56 58
59 60 61 62 63 64 65 66 67 68 69 70
71 72 73 74 75 76 77 78 79 80 81 82
83 84 85 86 87 88 90 91 92 93 94 95
96 97 98 99 100 101 102 103 104 105 106 107
116 117 118 119 120 121 123 124 125 126 127 159
160 161 162 286 391 394 414 415 416 422 423 424
435 437

Units Removed from the Analysis: 2

Unit 282 Closest to Cluster 2 - distance = 1.6E+0000

Unit 396 Closest to Cluster 2 - distance = 2.1E+0000

4 27 29 31 32 33 36 38 42 45 47 49 54
55 56 59 61 62 64 65 66 71 73 78 85
86 88 90 95 98 101 103 105 116 119 120 414
422 423 424 435 437
5 1 5 7 9 10 11 13 14 15 21 22 23
25 26 37 50 51 57 60 69 77 89 92 97
109 110 111 112 113 114 128 131 133 135 136 137
146 148 152 153 154 156 157 158 159 162 163 284
285 286 289 291 292 295 296 297 299 301 303 306
308 309 311 313 315 316 325 326 328 330 332 335
337 338 342 344 345 346 348 351 352 353 354 355
356 357 358 360 361 362 365 367 368 370 371 372
373 375 376 378 381 386 388 389 390 391 392 393
395 398 402 404 405 406 410 412 413 417 426 427
431 436

Units Removed from the Analysis: 2

Unit 282 Closest to Cluster 2 - distance = 1.6E+0000

Unit 396 Closest to Cluster 2 - distance = 2.1E+0000

Tabla 204. Fase estratigráfica 15. Distribución de la producción lascar
Run Statistics Summary

CLUS	N	SSE1	SSE2	%SSE	Log(%SSE)	Srqt(SSE/N)
1	437	1049	1049	100.00	2.00	1.5492
2	435	412	412	39.30	1.59	0.9736
3	435	174	174	16.57	1.22	0.6323
4	435	125	125	11.92	1.08	0.5363
5	435	92	92	8.80	0.94	0.4610
6	435	78	78	7.46	0.87	0.4245
7	435	70	70	6.70	0.83	0.4022

CLUS	nbar	nstd	RMSbar	RMSstd	n>2	r2wbar	r2wstd	K'
1	437.0	0.0	1.55	0.00	1	0.05	0.00	1.0000
2	217.5	196.5	0.62	0.38	2	0.14	0.03	1.0000
3	145.0	111.8	0.54	0.25	3	0.01	0.01	1.0000
4	108.8	105.5	0.49	0.15	4	0.03	0.05	1.0000
5	87.0	60.4	0.45	0.12	5	0.03	0.05	1.0000
6	72.5	53.0	0.41	0.10	6	0.01	0.02	1.0000
7	62.1	53.8	0.39	0.06	7	0.01	0.03	1.0000

Tabla 205. Fase estratigráfica 15. Distribución de la producción lascar

C	N	VAR	X	Y	
3	1	292	0.536	-10.522	61.981
3	2	21	0.245	-5.734	64.260
3	3	122	0.852	-11.100	63.542
5	1	187	0.432	-10.561	61.733
5	2	21	0.245	-5.734	64.260
5	3	64	0.544	-10.686	63.739
5	4	41	0.593	-11.958	63.468
5	5	122	0.432	-10.473	62.500

Tabla 206. Fase estratigráfica 16a. Distribución de la producción laminar
4 Clusters - Final Clusters

CLUS	N	SSE1	SSE2	%SSE	Log(%SSE)	Srqt(SSE/N)
4	139	84	83	6.84	0.84	0.7764

CLUS	nbar	nstd	RMSbar	RMSstd	n>2	r2wbar	r2wstd	K'
4	34.8	13.1	0.73	0.21	4	0.05	0.08	1.0000

CLUS	n	RMS	K	r2	Slope
1	53	0.61	1.0000	0.01	0.06
2	40	1.09	1.0000	0.17	-0.21
3	28	0.54	1.0000	0.00	-0.02
4	18	0.66	1.0000	0.01	-0.04

CLUS VAR MEAN/STDDEV...

1	1:	-9.49/	0.52	2:	63.12/	0.31
2	1:	-3.76/	0.97	2:	63.66/	0.49
3	1:	-7.94/	0.44	2:	60.30/	0.32
4	1:	-6.02/	0.59	2:	60.34/	0.30

CLUS UNITS...

1	31	32	33	34	35	36	37	38	39	40	41	42
	43	44	45	46	47	48	49	50	51	52	53	54
	55	56	57	58	59	60	61	62	63	64	89	90
	91	97	98	99	103	107	108	109	110	111	112	113
	114	117	142	143	144							
2	1	2	3	4	5	6	29	67	68	70	71	72
	81	82	83	84	85	86	87	88	92	93	94	100
	101	120	121	122	123	124	125	126	127	131	132	133
	134	135	136	137								
3	7	13	14	15	16	19	20	21	22	24	25	26
	65	66	73	74	75	78	80	96	104	106	115	116
	128	130	138	141								
4	8	9	10	11	12	17	18	23	30	76	77	79
	95	105	118	129	139	140						

Units Removed from the Analysis: 5

Unit 27 Closest to Cluster 4 - distance = 2.2E+0000
 Unit 28 Closest to Cluster 1 - distance = 1.7E+0000
 Unit 69 Closest to Cluster 3 - distance = 1.7E+0000
 Unit 102 Closest to Cluster 1 - distance = 1.8E+0000
 Unit 119 Closest to Cluster 3 - distance = 1.2E+0000

Tabla 207. Fase estratigráfica 16a. Distribución de la producción laminar
5 Clusters - Final Clusters

CLUS	N	SSE1	SSE2	%SSE	Log(%SSE)	Srqt(SSE/N)
5	139	52	51	4.22	0.63	0.6110

CLUS	nbar	nstd	RMSbar	RMSstd	n>2	r2wbar	r2wstd	K'
5	27.8	13.9	0.64	0.12	5	0.08	0.08	1.0000

CLUS	n	RMS	K	r2	Slope
1	52	0.46	1.0000	0.16	-0.29
2	30	0.77	1.0000	0.02	-0.13
3	28	0.54	1.0000	0.00	-0.02
4	18	0.66	1.0000	0.01	-0.04
5	11	0.76	1.0000	0.19	-0.16

CLUS VAR MEAN/STDDEV...

1	1:	-9.55/	0.37	2:	63.10/	0.28
2	1:	-3.31/	0.59	2:	63.55/	0.50
3	1:	-7.94/	0.44	2:	60.30/	0.32
4	1:	-6.02/	0.59	2:	60.35/	0.30
5	1:	-5.27/	0.71	2:	64.01/	0.26

CLUS UNITS...

1	31	32	33	34	35	36	37	38	39	40	41	42
	43	44	45	46	47	48	49	50	51	52	53	54
	55	56	57	58	59	60	61	62	63	64	89	90
	91	97	98	99	107	108	109	110	111	112	113	114
	117	142	143	144								
2	1	2	3	4	5	6	29	67	68	71	72	82
	83	84	85	87	88	92	93	94	100	101	123	125
	132	133	134	135	136	137						
3	7	13	14	15	16	19	20	21	22	24	25	26
	65	66	73	74	75	78	80	96	104	106	115	116
	128	130	138	141								
4	8	9	10	11	12	17	18	23	30	76	77	79
	95	105	118	129	139	140						
5	70	81	86	103	120	121	122	124	126	127	131	

Units Removed from the Analysis: 5

Unit	27	Closest to Cluster 4 - distance =	2.2E+0000
Unit	28	Closest to Cluster 1 - distance =	1.7E+0000
Unit	69	Closest to Cluster 3 - distance =	1.7E+0000
Unit	102	Closest to Cluster 1 - distance =	1.7E+0000
Unit	119	Closest to Cluster 3 - distance =	1.2E+0000

Tabla 217. Fase estratigráfica 16a. Distribución producción laminar
Run Statistics Summary

CLUS	N	SSE1	SSE2	%SSE	Log(%SSE)	Srqt(SSE/N)
1	144	1216	1216	100.00	2.00	2.9055
2	139	446	445	36.60	1.56	1.7903
3	139	124	123	10.15	1.01	0.9446
4	139	84	83	6.84	0.84	0.7764
5	139	52	51	4.22	0.63	0.6110
6	139	42	42	3.43	0.54	0.5520
7	139	36	35	2.88	0.46	0.5061
8	139	30	29	2.40	0.38	0.4625
9	139	26	25	2.06	0.31	0.4297

CLUS	nbar	nstd	RMSbar	RMSstd	n>2	r2wbar	r2wstd	K'
1	144.0	0.0	2.91	0.00	1	0.02	0.00	1.0000
2	69.5	26.5	1.67	0.27	2	0.44	0.29	1.0000
3	46.3	5.3	0.93	0.23	3	0.05	0.08	1.0000
4	34.8	13.1	0.73	0.21	4	0.05	0.08	1.0000
5	27.8	13.9	0.64	0.12	5	0.08	0.08	1.0000
6	23.2	14.3	0.57	0.08	6	0.06	0.07	1.0000
7	19.9	13.8	0.51	0.08	7	0.10	0.07	1.0000
8	17.4	6.5	0.47	0.12	8	0.08	0.06	1.0000
9	15.4	7.1	0.45	0.09	9	0.08	0.06	1.0000

Tabla 218. Fase estratigráfica 16a. Distribución producción laminar

	C	N	VAR	X	Y
4	1	53	0.610	-9.494	63.118
4	2	40	1.089	-3.763	63.663
4	3	28	0.541	-7.936	60.299
4	4	18	0.661	-6.021	60.345
5	1	52	0.463	-9.545	63.097
5	2	30	0.770	-3.311	63.551
5	3	28	0.541	-7.936	60.299
5	4	18	0.661	-6.021	60.345
5	5	11	0.757	-5.270	64.014

Units Removed from the Analysis: 4

Unit 1 Closest to Cluster 3 - distance = 1.6E+0000
Unit 126 Closest to Cluster 3 - distance = 1.5E+0000
Unit 130 Closest to Cluster 3 - distance = 2.9E+0000
Unit 250 Closest to Cluster 3 - distance = 2.2E+0000

Tabla 220. Fase estratigráfica 16a. Distribución de la producción lascar
6 Clusters - Final Clusters

CLUS	N	SSE1	SSE2	%SSE	Log(%SSE)	Srqt(SSE/N)
6	283	92	91	4.58	0.66	0.5708

CLUS	nbar	nstd	RMSbar	RMSstd	n>2	r2wbar	r2wstd	K'
6	47.2	16.7	0.58	0.12	6	0.03	0.03	1.0000

CLUS	n	RMS	K	r2	Slope
1	52	0.53	1.0000	0.01	-0.14
2	34	0.77	1.0000	0.01	0.13
3	70	0.40	1.0000	0.01	-0.07
4	56	0.54	1.0000	0.04	-0.21
5	18	0.61	1.0000	0.00	0.01
6	53	0.65	1.0000	0.07	0.18

CLUS VAR MEAN/STDDEV...

1	1:	-8.25/	0.32	2:	60.38/	0.42
2	1:	-3.11/	0.51	2:	63.33/	0.58
3	1:	-9.41/	0.33	2:	62.96/	0.22
4	1:	-6.85/	0.38	2:	60.34/	0.39
5	1:	-4.56/	0.57	2:	64.01/	0.23
6	1:	-5.34/	0.54	2:	60.33/	0.36

CLUS UNITS...

1	4	6	7	33	34	39	41	45	46	47	49	51
	53	56	63	64	69	72	74	76	77	80	81	84
	95	96	99	104	111	112	115	119	123	138	140	141
	144	155	160	170	171	174	177	246	272	273	275	277
	279	281	285	286								
2	2	9	12	13	14	15	16	17	18	19	20	21
	22	23	24	25	26	28	29	30	31	124	129	131
	133	145	146	147	149	242	243	244	252	262		
3	11	180	181	182	183	184	185	186	187	188	189	190
	191	192	193	194	195	196	197	198	199	200	201	202
	203	204	205	206	207	208	209	210	211	212	213	214
	215	216	217	218	219	220	221	222	223	224	225	226
	227	228	229	230	231	232	233	234	235	236	237	238
	239	240	241	264	265	266	267	268	269	287		
4	32	38	40	42	43	48	50	52	54	55	57	58
	59	61	66	68	70	73	75	79	82	83	88	89
	90	92	98	101	102	105	107	110	120	142	152	156
	157	158	159	161	163	164	165	167	168	169	173	249
	254	255	256	258	259	278	280	284				
5	10	27	125	127	128	132	134	135	136	143	148	178
	179	253	260	261	263	283						
6	3	5	8	35	36	37	44	60	62	65	67	71

78 85 86 87 91 93 94 97 100 103 106 108
109 113 114 116 117 118 121 122 137 139 150 151
153 154 162 166 172 175 176 245 247 248 251 257
270 271 274 276 282

Units Removed from the Analysis: 4

Unit 1 Closest to Cluster 3 - distance = 1.6E+0000
Unit 126 Closest to Cluster 3 - distance = 1.5E+0000
Unit 130 Closest to Cluster 5 - distance = 2.4E+0000
Unit 250 Closest to Cluster 3 - distance = 2.2E+0000

Tabla 221. Fase estratigráfica 16a. Distribución de la producción lascar
Run Statistics Summary

CLUS	N	SSE1	SSE2	%SSE	Log(%SSE)	Srqt(SSE/N)
1	287	1990	1990	100.00	2.00	2.6333
2	283	985	984	49.43	1.69	1.8654
3	283	342	341	17.15	1.23	1.0998
4	283	163	162	8.12	0.91	0.7578
5	283	122	121	6.09	0.78	0.6568
6	283	92	91	4.58	0.66	0.5708
7	283	83	82	4.11	0.61	0.5408
8	283	73	72	3.62	0.56	0.5082
9	283	66	65	3.26	0.51	0.4824

CLUS	nbar	nstd	RMSbar	RMSstd	n>2	r2wbar	r2wstd	K'
1	287.0	0.0	2.63	0.00	1	0.00	0.00	1.0000
2	141.5	82.5	1.69	0.28	2	0.45	0.23	1.0000
3	94.3	45.4	0.96	0.40	3	0.01	0.01	1.0000
4	70.8	12.1	0.74	0.23	4	0.05	0.05	1.0000
5	56.6	6.9	0.63	0.22	5	0.05	0.05	1.0000
6	47.2	16.7	0.58	0.12	6	0.03	0.03	1.0000
7	40.4	20.7	0.55	0.07	7	0.06	0.08	1.0000
8	35.4	21.7	0.53	0.06	8	0.05	0.08	1.0000
9	31.4	19.7	0.50	0.08	9	0.06	0.08	1.0000

Tabla 222. Fase estratigráfica 16a. Distribución producción lascar

	C	N	VAR	X	Y	
	4	1	85	0.744	-7.808	60.390
	4	2	52	1.048	-3.614	63.570
	4	3	70	0.397	-9.407	62.960
	4	4	76	0.781	-5.680	60.305
	6	1	52	0.525	-8.247	60.379
	6	2	34	0.775	-3.115	63.335
	6	3	70	0.397	-9.407	62.960
	6	4	56	0.544	-6.849	60.342
	6	5	18	0.613	-4.556	64.014
	6	6	53	0.646	-5.338	60.330

Tabla 223. Fase estratigráfica 16a. Distribución de tipos
4 Clusters - Final Clusters

CLUS	N	SSE1	SSE2	%SSE	Log(%SSE)	Srqt(SSE/N)
4	24	11	11	5.18	0.71	0.6859

CLUS	nbar	nstd	RMSbar	RMSstd	n>2	r2wbar	r2wstd	K'
4	6.0	1.2	0.64	0.17	4	0.07	0.11	1.0000

CLUS	n	RMS	K	r2	Slope
1	5	0.36	1.0000	0.01	-0.17
2	8	0.84	1.0000	0.03	-0.22
3	5	0.67	1.0000	0.28	1.10
4	6	0.67	1.0000	0.00	0.03

CLUS VAR MEAN/STDDEV...

1	1:	-5.484/ 0.193	2:	60.304/ 0.309
2	1:	-3.220/ 0.521	2:	63.532/ 0.660
3	1:	-9.588/ 0.292	2:	62.582/ 0.607
4	1:	-8.083/ 0.531	2:	60.397/ 0.411

CLUS UNITS...

1	11	12	14	15	19			
2	4	5	6	7	8	9	20	21
3	2	22	23	24	25			
4	1	10	13	16	17	18		

Units Removed from the Analysis: 1

Unit 3 Closest to Cluster 2 - distance = 2.8E+0000

Tabla 224. Fase estratigráfica 16a. Distribución de tipos
Run Statistics Summary

CLUS	N	SSE1	SSE2	%SSE	Log(%SSE)	Srqt(SSE/N)
1	25	218	218	100.00	2.00	2.9525
2	24	72	72	32.85	1.52	1.7273
3	24	30	30	13.65	1.14	1.1132
4	24	11	11	5.18	0.71	0.6859
5	24	8	8	3.77	0.58	0.5849

CLUS	nbar	nstd	RMSbar	RMSstd	n>2	r2wbar	r2wstd	K'
1	25.0	0.0	2.95	0.00	1	0.16	0.00	1.0000
2	12.0	4.0	1.44	0.59	2	0.32	0.20	1.0000
3	8.0	2.4	0.97	0.31	3	0.07	0.11	1.0000
4	6.0	1.2	0.64	0.17	4	0.07	0.11	1.0000
5	4.8	1.5	0.57	0.11	4	0.07	0.11	1.0000

Tabla 225. Fase estratigráfica 16a. Distribución de tipos

	C	N	VAR	X	Y
4	1	5	0.364	-5.484	60.304
4	2	8	0.841	-3.220	63.533
4	3	5	0.674	-9.588	62.582
4	4	6	0.671	-8.083	60.397

Tabla 226. Fase estratigráfica 16b. Distribución de la producción laminar
3 Clusters - Final Clusters

CLUS	N	SSE1	SSE2	%SSE	Log(%SSE)	Srqt(SSE/N)
3	366	534	534	23.50	1.37	1.2079

CLUS	nbar	nstd	RMSbar	RMSstd	n>2	r2wbar	r2wstd	K'
3	122.0	60.2	1.28	0.27	3	0.11	0.09	1.0000

CLUS	n	RMS	K	r2	Slope
1	201	1.15	1.0000	0.07	0.10
2	55	1.66	1.0000	0.31	0.61
3	110	1.03	1.0000	0.06	-0.18

CLUS VAR MEAN/STDDEV...

1	1:	-8.44/	1.08	2:	63.89/	0.38
2	1:	-4.48/	1.12	2:	60.67/	1.22
3	1:	-9.01/	0.85	2:	60.75/	0.60

CLUS UNITS...

1	4	5	6	7	8	9	10	11	12	13	14	15
	16	17	18	20	21	22	23	24	28	30	32	40
	41	54	55	56	57	58	59	60	61	63	64	65
	66	67	68	69	70	71	72	73	74	75	76	77
	78	79	80	81	82	83	84	85	86	87	88	89
	90	91	92	93	94	95	96	97	98	99	100	101
	102	103	104	105	106	107	108	117	118	119	120	121
	122	123	136	141	142	143	144	145	146	147	148	149
	159	166	167	170	178	179	180	185	186	187	190	191
	208	209	210	211	212	213	214	219	220	221	222	223
	229	239	240	241	242	243	244	245	246	247	248	249
	250	251	252	253	254	255	256	257	258	259	260	261
	262	263	264	265	266	267	268	269	270	271	272	273
	274	275	276	277	278	279	280	281	285	286	287	288
	289	290	291	292	307	308	312	313	314	315	316	327
	328	329	330	331	333	334	335	336	337	338	339	340
	342	343	344	345	346	347	359	362	363			
2	1	2	3	53	125	126	127	128	129	130	131	132
	133	134	135	140	154	155	156	157	158	161	163	193
	196	201	202	207	237	238	293	294	295	296	297	298
	300	301	303	304	305	306	323	324	325	326	332	348
	351	352	353	355	361	364	366					
3	19	25	26	27	29	31	33	34	35	36	37	38
	39	42	43	44	45	46	47	48	49	50	51	52
	62	109	110	111	112	113	114	115	116	124	137	138
	139	150	151	152	153	160	162	164	165	168	169	171
	172	173	174	175	176	177	181	182	183	184	188	189
	192	194	195	197	198	199	200	203	204	205	206	215

216 217 218 224 225 226 227 228 230 231 232 233
234 235 236 282 283 284 299 302 309 310 311 317
318 319 320 321 322 341 349 350 354 356 357 358
360 365

Tabla 227. Fase estratigráfica 16b. Distribución de la producción laminar
5 Clusters - Final Clusters

CLUS	N	SSE1	SSE2	%SSE	Log(%SSE)	Srqt(SSE/N)
5	366	294	294	12.92	1.11	0.8955

CLUS	nbar	nstd	RMSbar	RMSstd	n>2	r2wbar	r2wstd	K'
5	73.2	40.8	1.02	0.31	5	0.03	0.08	1.0000

CLUS	n	RMS	K	r2	Slope
1	131	0.52	1.0000	0.00	0.02
2	51	1.14	1.0000	0.02	0.03
3	14	1.48	1.0000	0.44	-0.13
4	104	0.95	1.0000	0.03	-0.13
5	66	1.02	1.0000	0.00	0.00

CLUS VAR MEAN/STDDEV...

1	1:	-8.00/	0.45	2:	63.97/	0.26
2	1:	-4.84/	1.10	2:	60.22/	0.29
3	1:	-4.35/	1.46	2:	63.97/	0.28
4	1:	-9.05/	0.77	2:	60.72/	0.55
5	1:	-9.65/	0.82	2:	63.65/	0.61

CLUS UNITS...

1	12	54	55	56	57	58	59	60	61	63	64	65
	66	67	68	69	70	71	72	73	74	75	76	77
	78	79	80	81	82	83	84	85	86	87	88	89
	90	91	92	93	94	95	96	97	98	99	100	101
	102	103	104	105	106	120	123	141	142	143	144	145
	146	147	148	149	185	186	190	191	213	239	240	241
	242	243	244	245	246	247	248	249	250	251	252	253
	254	255	256	257	258	259	260	261	262	263	264	265
	266	267	268	269	270	271	272	273	274	275	276	277
	278	279	280	281	287	312	314	327	328	329	330	333
	334	335	336	337	338	339	340	342	346	359	363	
2	1	2	3	125	126	127	128	129	130	131	132	133
	134	135	154	155	156	157	158	160	161	163	193	196
	200	201	202	203	207	293	294	295	296	297	298	300
	301	303	304	305	306	326	332	348	351	352	353	355
	361	364	366									
3	5	6	53	107	108	140	208	209	210	237	238	323
	324	325										
4	25	26	27	29	31	33	34	35	36	37	38	39
	42	43	44	45	46	47	48	49	50	51	52	62
	109	110	111	112	113	114	115	116	124	137	138	139
	150	151	152	153	162	164	165	168	169	171	172	173
	174	175	176	177	181	182	183	184	188	189	192	194
	195	197	198	199	204	205	206	215	216	217	218	224

225 226 227 228 230 231 232 233 234 235 236 282
283 284 299 302 309 310 311 317 320 321 322 341
349 350 354 356 357 358 360 365
5 4 7 8 9 10 11 13 14 15 16 17 18
19 20 21 22 23 24 28 30 32 40 41 117
118 119 121 122 136 159 166 167 170 178 179 180
187 211 212 214 219 220 221 222 223 229 285 286
288 289 290 291 292 307 308 313 315 316 318 319
331 343 344 345 347 362

Tabla 228. Fase estratigráfica 16b. Distribución de la producción laminar
Run Statistics Summary

CLUS	N	SSE1	SSE2	%SSE	Log(%SSE)	Srqt(SSE/N)
1	366	2273	2273	100.00	2.00	2.4919
2	366	1244	1244	54.73	1.74	1.8435
3	366	534	534	23.50	1.37	1.2079
4	366	413	413	18.17	1.26	1.0623
5	366	294	294	12.92	1.11	0.8955
6	366	237	237	10.42	1.02	0.8044
7	366	207	207	9.12	0.96	0.7526
8	366	179	179	7.90	0.90	0.7003

CLUS	nbar	nstd	RMSbar	RMSstd	n>2	r2wbar	r2wstd	K'
1	366.0	0.0	2.49	0.00	1	0.04	0.00	1.0000
2	183.0	124.0	1.79	0.07	2	0.13	0.07	1.0000
3	122.0	60.2	1.28	0.27	3	0.11	0.09	1.0000
4	91.5	67.8	1.16	0.19	4	0.06	0.08	1.0000
5	73.2	40.8	1.02	0.31	5	0.03	0.08	1.0000
6	61.0	41.4	0.89	0.31	6	0.02	0.08	1.0000
7	52.3	43.7	0.64	0.26	7	0.01	0.04	1.0000
8	45.8	41.7	0.62	0.23	8	0.03	0.05	1.0000

Tabla 229. Fase estratigráfica 16b. Distribución de la producción laminar

	C	N	VAR	X	Y
3	1	201	1.148	-8.436	63.894
3	2	55	1.658	-4.484	60.672
3	3	110	1.035	-9.006	60.753
5	1	131	0.515	-7.996	63.966
5	2	51	1.138	-4.839	60.224
5	3	14	1.482	-4.353	63.965
5	4	104	0.949	-9.046	60.725
5	5	66	1.017	-9.650	63.645

Tabla 230. Fase estratigráfica 16b. Distribución de la producción lascar
2 Clusters - Final Clusters

CLUS	N	SSE1	SSE2	%SSE	Log(%SSE)	Srqt(SSE/N)
2	621	1926	1926	62.56	1.80	1.7609

CLUS	nbar	nstd	RMSbar	RMSstd	n>2	r2wbar	r2wstd	K'
2	310.5	236.5	1.78	0.02	2	0.22	0.04	1.0000

CLUS	n	RMS	K	r2	Slope
1	547	1.76	1.0000	0.21	0.69
2	74	1.80	1.0000	0.32	0.48

CLUS VAR MEAN/STDDEV...

1	1:	-8.66/	0.96	2:	62.94/	1.47
2	1:	-5.12/	1.37	2:	60.69/	1.16

CLUS UNITS...

1	1	3	7	21	22	23	24	28	32	33	34	35
	36	37	38	39	40	41	42	43	44	45	46	47
	48	49	50	51	52	53	54	56	57	58	59	60
	61	62	63	64	65	66	67	68	69	70	71	72
	73	74	75	76	77	78	79	80	81	82	83	84
	85	86	87	88	89	90	91	92	93	94	95	96
	97	98	99	100	101	102	103	104	105	106	107	108
	109	110	111	113	114	115	116	117	118	119	120	121
	122	123	124	125	126	127	128	129	130	131	132	133
	134	135	136	137	138	139	140	141	142	143	144	145
	146	147	148	149	150	151	152	153	154	155	156	157
	158	159	160	161	162	163	164	165	166	167	168	169
	170	171	172	173	174	175	176	177	178	179	180	181
	187	188	189	190	191	192	193	194	195	196	197	198
	199	200	201	202	203	204	205	206	207	208	209	210
	211	212	213	214	216	217	218	219	220	221	222	223
	224	225	226	227	228	229	230	231	232	233	234	235
	236	237	238	239	240	241	242	243	244	245	246	247
	248	249	250	251	252	253	254	255	256	257	258	259
	260	261	262	263	264	265	266	267	268	269	270	271
	272	273	274	275	276	277	278	279	280	281	282	283
	284	285	286	287	288	289	290	291	292	293	294	295
	296	297	298	299	300	301	302	303	304	305	306	307
	308	309	310	311	312	313	314	315	316	317	318	319
	320	321	322	323	324	325	326	327	328	329	330	331
	332	333	334	335	336	337	338	339	340	341	342	343
	344	345	346	347	348	349	350	351	352	353	354	355
	356	357	358	359	360	361	362	363	364	365	366	367
	368	369	370	371	372	373	374	375	376	377	378	379
	380	381	382	383	384	385	386	387	388	389	390	391

392 393 394 395 396 397 398 399 400 401 402 403
404 405 406 407 408 409 410 411 412 413 414 415
416 417 418 419 420 421 422 423 424 425 426 427
428 429 430 431 432 433 434 435 436 437 438 439
440 441 442 443 444 445 446 447 448 449 450 451
452 453 454 455 456 457 458 459 460 461 462 463
464 465 466 467 468 469 470 471 472 473 474 475
476 477 478 479 480 498 499 507 508 513 514 515
516 517 518 519 520 521 522 523 524 526 527 528
529 530 531 532 533 534 535 536 537 538 539 540
541 542 543 544 545 546 547 548 549 550 551 552
553 560 561 562 563 564 566 567 569 570 571 572
573 574 575 576 577 578 580 581 582 583 584 586
587 590 591 592 593 594 595 596 597 598 599 600
601 602 603 604 605 606 607 608 609 610 611 612
614 616 617 618 619 620 621

2 2 4 5 6 8 9 10 11 12 13 14 15
16 17 18 19 20 25 26 27 29 30 31 55
112 182 183 184 185 186 215 481 482 483 484 485
486 487 488 489 490 491 492 493 494 495 496 497
500 501 502 503 504 505 506 509 510 511 512 525
554 555 556 557 558 559 565 568 579 585 588 589
613 615

Tabla 231. Fase estratigráfica 16b. Distribución de la producción lascar
3 Clusters - Final Clusters

CLUS	N	SSE1	SSE2	%SSE	Log(%SSE)	Srqt(SSE/N)
3	621	743	743	24.14	1.38	1.0938

CLUS	nbar	nstd	RMSbar	RMSstd	n>2	r2wbar	r2wstd	K'
3	207.0	132.6	1.20	0.36	3	0.14	0.11	1.0000

CLUS	n	RMS	K	r2	Slope
1	385	1.06	1.0000	0.16	0.16
2	67	1.70	1.0000	0.40	0.64
3	169	0.84	1.0000	0.00	0.02

CLUS VAR MEAN/STDDEV...

1	1:	-8.42/	0.98	2:	63.86/	0.39
2	1:	-4.87/	1.19	2:	60.72/	1.21
3	1:	-9.16/	0.70	2:	60.76/	0.46

CLUS UNITS...

1	23	24	28	34	35	36	37	38	39	40	41	42
	43	44	45	46	47	48	49	50	51	52	53	54
	56	57	58	59	60	61	62	63	64	65	66	67
	68	69	72	73	74	75	76	77	78	79	80	81
	82	83	84	85	86	87	88	89	90	104	105	106
	109	126	127	128	129	130	187	188	189	190	191	192
	193	194	195	196	197	198	199	200	201	202	203	204
	205	206	207	208	209	210	211	212	213	214	216	217
	218	219	220	221	222	223	224	225	226	227	228	229
	230	231	232	233	234	235	236	237	238	239	240	241
	242	243	244	245	246	247	248	249	250	251	252	253
	254	255	256	257	258	259	260	261	262	263	264	265
	266	267	268	269	270	271	272	273	274	275	276	277
	278	279	280	281	282	283	284	285	286	287	288	289
	290	291	292	293	294	295	296	297	298	299	300	301
	302	303	304	305	306	307	308	309	310	311	312	313
	314	315	316	317	318	319	320	321	322	323	324	325
	326	327	328	329	330	331	332	333	334	335	336	337
	338	339	340	341	342	343	344	345	346	347	348	349
	350	351	352	353	354	355	356	357	358	359	360	361
	362	363	364	365	366	367	368	369	370	371	372	373
	374	375	376	377	378	379	380	381	382	383	384	385
	386	387	388	389	390	391	392	393	394	395	396	397
	398	399	430	431	432	433	434	435	436	437	438	439
	440	441	442	443	444	445	446	447	448	449	450	451
	452	453	454	455	456	457	458	459	460	461	462	463
	464	465	466	467	468	469	470	513	514	515	520	526
	527	528	529	530	531	532	533	534	535	536	537	538

539 540 541 542 543 544 545 546 547 550 551 560
 561 562 564 566 569 570 571 572 573 574 576 581
 582 583 584 587 591 592 593 594 596 597 599 601
 602 603 604 605 606 607 608 609 610 616 619 620
 621
 2 4 5 6 8 9 12 13 14 15 16 17 18
 20 25 27 29 30 31 55 112 182 183 184 185
 186 215 481 482 483 484 485 486 487 488 489 490
 491 492 493 494 495 496 497 500 501 502 503 504
 505 506 509 510 511 525 554 555 556 557 558 559
 565 568 585 588 589 613 615
 3 1 2 3 7 10 11 19 21 22 26 32 33
 70 71 91 92 93 94 95 96 97 98 99 100
 101 102 103 107 108 110 111 113 114 115 116 117
 118 119 120 121 122 123 124 125 131 132 133 134
 135 136 137 138 139 140 141 142 143 144 145 146
 147 148 149 150 151 152 153 154 155 156 157 158
 159 160 161 162 163 164 165 166 167 168 169 170
 171 172 173 174 175 176 177 178 179 180 181 400
 401 402 403 404 405 406 407 408 409 410 411 412
 413 414 415 416 417 418 419 420 421 422 423 424
 425 426 427 428 429 471 472 473 474 475 476 477
 478 479 480 498 499 507 508 512 516 517 518 519
 521 522 523 524 548 549 552 553 563 567 575 577
 578 579 580 586 590 595 598 600 611 612 614 617
 618

Tabla 232. Fase estratigráfica 16b. Distribución producción lascar
5 Clusters - Final Clusters

CLUS	N	SSE1	SSE2	%SSE	Log(%SSE)	Srqt(SSE/N)
5	621	374	374	12.14	1.08	0.7757

CLUS	nbar	nstd	RMSbar	RMSstd	n>2	r2wbar	r2wstd	K'
5	124.2	79.8	0.94	0.31	5	0.05	0.10	1.0000

CLUS	n	RMS	K	r2	Slope
1	246	0.51	1.0000	0.00	0.02
2	60	1.08	1.0000	0.06	0.08
3	19	1.45	1.0000	0.57	-0.15
4	167	0.82	1.0000	0.01	0.05
5	129	0.83	1.0000	0.10	0.25

CLUS VAR MEAN/STDDEV...

1	1:	-7.99/	0.43	2:	63.93/	0.28
2	1:	-5.17/	1.03	2:	60.29/	0.31
3	1:	-4.55/	1.42	2:	64.12/	0.27
4	1:	-9.17/	0.69	2:	60.75/	0.44
5	1:	-9.49/	0.65	2:	63.66/	0.51

CLUS UNITS...

1	187	188	189	190	191	192	193	194	195	196	197	198
	199	200	201	202	203	204	205	206	207	208	209	210
	211	212	213	214	218	219	220	221	222	223	224	225
	226	227	228	229	230	231	232	233	234	235	236	237
	238	239	240	241	242	243	244	245	246	247	248	249
	250	251	252	253	254	255	256	257	258	259	260	261
	262	263	264	265	266	267	268	269	270	271	272	273
	274	275	276	277	278	279	280	281	282	283	284	285
	286	287	288	289	290	291	292	293	294	295	296	297
	298	299	300	301	302	303	304	305	306	307	308	309
	310	311	312	313	314	315	316	317	318	319	320	321
	322	323	324	325	326	327	328	329	330	331	332	333
	334	335	336	337	338	339	340	341	342	343	344	345
	346	347	348	349	350	351	352	353	354	355	356	357
	358	359	360	361	362	363	364	365	366	367	368	369
	370	371	372	373	374	375	376	377	378	379	380	381
	382	383	384	385	386	387	388	398	399	430	432	444
	455	459	463	526	527	528	529	530	531	532	533	534
	535	536	537	538	539	540	541	542	543	544	545	546
	547	564	576	581	583	601	602	603	604	605	606	607
	608	609	610	616	619	620						
2	4	5	6	8	9	12	13	14	15	16	17	18
	20	25	27	29	30	31	112	481	482	483	484	485
	486	487	488	489	490	491	492	493	494	495	496	497

	500	501	502	503	504	505	506	509	510	511	554	555
	556	557	558	559	565	568	579	585	588	589	613	615
3	55	182	183	184	185	186	215	389	390	391	392	393
	394	395	396	397	513	525	596					
4	1	2	3	7	10	11	19	21	22	26	32	33
	70	71	91	92	93	94	95	96	97	98	99	100
	101	102	103	107	108	110	111	113	114	115	116	117
	118	119	120	121	122	123	124	125	131	132	133	134
	135	136	137	138	139	140	141	142	143	144	145	146
	147	148	149	150	151	152	153	154	155	156	157	158
	159	160	161	162	163	164	165	166	167	168	169	170
	171	172	173	174	175	176	177	178	179	180	181	400
	401	402	403	404	405	406	407	408	409	410	411	412
	413	414	415	416	417	418	419	420	421	422	423	424
	425	426	427	428	429	471	472	473	474	475	476	477
	478	479	480	498	499	507	508	512	516	517	518	519
	521	522	523	524	548	549	552	553	563	567	577	578
	580	586	590	595	598	600	611	612	614	617	618	
5	23	24	28	34	35	36	37	38	39	40	41	42
	43	44	45	46	47	48	49	50	51	52	53	54
	56	57	58	59	60	61	62	63	64	65	66	67
	68	69	72	73	74	75	76	77	78	79	80	81
	82	83	84	85	86	87	88	89	90	104	105	106
	109	126	127	128	129	130	216	217	431	433	434	435
	436	437	438	439	440	441	442	443	445	446	447	448
	449	450	451	452	453	454	456	457	458	460	461	462
	464	465	466	467	468	469	470	514	515	520	550	551
	560	561	562	566	569	570	571	572	573	574	575	582
	584	587	591	592	593	594	597	599	621			

Tabla 233. Fase estratigráfica 16b. Distribución producción lascar
Run Statistics Summary

CLUS	N	SSE1	SSE2	%SSE	Log(%SSE)	Srqt(SSE/N)
1	621	3078	3078	100.00	2.00	2.2263
2	621	1926	1926	62.56	1.80	1.7609
3	621	743	743	24.14	1.38	1.0938
4	621	571	571	18.55	1.27	0.9589
5	621	374	374	12.14	1.08	0.7757
6	621	321	321	10.44	1.02	0.7194
7	621	266	266	8.63	0.94	0.6542
8	621	228	228	7.41	0.87	0.6060

CLUS	nbar	nstd	RMSbar	RMSstd	n>2	r2wbar	r2wstd	K'
1	621.0	0.0	2.23	0.00	1	0.00	0.00	1.0000
2	310.5	236.5	1.78	0.02	2	0.22	0.04	1.0000
3	207.0	132.6	1.20	0.36	3	0.14	0.11	1.0000
4	155.3	137.5	1.08	0.23	4	0.10	0.10	1.0000
5	124.2	79.8	0.94	0.31	5	0.05	0.10	1.0000
6	103.5	65.3	0.85	0.35	6	0.06	0.12	1.0000
7	88.7	67.3	0.76	0.31	7	0.06	0.12	1.0000
8	77.6	69.3	0.57	0.21	8	0.05	0.11	1.0000

Tabla 234. Fase estratigráfica 16b. Distribución de la producción lascar

	C	N	VAR	X	Y	
	2	1	547	1.756	-8.663	62.945
	2	2	74	1.797	-5.116	60.686
	3	1	385	1.058	-8.421	63.858
	3	2	67	1.697	-4.867	60.720
	3	3	169	0.839	-9.164	60.758
	5	1	246	0.512	-7.986	63.934
	5	2	60	1.076	-5.167	60.290
	5	3	19	1.451	-4.546	64.118
	5	4	167	0.817	-9.171	60.751
	5	5	129	0.828	-9.493	63.664

Tabla 235. Fase estratigráfica 16b. Distribución de tipos
2 Clusters - Final Clusters

CLUS	N	SSE1	SSE2	%SSE	Log(%SSE)	Srqt(SSE/N)
2	36	43	43	24.43	1.39	1.0894

CLUS	nbar	nstd	RMSbar	RMSstd	n>2	r2wbar	r2wstd	K'
2	18.0	2.0	1.10	0.07	2	0.17	0.04	1.0000

CLUS	n	RMS	K	r2	Slope
1	20	1.02	1.0000	0.13	0.22
2	16	1.17	1.0000	0.21	-0.18

CLUS VAR MEAN/STDDEV...

1	1:	-9.03/	0.87	2:	63.66/	0.53
2	1:	-7.65/	1.09	2:	60.47/	0.43

CLUS UNITS...

1	2	3	4	6	10	14	15	17	21	22	23	24
	25	26	27	28	33	34	35	36				
2	1	5	7	8	9	11	12	13	18	19	20	29
	30	31	32	37								

Units Removed from the Analysis: 1
Unit 16 Closest to Cluster 2 - distance = 3.8E+0000

Tabla 326. Fase estratigráfica 16b. Distribución de tipos
4 Clusters - Final Clusters

CLUS	N	SSE1	SSE2	%SSE	Log(%SSE)	Srqt(SSE/N)
4	36	15	15	8.69	0.94	0.6499

CLUS	nbar	nstd	RMSbar	RMSstd	n>2	r2wbar	r2wstd	K'
4	9.0	2.2	0.64	0.06	4	0.06	0.08	1.0000

CLUS	n	RMS	K	r2	Slope
1	12	0.68	1.0000	0.00	-0.01
2	10	0.61	1.0000	0.18	-0.46
3	6	0.55	1.0000	0.02	0.09
4	8	0.72	1.0000	0.00	-0.05

CLUS VAR MEAN/STDDEV...

1	1:	-9.60/	0.46	2:	63.45/	0.49
2	1:	-8.42/	0.42	2:	60.61/	0.45
3	1:	-6.37/	0.47	2:	60.25/	0.28
4	1:	-8.16/	0.57	2:	63.96/	0.43

CLUS UNITS...

1	2	3	4	14	17	21	22	23	24	26	27	36
2	5	7	8	9	11	18	19	29	30	32		
3	1	12	13	20	31	37						
4	6	10	15	25	28	33	34	35				

Units Removed from the Analysis: 1

Unit 16 Closest to Cluster 3 - distance = 2.5E+0000

Tabla 237. Fase estratigráfica 16b. Distribución de tipos
Run Statistics Summary

CLUS	N	SSE1	SSE2	%SSE	Log(%SSE)	Srqt(SSE/N)
1	37	175	175	100.00	2.00	2.1742
2	36	43	43	24.43	1.39	1.0894
3	36	26	26	15.14	1.18	0.8576
4	36	15	15	8.69	0.94	0.6499
5	36	13	13	7.17	0.86	0.5901

CLUS	nbar	nstd	RMSbar	RMSstd	n>2	r2wbar	r2wstd	K'
1	37.0	0.0	2.17	0.00	1	0.33	0.00	1.0000
2	18.0	2.0	1.10	0.07	2	0.17	0.04	1.0000
3	12.0	5.9	0.73	0.21	3	0.13	0.05	1.0000
4	9.0	2.2	0.64	0.06	4	0.06	0.08	1.0000
5	7.2	2.9	0.58	0.05	5	0.08	0.06	1.0000

Tabla 238. Fase estratigráfica 16b. Distribución de tipos

	C	N	VAR	X	Y
2	1	20	1.022	-9.025	63.658
2	2	16	1.168	-7.650	60.474
4	1	12	0.678	-9.603	63.453
4	2	10	0.614	-8.419	60.608
4	3	6	0.549	-6.368	60.252
4	4	8	0.717	-8.159	63.965